

地球のマントル対流の特徴と 物質分化・循環

1. 地球のマントル対流の特徴

マントル対流の基礎方程式

マントル対流の性質

マントル対流の特徴

リソスフェア（表層）とアセノスフェア（内部）

アセノスフェア（内部）：遷移層

アセノスフェア（内部）：CMB

マントル対流の基礎方程式

質量、運動量、エネルギーの保存

ブジネスク近似、浮力は温度→密度変化のみとし、無次元化

$$\nabla \cdot \vec{v} = 0$$

$$0 = -\nabla P + \frac{\partial \tau_{ij}}{\partial x_j} + RaT\delta_{i3}$$

$$\frac{\partial T}{\partial t} + \vec{v} \cdot \nabla T = \nabla^2 T + \epsilon$$

ここで、Raはレイリー数、 ϵ は無次元化された発熱量

Ra = 熱拡散の時間スケール / RT不安定成長の時間スケール

ϵ = 発熱量 / 熱伝導による熱流量

マントル対流の基礎方程式

状態方程式、構成則、相平衡

$$\rho = \rho_r \left[1 - \alpha(T - T_r) + \frac{1}{K_T}(P - P_r) + \vec{\beta} \cdot (\vec{C} - \vec{C}_r) \right]$$

$$\sigma_{ij} = A^{-\frac{1}{n}} \dot{\epsilon}^{\frac{1-n}{n}} \exp\left(\frac{E + PV}{nRT}\right) \dot{\epsilon}_{ij}$$

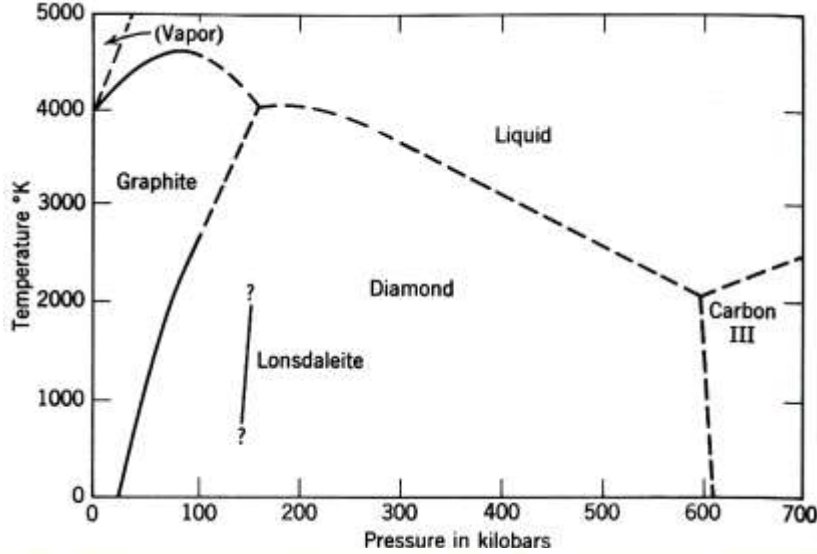
$$\sigma_{ij} = \left[-P + \left(\zeta - \frac{2}{3}\mu \right) e_{kk} \right] \delta_{ij} + 2\mu e_{ij}$$

相平衡・化学反応 ($\mu_\alpha^i = \mu_\beta^i$)

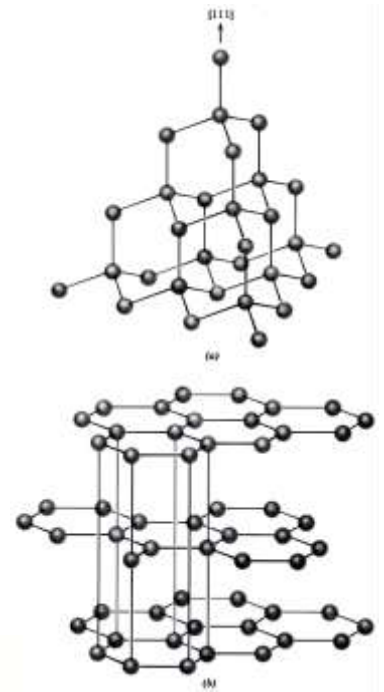
マントル対流の基礎方程式

相平衡・相変化

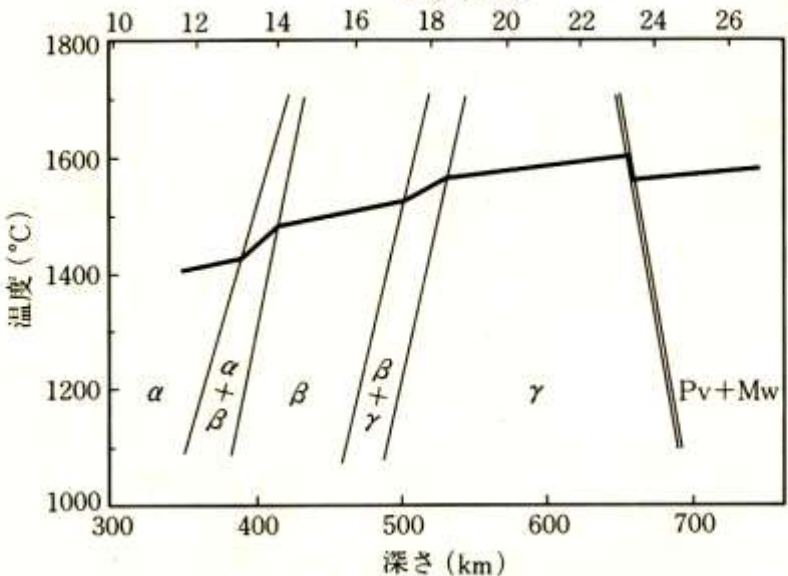
Klein et al, 1993



系の化学組成 =
C



Toriumi et al, 1997



系の化学組成 =
 $(Mg,Fe)_2SiO_4$

マントル対流の基礎方程式

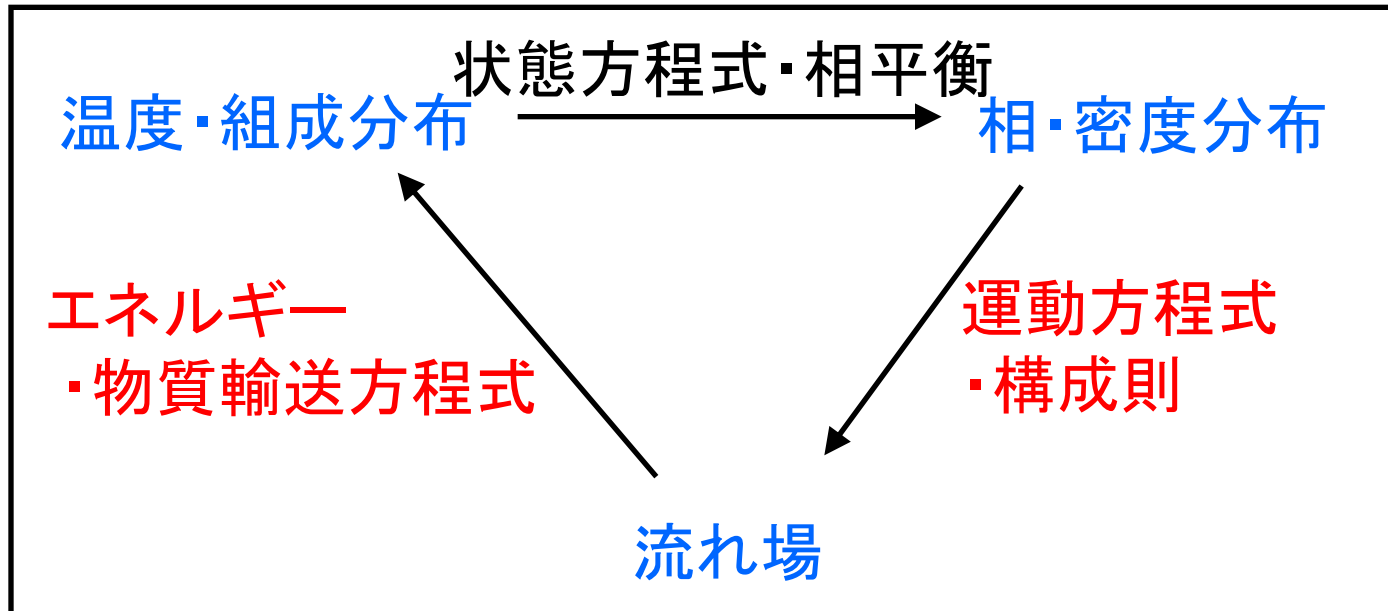
重力が駆動： 地球内部の密度分布がパターンを決める

流れ場： 粘性力が卓越するため、慣性項はおちるが解くのは大変

(定常解をもとめることに相当)

非線形性： エネルギー輸送と非線形物性で生まれる

相変化や反応の化学も重要



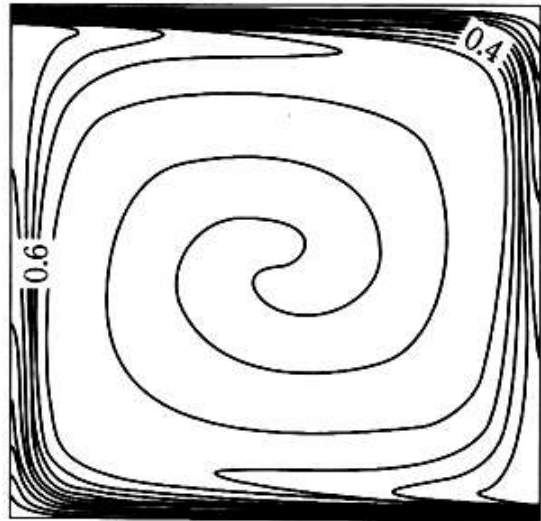
マントル対流の性質

変数と無次元数

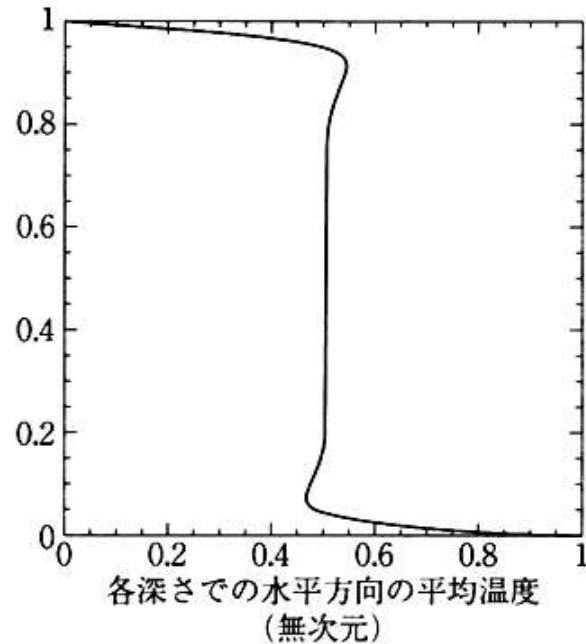
変数		単位/定義	上部マントル	下部マントル	全マントル
C_P	定圧比熱	$\text{J kg}^{-1}\text{K}^{-1}$	1.2×10^3	1.2×10^3	1.2×10^3
D	対流層の厚さ	m	6.60×10^5	22.3×10^5	28.9×10^5
H	発熱量	W kg^{-1}	$2.3 \sim 6.2 \times 10^{-12}$	$2.3 \sim 6.2 \times 10^{-12}$	$2.3 \sim 6.2 \times 10^{-12}$
k	熱伝導率	$\text{W m}^{-1} \text{K}^{-1}$	4.2	11.8	8.1
κ	熱拡散率	$\text{m}^2 \text{s}^{-1}$	1×10^{-6}	2×10^{-6}	1.5×10^{-6}
ρ	密度	kg m^{-3}	3.5×10^3	4.9×10^3	4.5×10^3
α	熱膨張率	K^{-1}	3×10^{-5}	1×10^{-5}	2×10^{-5}
μ	粘性係数	Pa s	$0.1 \sim 1 \times 10^{21}$	$0.2 \sim 2 \times 10^{22}$	$1 \sim 3 \times 10^{21}$
ν	動粘性係数	$\text{m}^2 \text{s}^{-1}$	$0.3 \sim 3 \times 10^{17}$	$0.4 \sim 4 \times 10^{18}$	$2 \sim 7 \times 10^{17}$
ΔT	鉛直方向の温度差	K	$1.5 \sim 2.0 \times 10^3$	$1.0 \sim 2.0 \times 10^3$	$2.5 \sim 4.0 \times 10^3$
無次元数					
Ra	レイリー数	$\frac{g\alpha\Delta TD^3}{\kappa\nu}$	$0.5 \sim 6 \times 10^6$	$0.1 \sim 3 \times 10^6$	$1 \sim 6 \times 10^7$
ϵ	無次元発熱量	$\frac{Hd^2}{C_P\kappa\Delta T}$	0.4~1.5	2.4~12.8	2.7~11.5

マントル対流の性質

2次元定常状態での構造: 下面加熱、上面冷却、 $\varepsilon = 0$



等温度線 (無次元)



各深さでの水平方向の平均温度
(無次元)

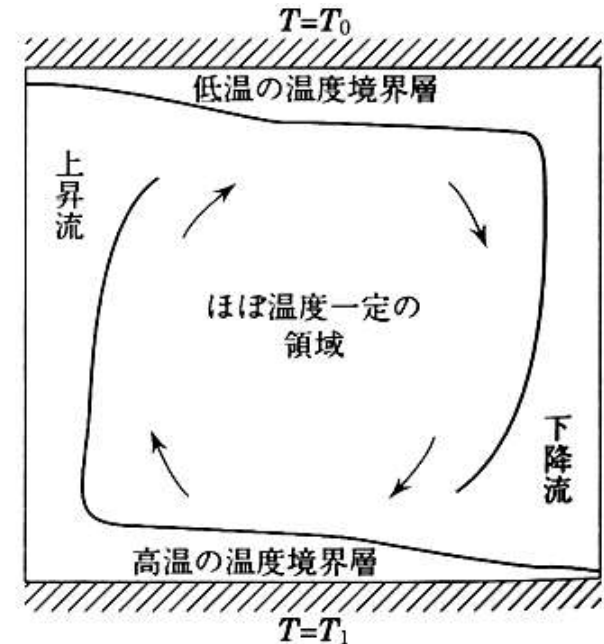


図 2 粘性が高く慣性力が無視できるような流体の箱の中での対流

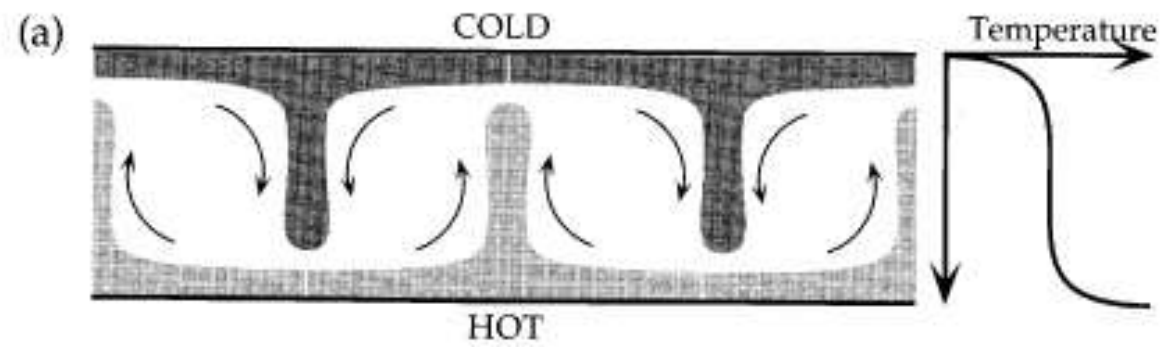
(岩波講座地球惑星科学10巻の図3.2および文献3))。箱の上下面での温度が各々一定で側面からは熱の出入りはなく、いずれの面でも自由すべりが起こると仮定。レイリー数は 10^6

野津憲治, 清水洋, 2003

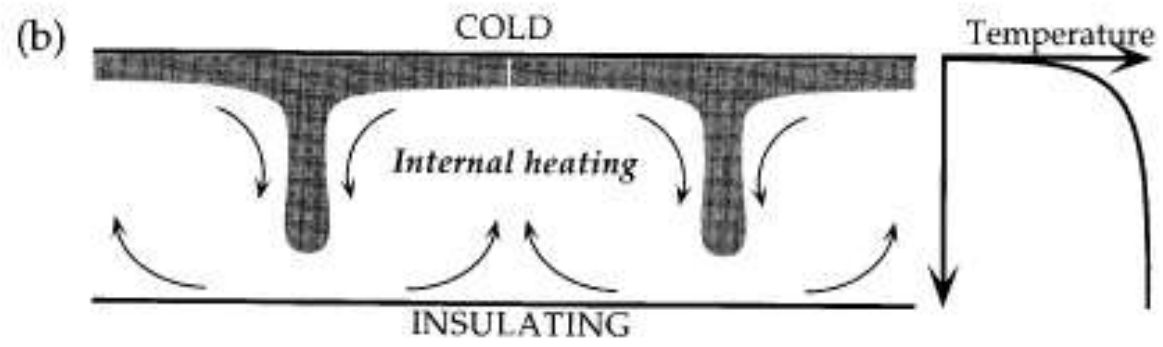
マントル対流の性質

ϵ の効果

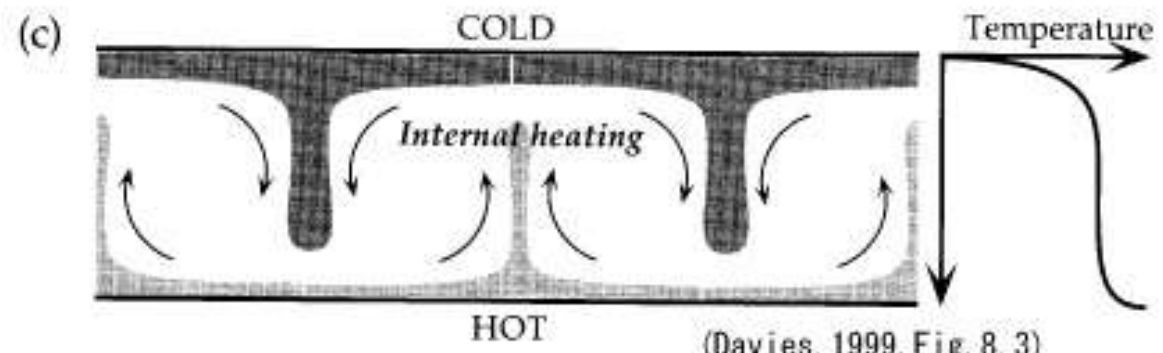
$\epsilon = 0$



Large ϵ



Intermediate ϵ



(Davies, 1999, Fig. 8.3)

マントル対流の性質

スケーリング: 境界層の厚さと速度

温度境界層における移流による熱流入量と熱伝導による排出熱量とのつりあい:

$$\rho C_P u \delta \Delta T \sim k \frac{\Delta T}{\delta} D$$

δ , D = 境界層の厚さと幅, $\Delta T = (T_1 - T_0)/2$, u = 境界層内での水平流の速さ。

$$\delta \sim \sqrt{\frac{\kappa D}{u}} \quad \text{or} \quad u \sim \frac{\kappa D}{\delta^2}$$

境界層に働く浮力 ($g\rho\alpha\Delta TD\delta$) と粘性抵抗 ($\mu\frac{u}{D}D$) のつりあい:

$$u \sim g\rho\alpha\Delta TD\delta/\mu$$

地球表層条件では

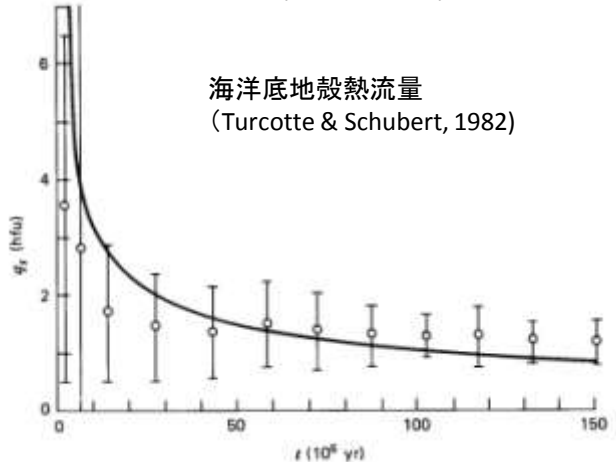
$$\frac{\delta}{D} = \text{Ra}^{-\frac{1}{3}} \quad \text{and} \quad \frac{u}{\kappa/D} = \text{Ra}^{\frac{2}{3}}$$

δ = 数 km ~ 数十 km
 u = 数 cm/y ~ 数十 cm/y

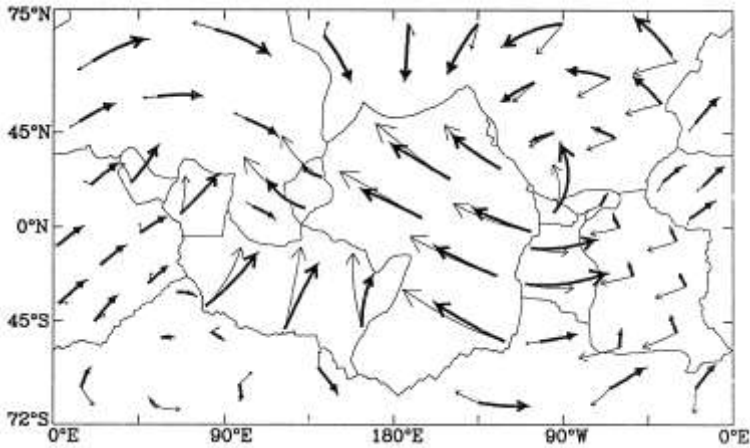
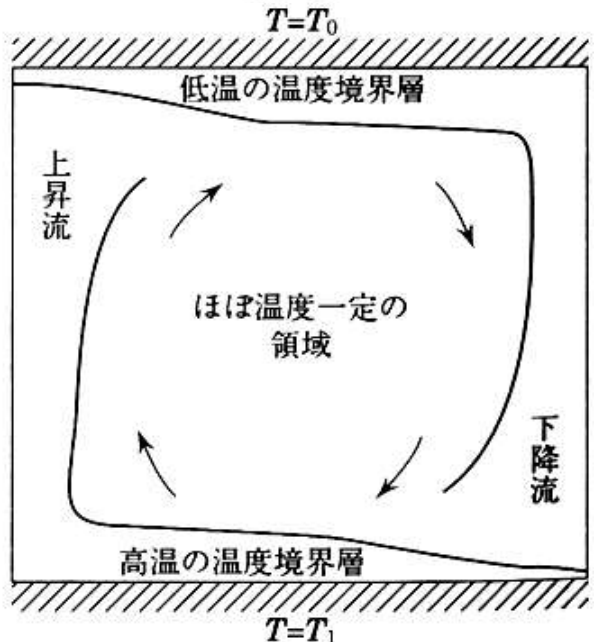
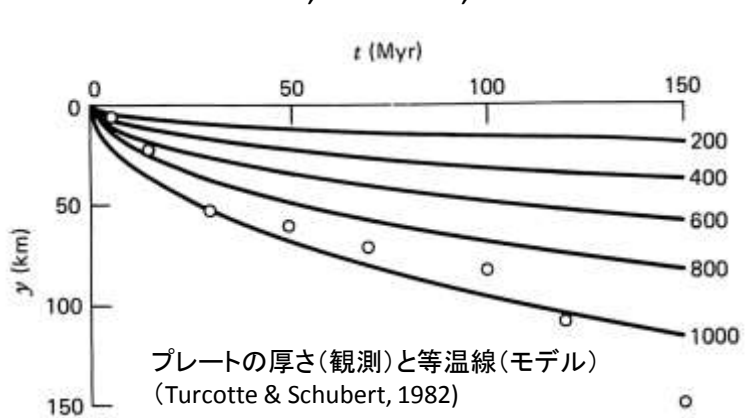
マントル対流の性質

プレート運動=マントル対流の地表表現: プレート~境界層

Turcotte, Schubert, 1982



Turcotte, Schubert, 1982



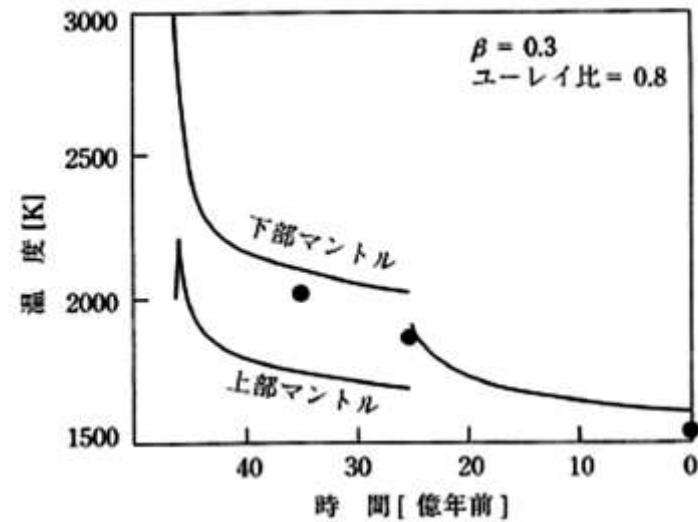
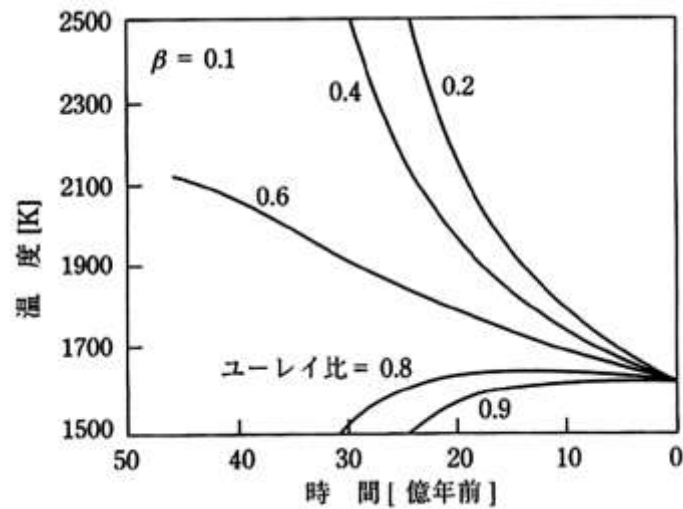
Argus and Gordon (1991) thick arrow: no-net rotation model
thin arrow: hotspot reference model

マントル対流の性質

スケーリング: 熱輸送とパラメータ化対流モデル

$$Nu = aRa^\beta$$

$$MC_P \frac{dT(t)}{dt} = -Nu(Ra) K \frac{T(t) - T_s}{R} 4\pi R^2 + \underbrace{H(t)}_{\text{発熱量} \rightarrow \text{ユーレイ比}}$$



Honda (1995)

マントル対流の特徴

リソスフェア(表層)とアセノスフェア(内部)

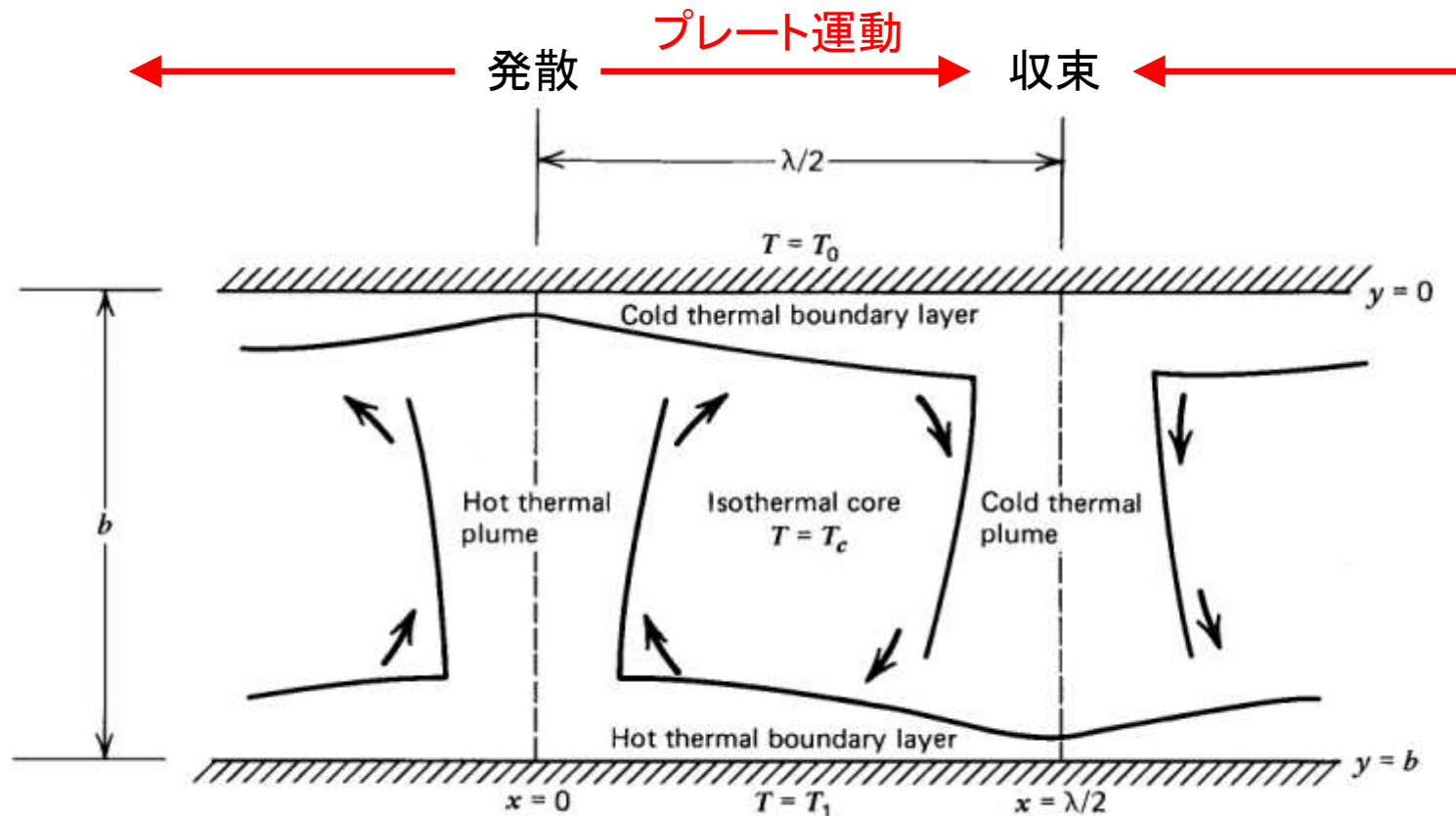
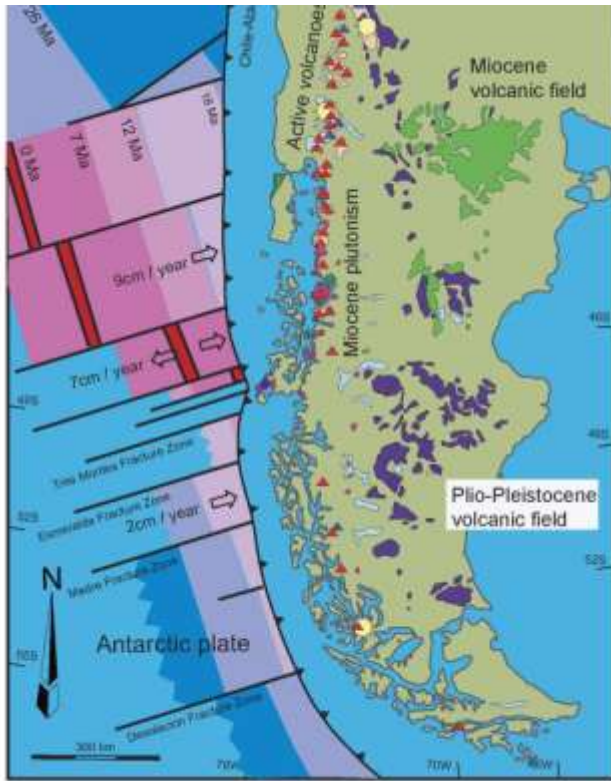


Figure 6-39 Boundary layer structure of two-dimensional thermal convection cells in a fluid layer heated from below.

マントル対流の特徴

リソスフェア(表層)とアセノスフェア(内部)

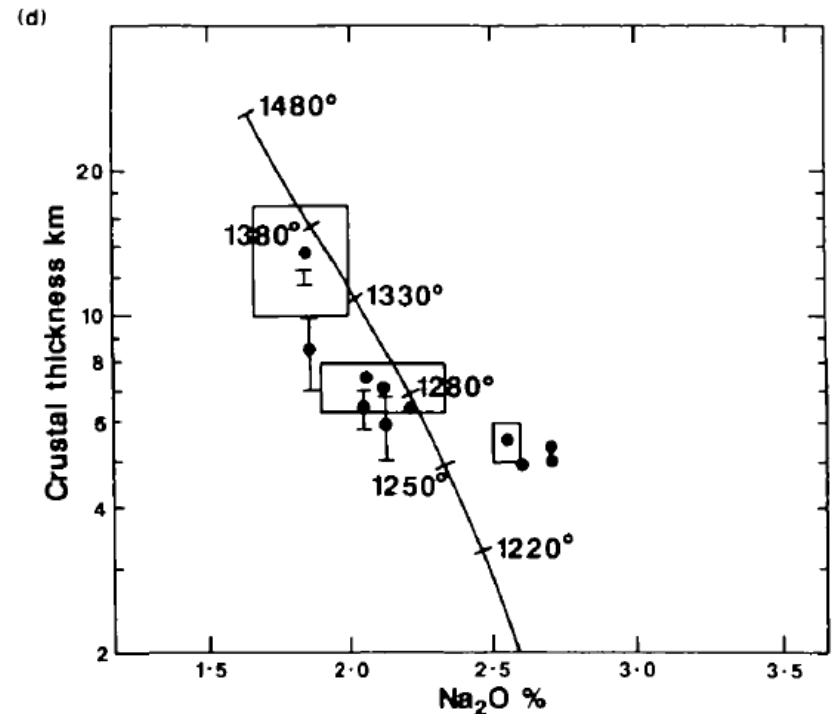
海嶺(発散境界)の沈み込み(収束)



海嶺は熱くない

(平均的なマントルポテンシャル温度
~1300度Cにほぼ等しい)

D. MCKENZIE AND M. J. BICKLE (1988)



McKenzie, Bickle, 1988

マントル対流の特徴

リソスフェア(表層)とアセノスフェア(内部)

粘性の温度依存性⇒3次元対流中、上昇流はスポット的(≠線の構造)

Planforms and onset of convection with temperature-dependent viscosity 263

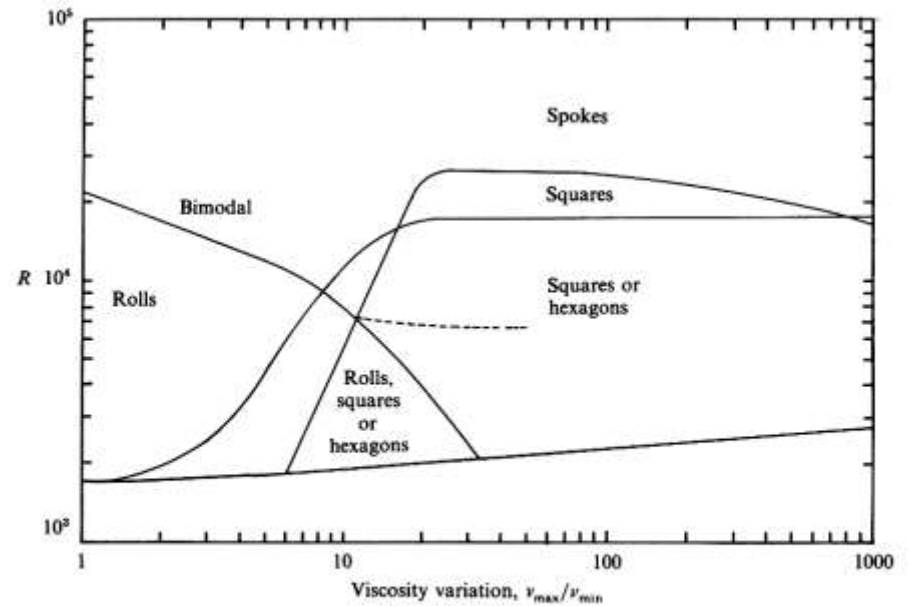
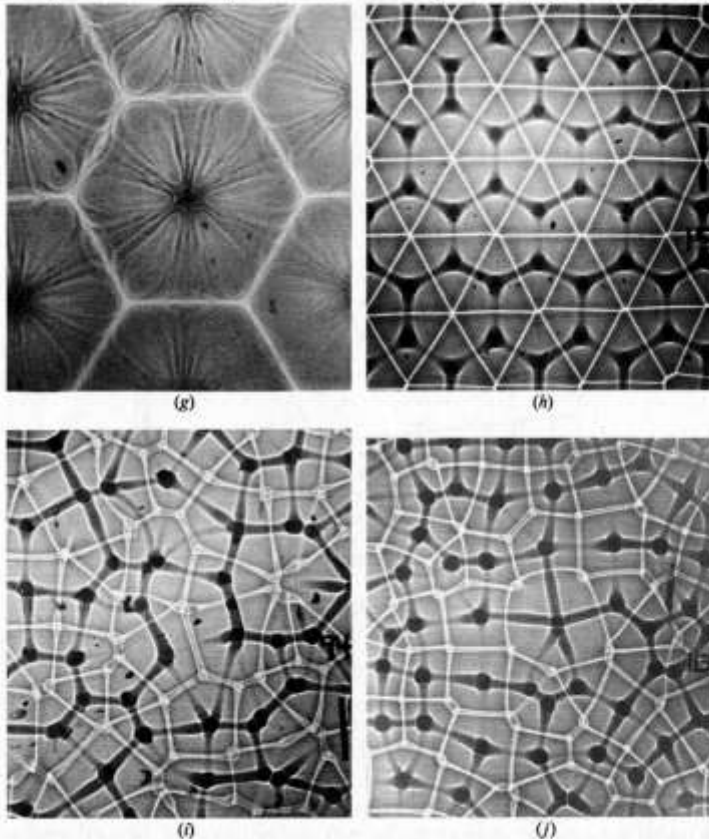


FIGURE 30. A summary of the stability maps for rolls, hexagons and squares with $k = 3.15$. There is a large amount of hysteresis where the realized planform depends on what pattern was originally induced. In one small area rolls, hexagons or squares are all possible planforms. The dashed line represents R_B .

White (1988)

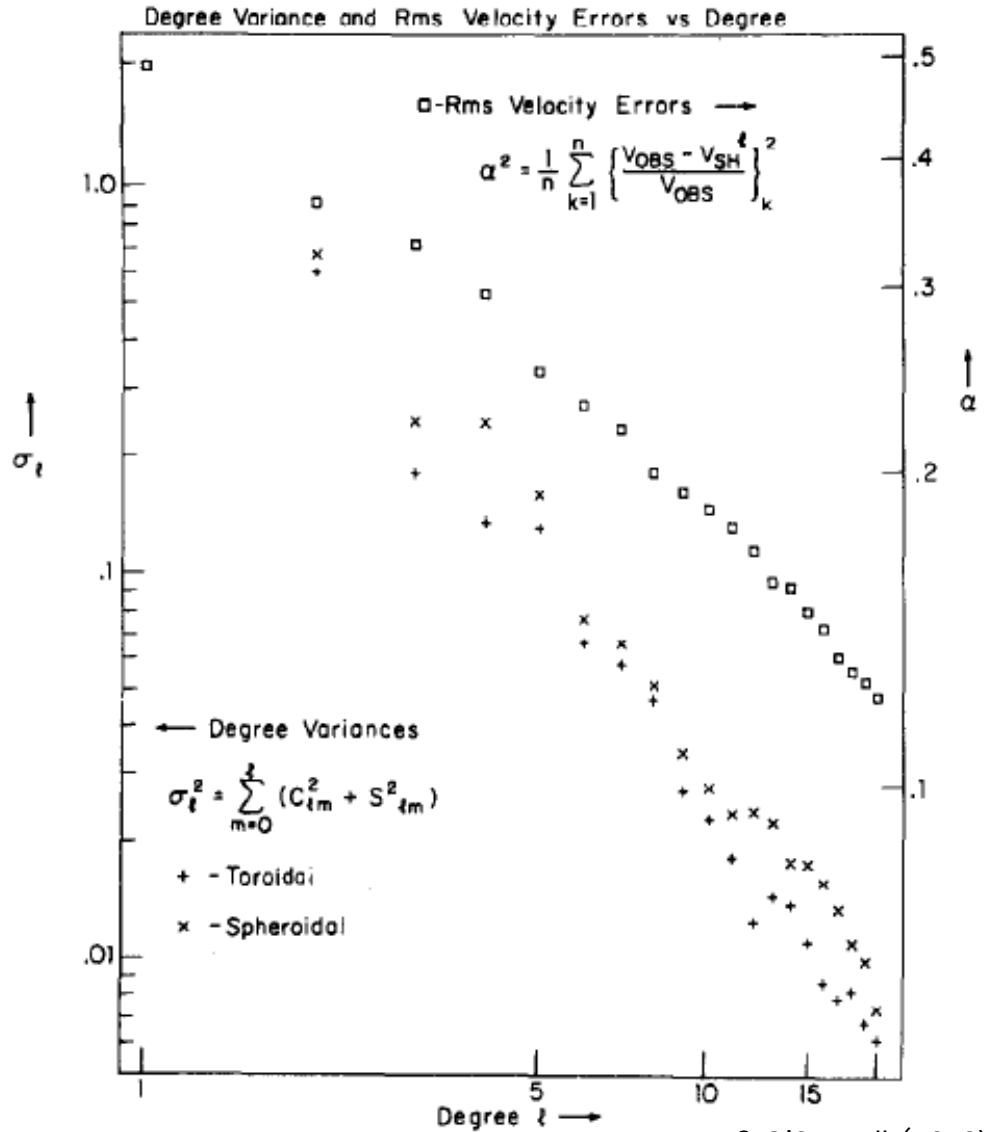
マントル対流の特徴

リソスフェア(表層)とアセノスフェア(内部)

プレート速度の
toroidal成分 ~ spheroidal成分



$$0 = \frac{\partial \sigma_{ij}}{\partial x_j} + \rho g \delta_{i3}$$



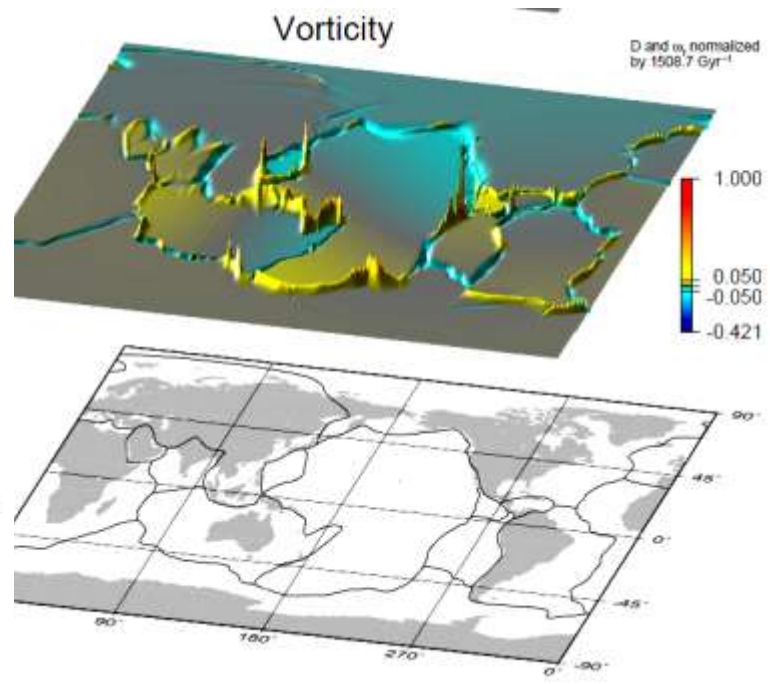
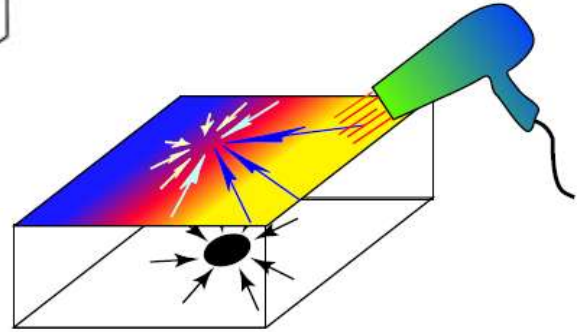
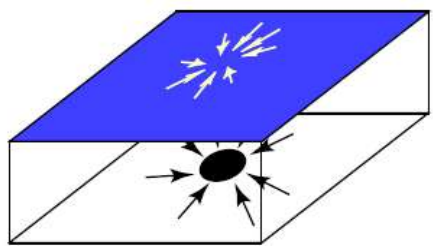
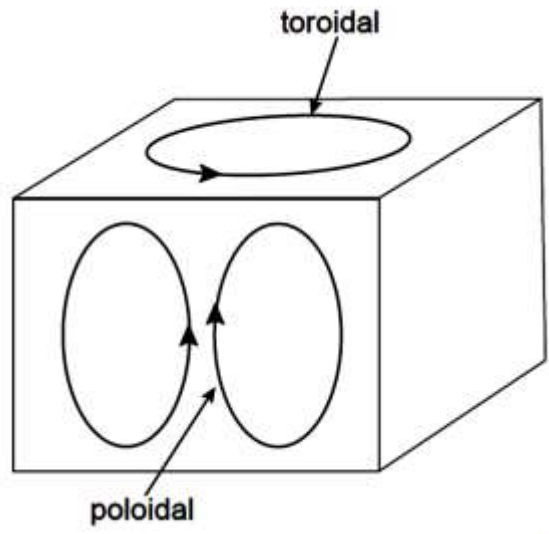
Hager & O'Connell (1978)

マントル対流の特徴

リソスフェア(表層)とアセノスフェア(内部)

$$0 = \frac{\partial \sigma_{ij}}{\partial x_j} + \rho g \delta_{i3} \quad (\text{松山、研究中}) \quad \text{toroidal} \quad \text{poloidal}$$

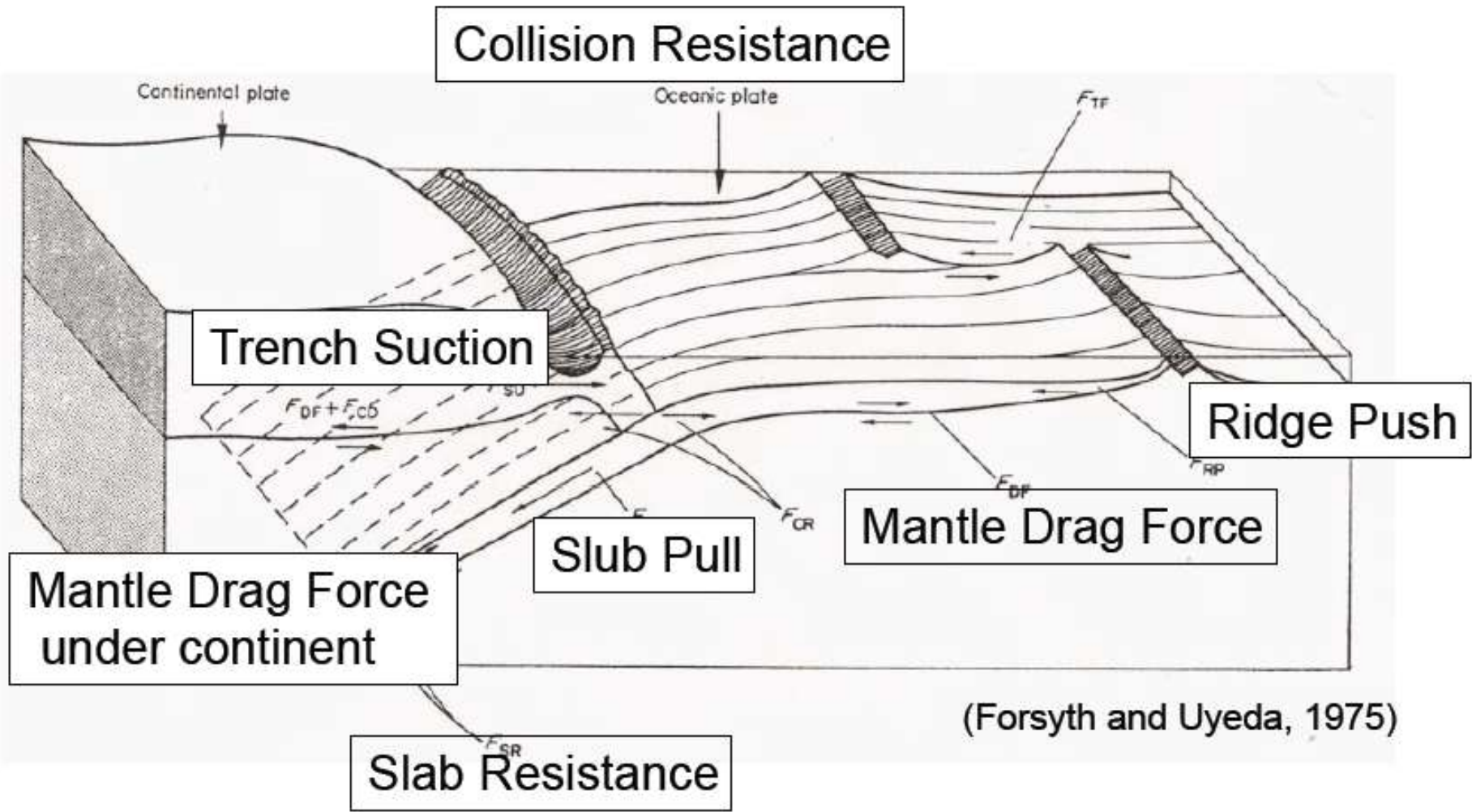
$$-\rho g \delta_{i3} = \left(\frac{\partial \mu}{\partial x} \frac{\partial^2}{\partial z \partial y} - \frac{\partial \mu}{\partial y} \frac{\partial^2}{\partial z \partial x} \right) \Psi + \left[(\nabla \mu) \cdot \left(\frac{\partial^2}{\partial z^2} \nabla \right) - \left(\frac{\partial \mu}{\partial z} \right) \left(\frac{\partial \mu}{\partial z} \nabla^2 \right) - \nabla \cdot (\mu \nabla) \nabla_H^2 \right] \Phi$$



Bercovici et al. (2003)

マントル対流の特徴

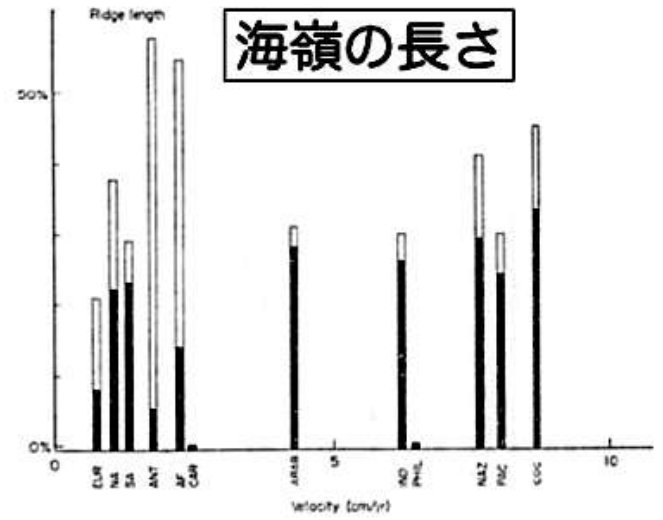
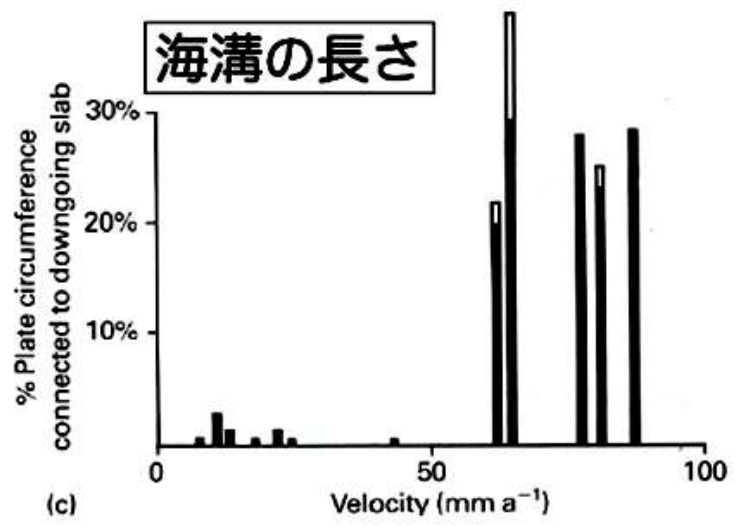
リソスフェア(表層)とアセノスフェア(内部)



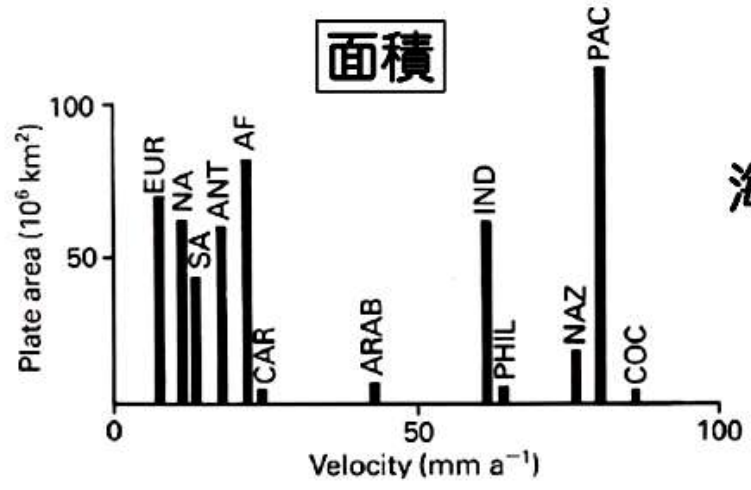
(Forsyth and Uyeda, 1975)

マントル対流の特徴

リソスフェア(表層)とアセノスフェア(内部)



(Forsyth and Uyeda, 1975)



海溝の長さのみが明らかな相関を示す
= slab pull力の寄与大?

マントル対流の特徴

リソスフェア(表層)とアセノスフェア(内部)

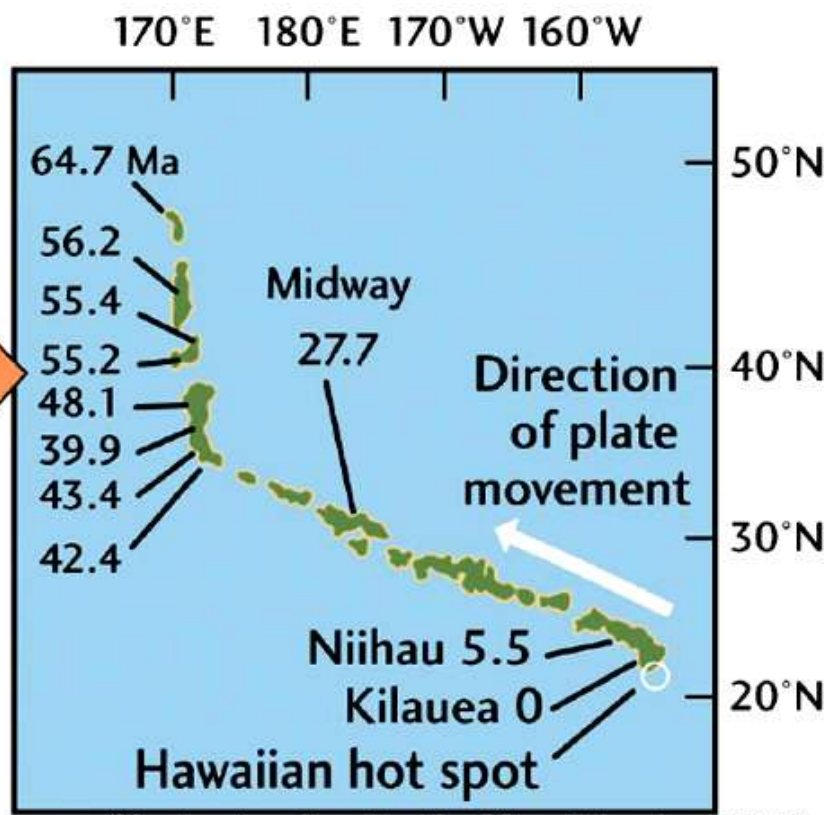
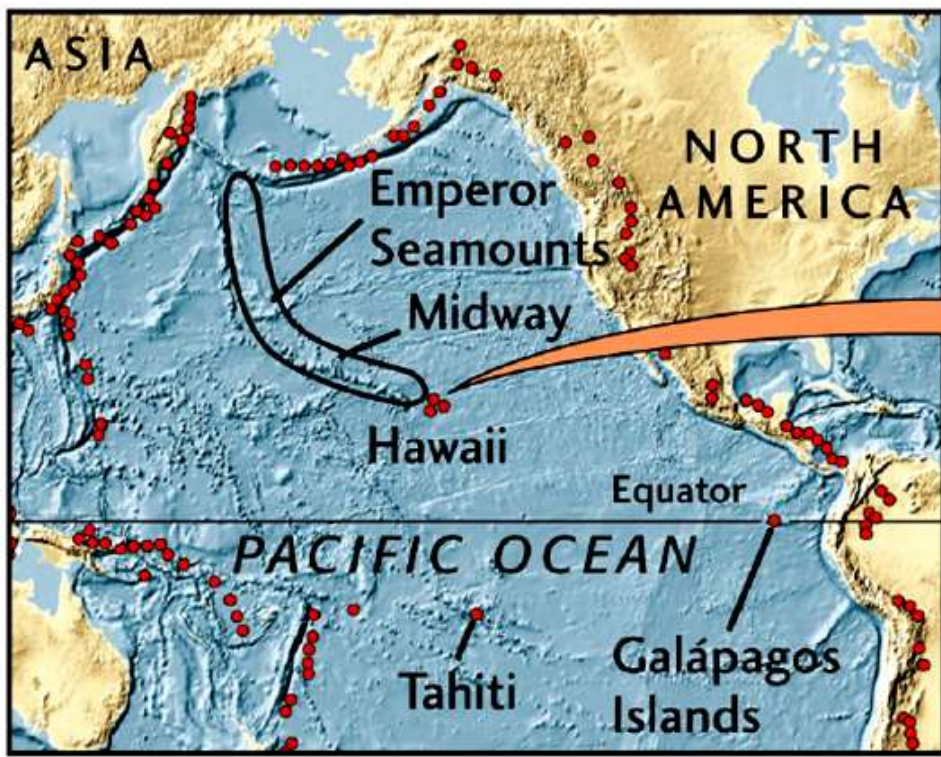
表 6.1.1 各種の力の大きさ (Forsyth & Uyeda, 1975)

力	相対的重要度 y_m'	力の強さ y_m	(単位)
F_{RP}	0.075	0.36 ± 0.09	km^{-1}
F_{CR}	0.040	0.16 ± 0.09	km^{-1}
F_{TF}	0.063	0.36 ± 0.13	km^{-1}
F_{SP}	0.745	6.43 ± 0.19	km^{-1}
F_{SU}	0.044	0.50 ± 0.25	km^{-1}
F_{SR}	0.652	0.89 ± 0.03	$\text{km}^{-1} \cdot \text{cm}^{-1} \cdot \text{yr}$
F_{CD}	0.056	5.65 ± 2.22	$10^{-5} \text{km}^{-2} \cdot \text{cm}^{-1} \cdot \text{yr}$
F_{DF}	0.061	0.82 ± 0.30	$10^{-5} \text{km}^{-2} \cdot \text{cm}^{-1} \cdot \text{yr}$

F_{TF} : トランスフォーム断層抵抗力, F_{SU} : スラブ吸い込み力,
 F_{CD} : 大陸プレート下ドラッグ力, F_{DF} : 海洋プレート下ドラッグ力, その他は図 6.1.2 参照.

マントル対流の特徴

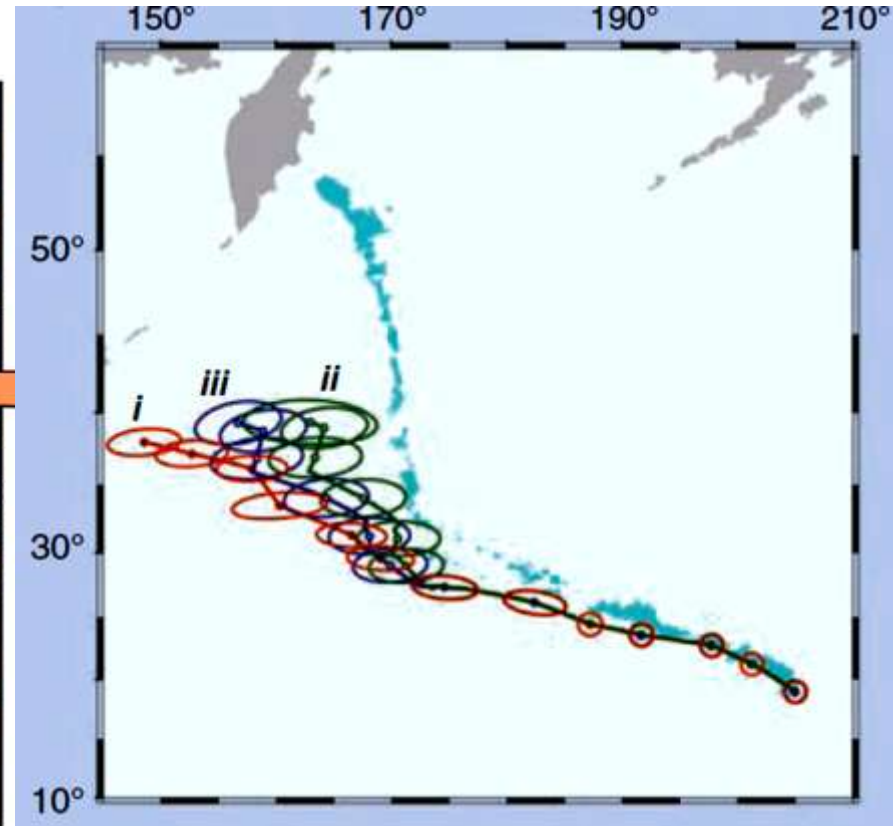
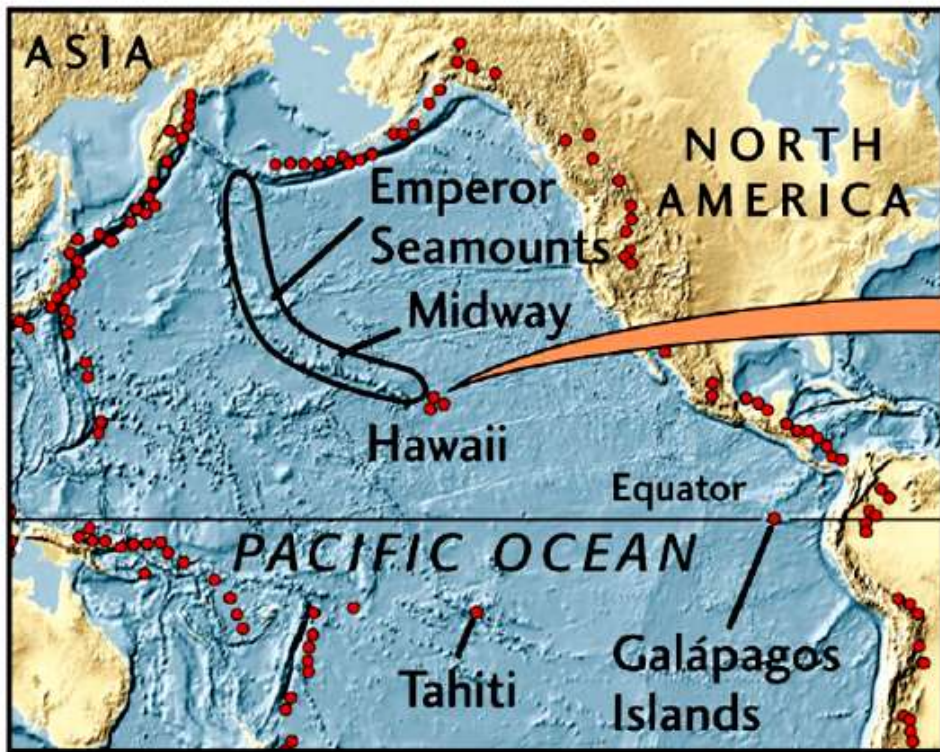
リソスフェア(表層)とアセノスフェア(内部)



(Understanding Earth, Sliver&Jordan 2003)

マントル対流の特徴

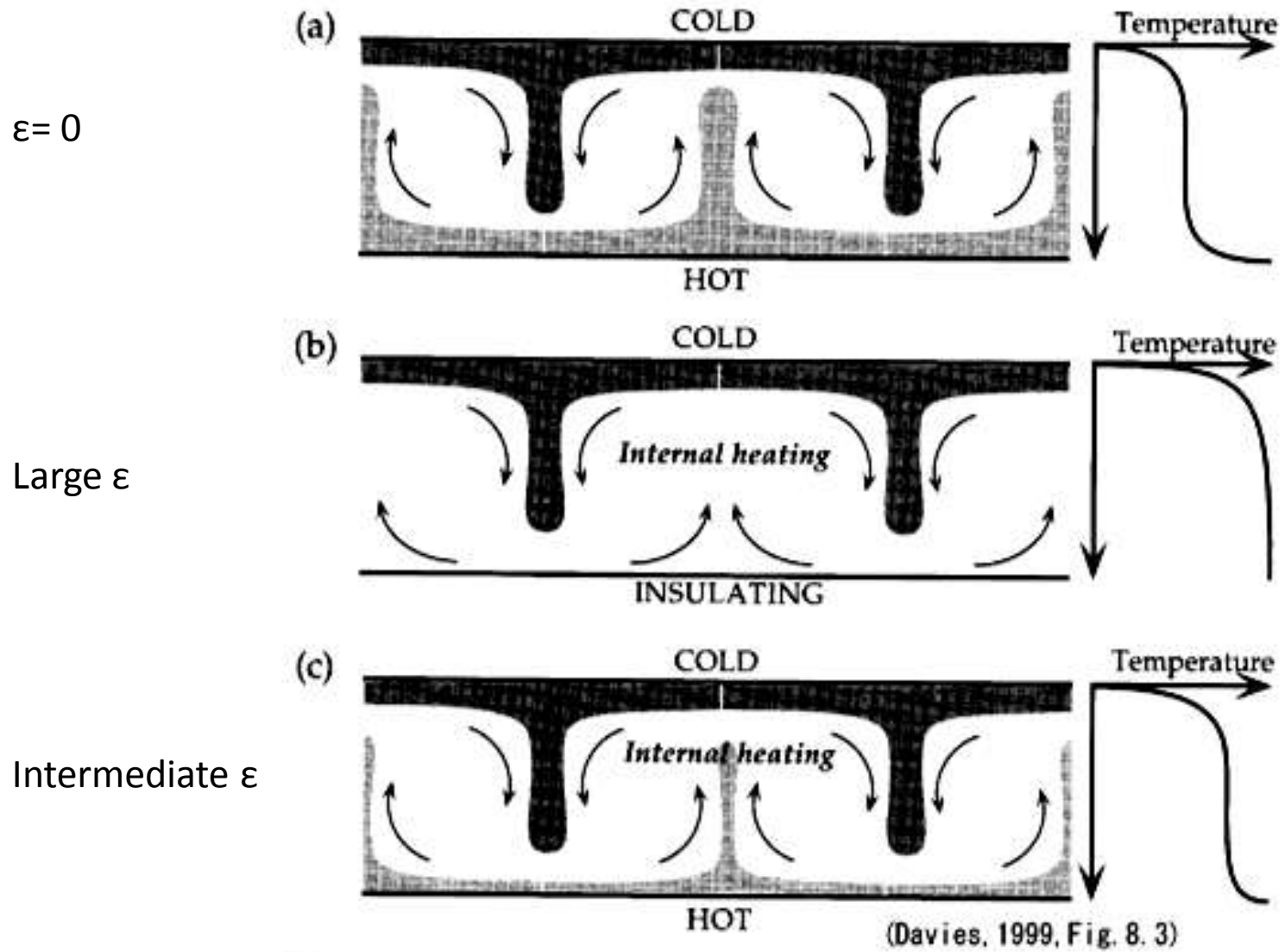
リソスフェア(表層)とアセノスフェア(内部)



Tarduno et al. (2009)

マントル対流の特徴

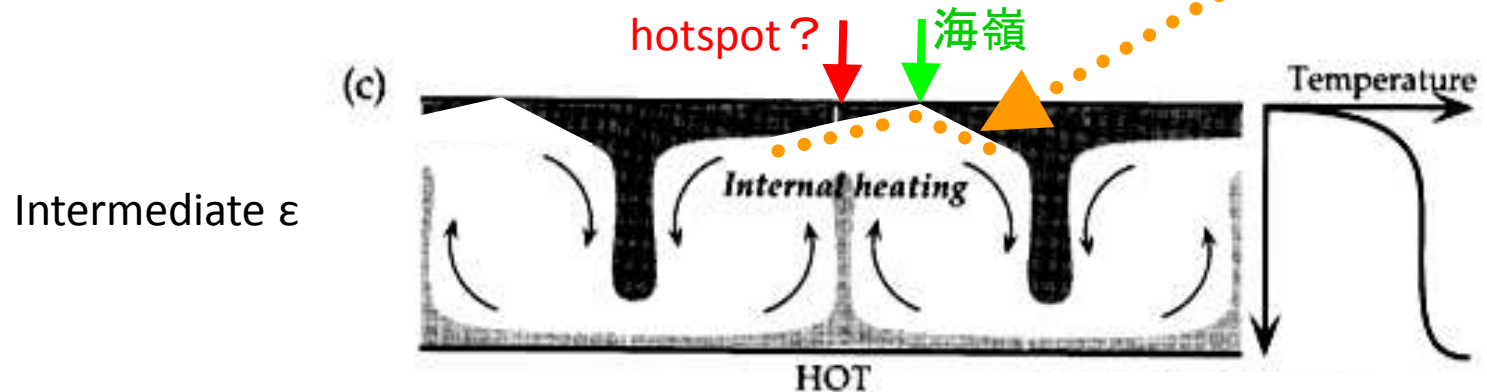
リソスフェア(表層)とアセノスフェア(内部)



マントル対流の特徴

リソスフェア(表層)とアセノスフェア(内部)

リソスフェアとアセノスフェアはデカップル？

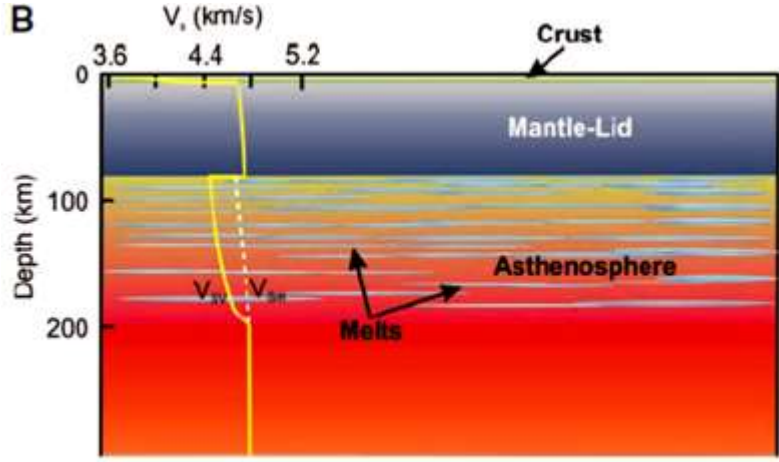


Davies, 1999 に加筆

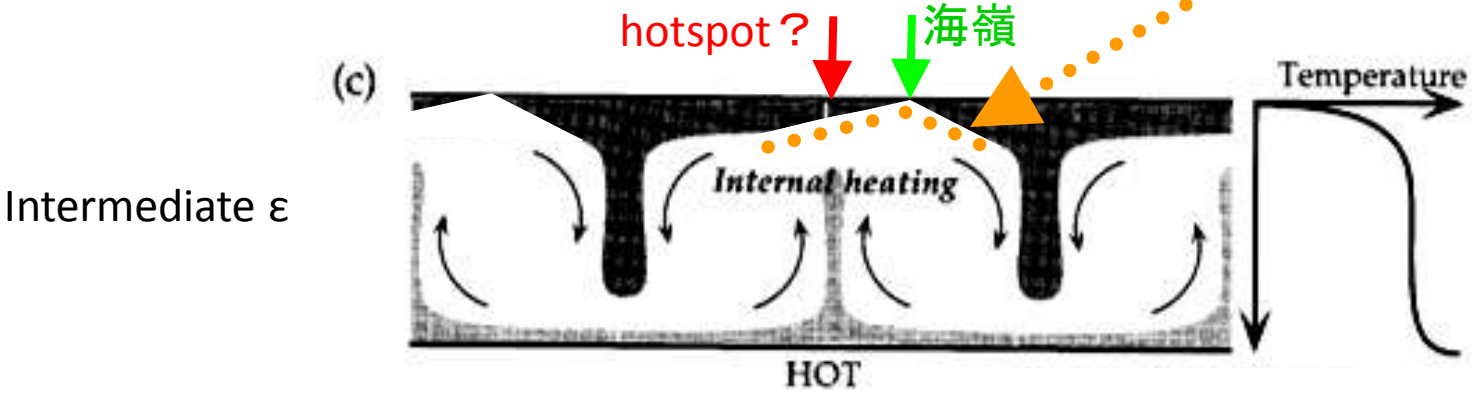
マントル対流の特徴

リソスフェア(表層)とアセノスフェア(内部)

Kawakatsu et al. (2009)
リソスフェア直下にS波の強い
コントラストを発見



リソスフェアとアセノスフェアはデカップル？



Davies, 1999 に加筆

マントル対流の特徴

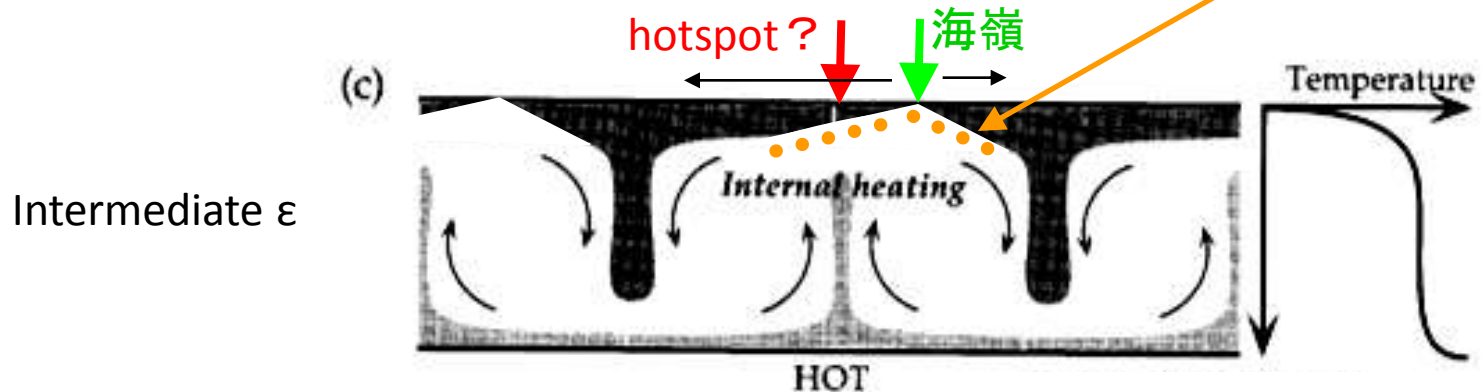
リソスフェア(表層)とアセノスフェア(内部)

プレート運動はマントル対流の地表表現に間違いない。

しかし内部の対流と、表面運動・テクトニクスをきちんと(かなり大筋でも)理解していないように思われる。

レオロジーの複雑性、大陸地殻の存在、水などの組成の効果などが原因？

リソスフェアとアセノスフェアはデカップル？



Davies, 1999 に加筆

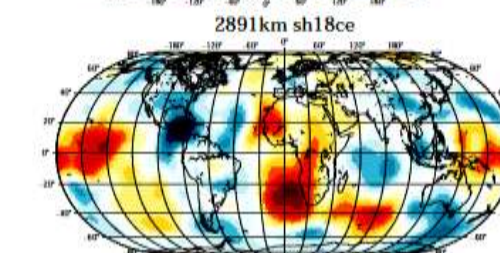
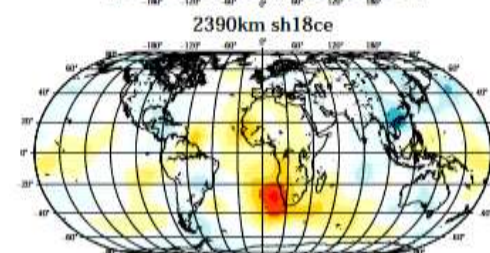
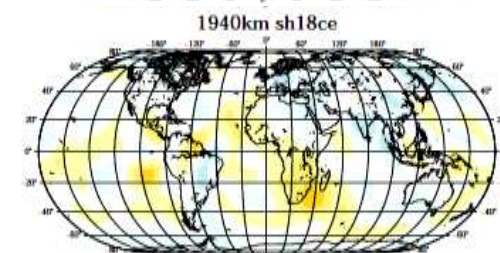
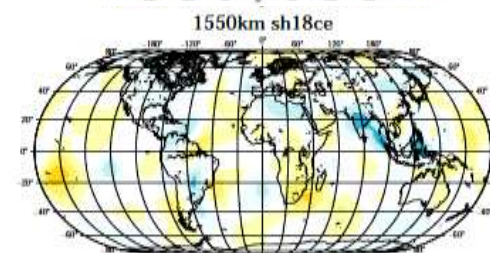
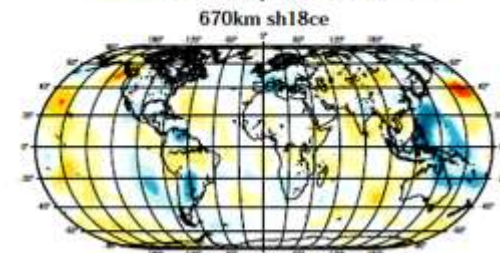
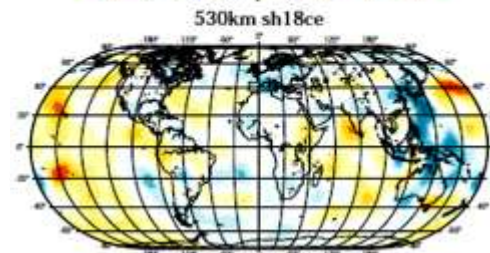
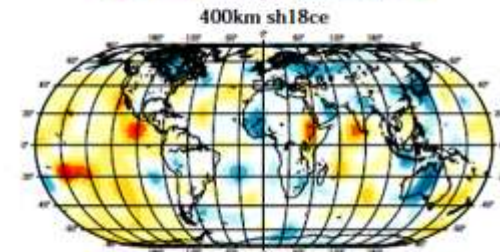
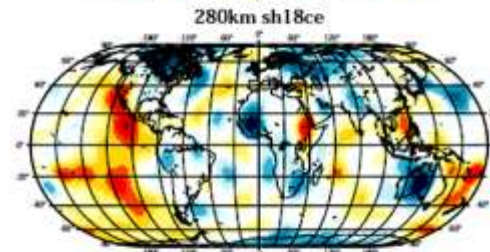
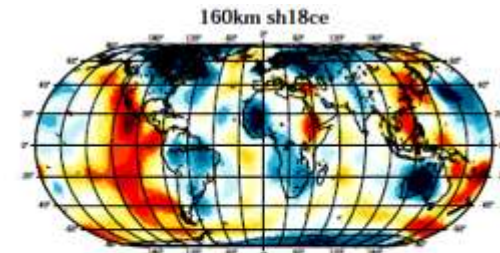
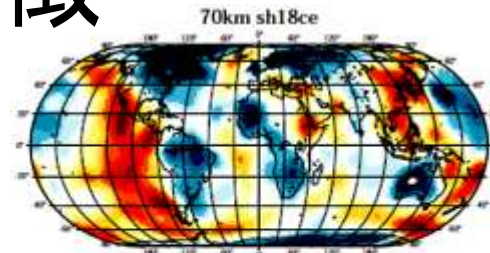
マントル対流の特徴

アセノスフェア(内部)の流れ

地震波(S波)トモグラフィーモデル
Takeuchi (2007)

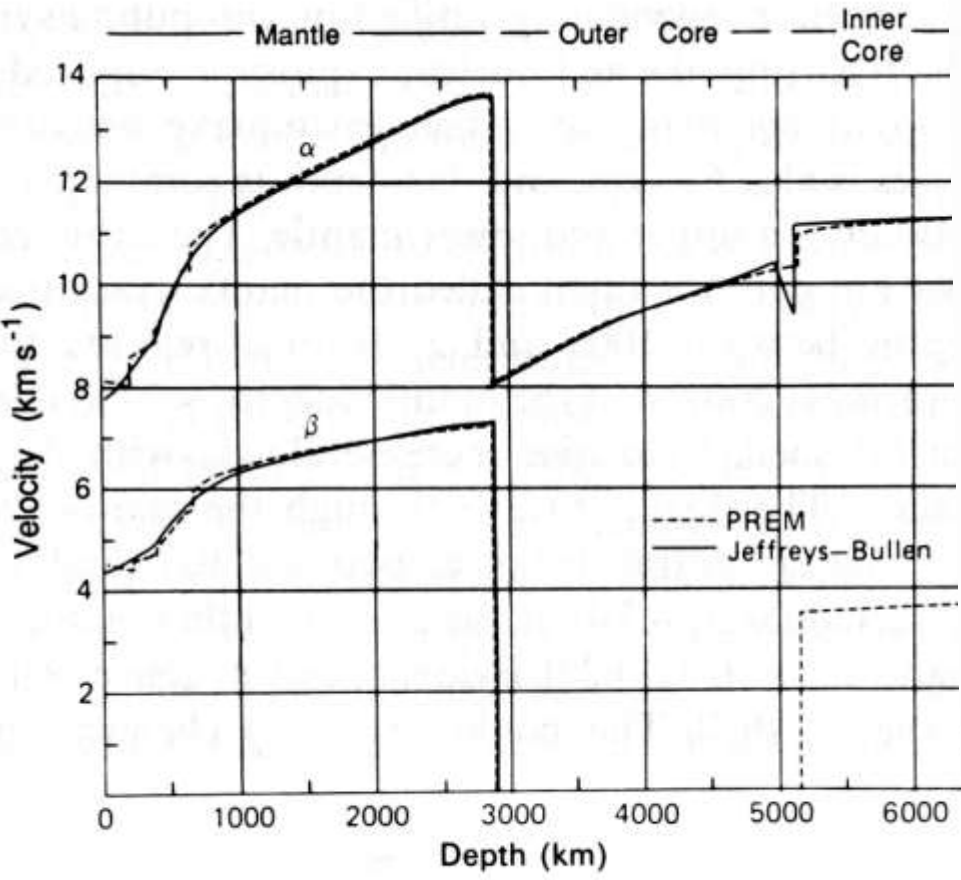
不均質性が大きい部分
リソスフェア-遷移層(660km)
コア-マントル境界付近(2891km)

地球は表面から冷やされ、
不均質・不安定が発達
+
下面から(表面よりは弱く?)
不安定が発達

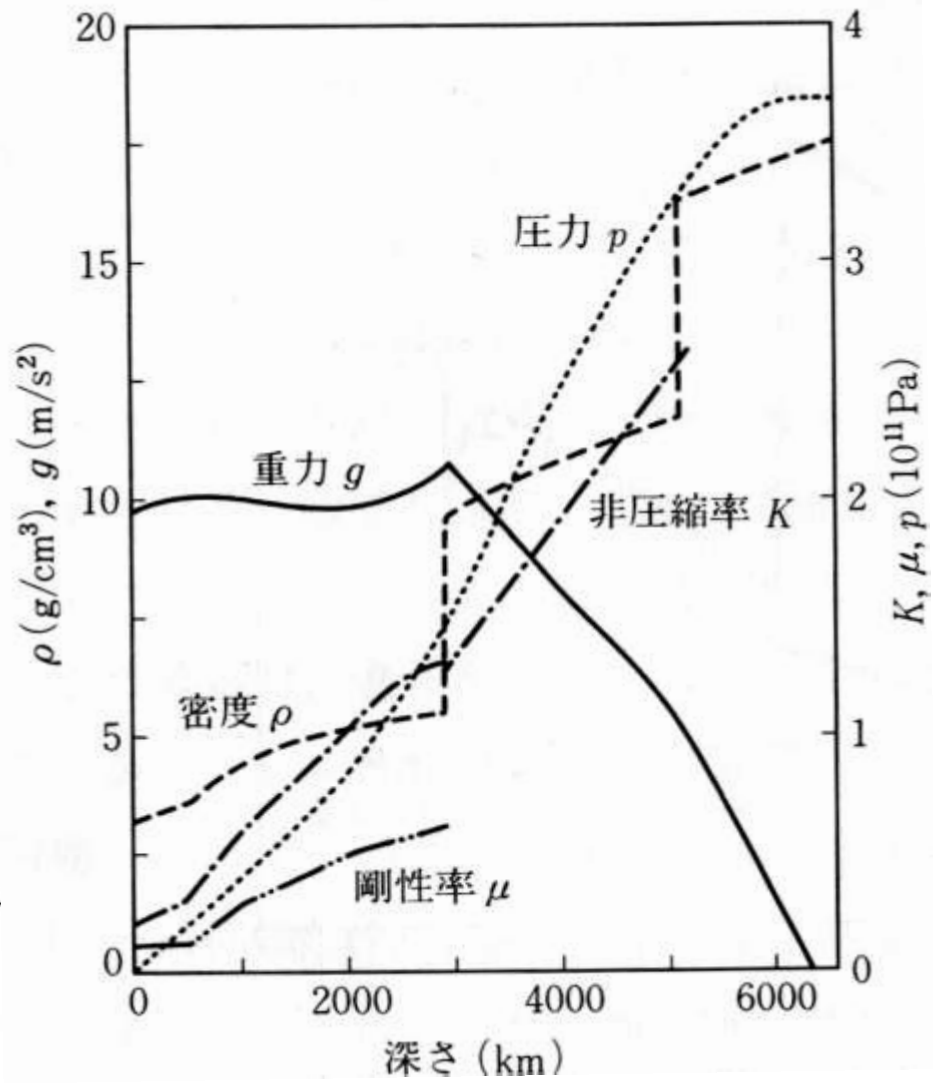


マントル対流の特徴

アセノスフェア(内部)の流れ



地球内部構造



Toriumi et al, 1997

マントル対流の特徴

アセノスフェア(内部)の流れ

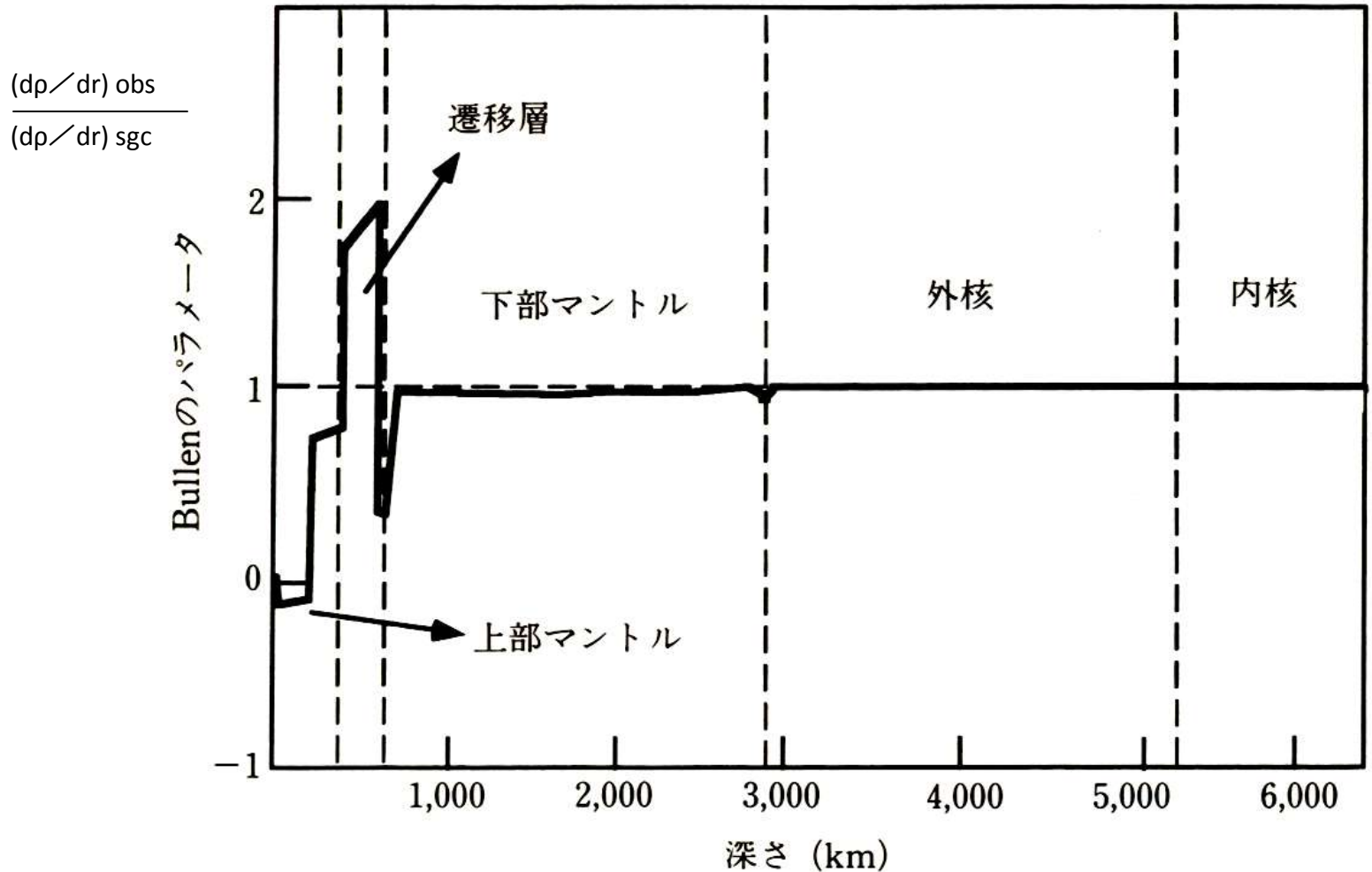


図 1-4 Bullen のパラメータの深さ分布 (Dziewonski and Anderson, 1981 にもとづく)

マントル対流の特徴

アセノスフェア(内部)の流れ

Akaogi et al., 1989

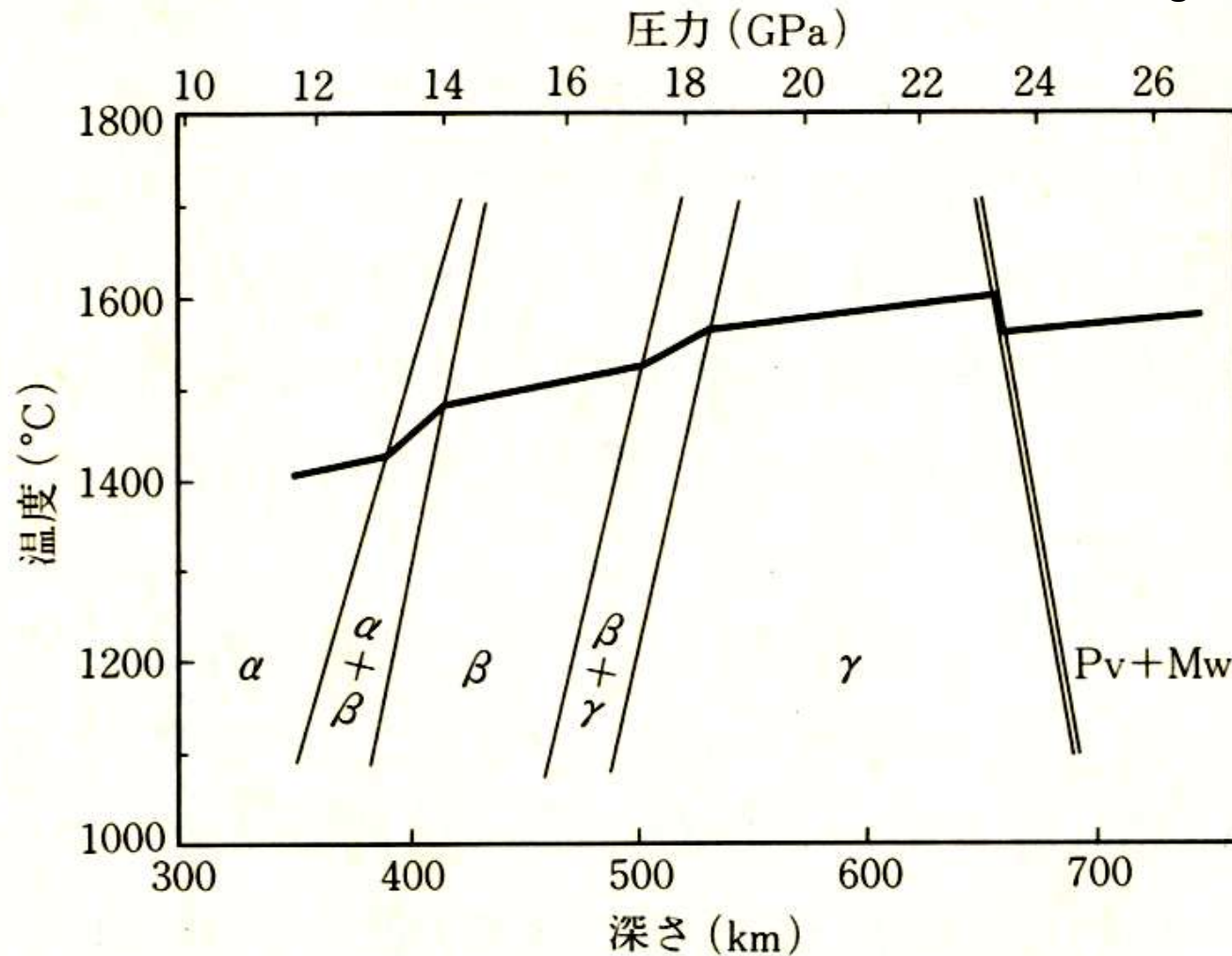


図 4.35 マントルオリビンの相転移境界線と温度分布(Akaogi et al., 1989 などによる).

マントル対流の特徴

アセノスフェア(内部)の流れ

$$dG = -(S^\beta - S^\alpha) dT + (V^\beta - V^\alpha) dP$$

$$\equiv -\Delta S dT + \Delta V dP = 0$$

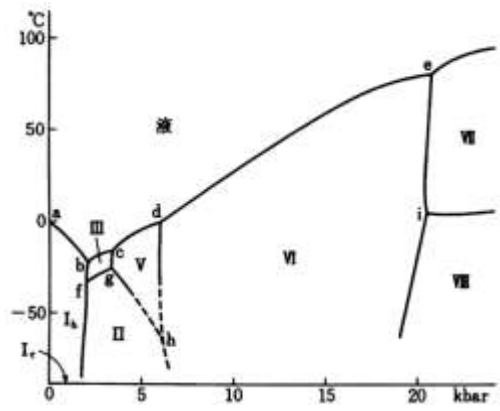
Clausius-Clapeyron Slope

$$\frac{dP}{dT} = \frac{\Delta S}{\Delta V} = \frac{\Delta H}{T\Delta V}$$

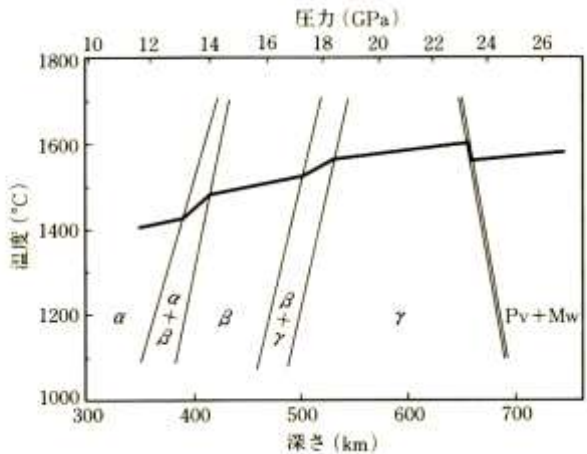
多くの場合、 ΔS と ΔV は同符号
 $\Rightarrow dP/dT > 0$

$dP/dT < 0$ の例

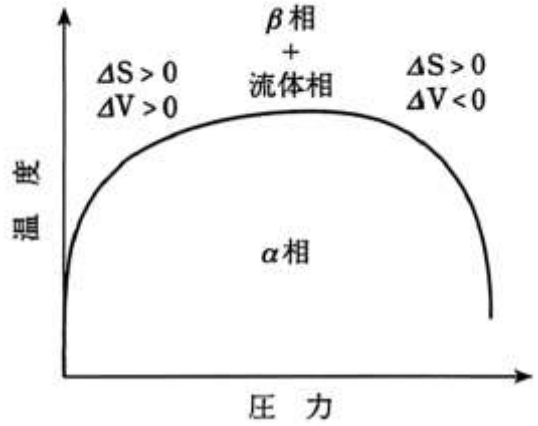
H₂O (氷と水)



Mg₂SiO₄ (660km相転移)



脱水・脱ガス反応

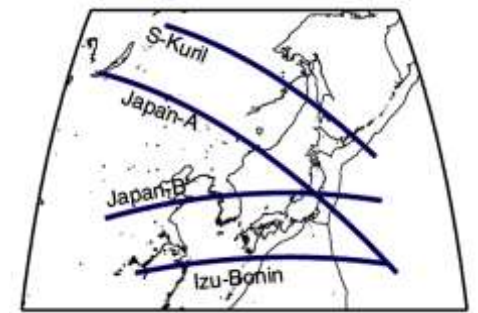


野津憲治, 清水洋, 2003

Akaogi et al., 1989

マントル対流の特徴

アセノスフェア(内部)の流れ



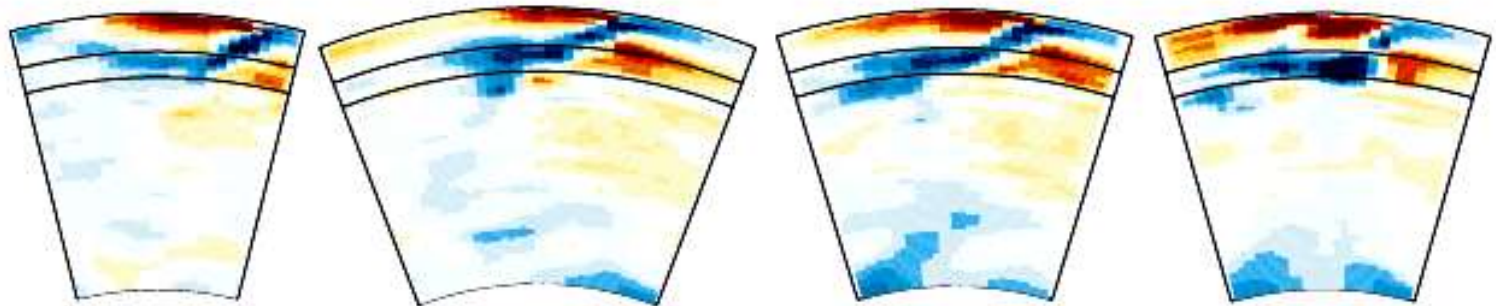
S-Kuril

Japan-A

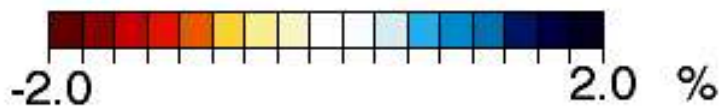
Japan-B

Izu-Bonin

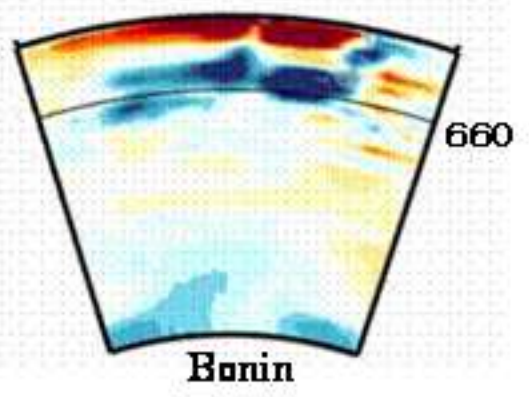
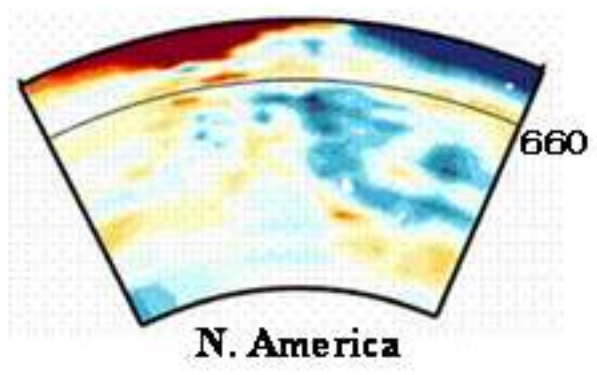
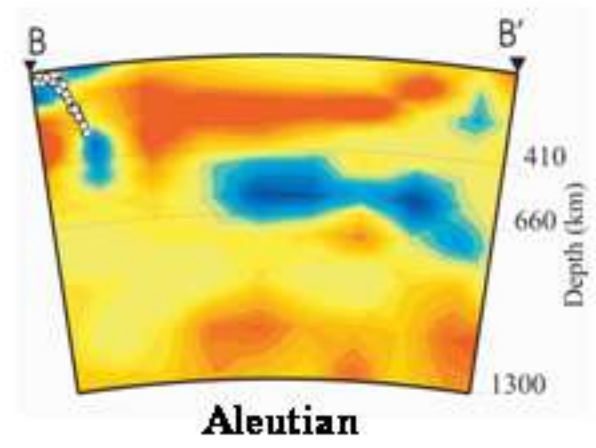
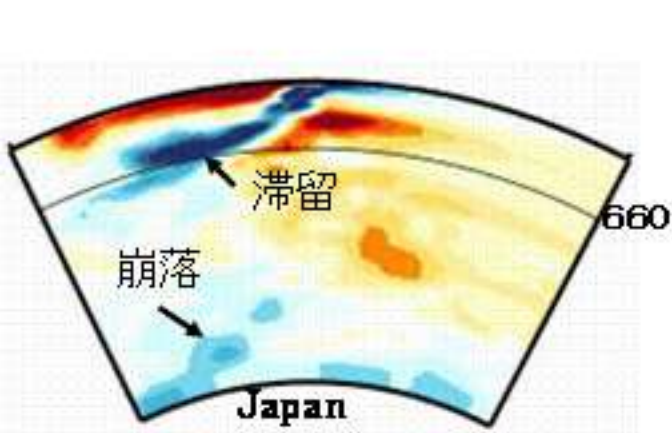
WEPP2



This Study

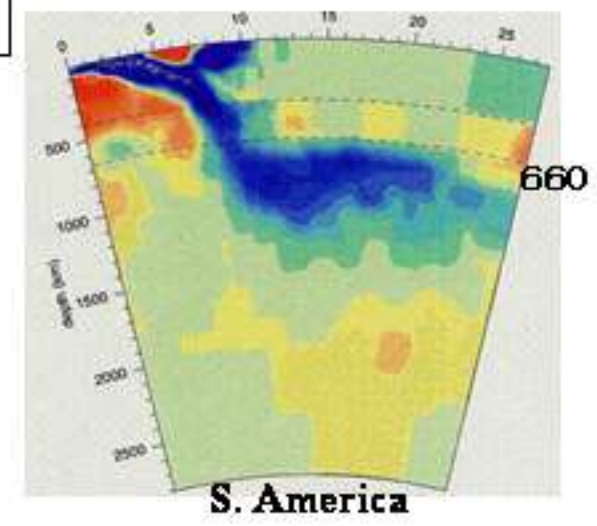
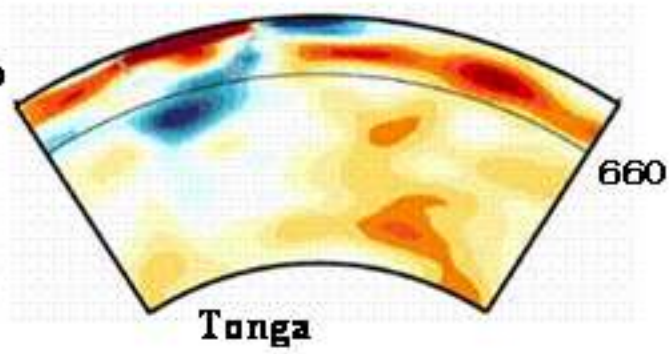
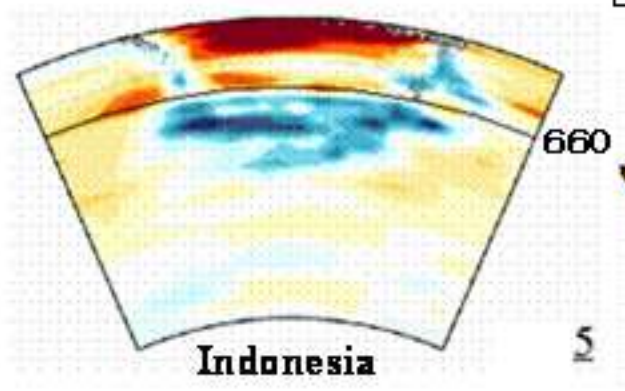
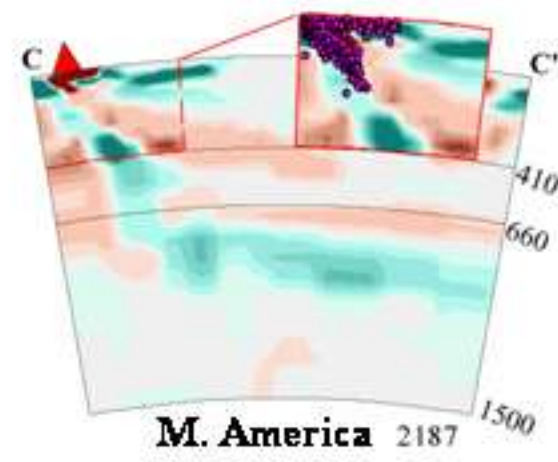


Takeuchi (2007)



海溝から沈み込んだプレートは
上部・下部マントル遷移層に
滞留し、やがて下部マントルに
崩落 (Fukao et al., 1992)

スタグナントスラブはグローバル
な現象 (Fukao et al., 2001)



マントル対流の特徴

アセノスフェア(内部)の流れ

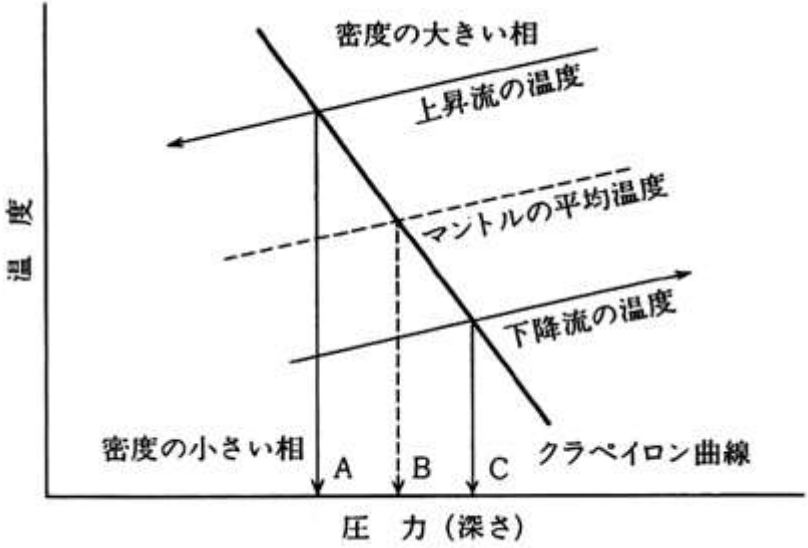


図 3.14 相変化がマントルに与える影響を示す図.

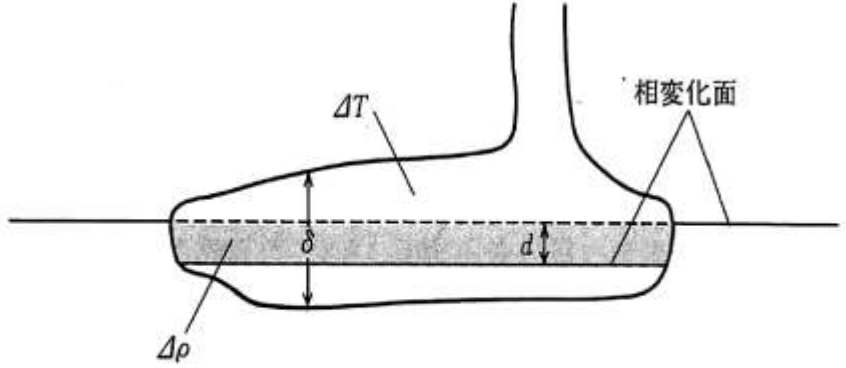


図 3.15 相変化面に冷却塊が停留している状態を示す図. 太い実線で囲まれた部分は、まわりより ΔT だけ温度が低い. アミをかけた部分は、相変化面の位置の変化によって生じた密度の低い部分を示す.

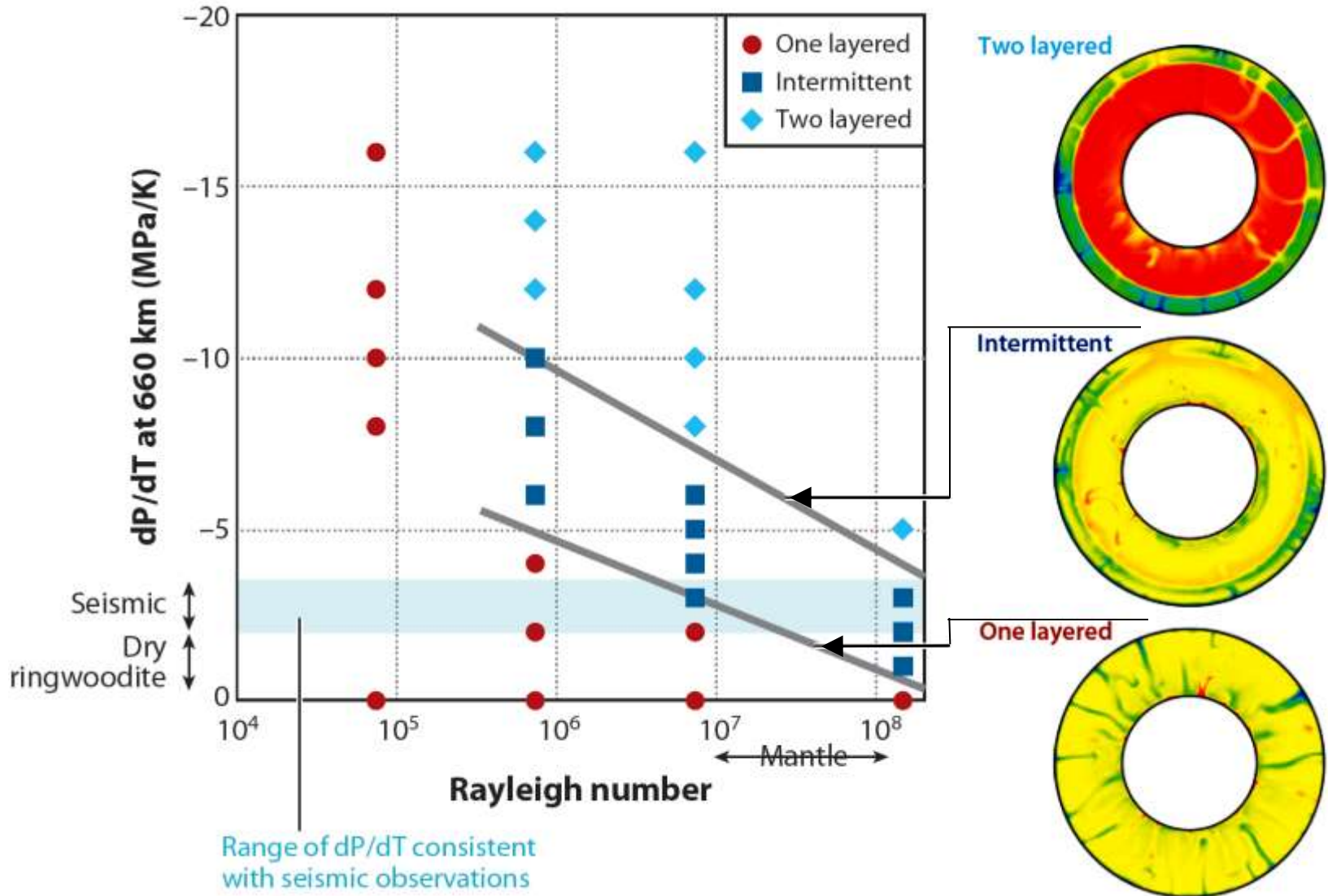
$$\frac{\Delta \rho |\gamma|}{\rho^2 g \alpha D} \Big|_{\text{critical}} \equiv |P_{\text{cr}}| = c_1 \left(1 - c_2 \frac{\mu_s}{\mu_m} \right) Ra^{-1/3}$$

本多 (1997)

マントル対流の特徴

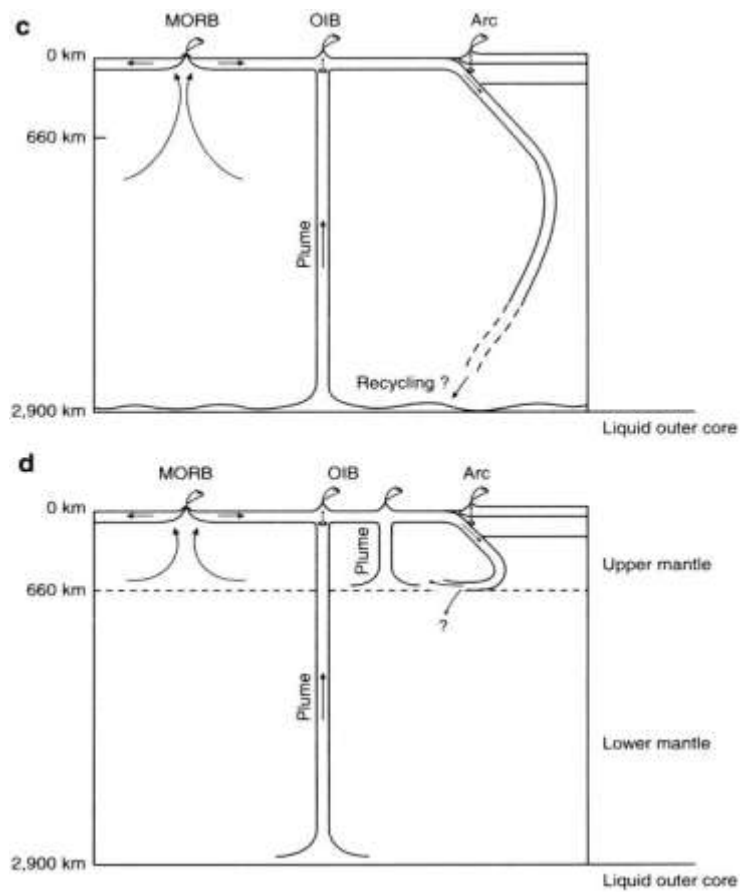
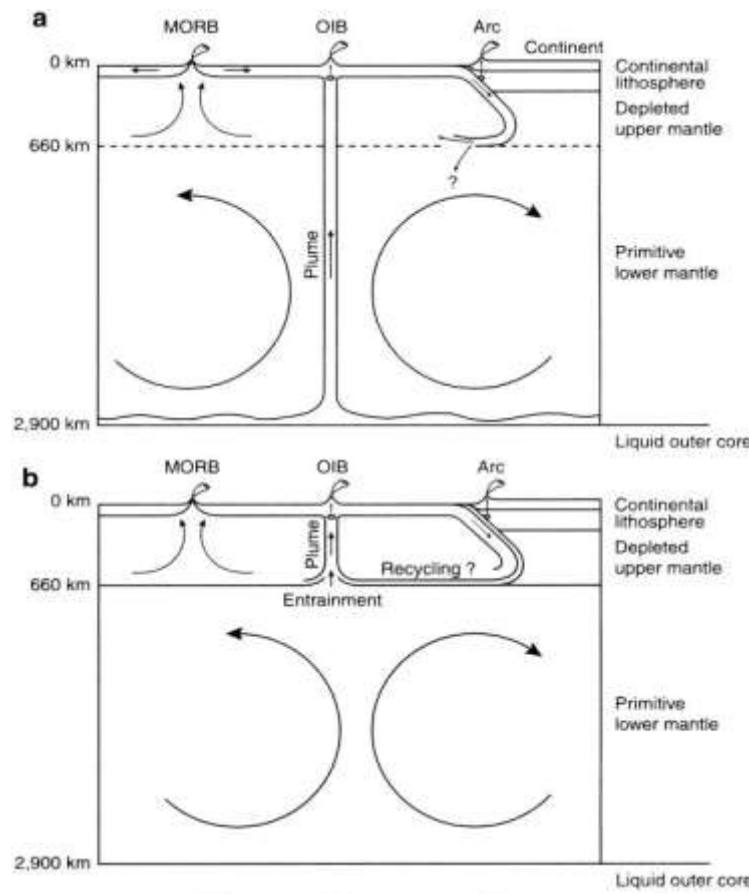
アセノスフェア(内部)の流れ

Fukao et al. (2009)

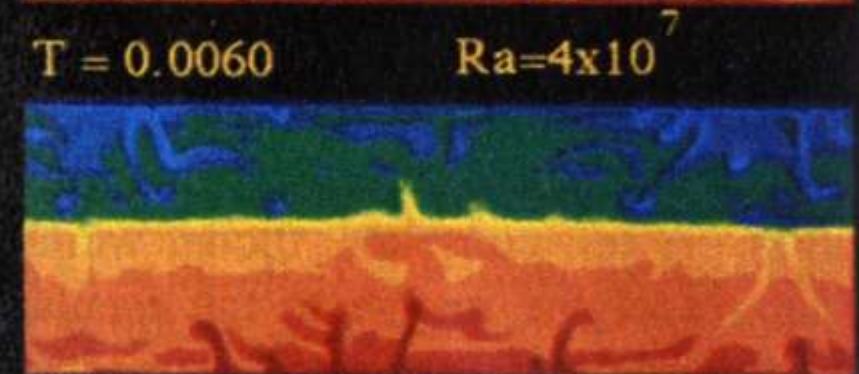
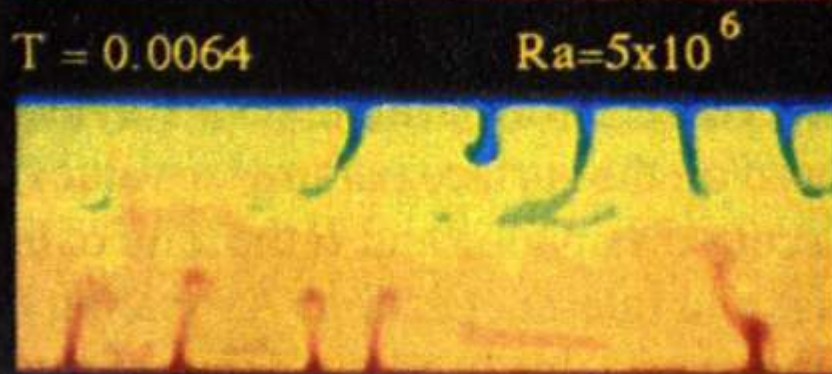
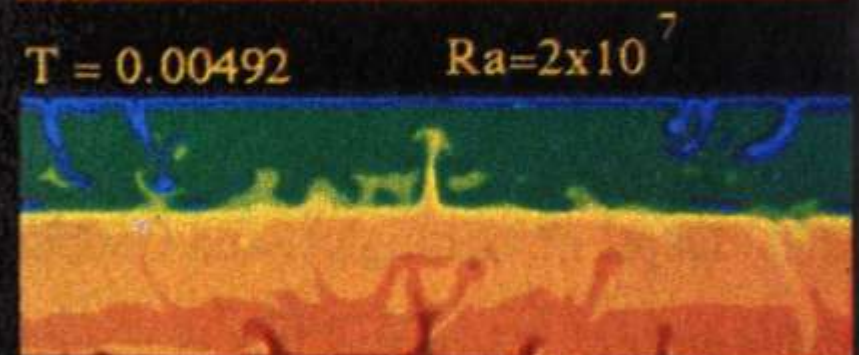
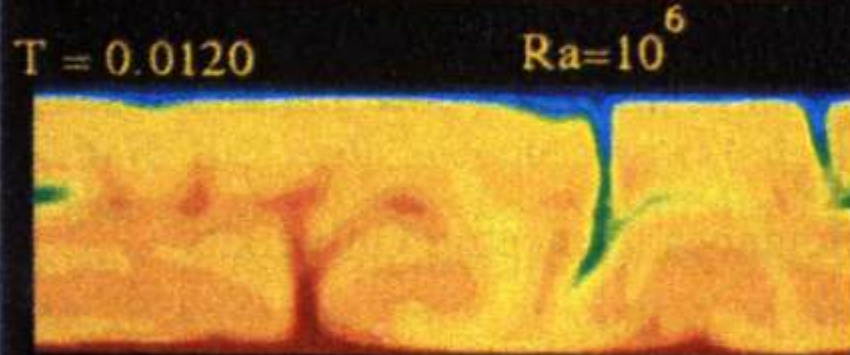
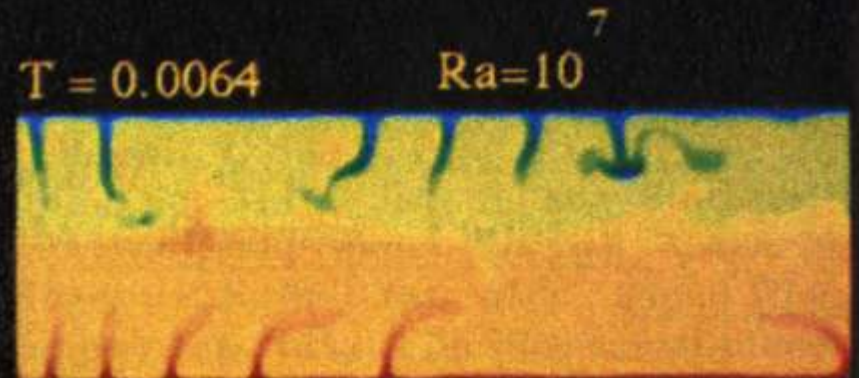
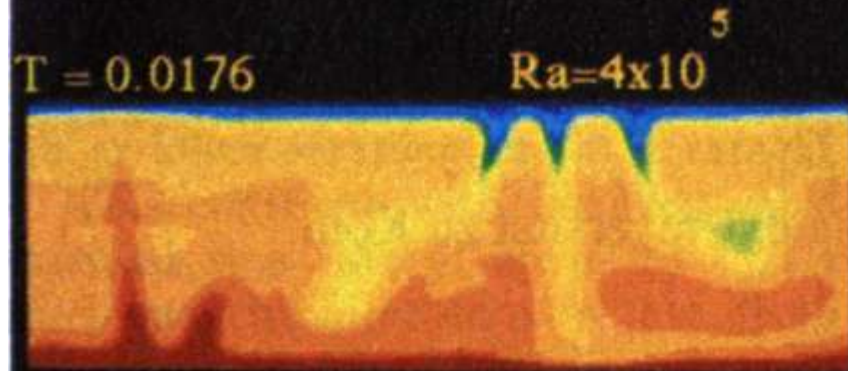


マントル対流の特徴

アセノスフェア(内部)の流れ

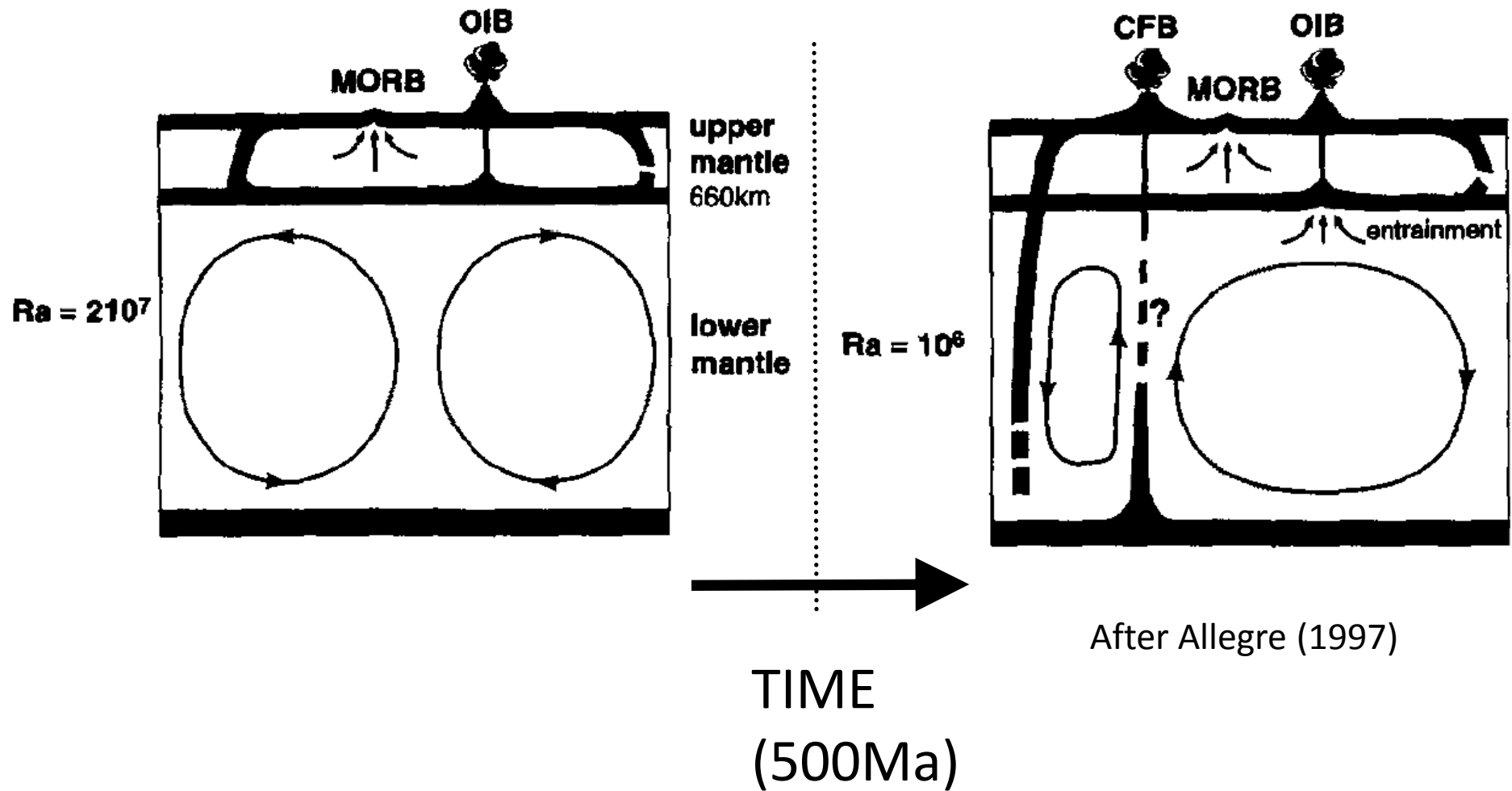


Double phase only, constant properties



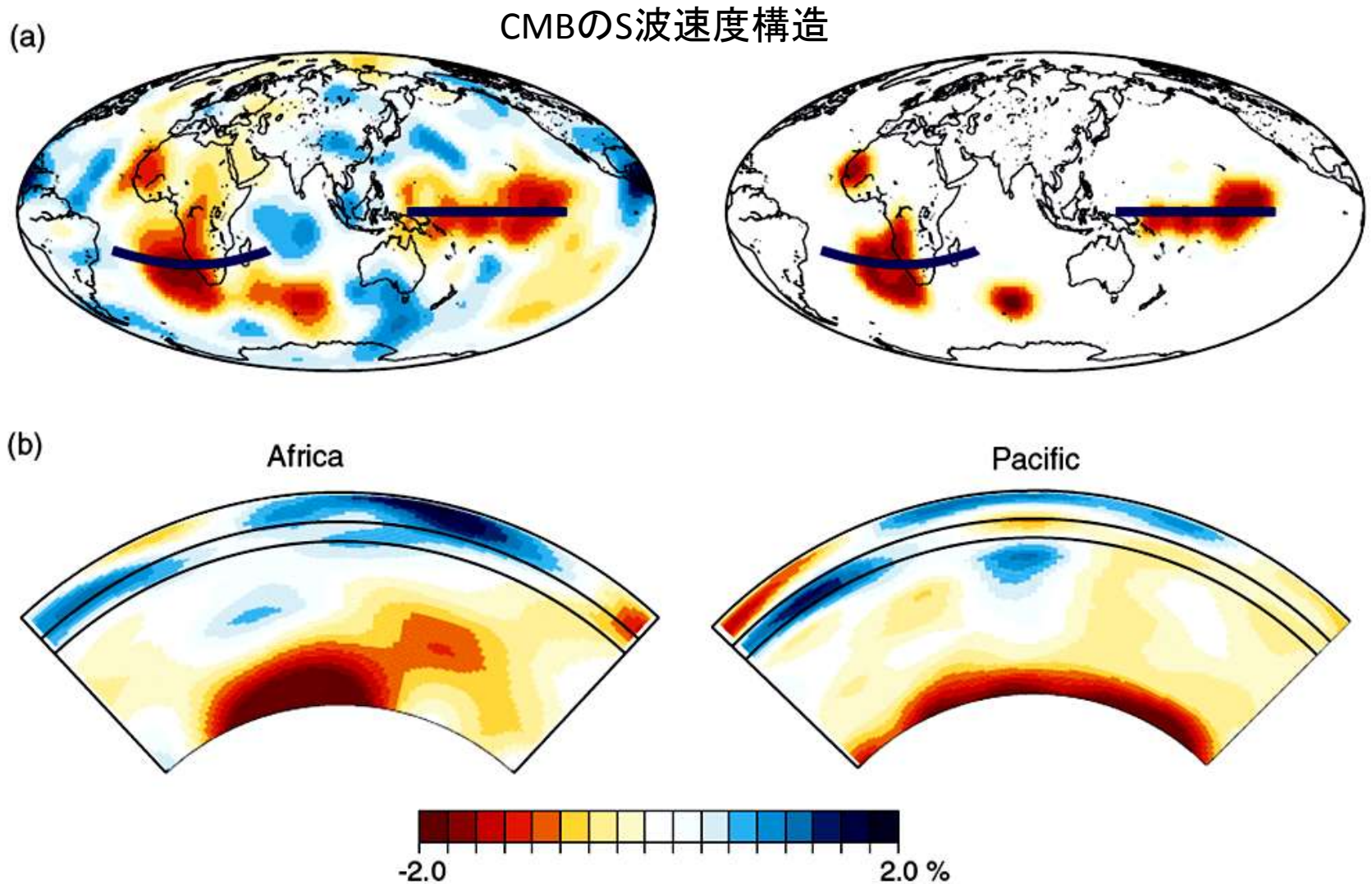
マントル対流の特徴

アセノスフェア(内部)の流れ



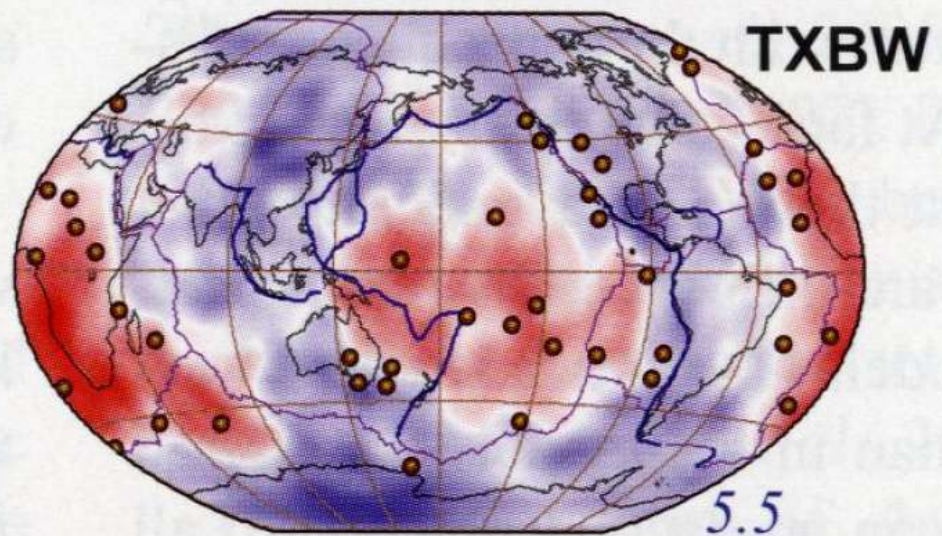
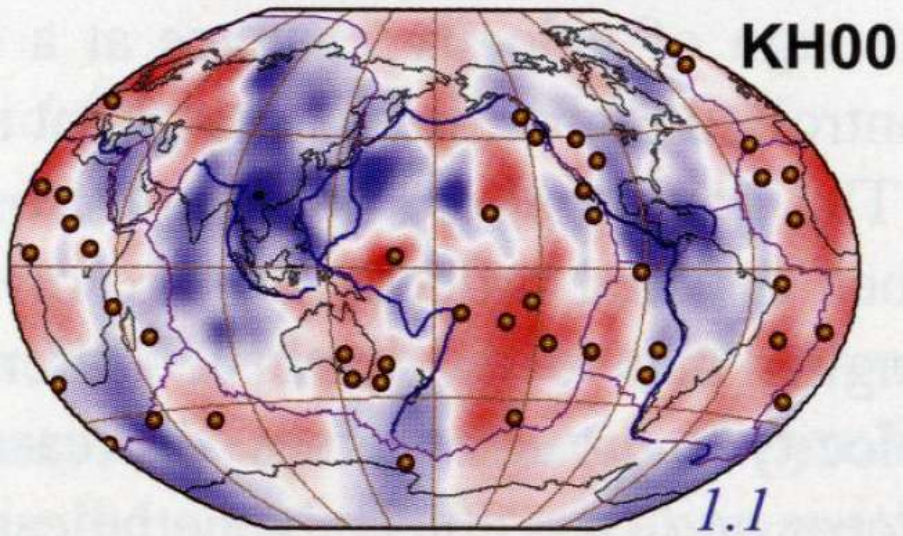
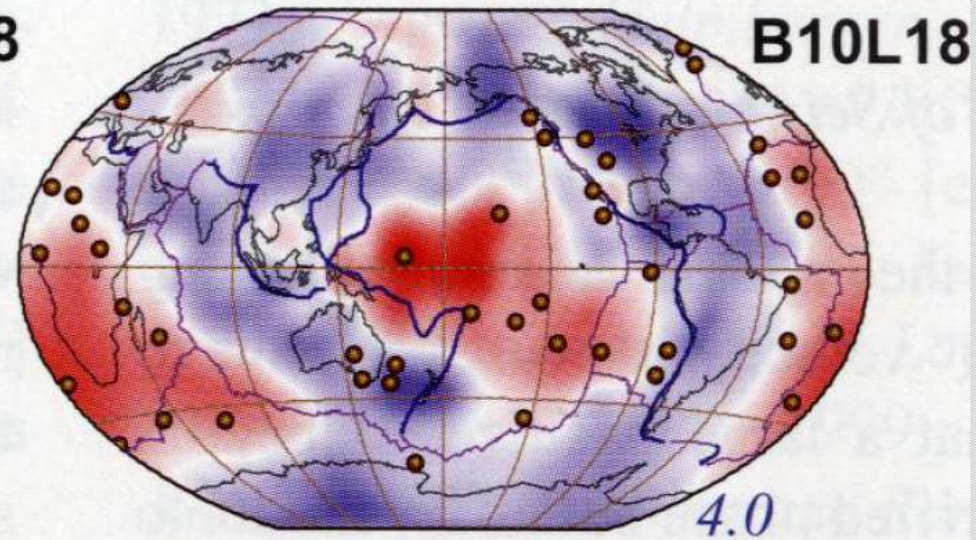
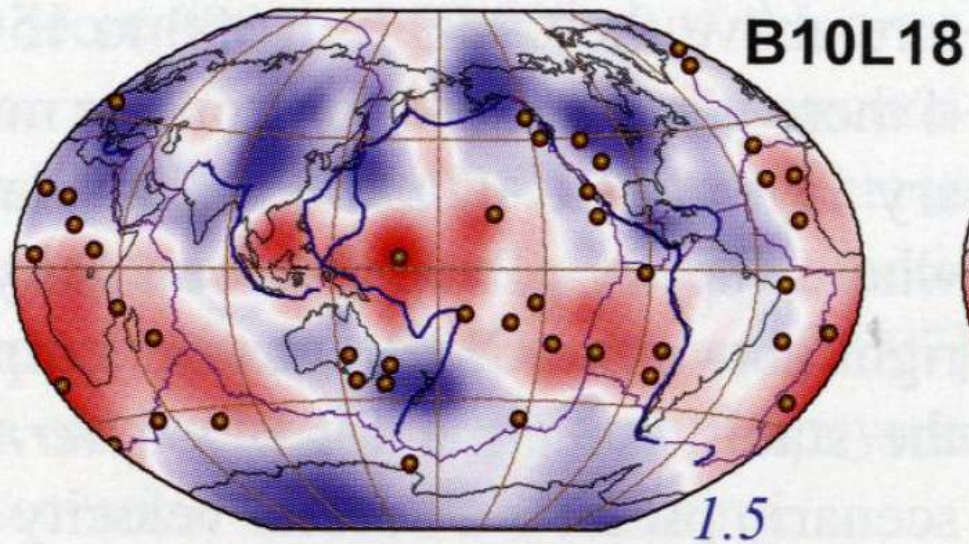
マントル対流の特徴

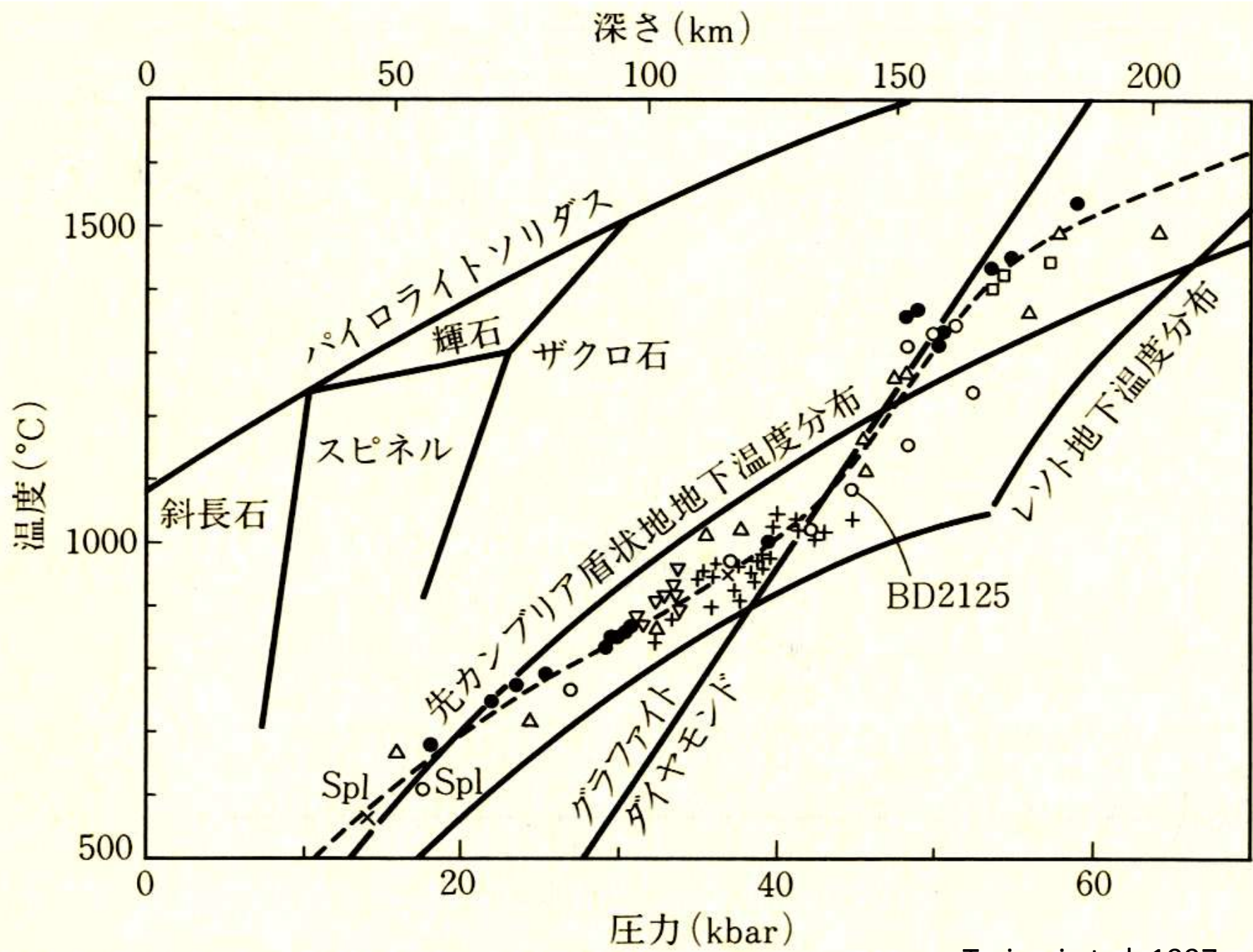
アセノスフェア(内部)の流れ: CMB



P-wave

S-wave





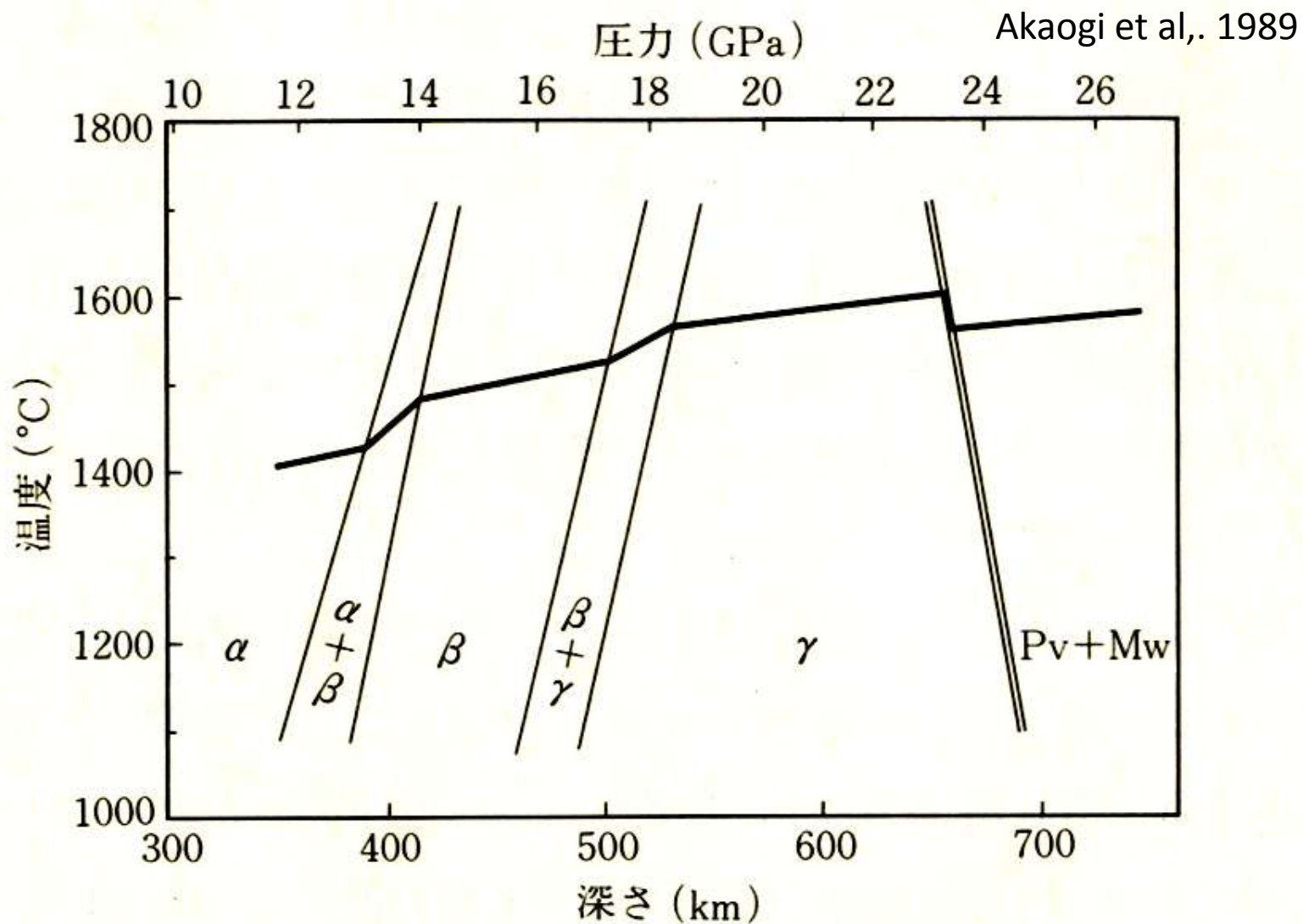


図 4.35 マントルオリビンの相転移境界線と温度分布 (Akaogi et al., 1989 などによる).

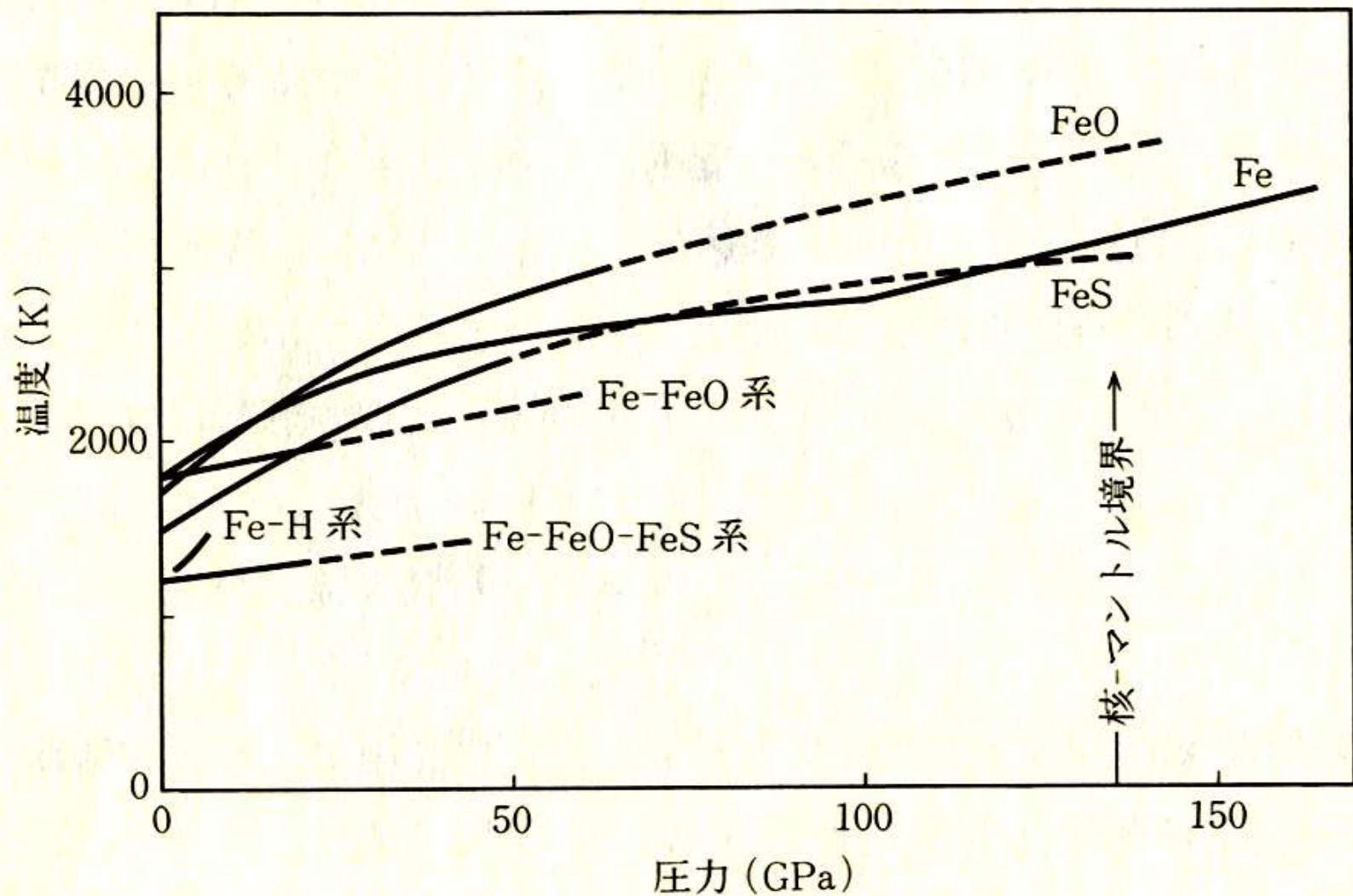
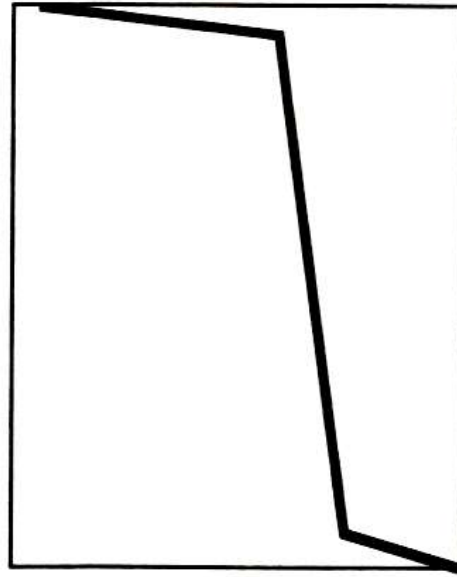


図 4. 38 鉄および鉄化合物の融解曲線. (Fe, FeO, FeS は Boehler, 1992, 1993 に, Fe-FeO は Ohtani et al., 1984; Ringwood and Hibberson, 1990 に, Fe-FeO-FeS は Urakawa et al., 1987 に, Fe-H は Yagi and Hishinuma, 1995 による)

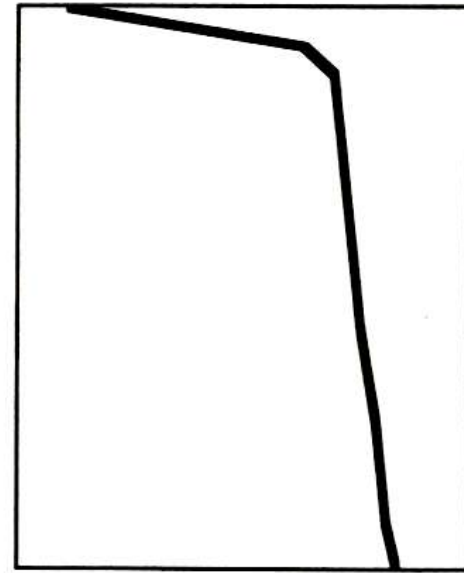
地表

温度



(a)

温度

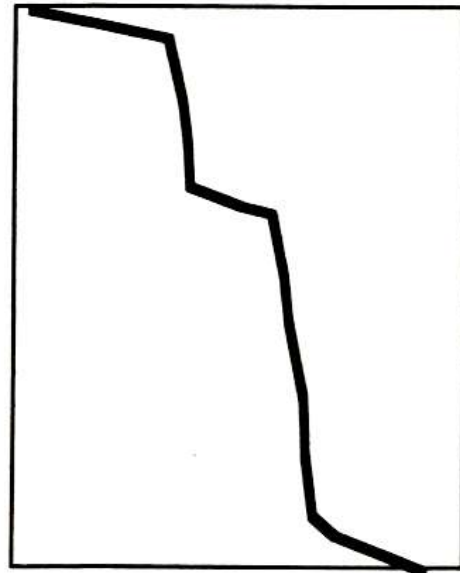


(b)

マントル核境界

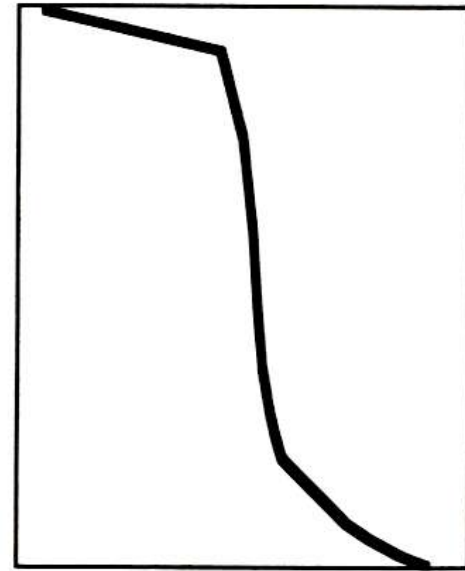
地表

温度



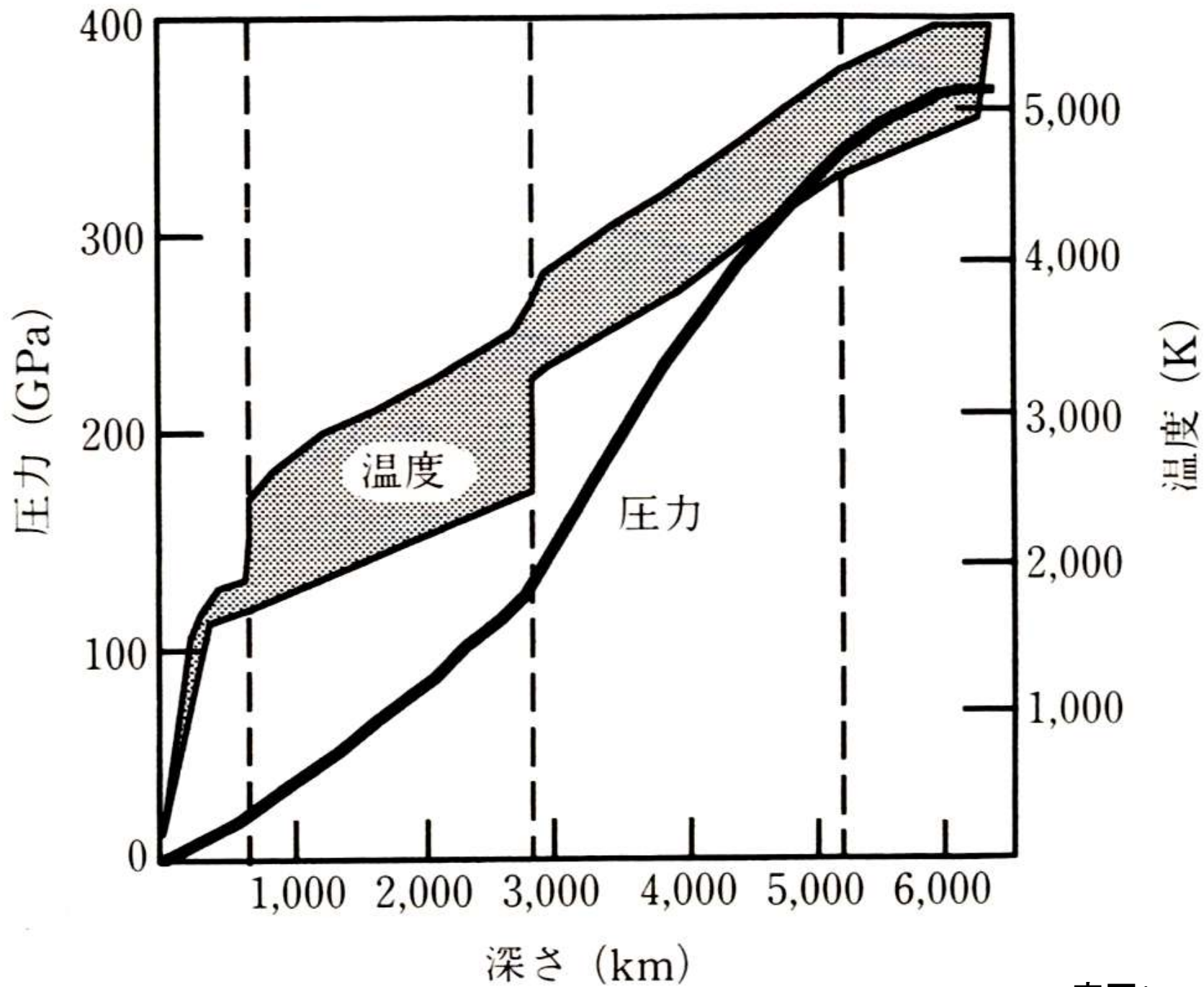
(c)

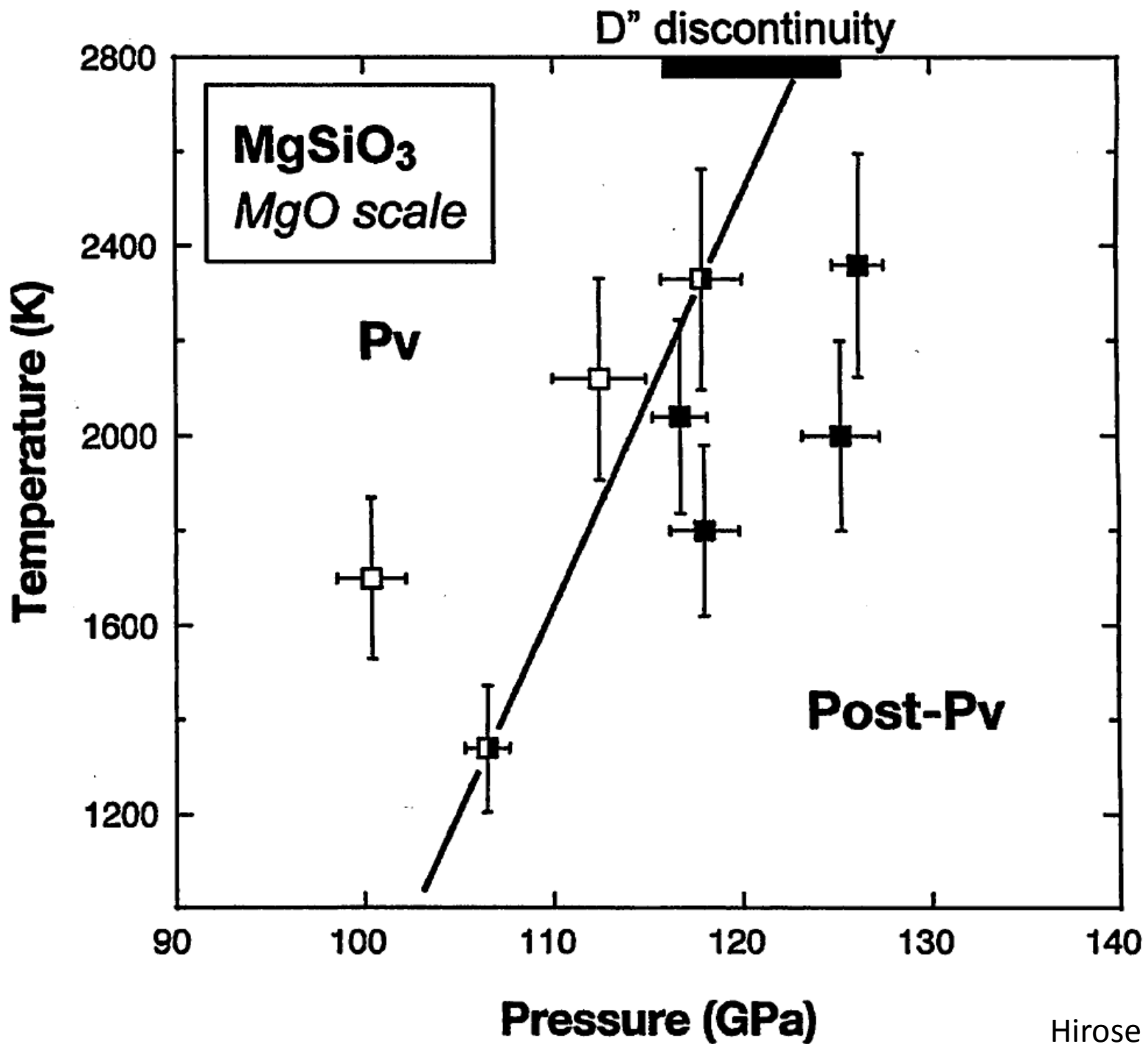
温度



(d)

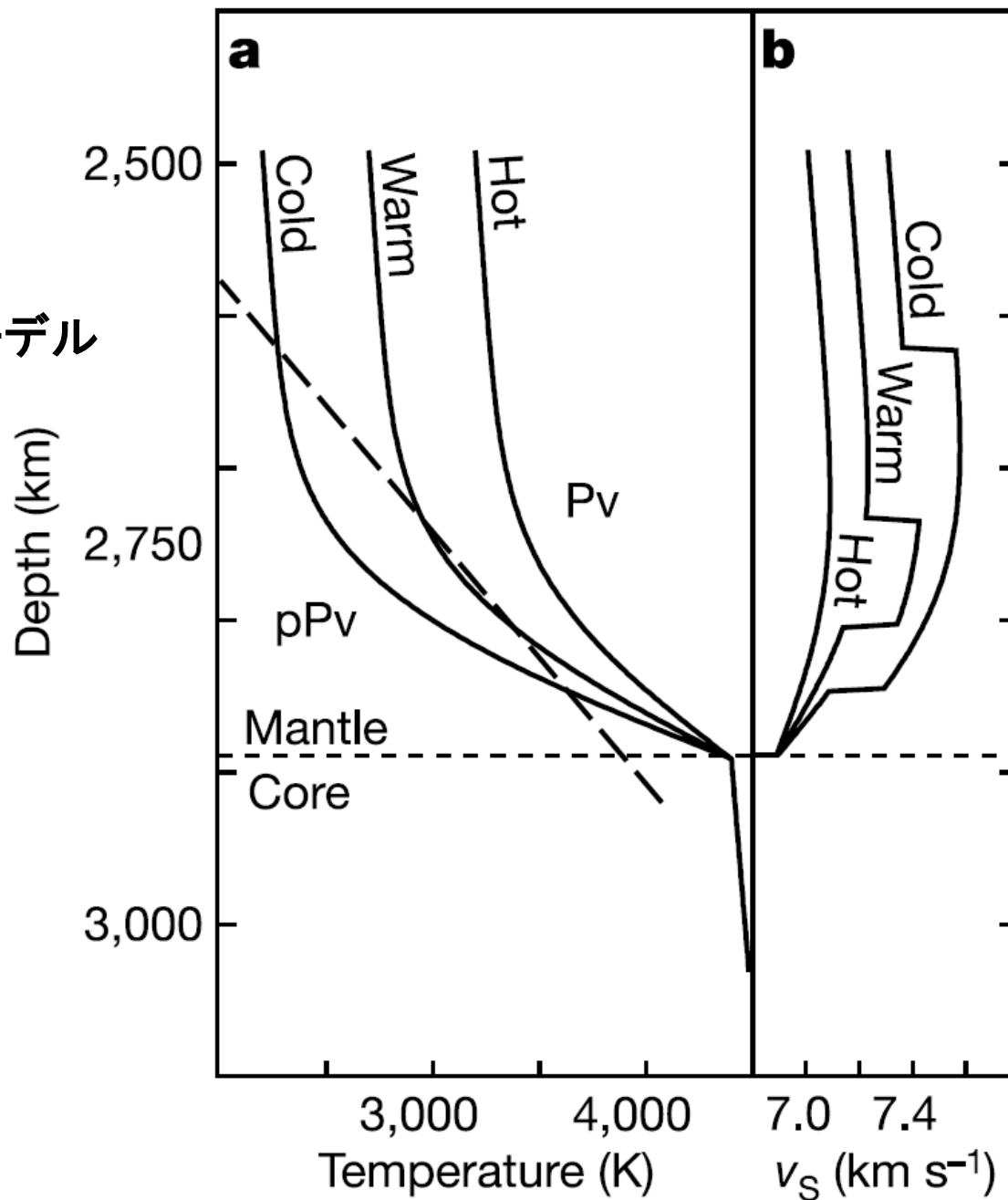
マントル核境界

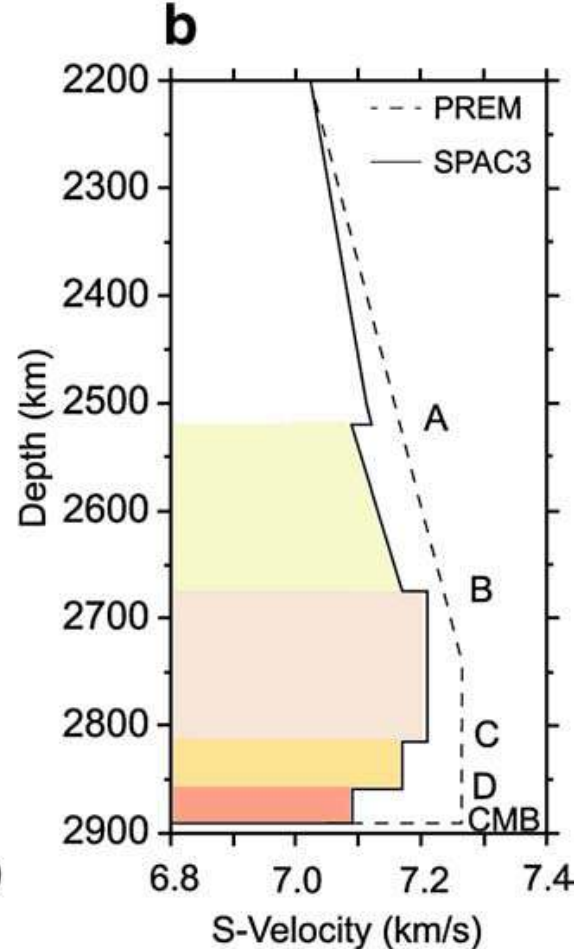
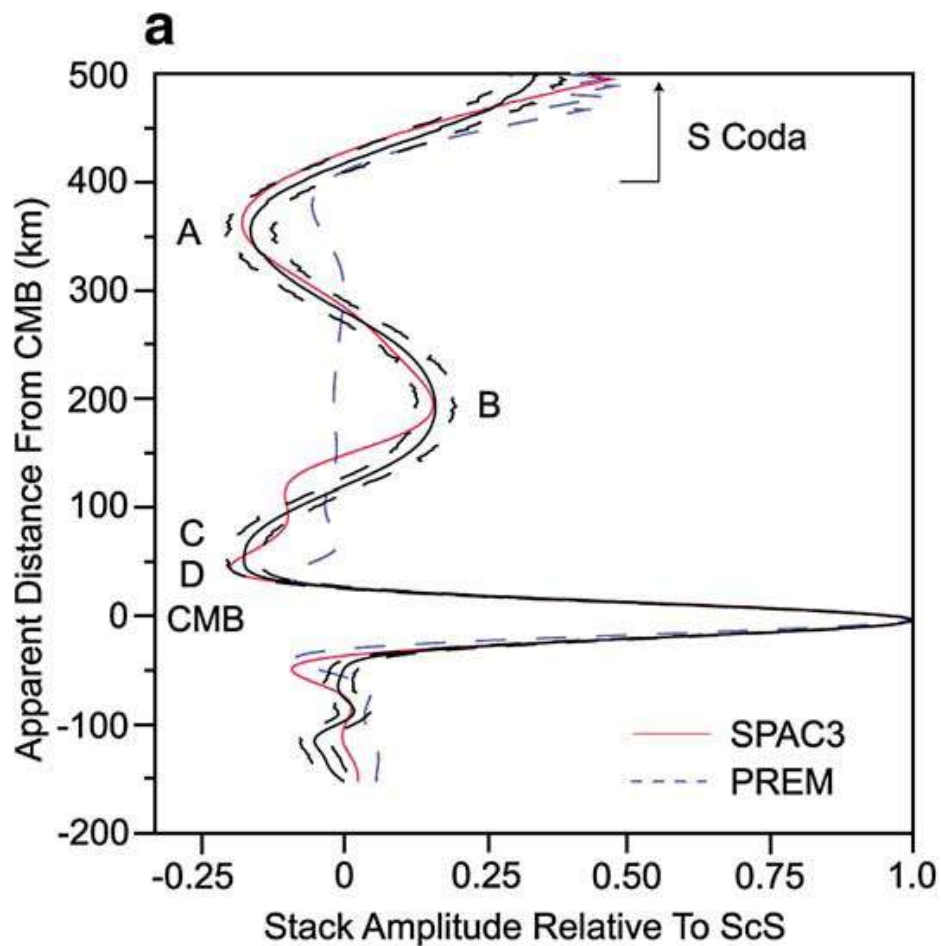




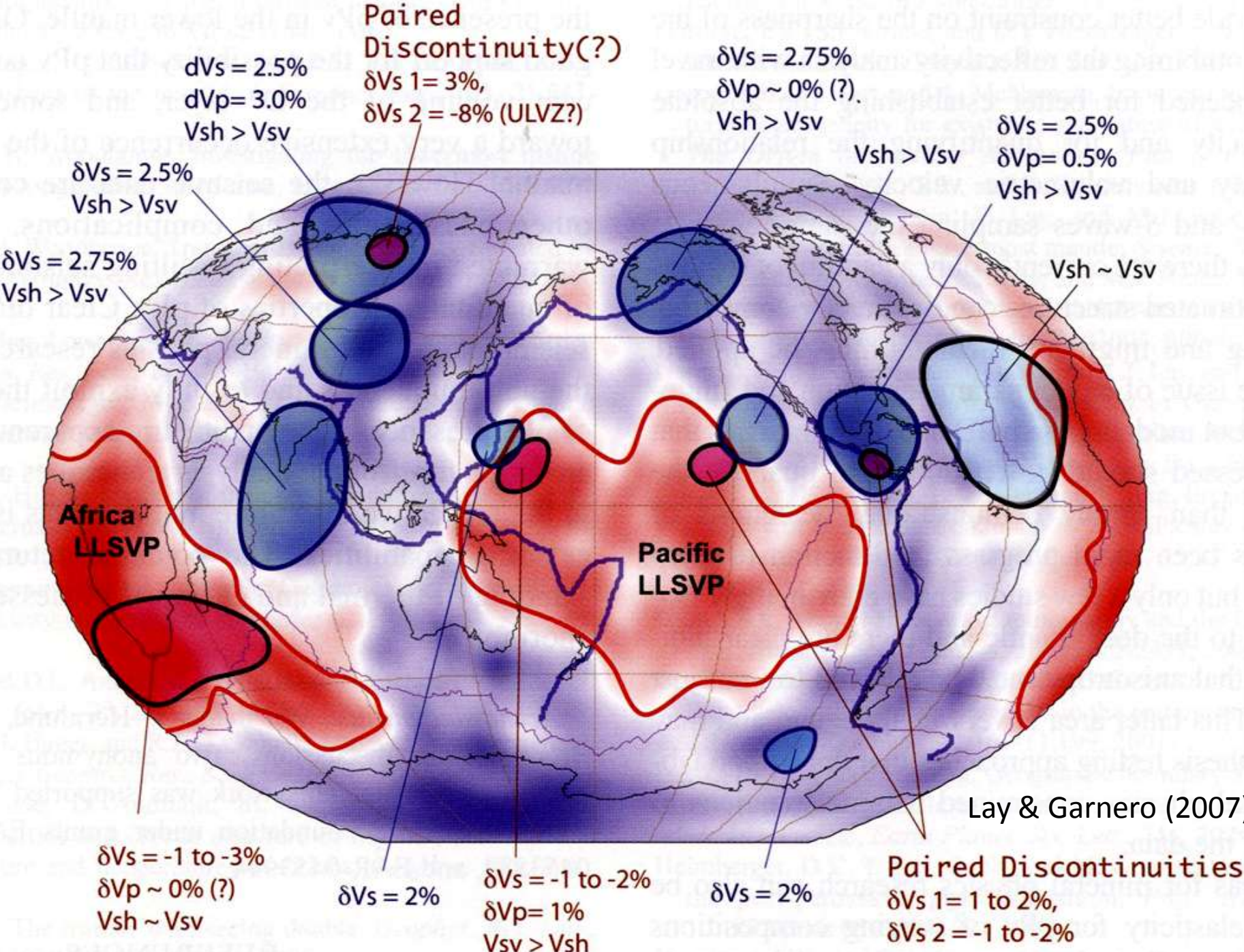
Double Crossing Model 「相変化境界を2度よぎる」モデル

Hernlund et al. (2005)

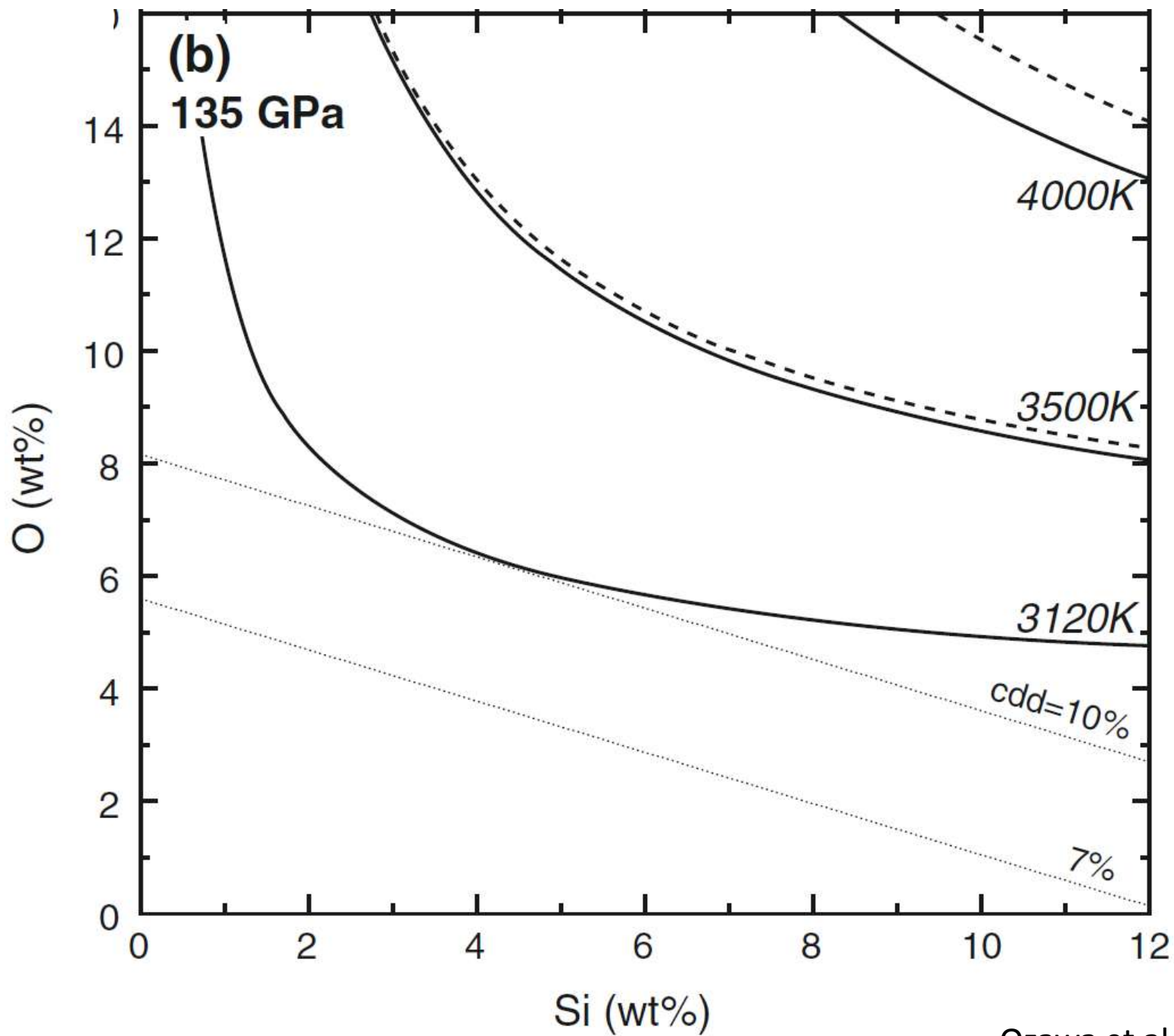


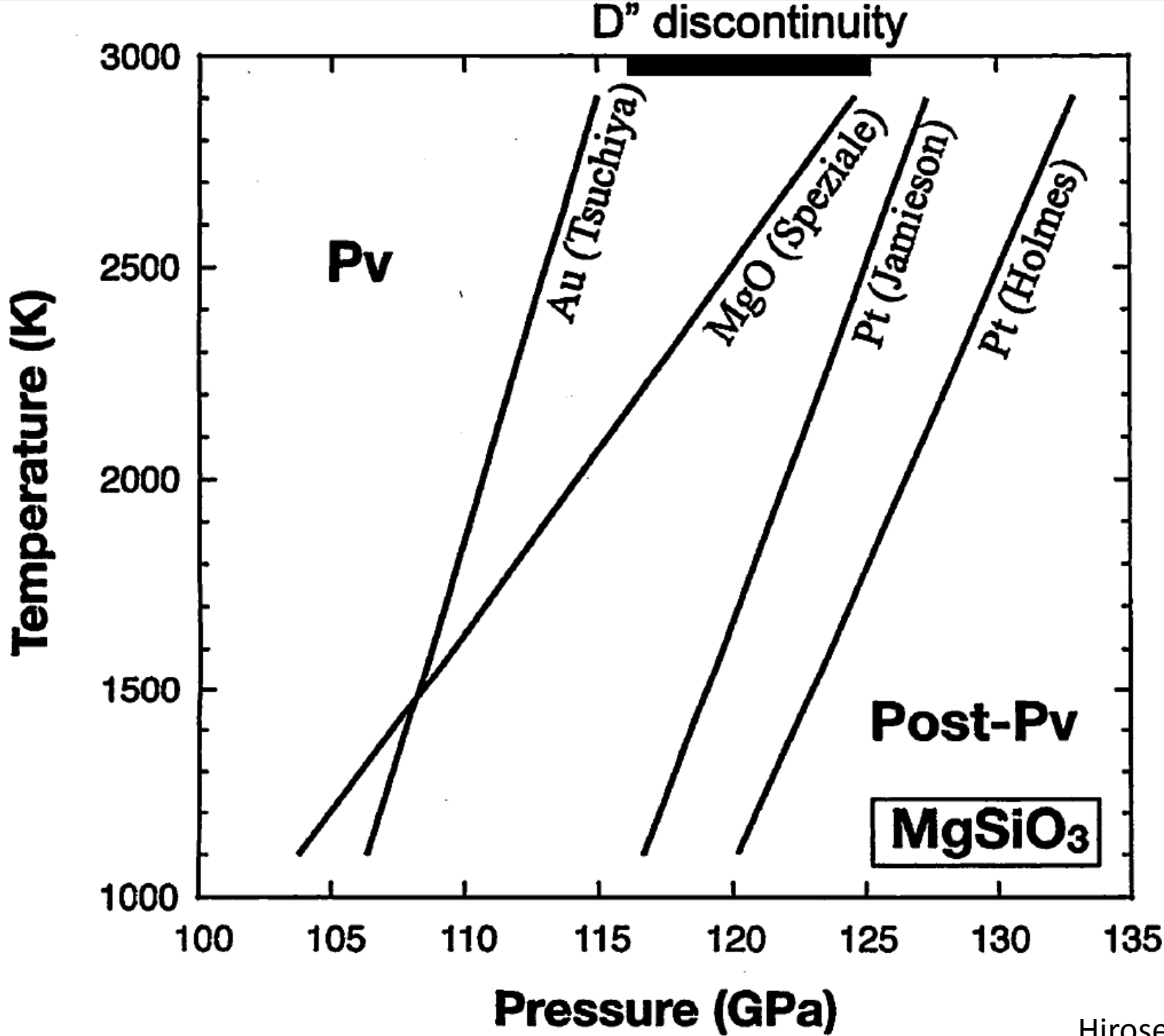


- A** results from post-perovskite and SiO₂ phase transitions in the MORB component,
B from post-perovskite phase transition in the pyrolitic component,
C from back transformation of the post-perovskite to perovskite in the pyrolitic material due to rapid temperature increase (Lay et al., 2006)
D from onset of partial melting just above the CMB.

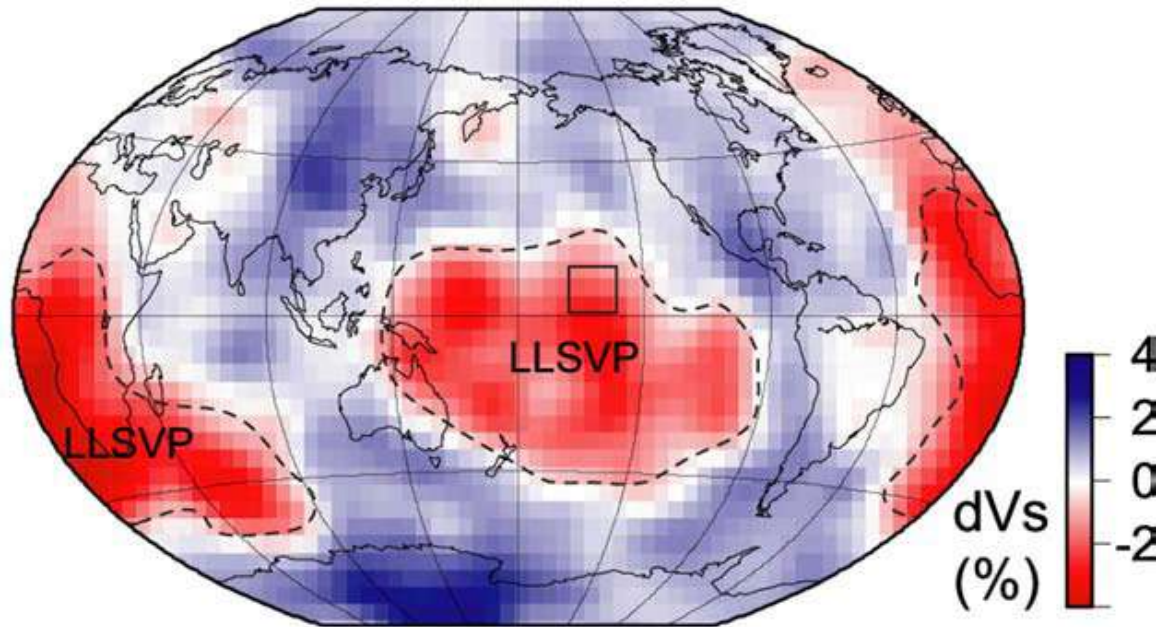


Lay & Garnero (2007)

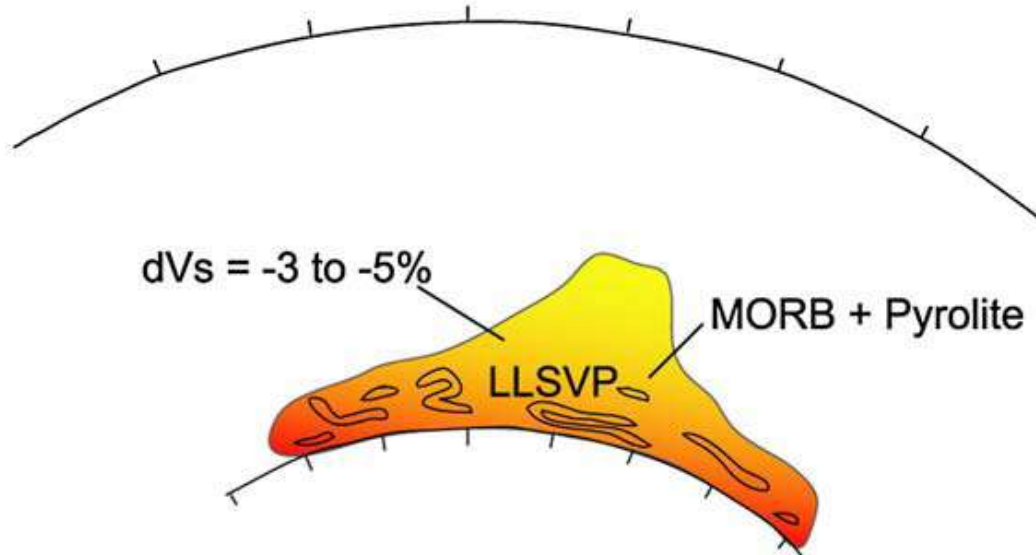


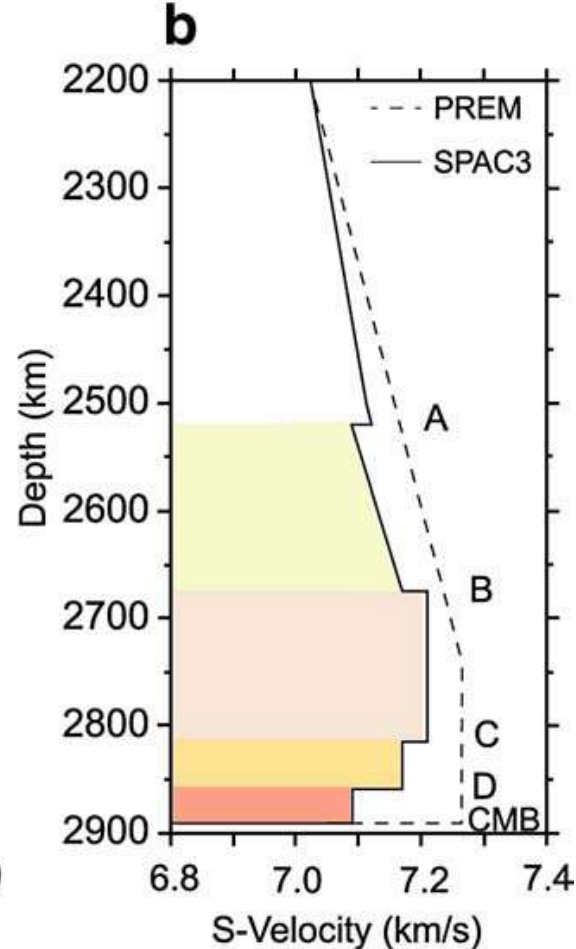
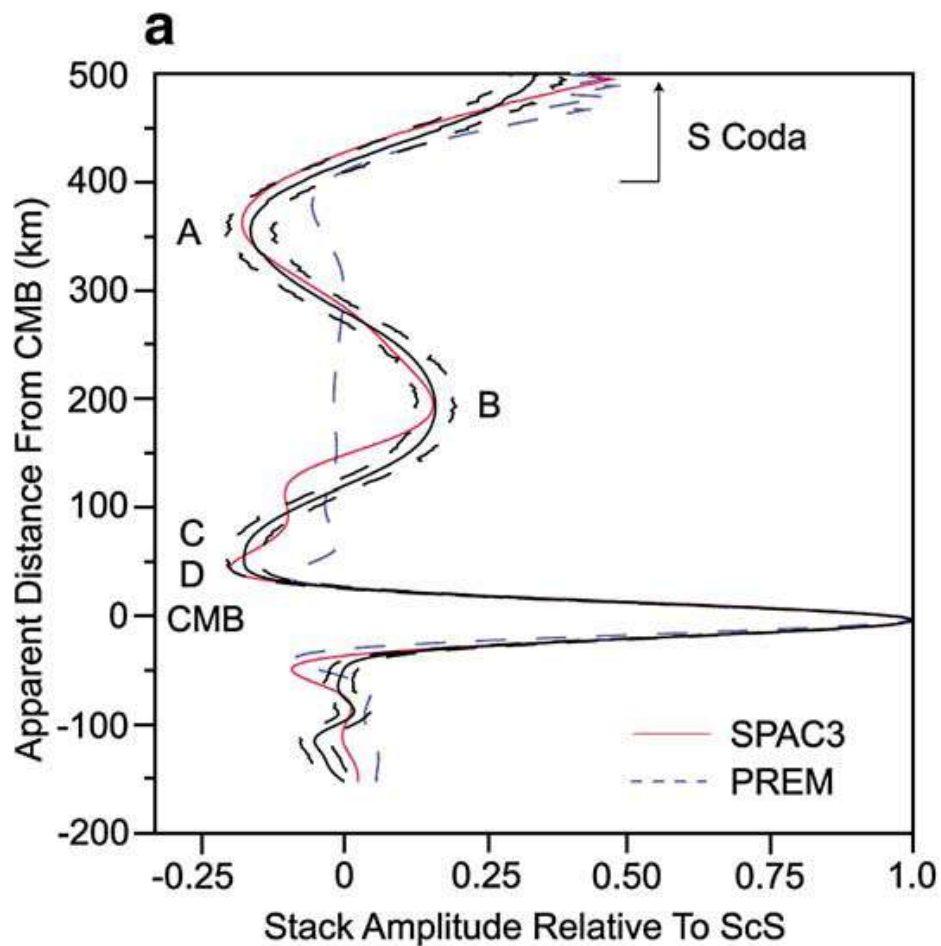


a D" shear velocity



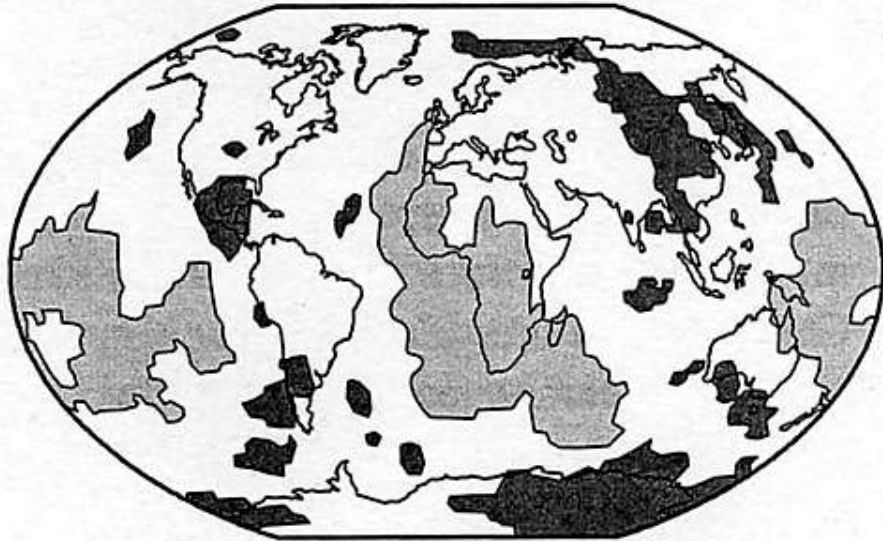
b Schematic cross-section through an LLSVP



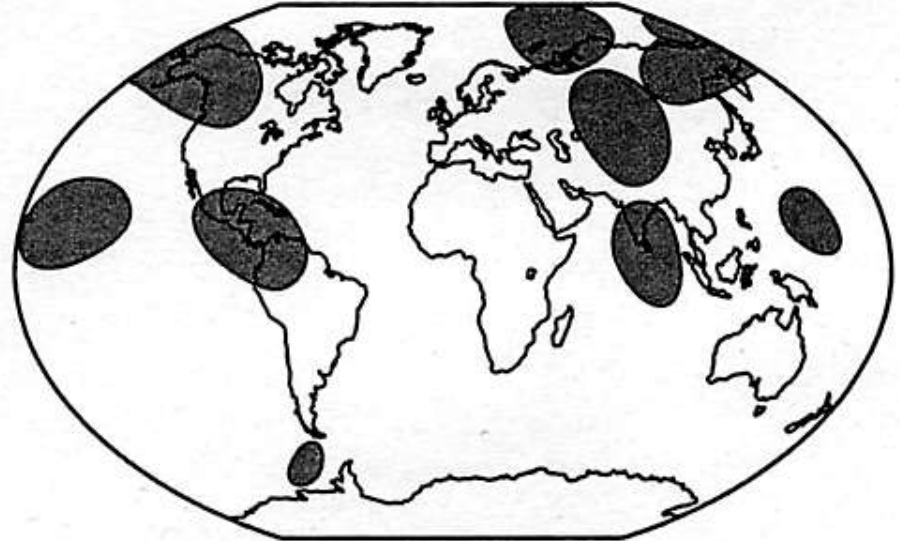


- A** results from post-perovskite and SiO₂ phase transitions in the MORB component,
B from post-perovskite phase transition in the pyrolitic component,
C from back transformation of the post-perovskite to perovskite in the pyrolitic material due to rapid temperature increase (Lay et al., 2006)
D from onset of partial melting just above the CMB.

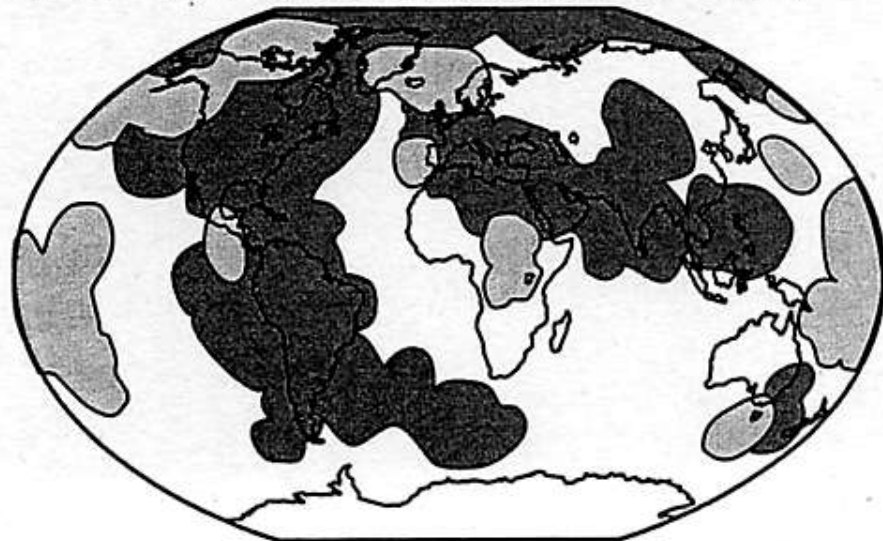
(a) High (dark) and low (light) D" shear velocity



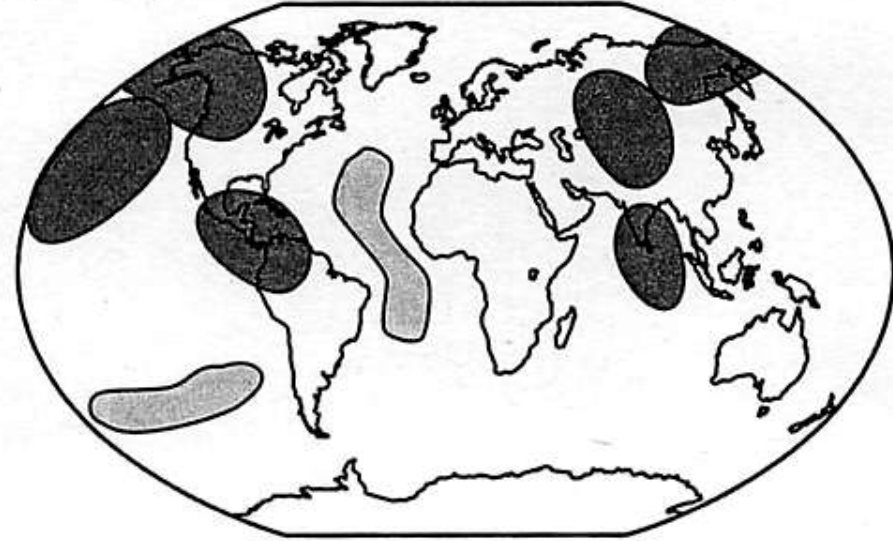
(b) Regional D'' discontinuity detections

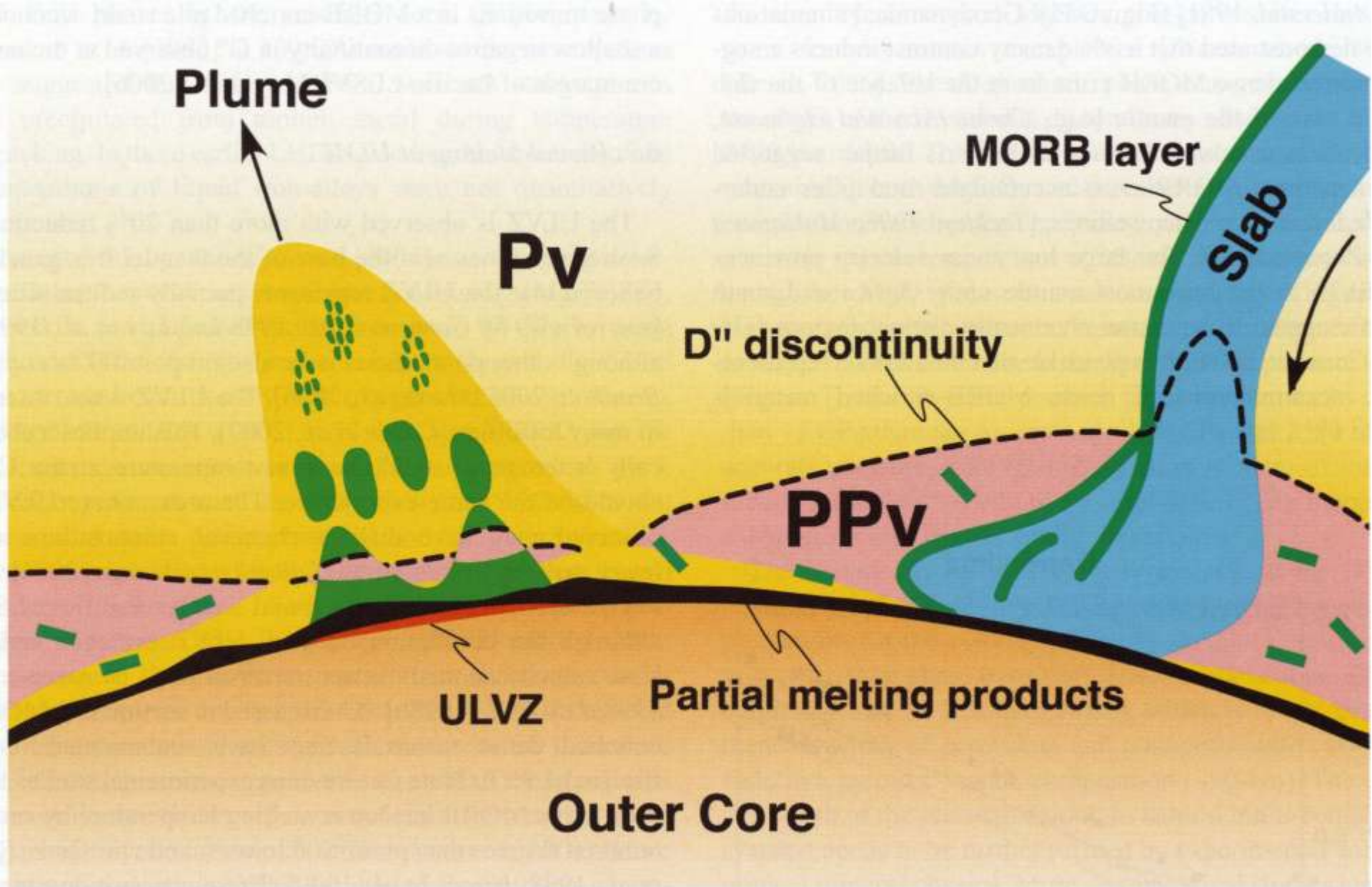


(c) Inferred ULVZ presence (light) and absence (dark)



(d) Strong (dark) and weak (light) D'' anisotropy





マントル対流の特徴

アセノスフェア(内部)の流れ

地震波(S波)トモグラフィーモデル
Takeuchi (2007)

不均質性が大きい部分

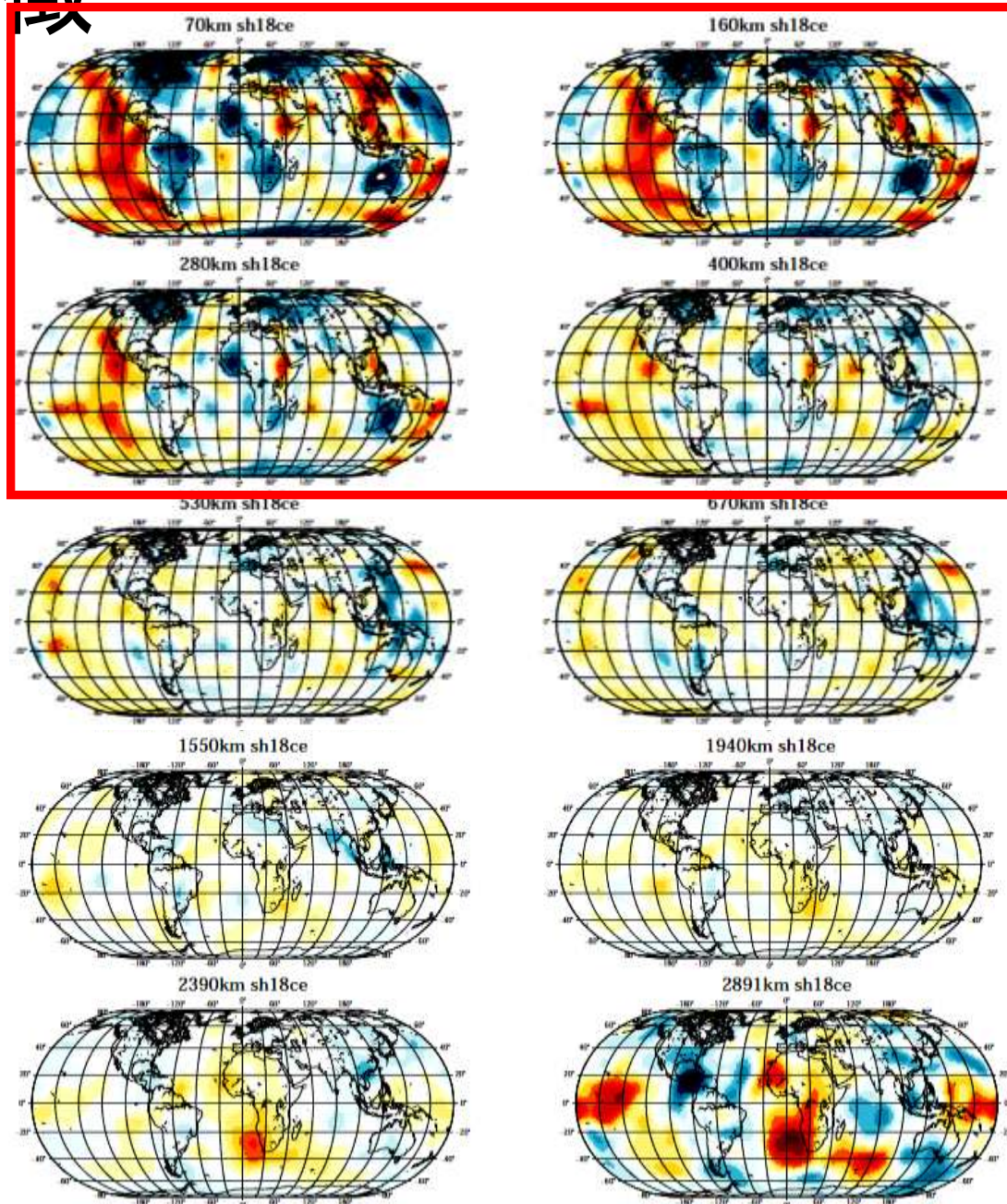
リソスフェアー遷移層(660km)

コアーマントル境界付近(2891km)

地球は表面から冷やされ、
不均質・不安定が発達

+

下面から(表面よりは弱く?)
不安定が発達

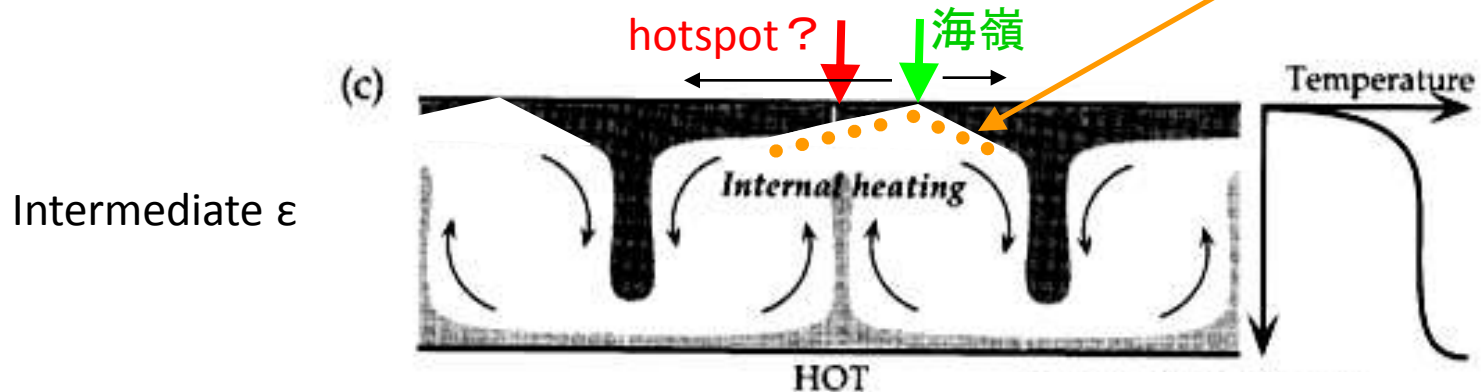


マントル対流の特徴

リソスフェア(表層)とアセノスフェア(内部)

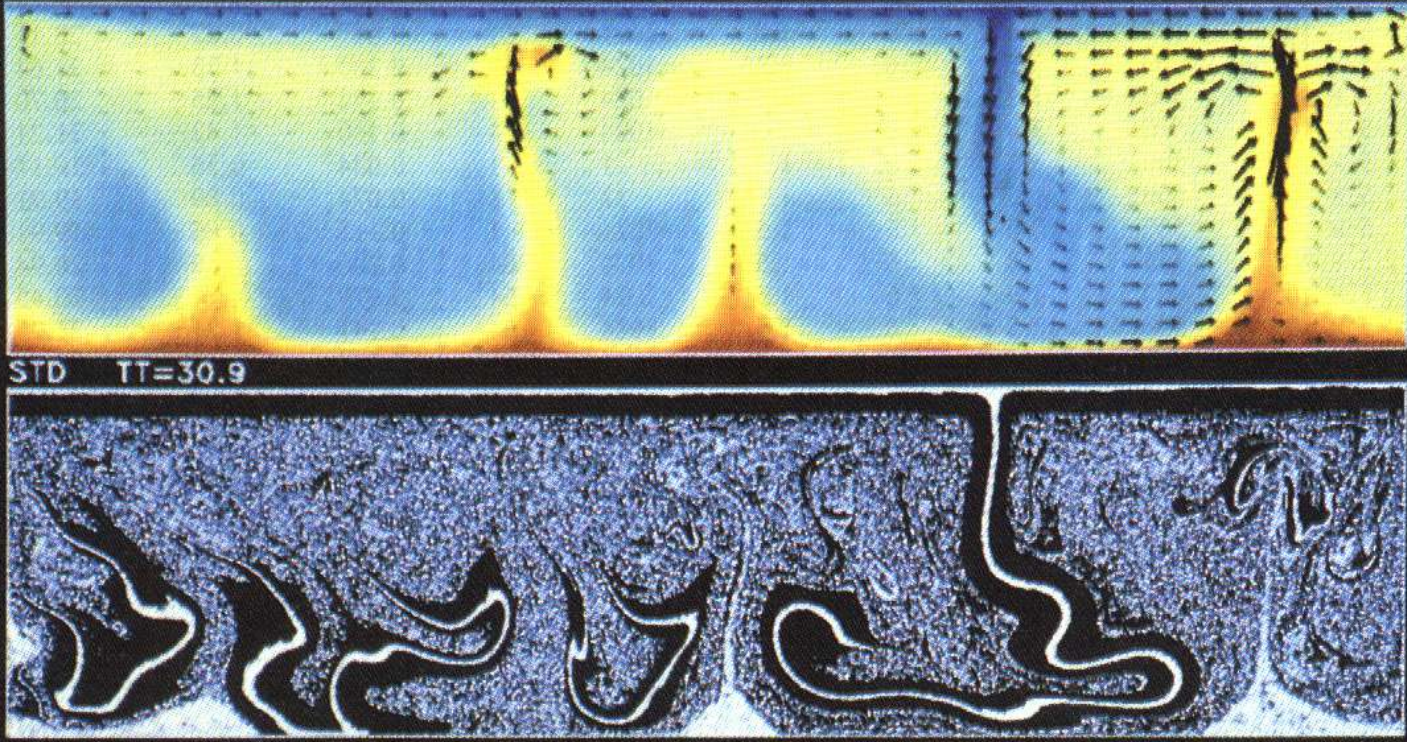
ϵ は小さくはなく、実際にトモグラフィーでは表面～遷移層の不均質性が大きい。
⇒ 地球内部は「五右衛門風呂」ではなく、表面からの冷却が主要因となる対流？

リソスフェアとアセノスフェアはデカップル？

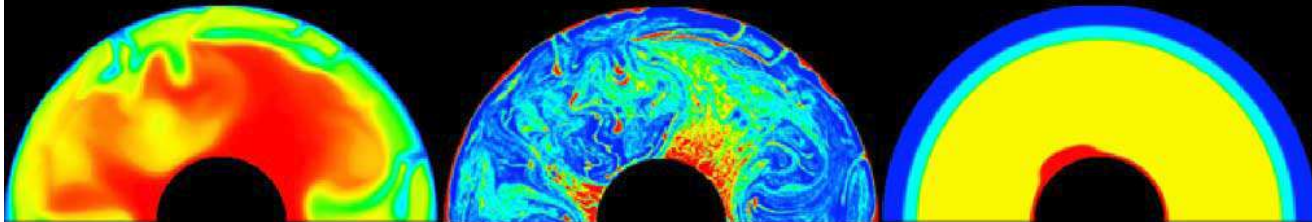


Davies, 1999 に加筆

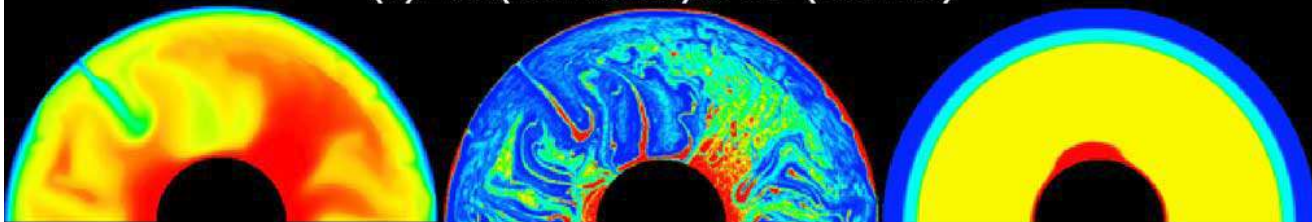
Christensen
& Hofmann (1994)



(a) 256 (horizontal) x 128 (vertical)



(b) 256 (horizontal) x 192 (vertical)

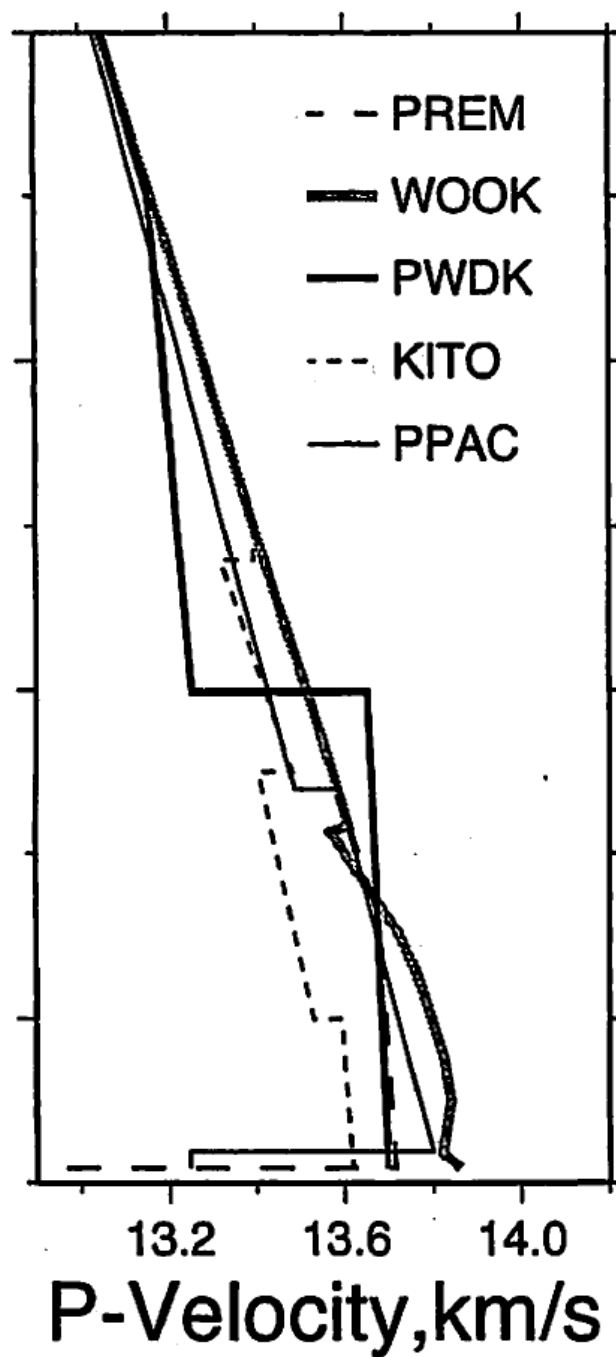
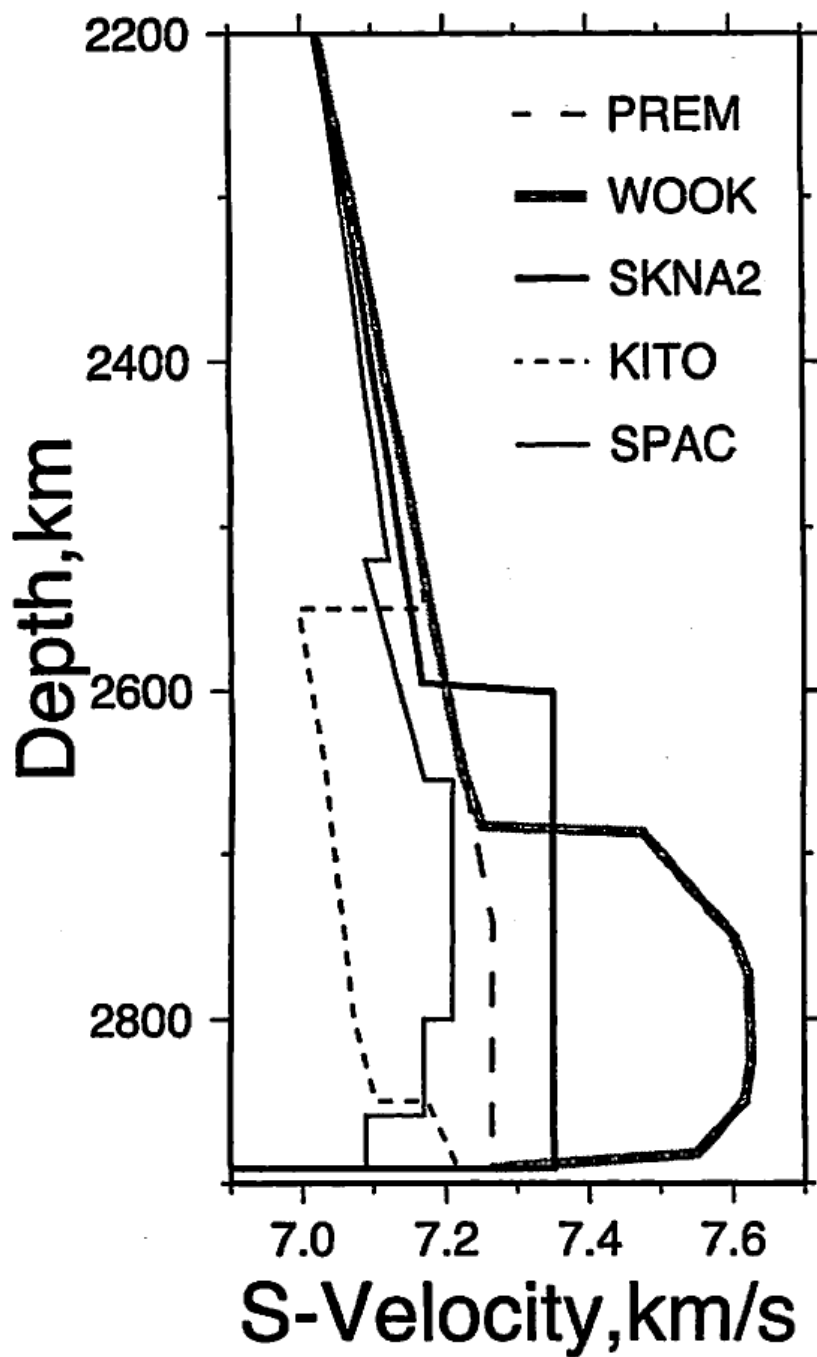


Nakagawa
& Tackley (2005)

Temperature

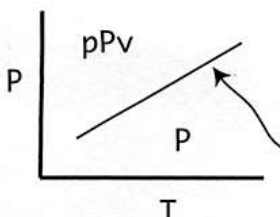
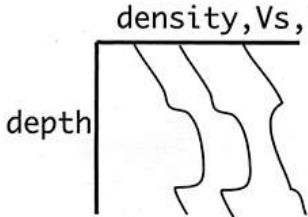
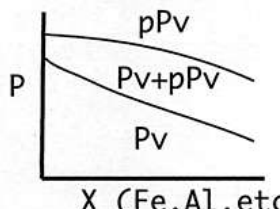
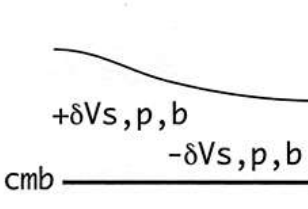
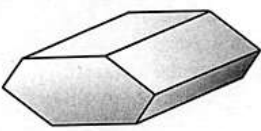
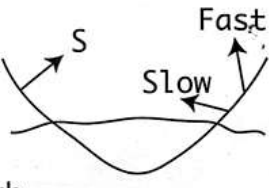
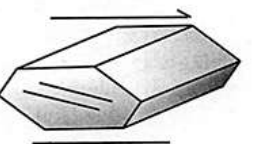
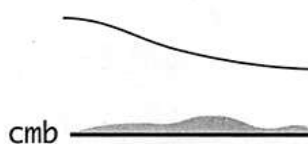
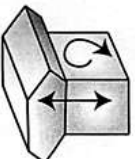
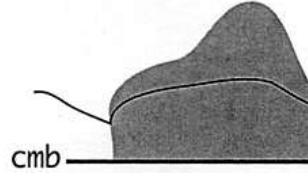
Composition

Phase function



Mineral Physics

Seismology

 <p>Fixed Composition $\delta\rho$</p> <p>Clapeyron Slope, dP/dT</p>	 <p>density, V_s, V_p</p> <p>$\delta \ln \rho, \delta \ln V_s, \delta \ln V_p$</p> <p>Sharpness</p> <p>Paired Discontinuities</p>
 <p>Fixed T</p> <p>Transition Width</p> <p>X (Fe, Al, etc.)</p>	 <p>Topography Relationship to Volumetric Velocity</p> <p>$+\delta V_{s,p,b}$</p> <p>$-\delta V_{s,p,b}$</p>
 <p>V_p, pV_p</p> <p>C_{ijkl}</p> <p>$V_s(\theta, \phi), V_p(\theta, \phi)$</p>	 <p>Shear Wave Splitting</p> <p>Symmetry $V_p(\text{direction})$</p>
 <p>Slip Planes</p>	 <p>Relationship to ULVZ</p>
 <p>Partitioning Coefficients</p> <p>Fe spin state</p>	 <p>Relationship to LLSVP</p>

* Multiple reflectors

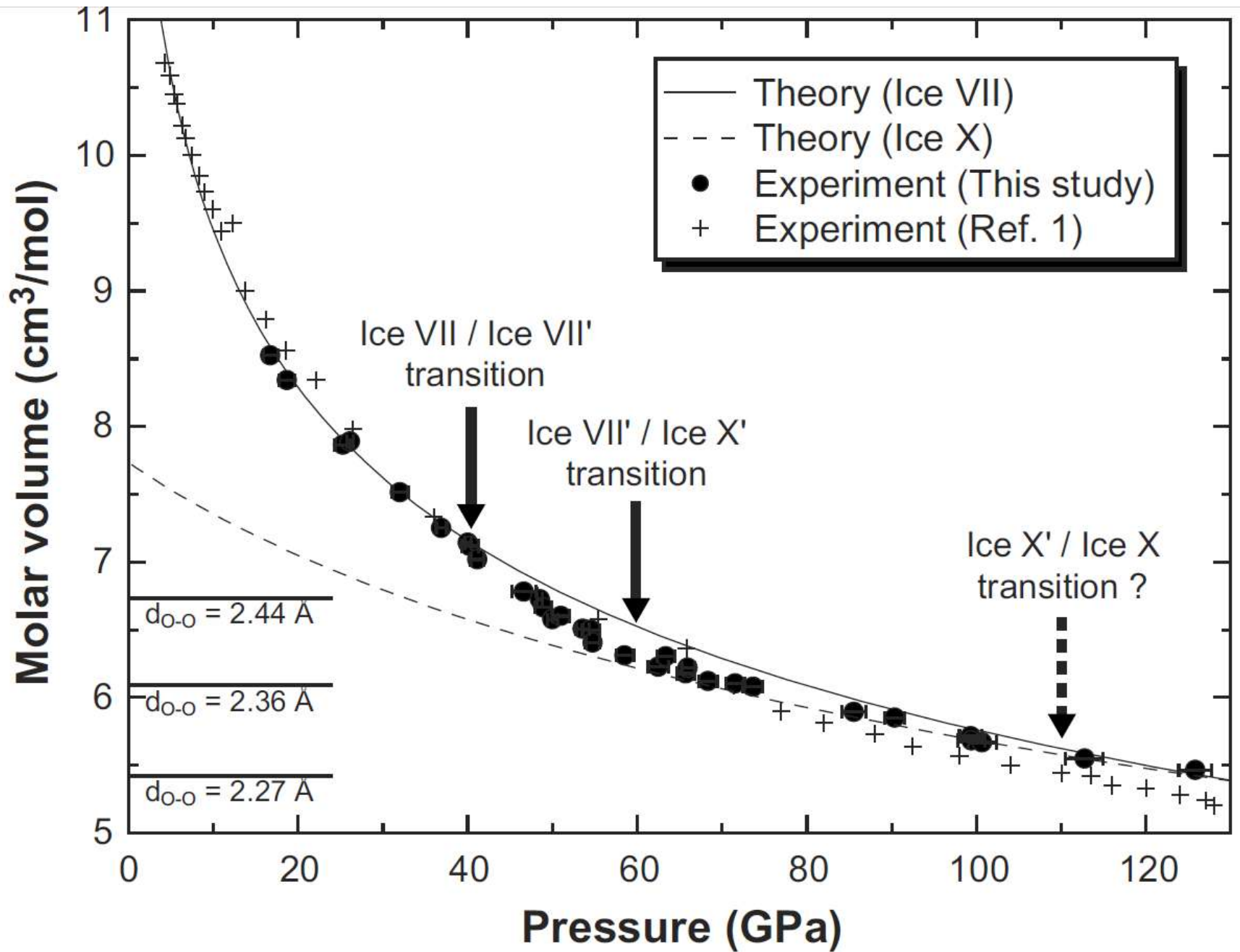
* V_s, V_p , bulk sound V

* Double crossing & dT/dP

* Undulated topography

* Anisotropy

* ULVZ



地球のマントル対流の特徴と 物質分化・循環

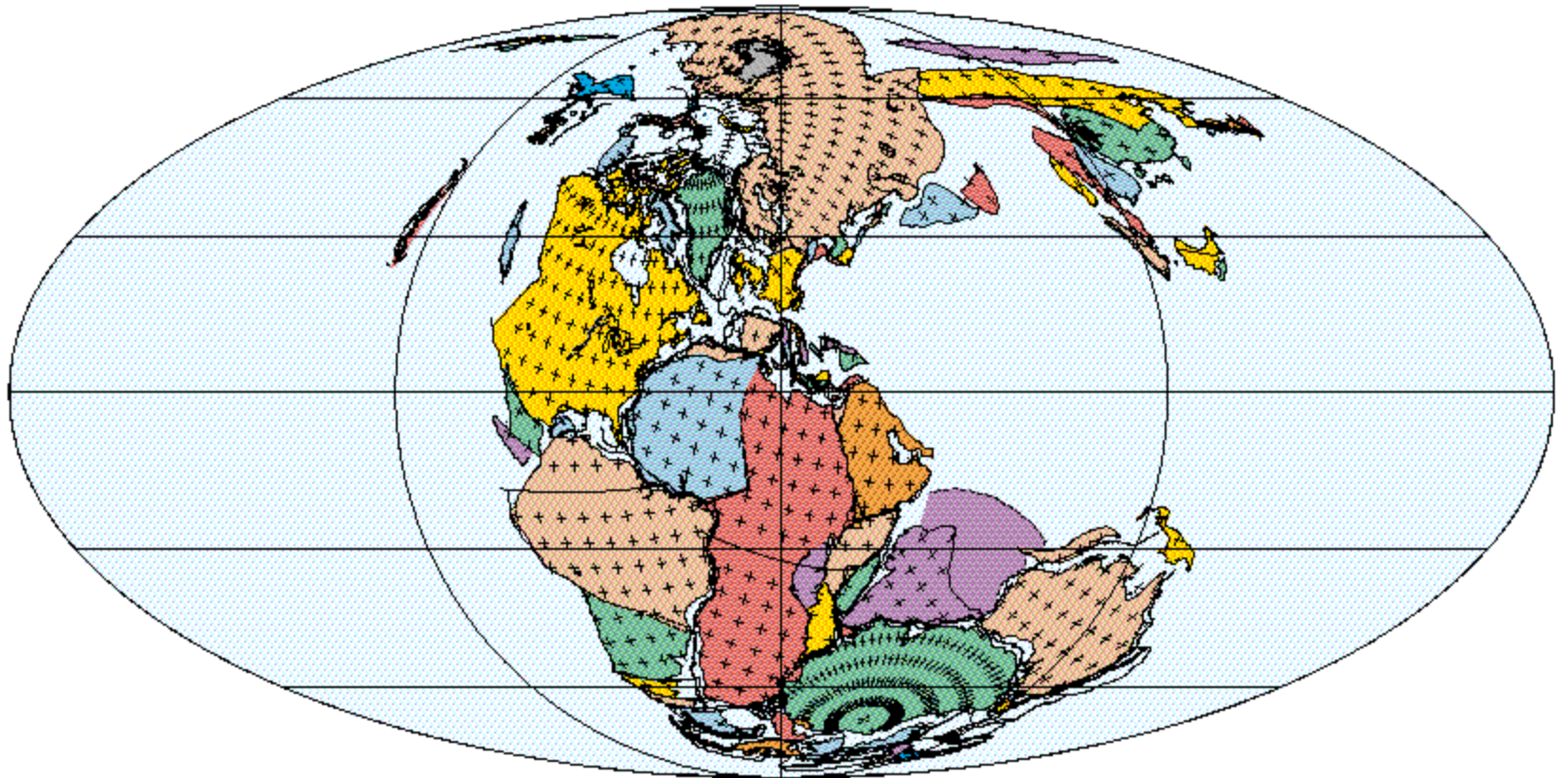
2. 地球内部の物質分化・循環

地殻と分化過程

沈み込み帯の物質循環

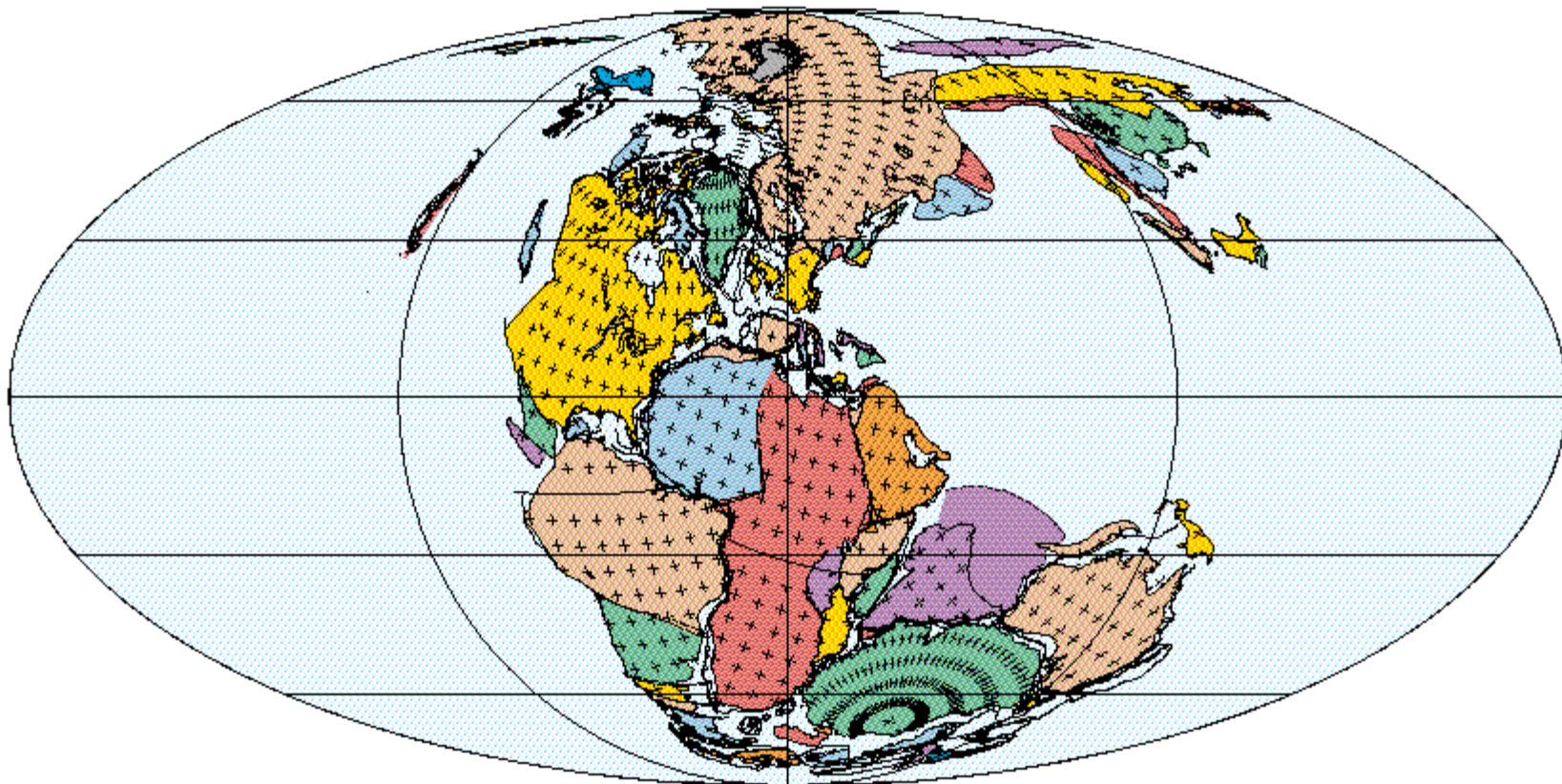
地殻物質と水のグローバルな循環

マントルの同位体不均質と対流構造



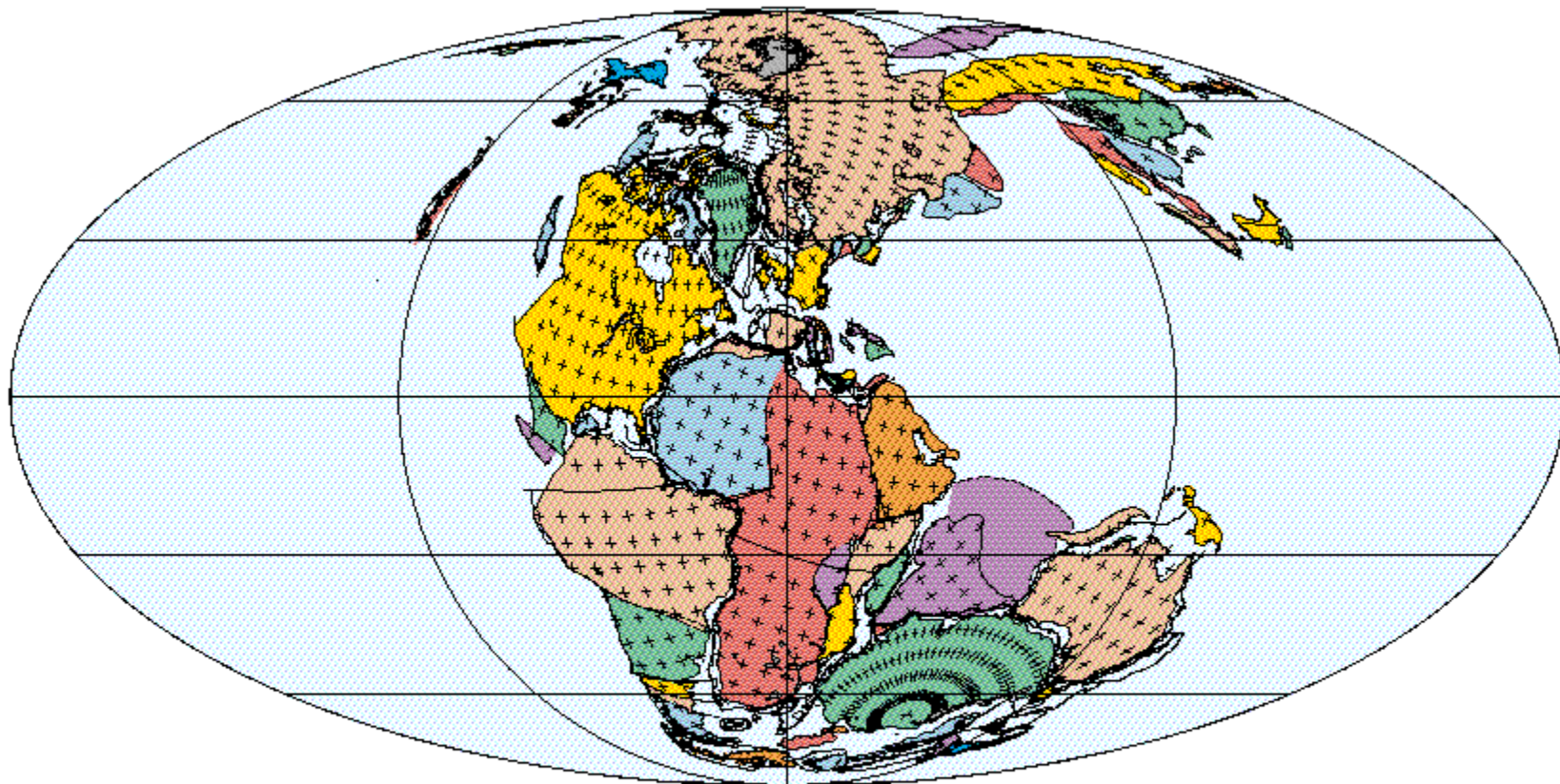
200 Ma
Sinemurian (Early Jurassic)

PLATES/UTIG
July 1999



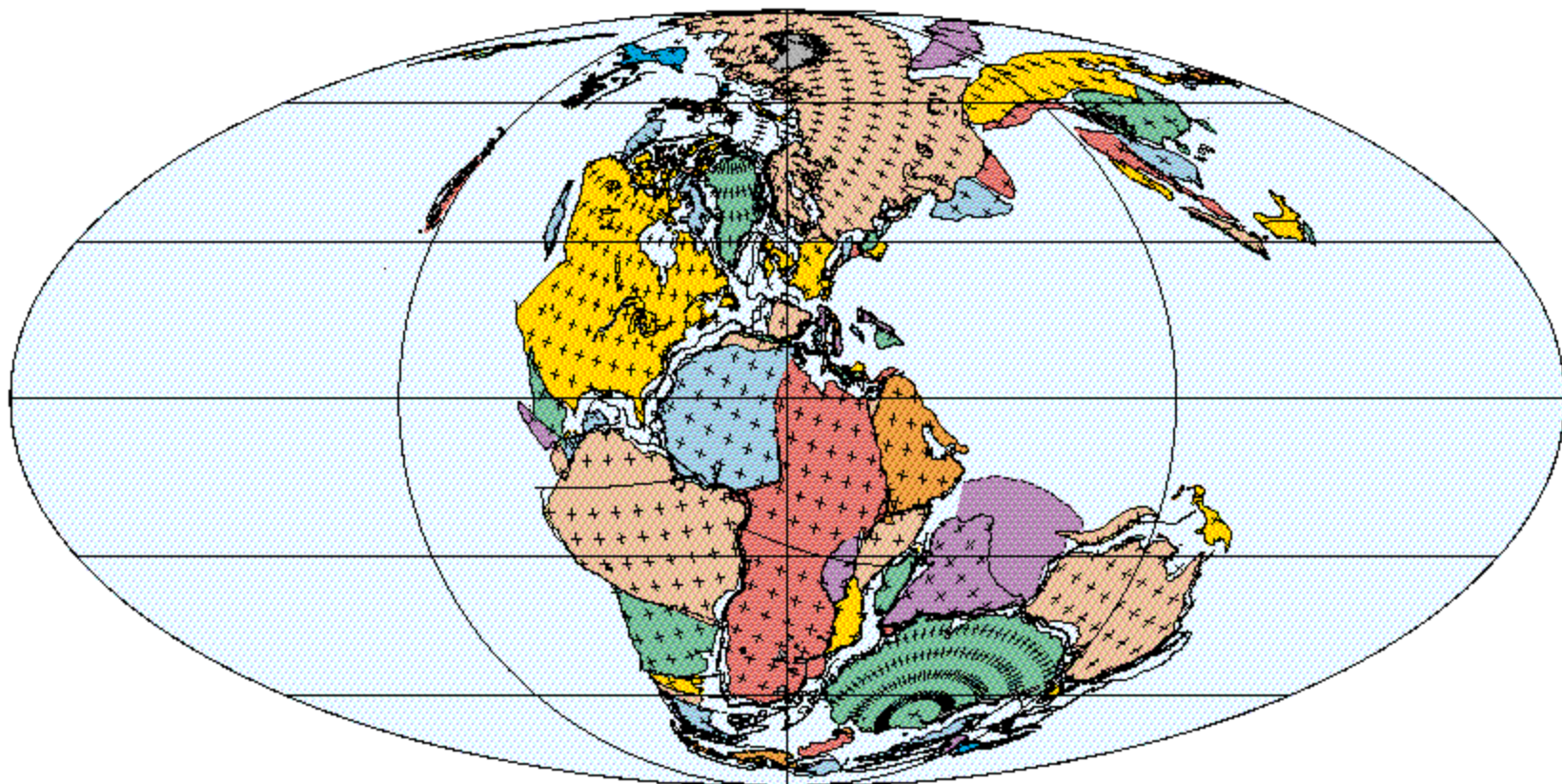
190 Ma
Pliensbachian (Early Jurassic)

PLATES/UTIG
July 1999



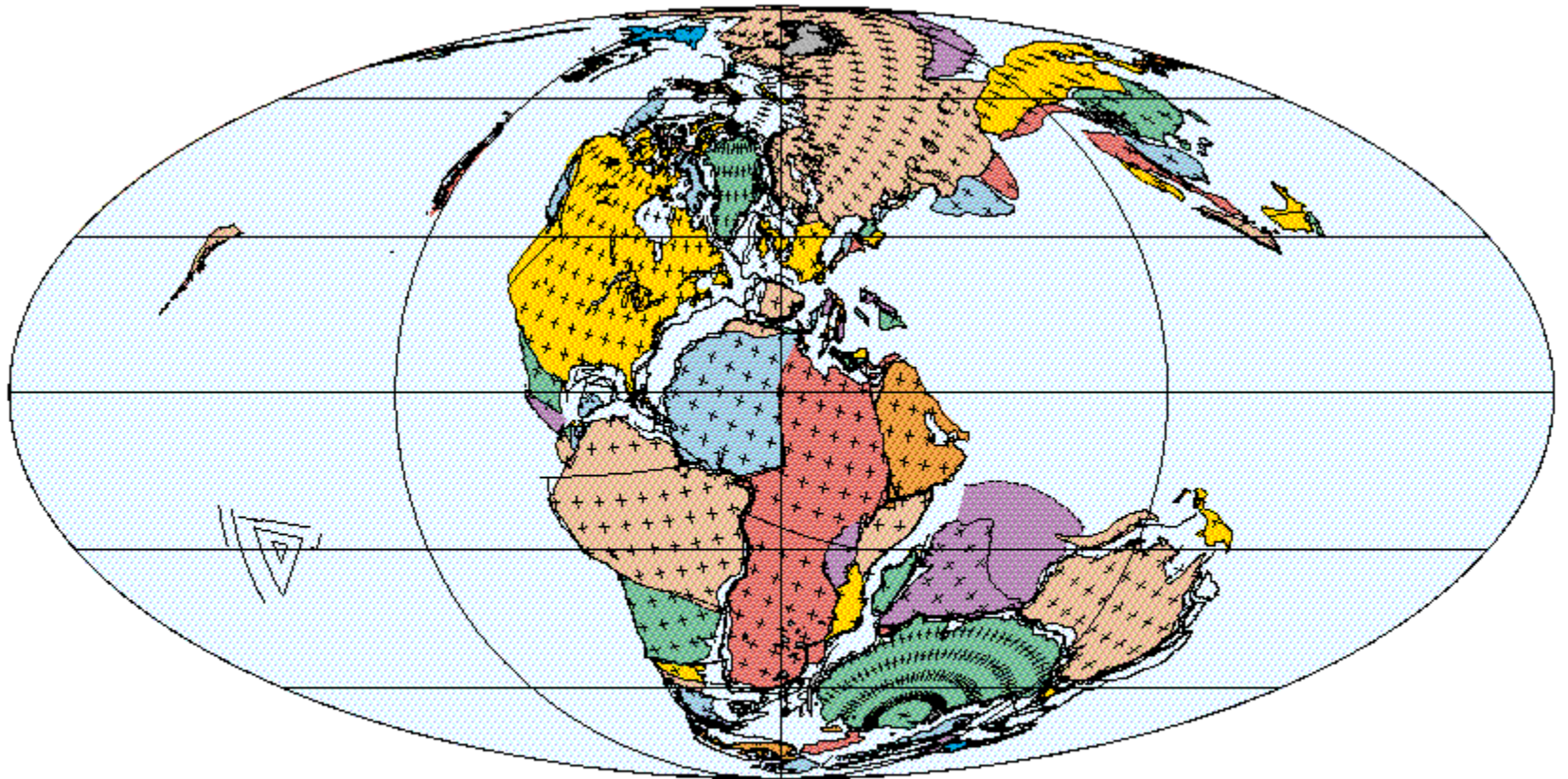
180 Ma
Aalenian (Middle Jurassic)

PLATES/UTIG
July 1999



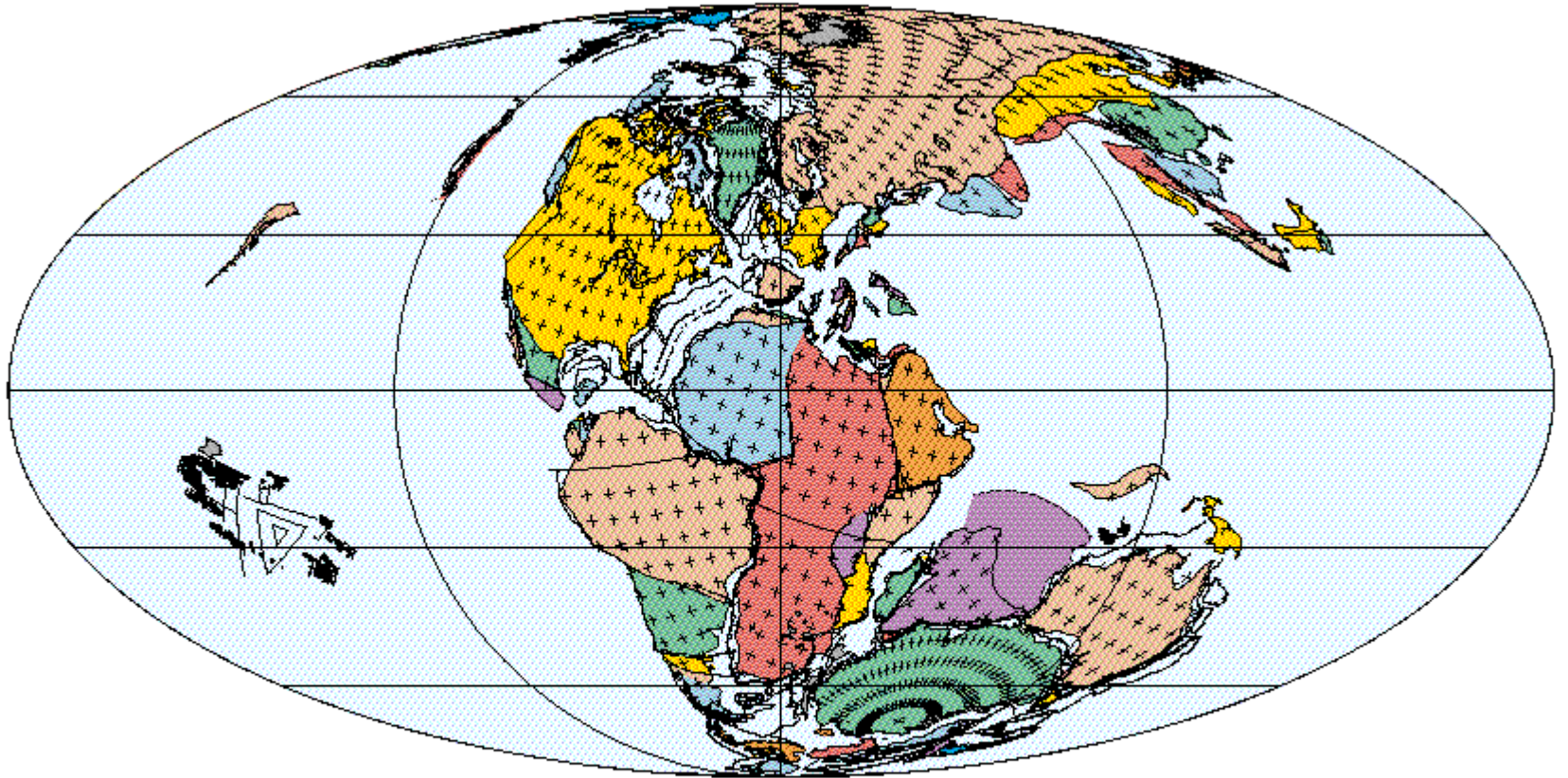
170 Ma
Bajocian (Middle Jurassic)

PLATES/UTIG
July 1999



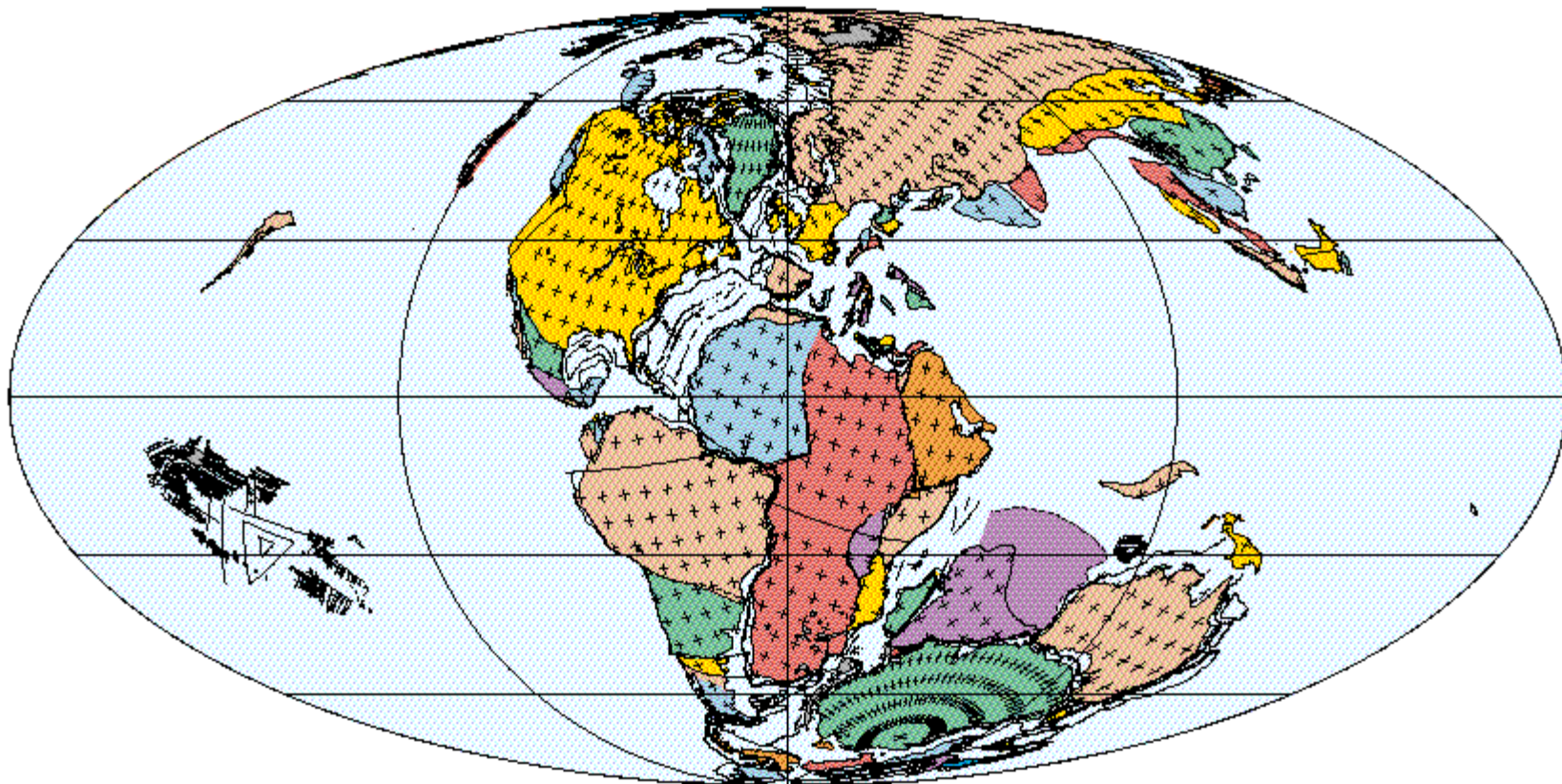
160 Ma
Callovian (Middle Jurassic)

PLATES/UTIG
July 1999



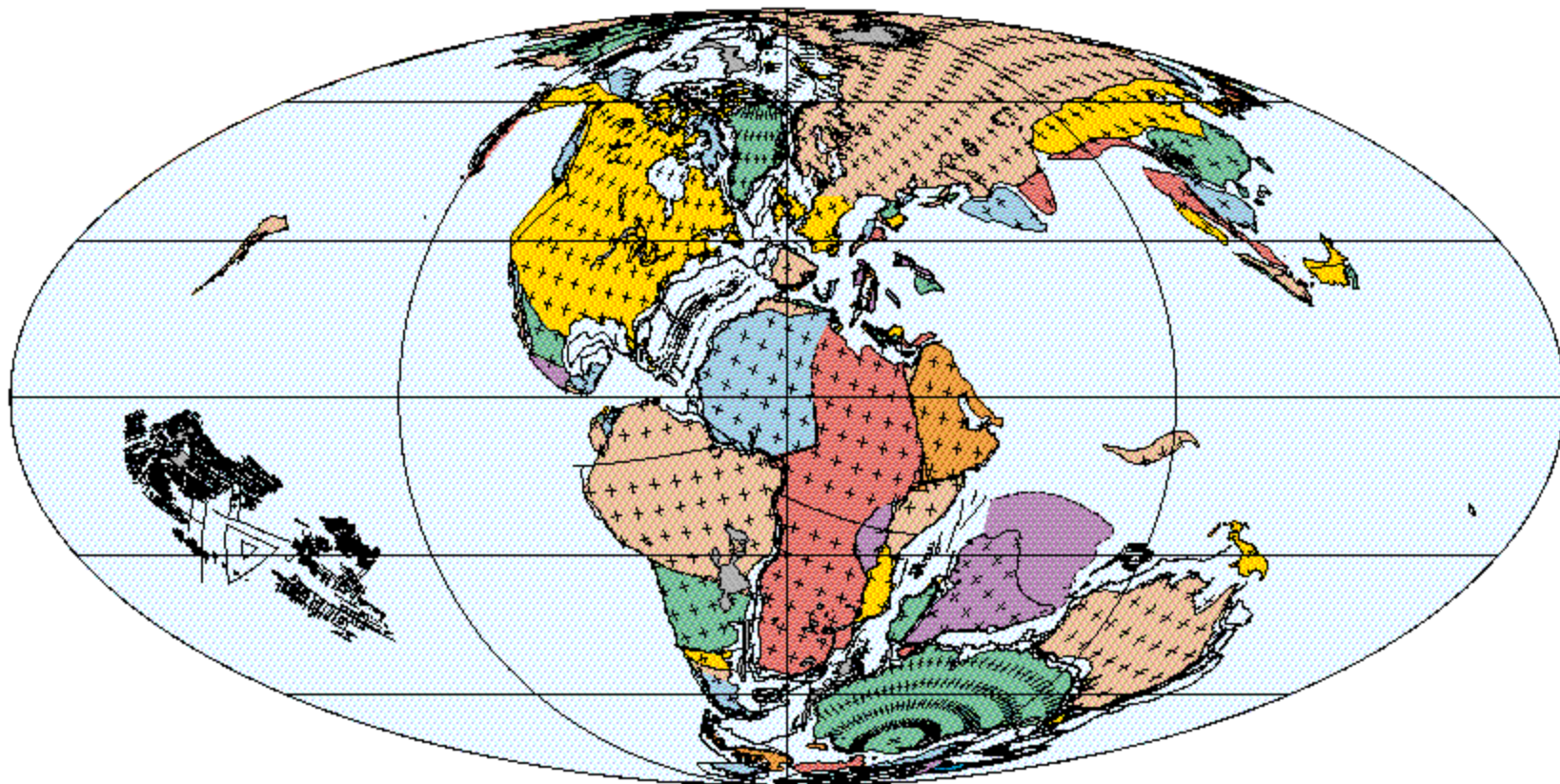
150 Ma
Volgian (Late Jurassic)

PLATES/UTIG
July 1999



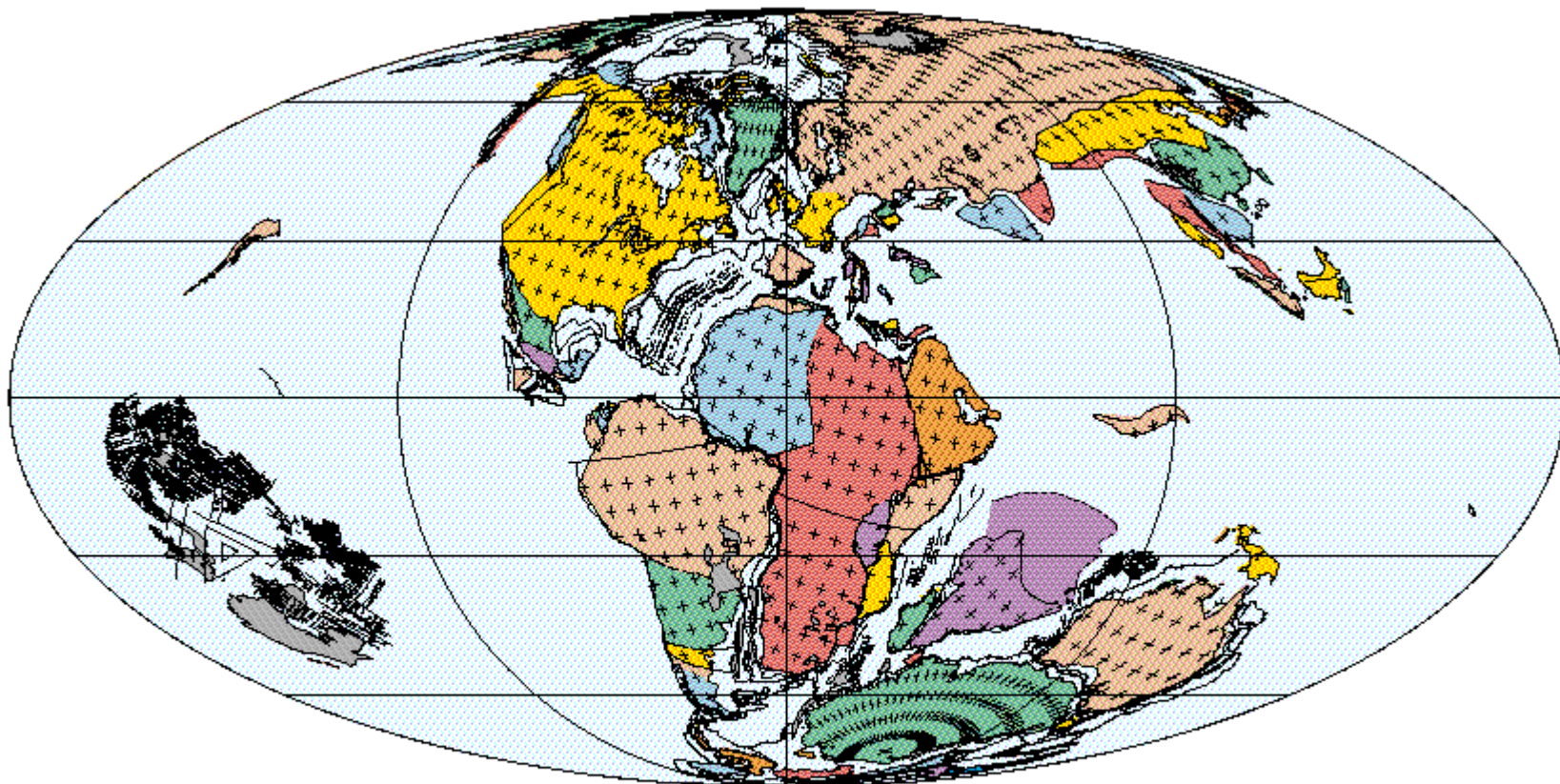
140 Ma
Ryazanian (Early Cretaceous)

PLATES/UTIG
July 1999



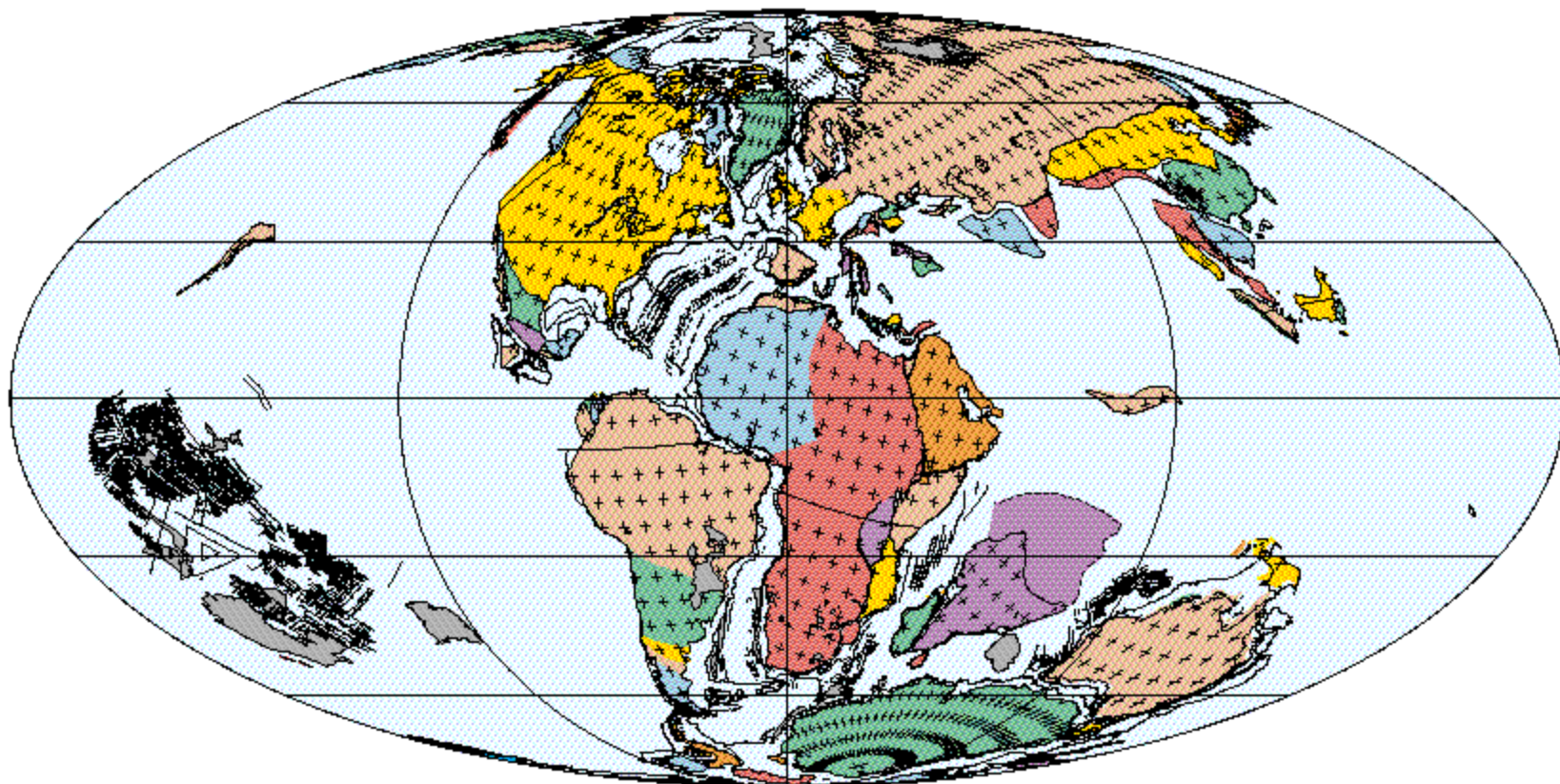
130 Ma
Hauterivian (Early Cretaceous)

PLATES/UTIG
July 1999



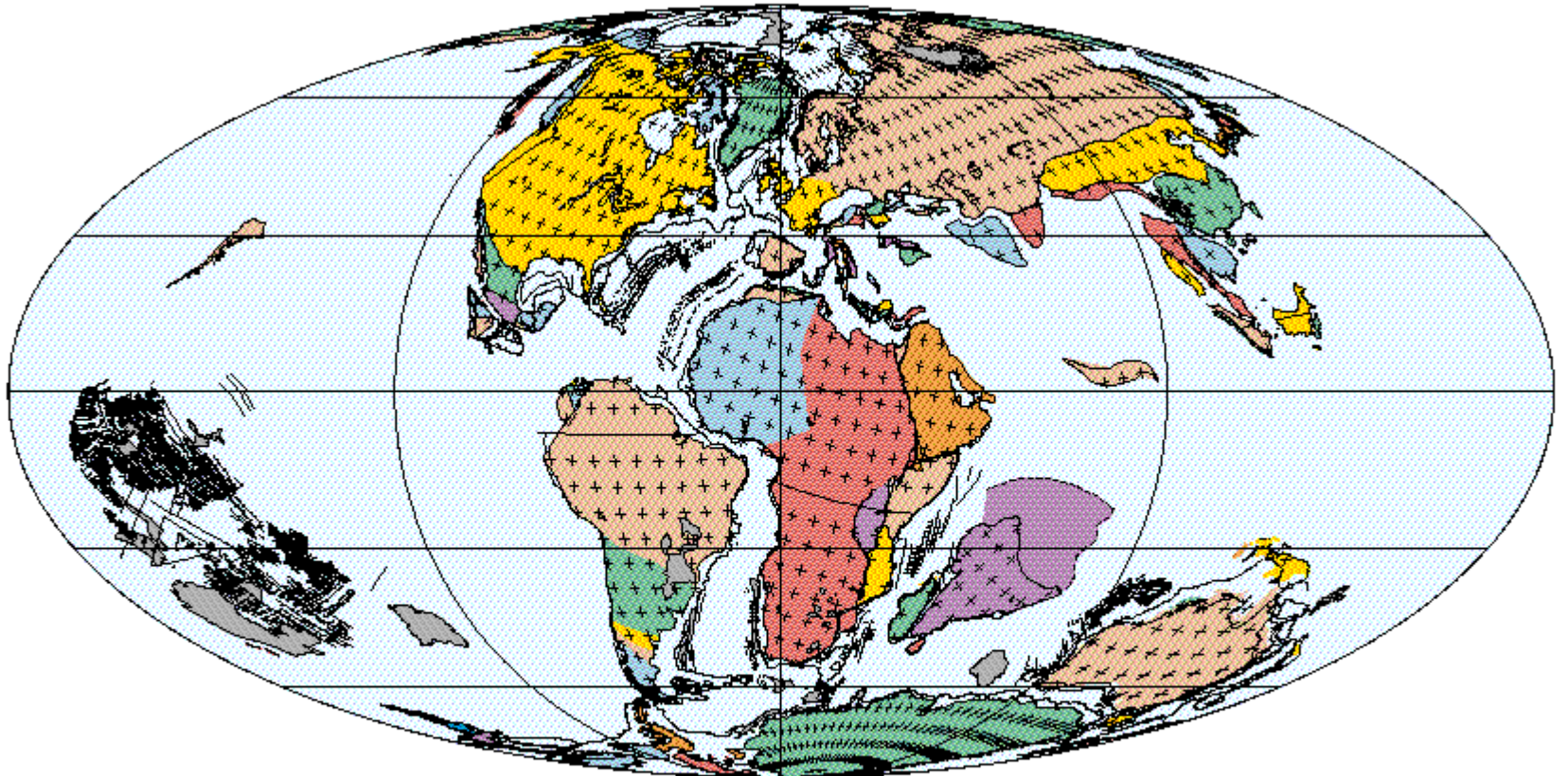
120 Ma
Aptian (Early Cretaceous)

PLATES/UTIG
July 1999



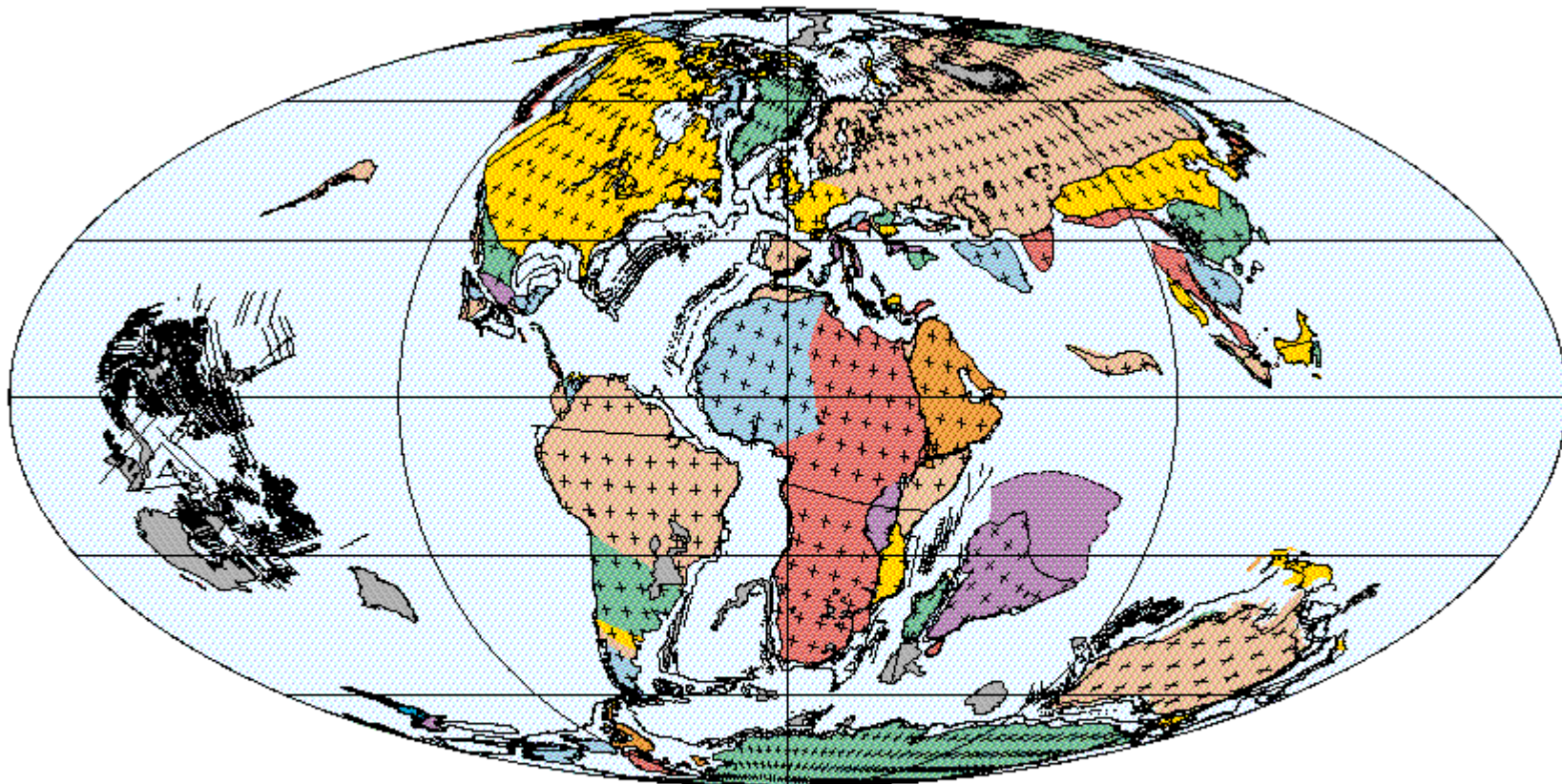
110 Ma
Early Albian (Early Cretaceous)

PLATES/UTIG
July 1999



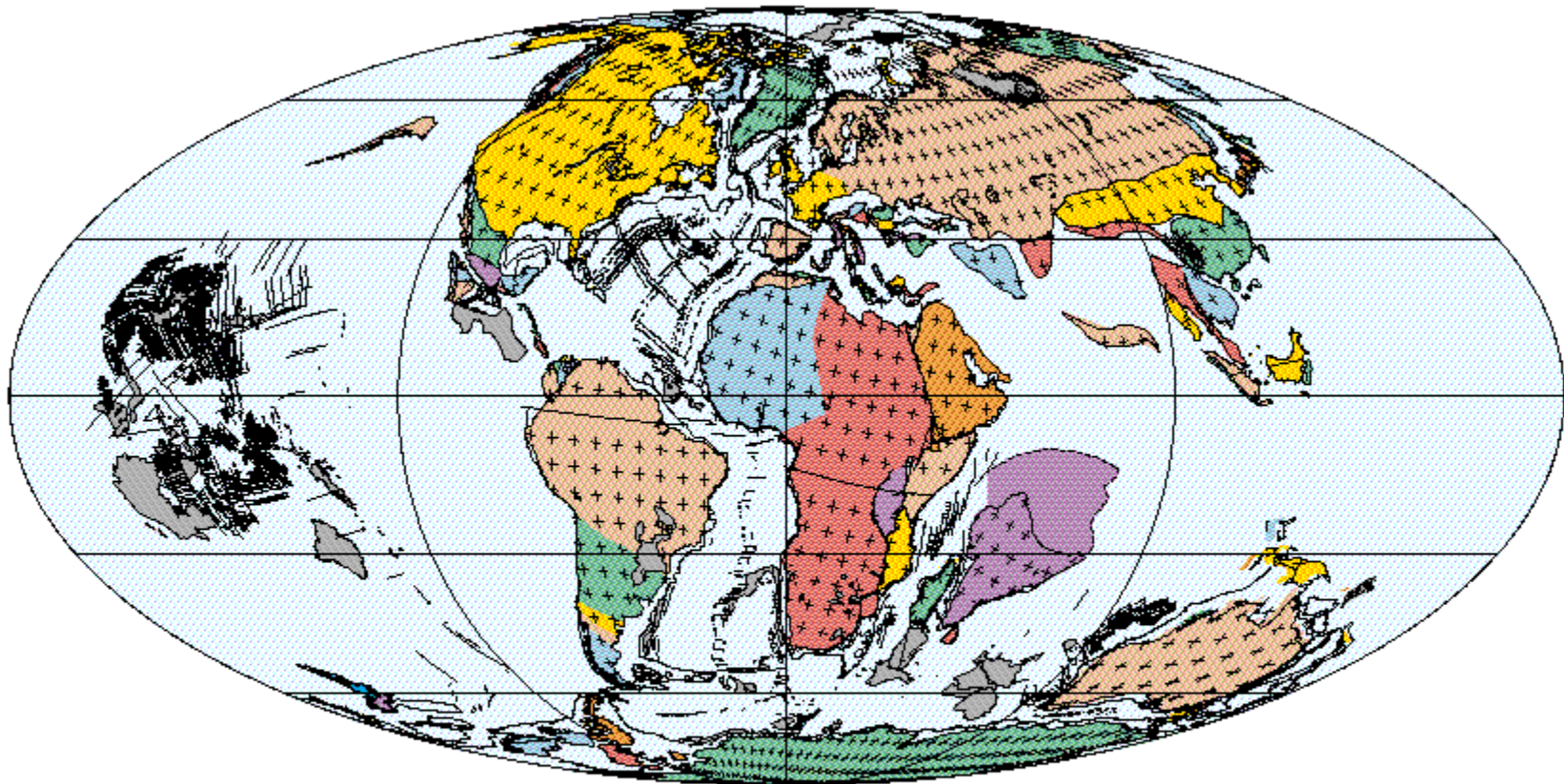
100 Ma
Late Albian (Early Cretaceous)

PLATES/UTIG
July 1999



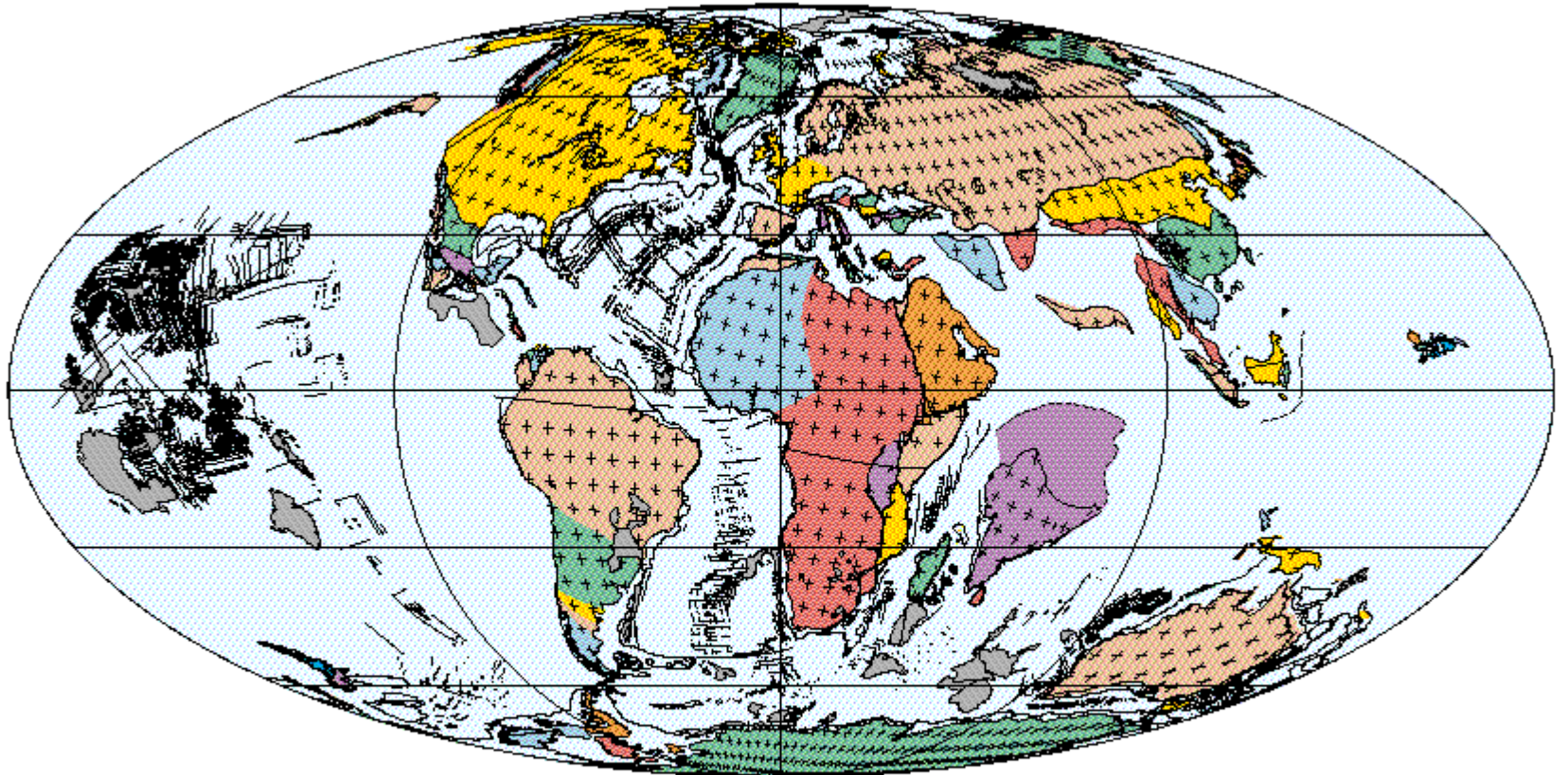
90 Ma
Turonian (Late Cretaceous)

PLATES/UTIG
July 1999



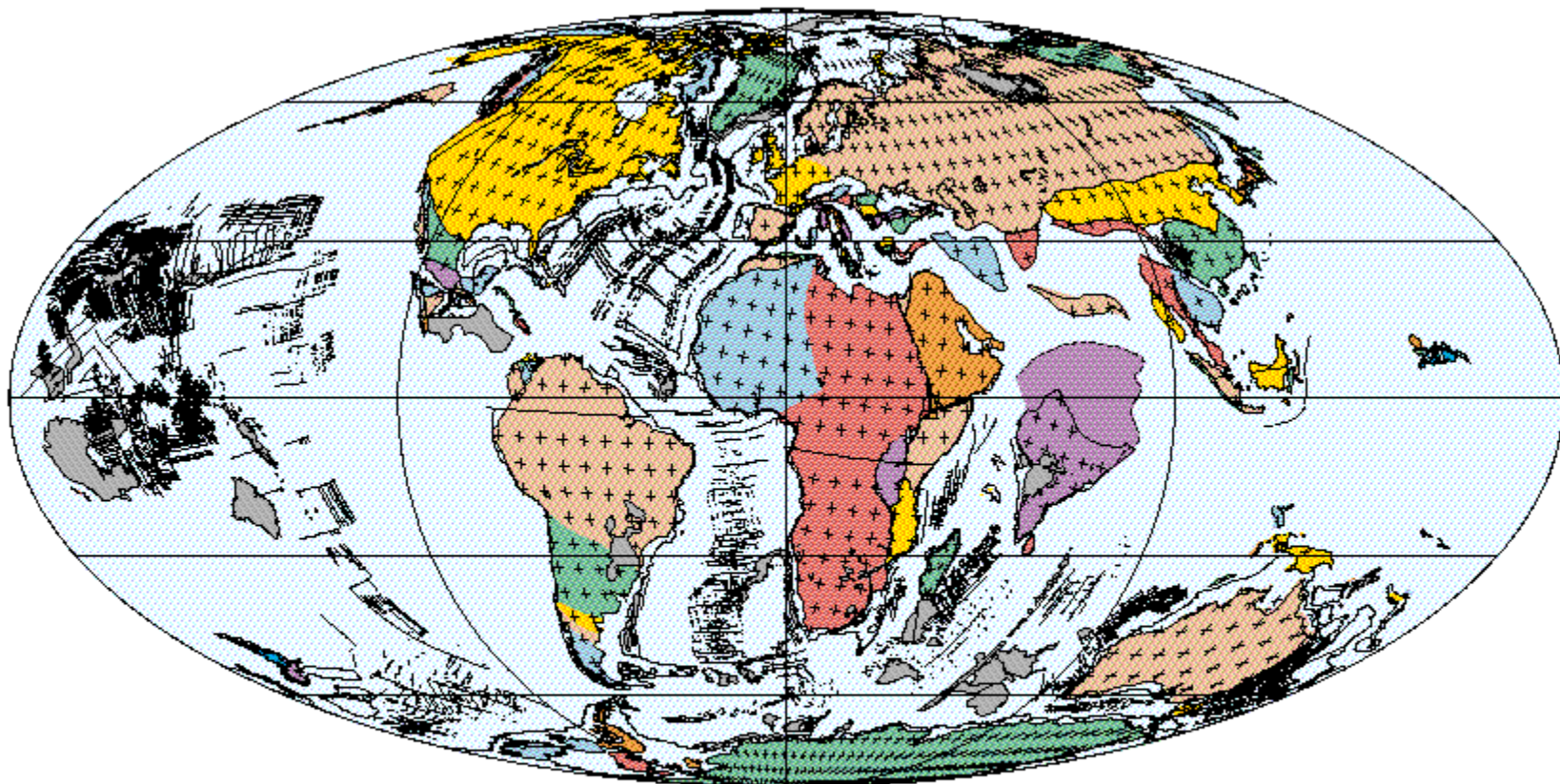
80 Ma
Campanian (Late Cretaceous)

PLATES/UTIG
July 1999



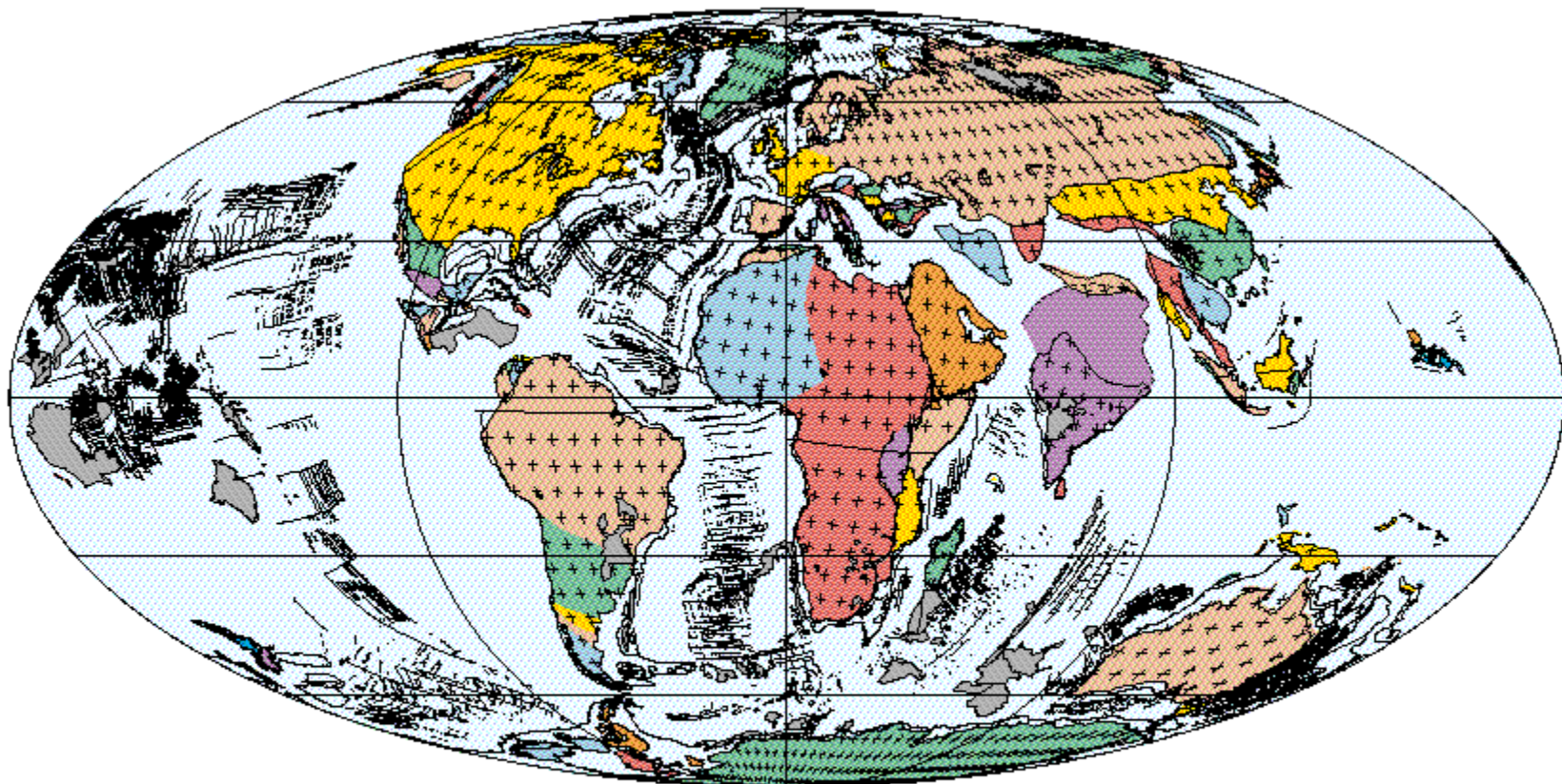
70 Ma
Maastrichtian (Late Cretaceous)

PLATES/UTIG
July 1999



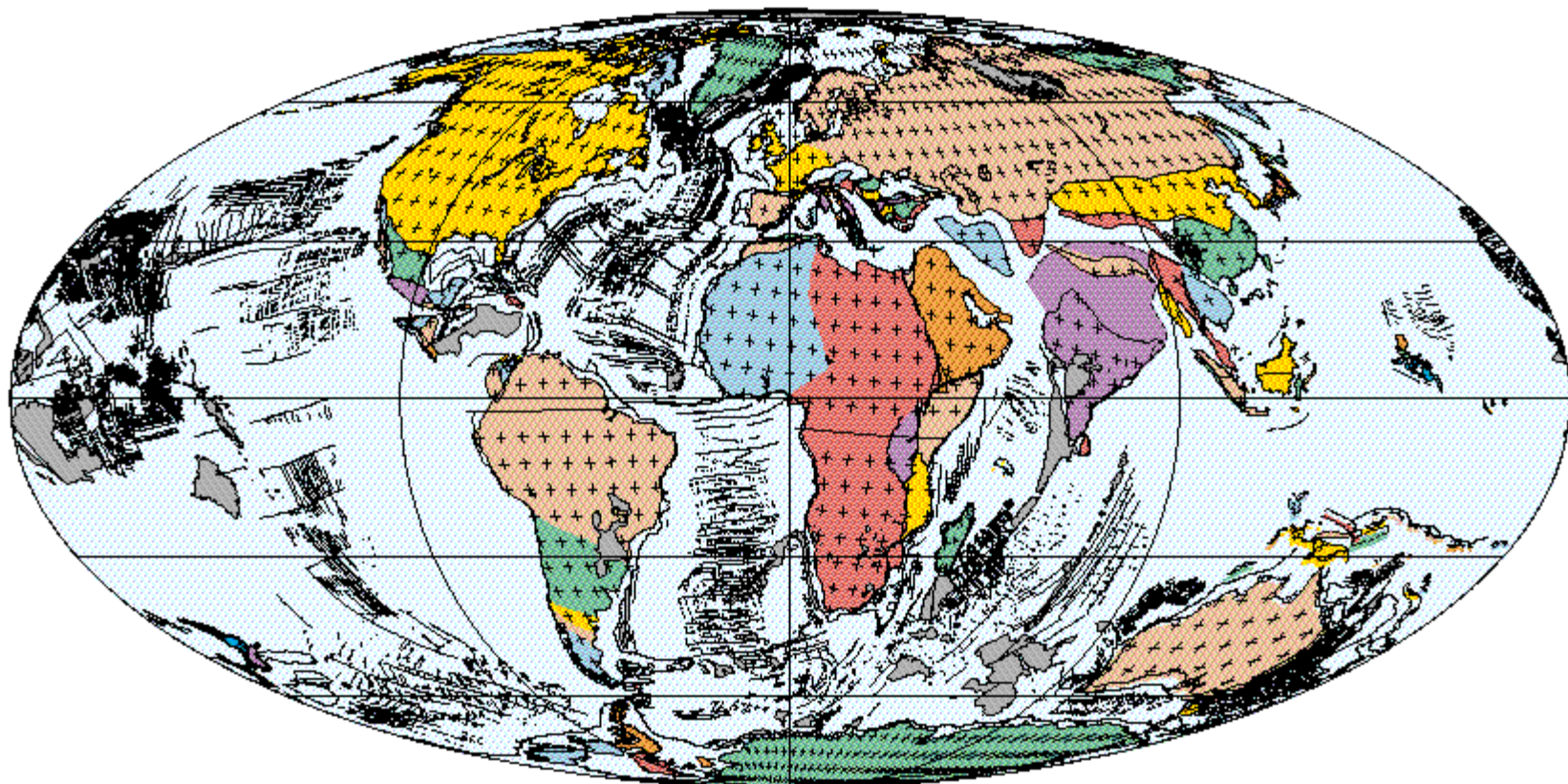
60 Ma
Late Paleocene

PLATES/UTIG
July 1999



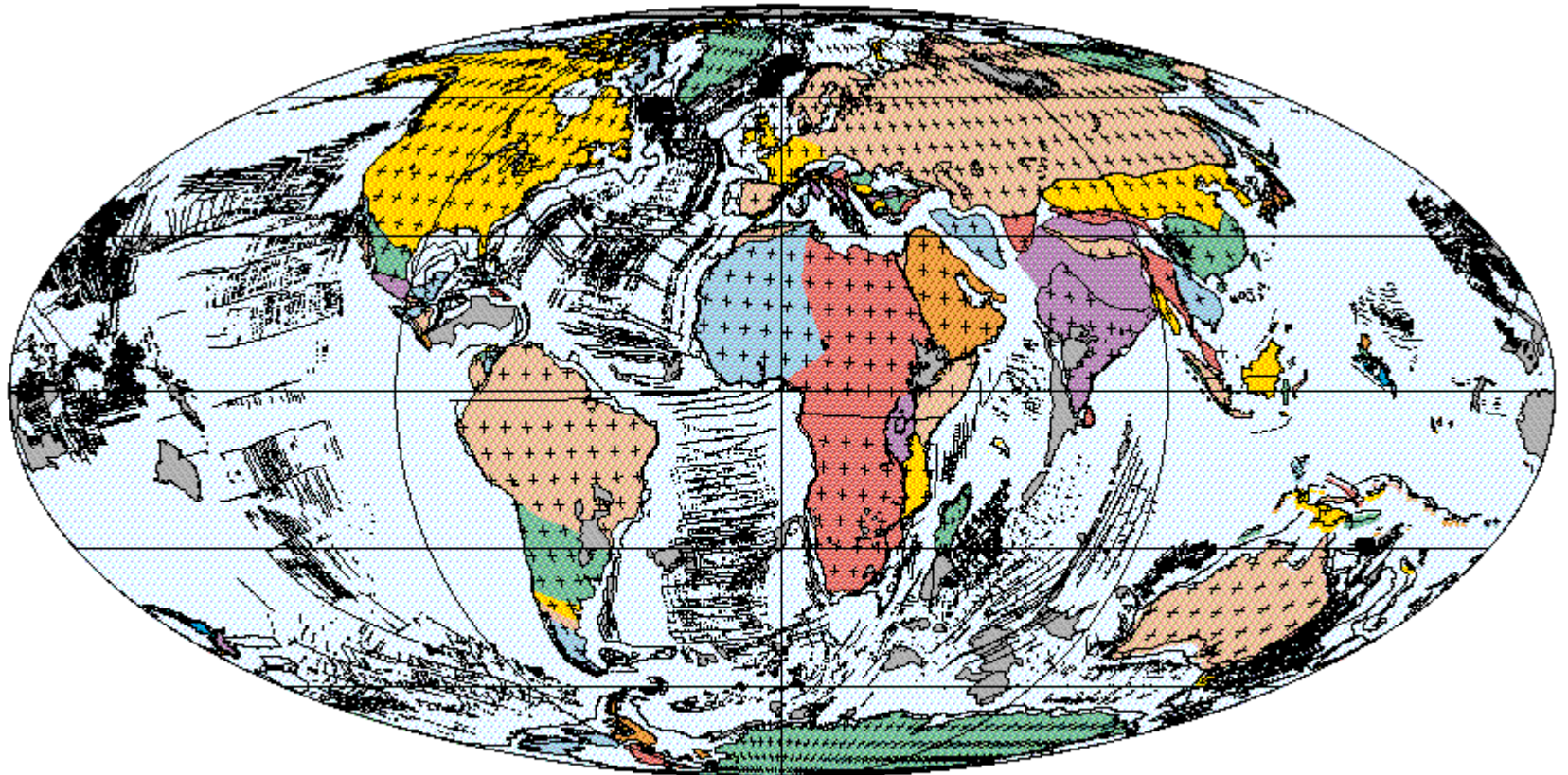
50 Ma
Early Eocene

PLATES/UTIG
July 1999



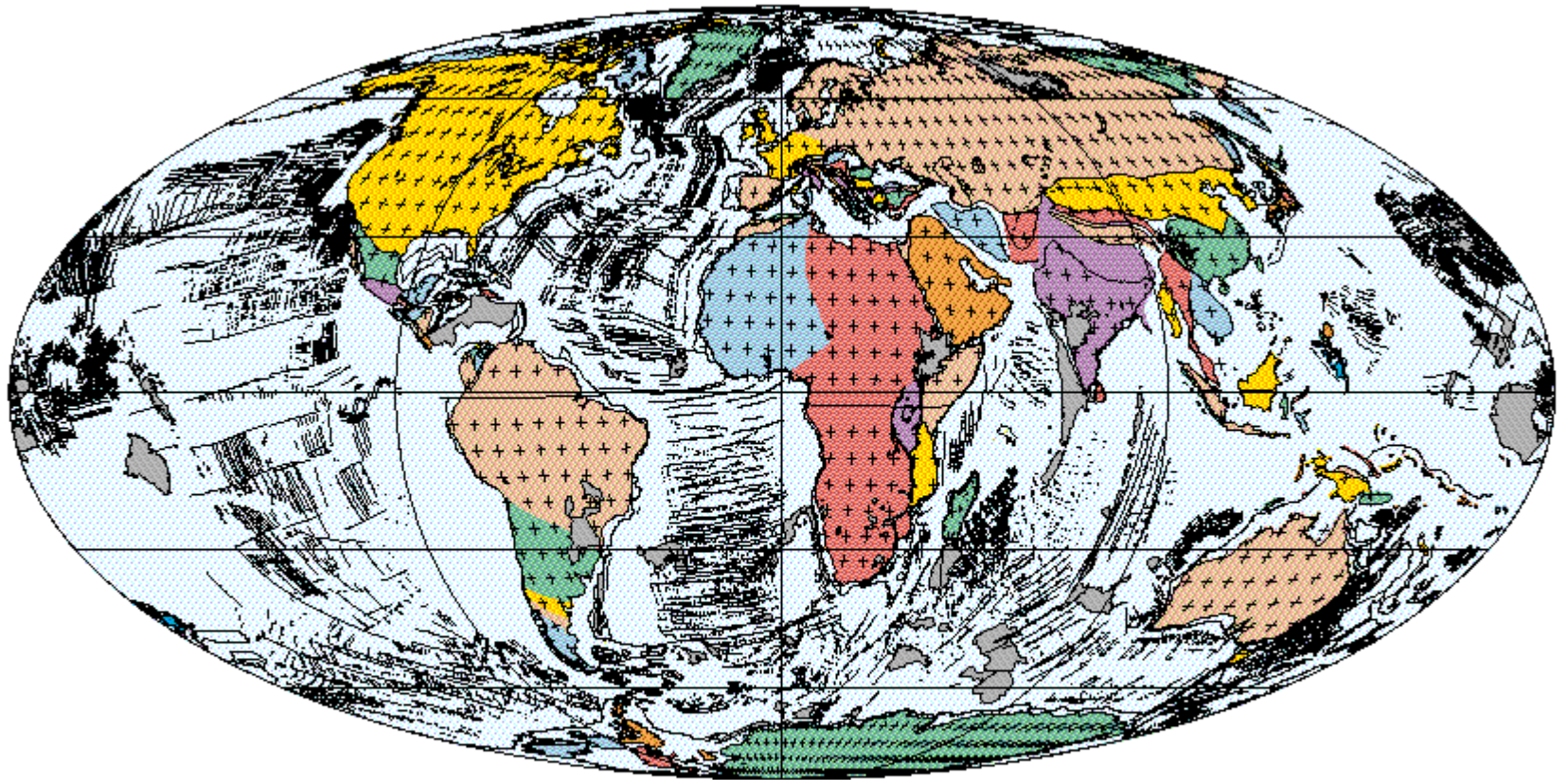
40 Ma
Middle Eocene

PLATES/UTIG
July 1999



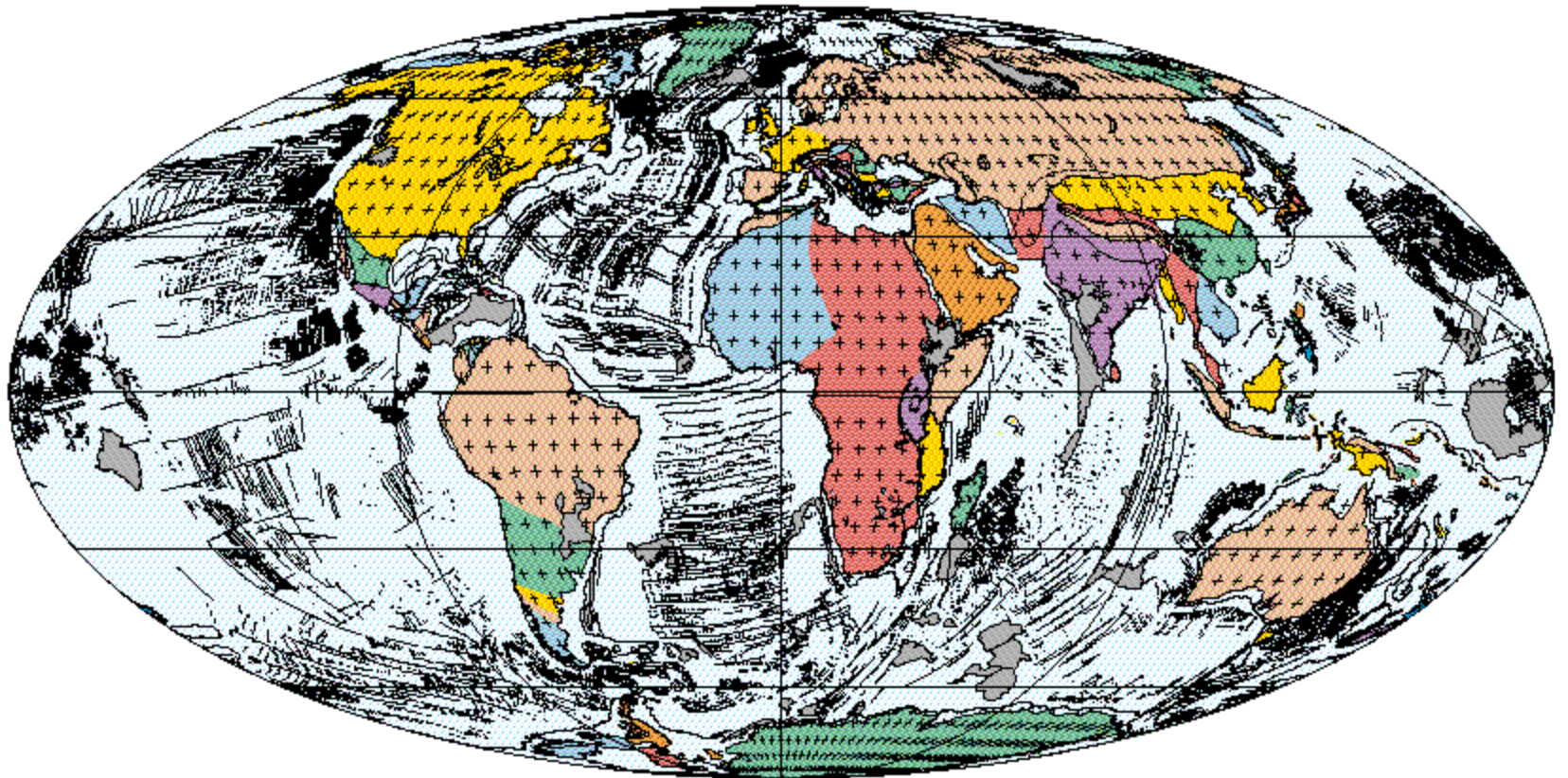
30 Ma
Early Oligocene

PLATES/UTIG
July 1999



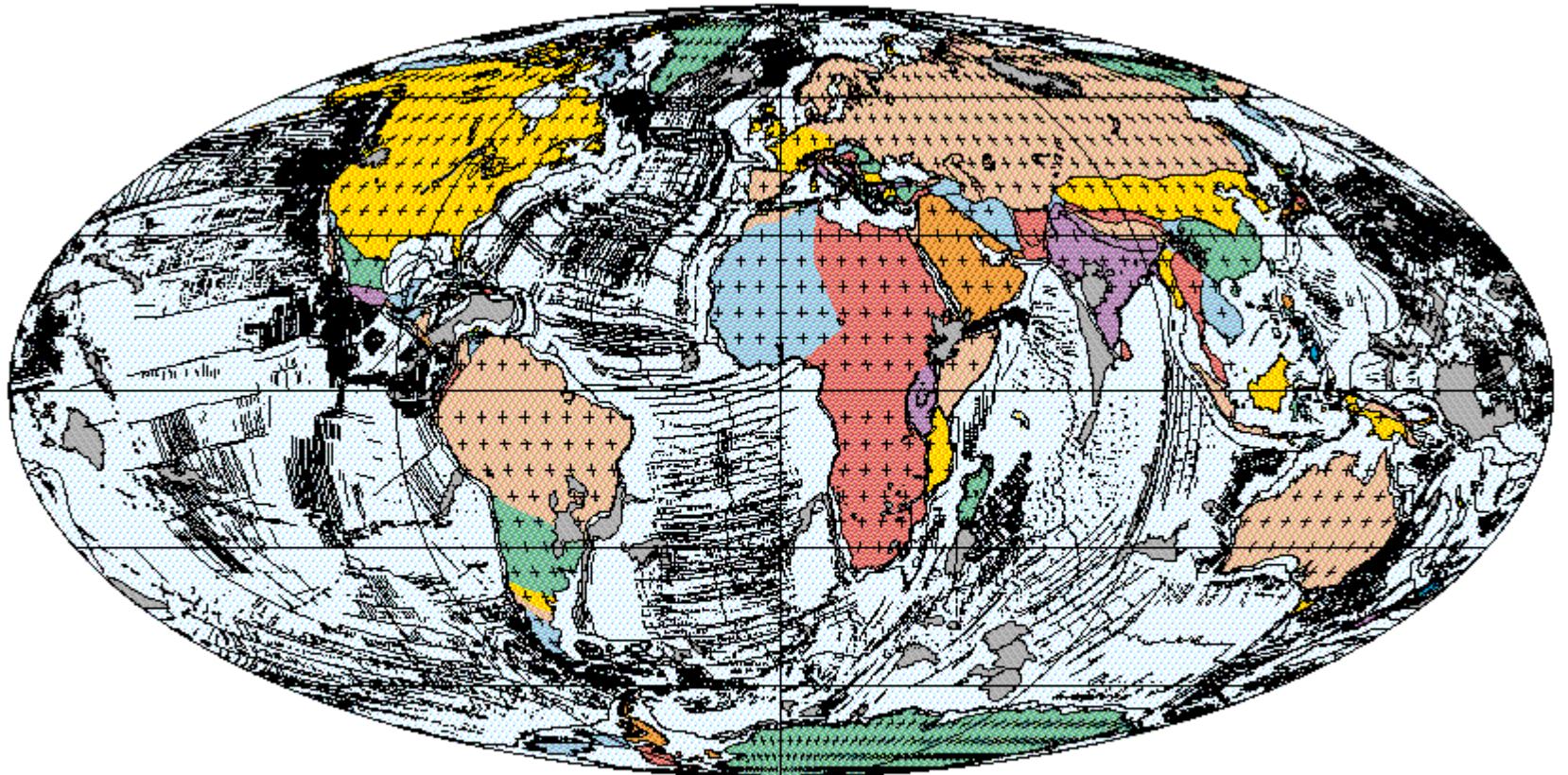
20 Ma
Early Miocene

PLATES/UTIG
July 1999



10 Ma
Late Miocene

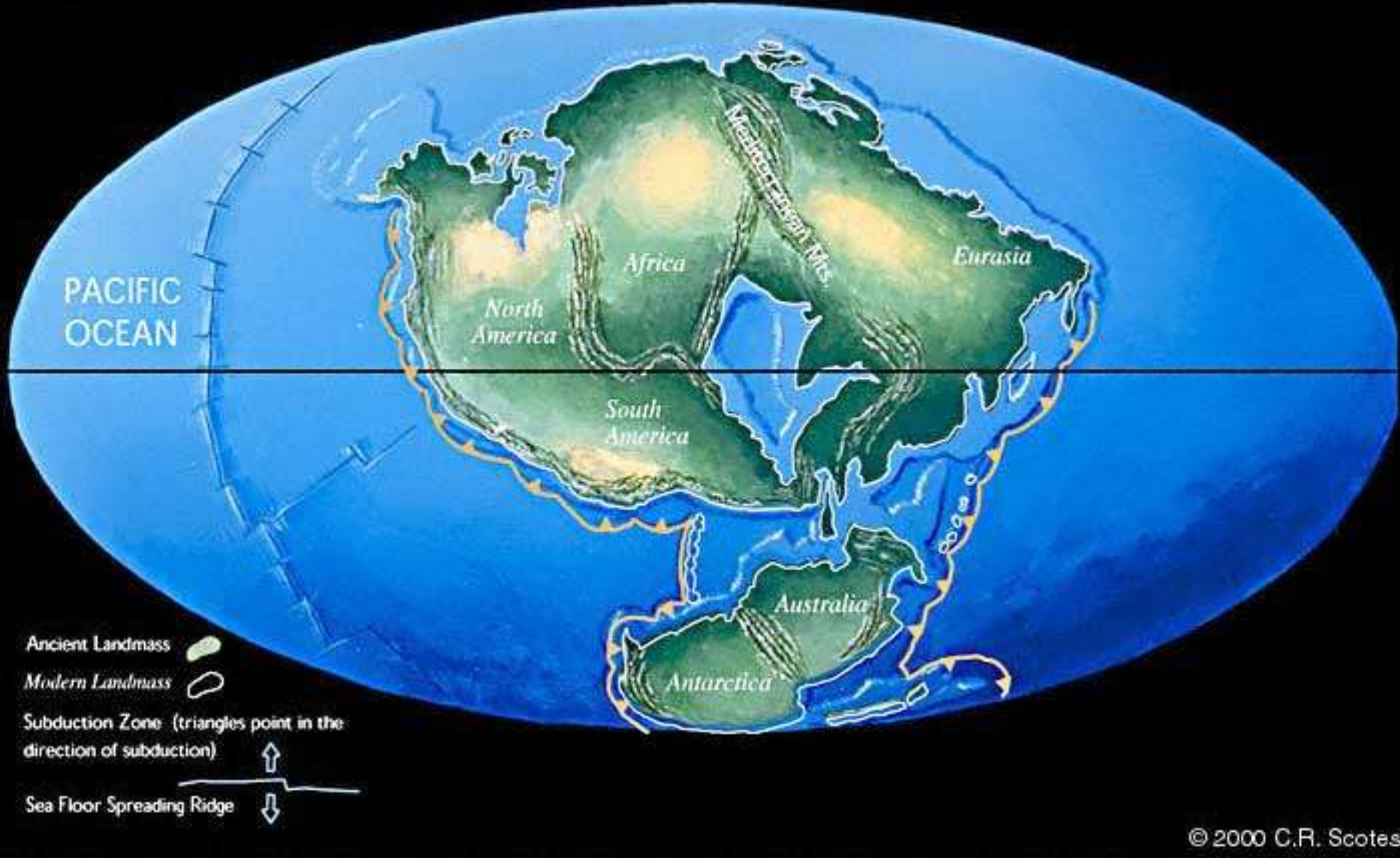
PLATES/UTIG
July 1999



0 Ma
Present Day

PLATES/UTIG
July 1999

Future World + 250 Ma



"Pangea Ultima" will form 250 million years in the Future

<http://www.scotese.com/precamb.html>

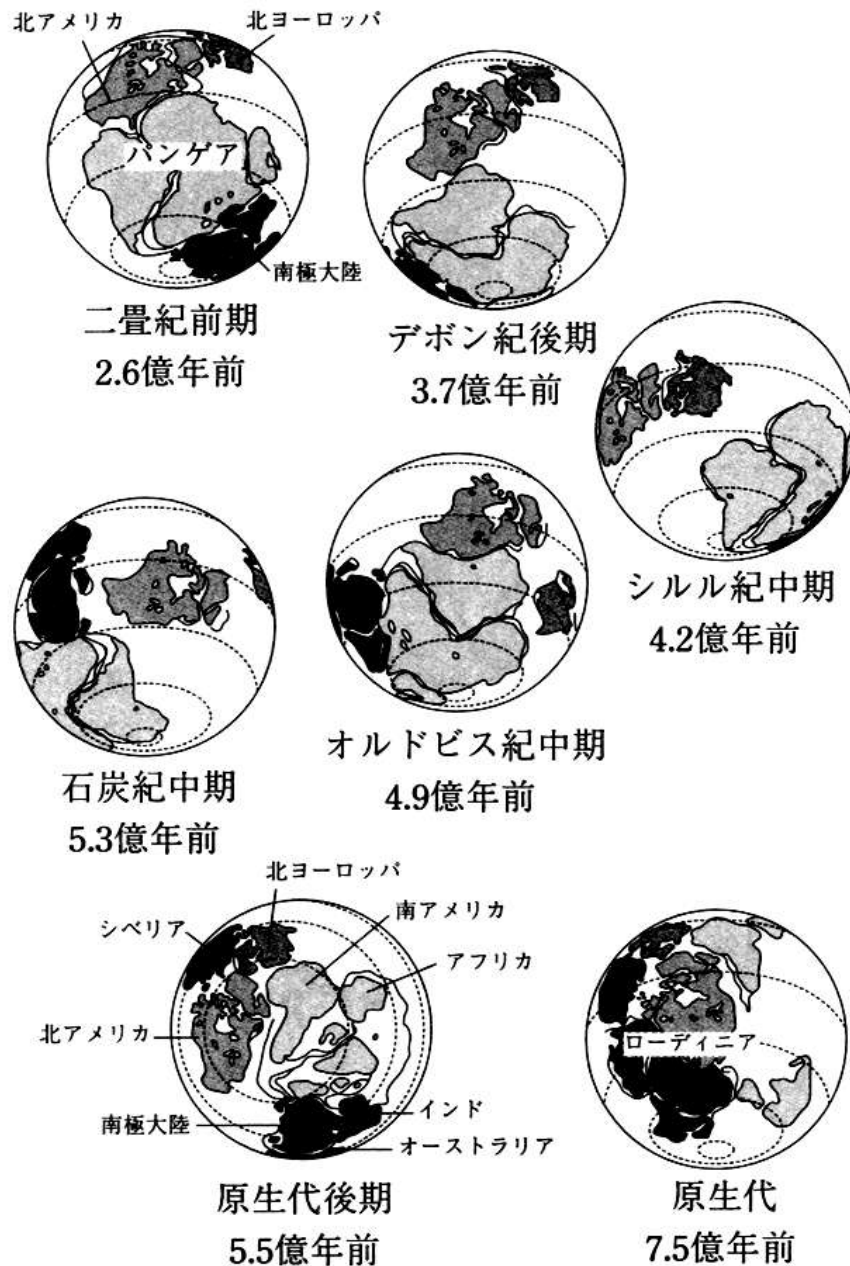


図 3.3.15 2 億 6000 万年前から 7 億 5000 万年前までの大陸の復元図の一例. Dalziel (1995) を改変して引用.

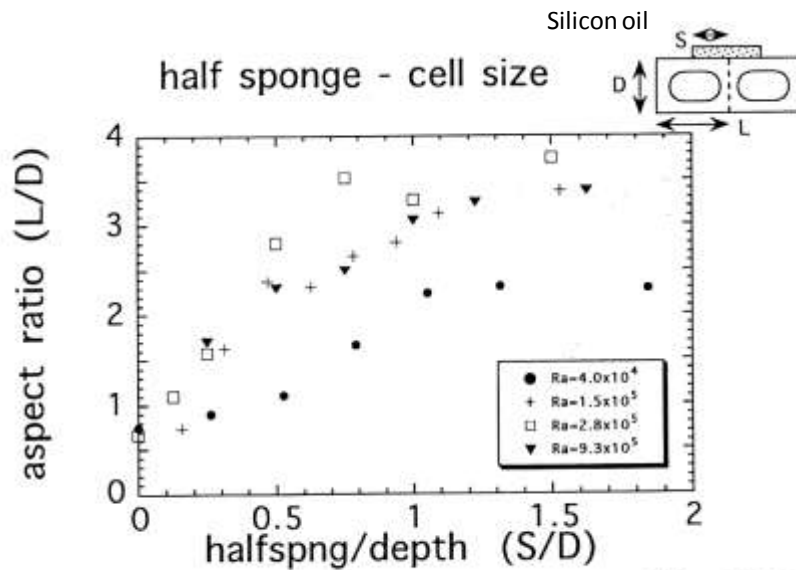


図1 断熱材の長さ対流セルのアスペクト比の関係

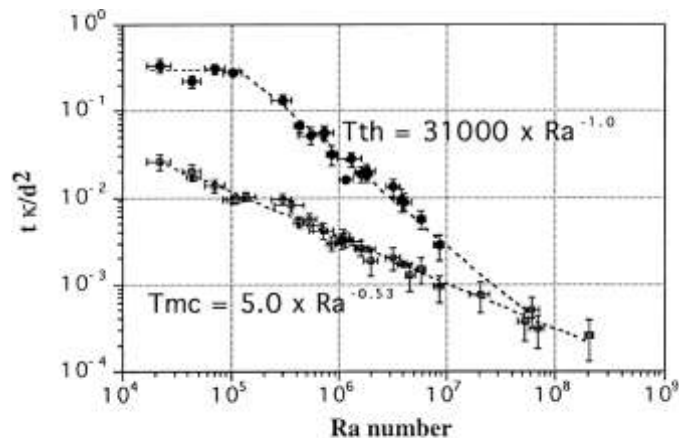


図3 平衡状態の達成までに要する時間の測定結果。

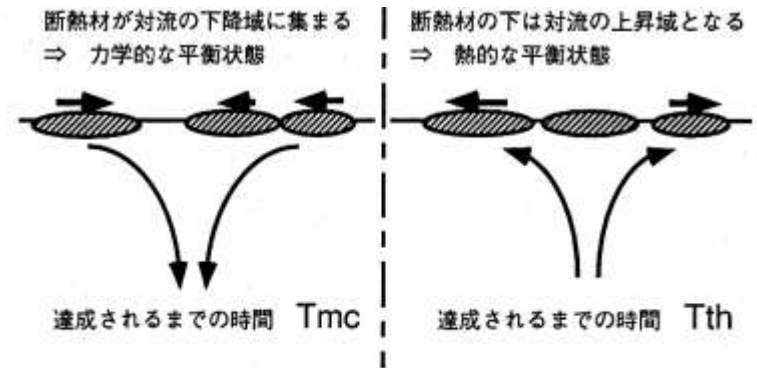


図2 対流パターンと断熱材の関係。
(左) 力学的平衡状態、(右) 熱的平衡状態。

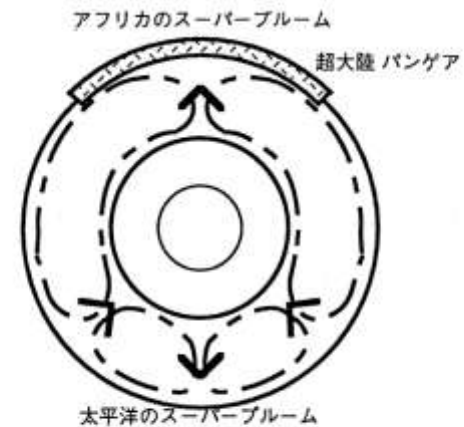
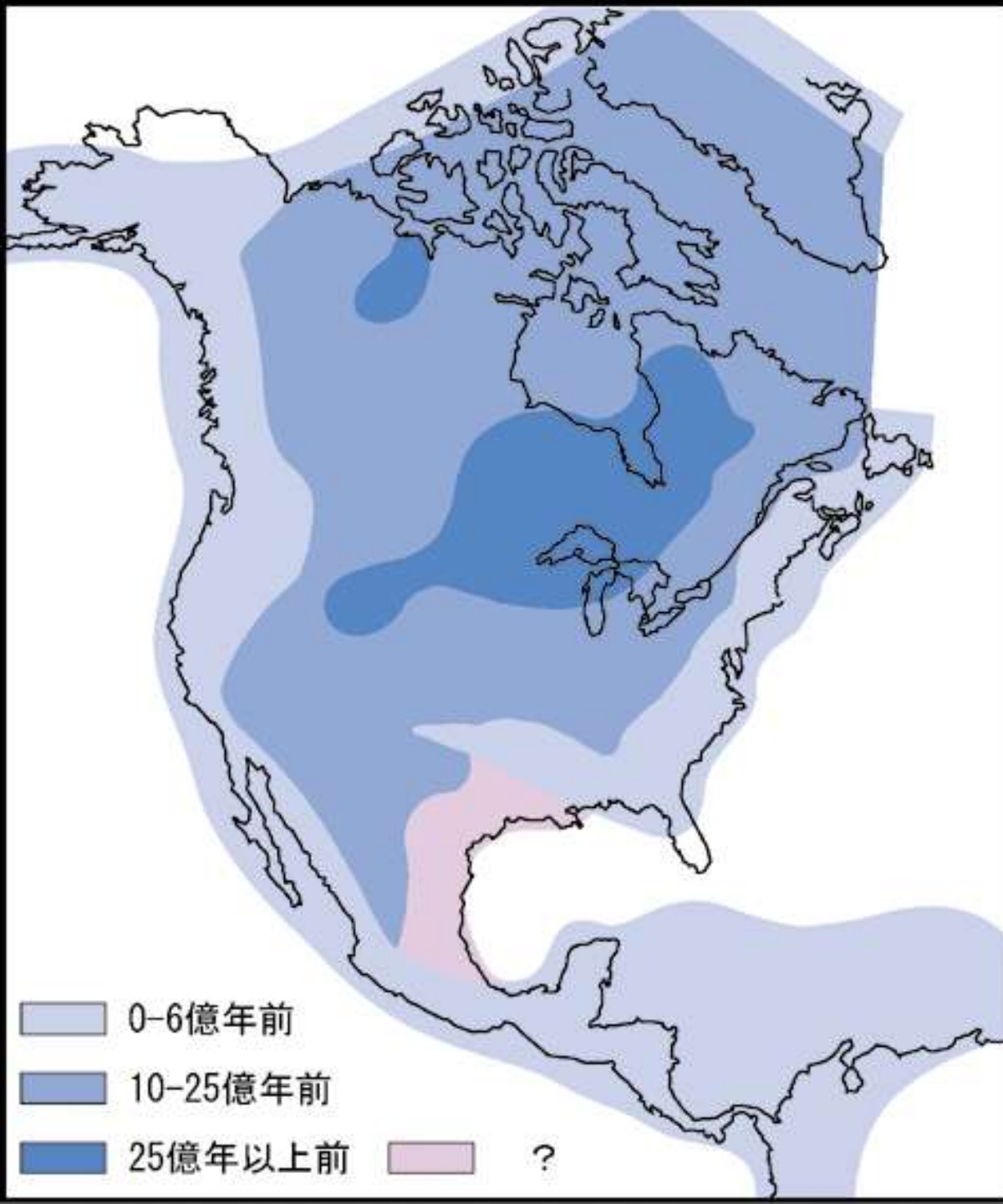


図4 地球の断面図。超大陸の分裂直前のマンテル対流のパターン。

柳澤(1996)



<http://chigaku.ed.gifu-u.ac.jp/chigakuhp/rika-b/htmls/supconti/nameri.html>

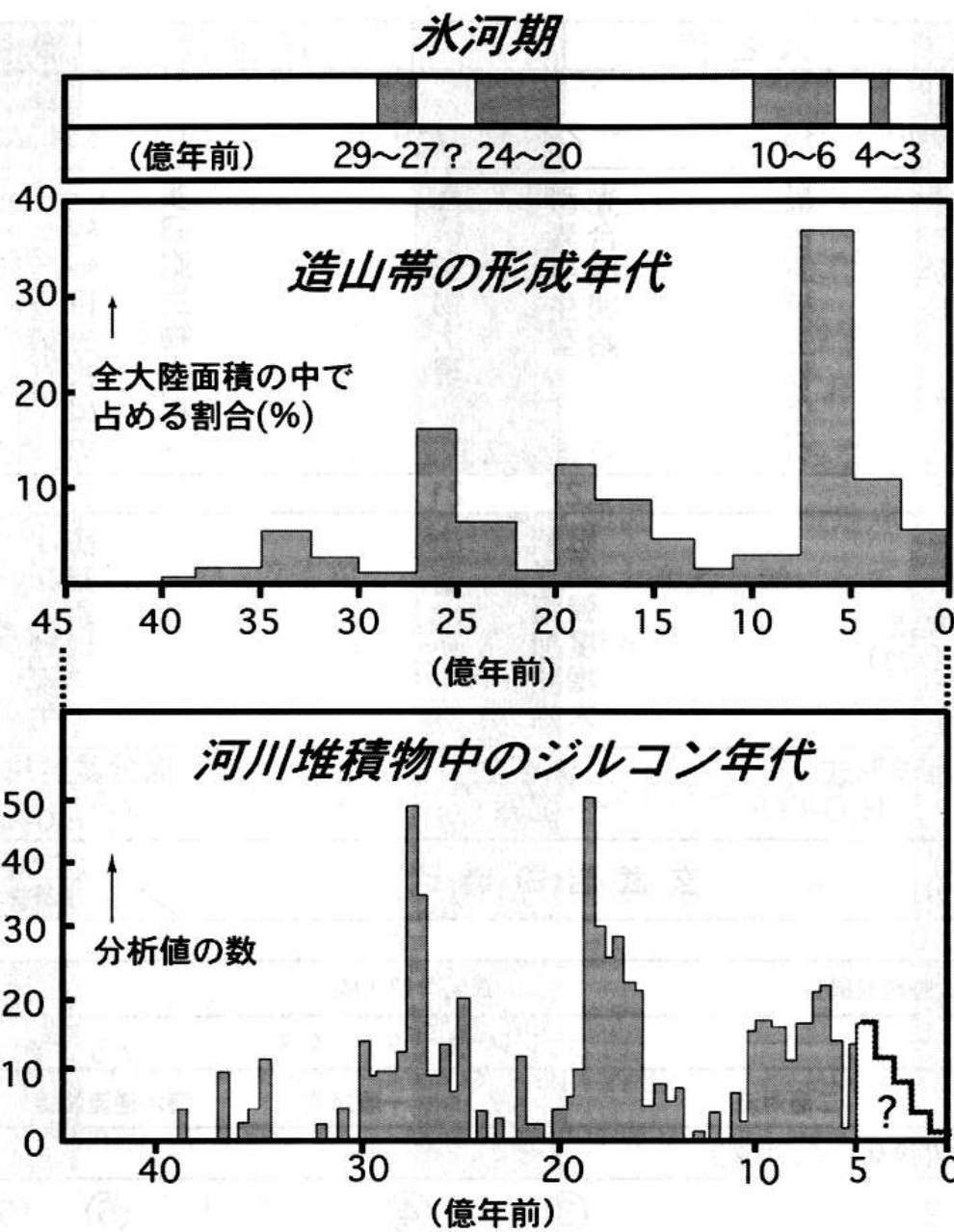


図 1.2.5 (上) 氷河期, (中) 太平洋型造山帯の形成年代頻度分布 (面積比), (下) 河川堆積物のジルコン年代頻度分布 (丸山, 1998).



半径	10cm
皮の厚さ	0.05cm
全質量	300g
皮質量	?



半径	6400km
皮の厚さ	30km
全質量	6.0×10^{24} kg
皮質量	2.4×10^{22} kg

	地球の岩石部分 (始原マントル)		海洋地殻 (MORB)		大陸地殻
SiO ₂ (wt%)	45.0	<	49.93	<	59.1
MgO	37.8	>	7.56	>	4.4
K ₂ O (ppm)	0.029	<<	0.17	<<	1.9
Th	0.0795	<<	0.20	<<	5.6
U	0.0203	<<	0.10	<<	1.42

地殻は全地球の～0.4重量%に過ぎないが、
全地球放射性元素の半分近くを含む。

大陸地殻の形成：2桁の元素濃縮メカニズム

ある圧力Pにおいて:

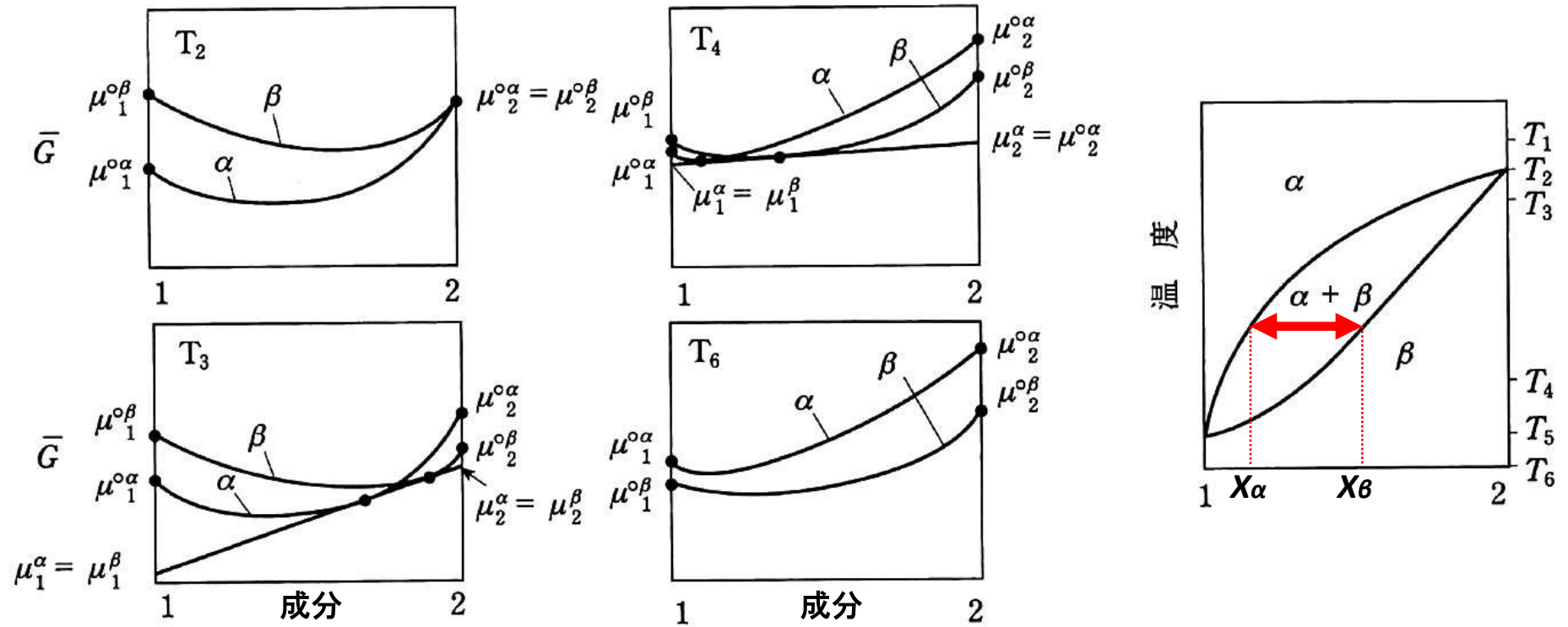


図 7-8 2成分系(二つの溶液(固溶体)相)の $X-\bar{G}$ 図および $X-T$ 図

$$\ln \frac{X_1^\alpha}{X_1^\beta} = \frac{-\Delta G_1}{RT}$$

$$\ln \frac{X_2^\alpha}{X_2^\beta} = \frac{-\Delta G_2}{RT}$$

- * 2相間での元素濃度比(分配係数) = エネルギー差
- * 元素は、居心地の良い相により多く分配される
- * 2相の構造が異なるほど、分配の偏りが大きくなる

$$X_2^\alpha = 1 - X_1^\alpha, X_2^\beta = 1 - X_1^\beta$$

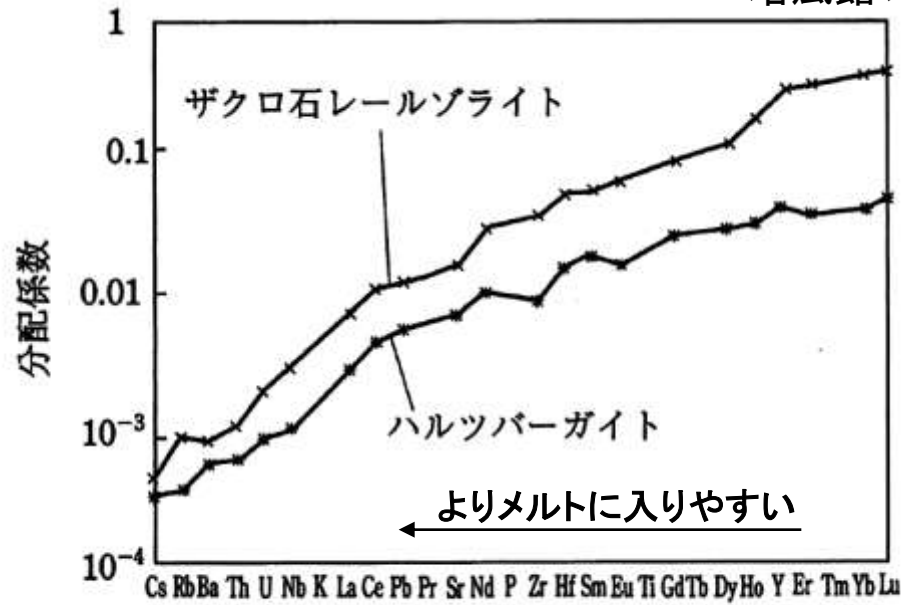
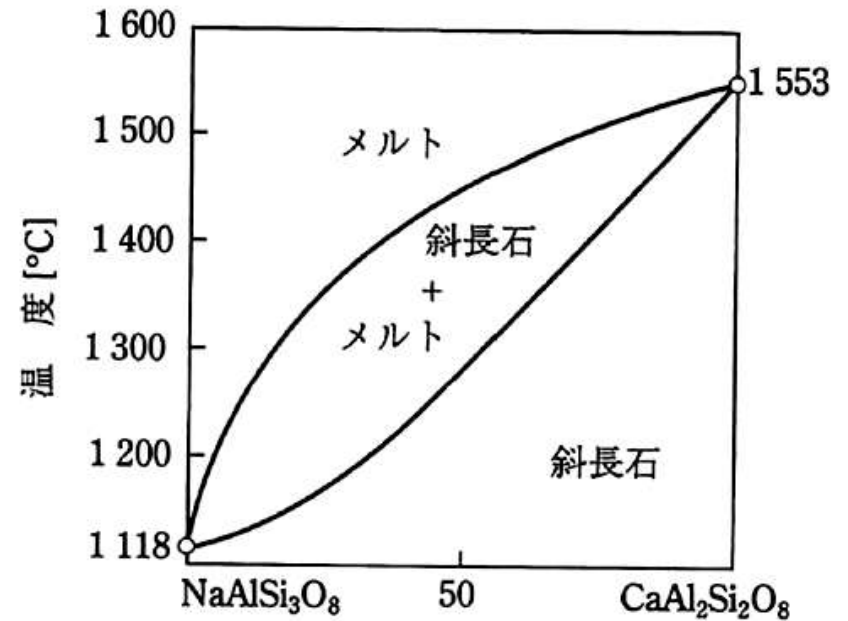
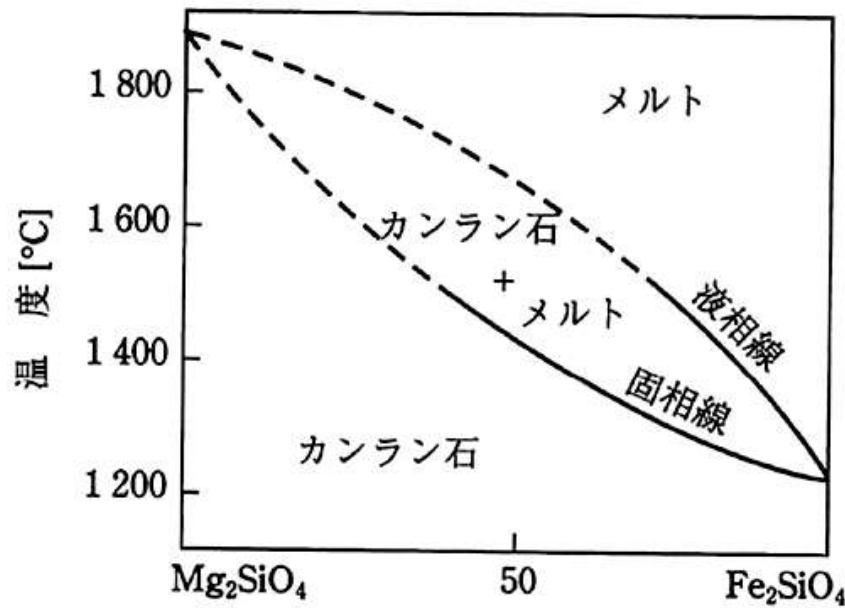
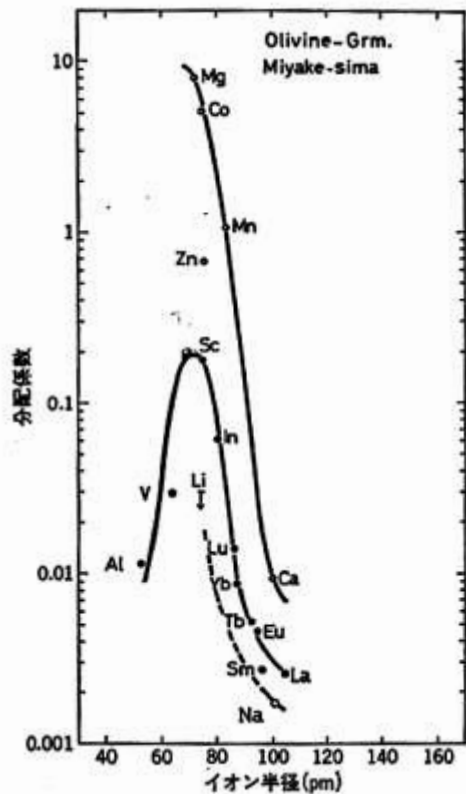


図 7-21 カンラン岩とケイ酸塩メルトの間の微量元素の分配係数

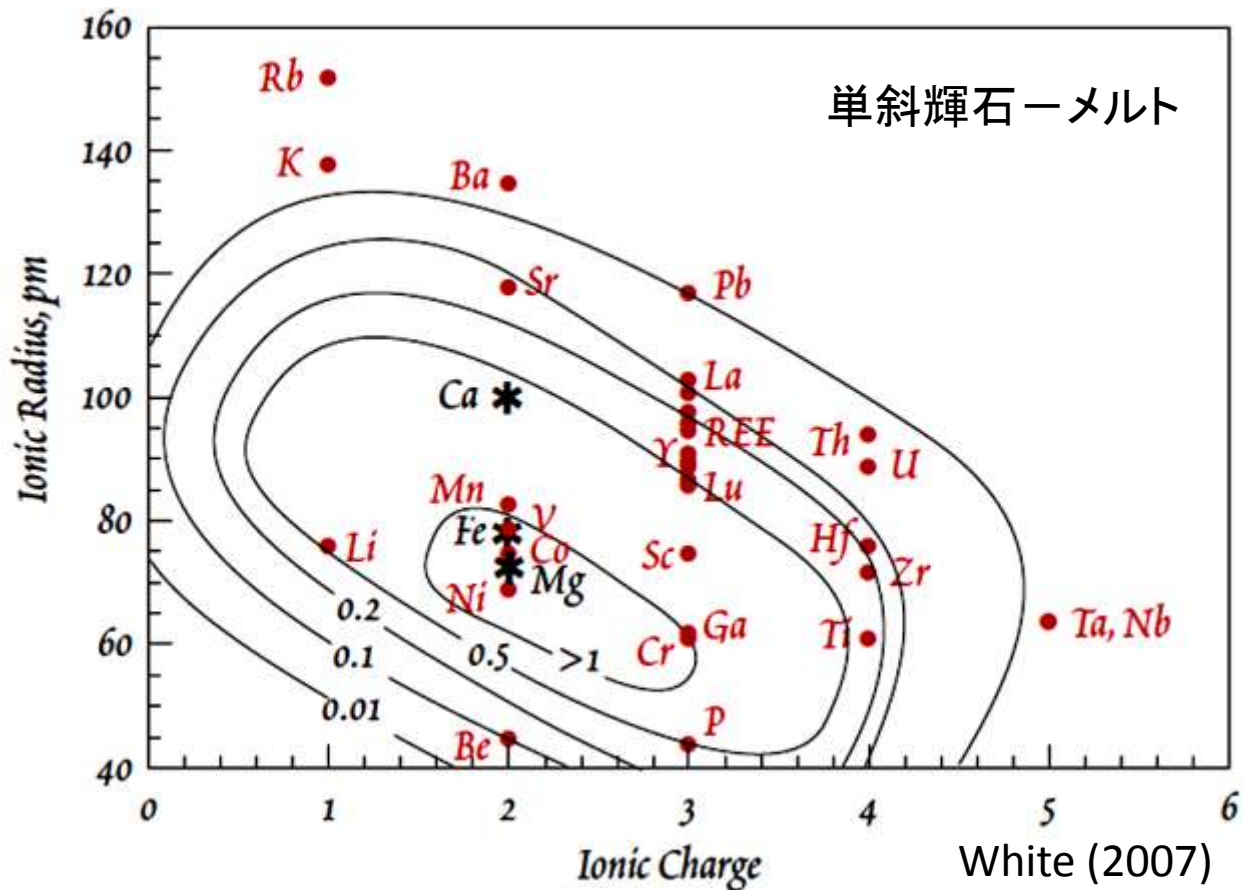


イオン半径、電荷(⇒固体中のポテンシャルエネルギー) 固体とメルトの間の分配を整理・定量化可能:

(一)ポテンシャルエネルギー



岩波地球科学講座4巻



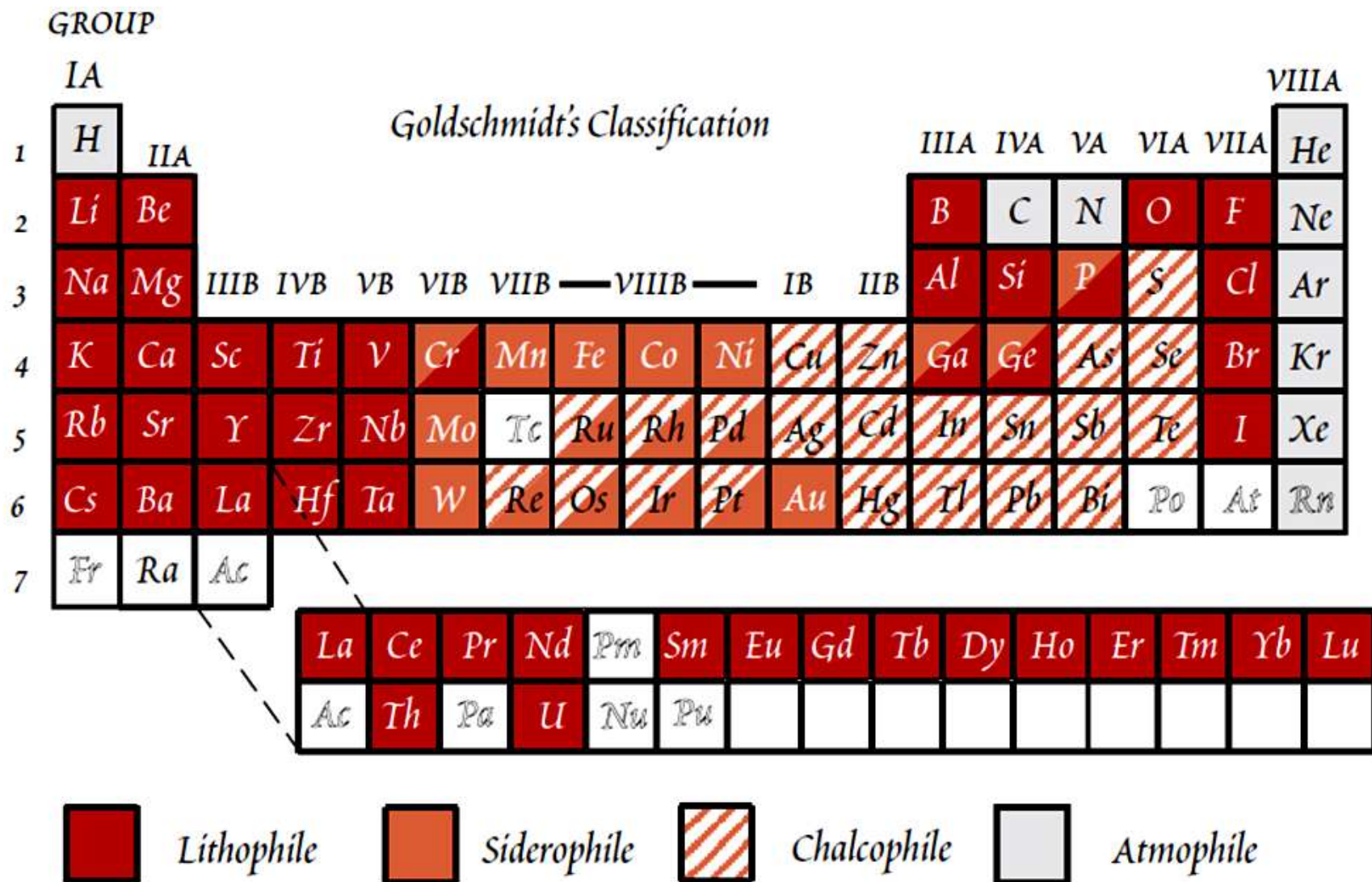


Figure 7.2. Goldschmidt's classification of the elements.

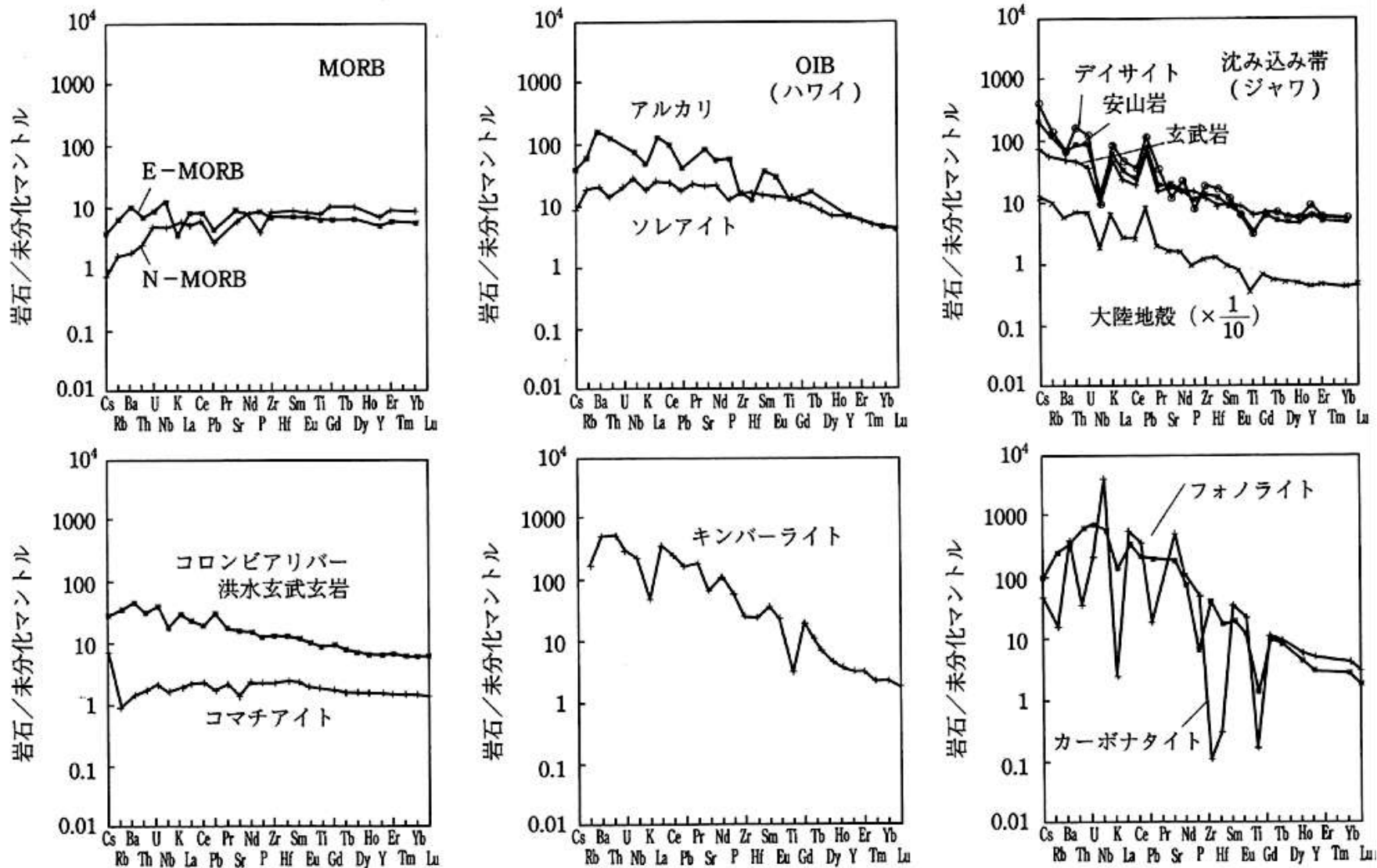
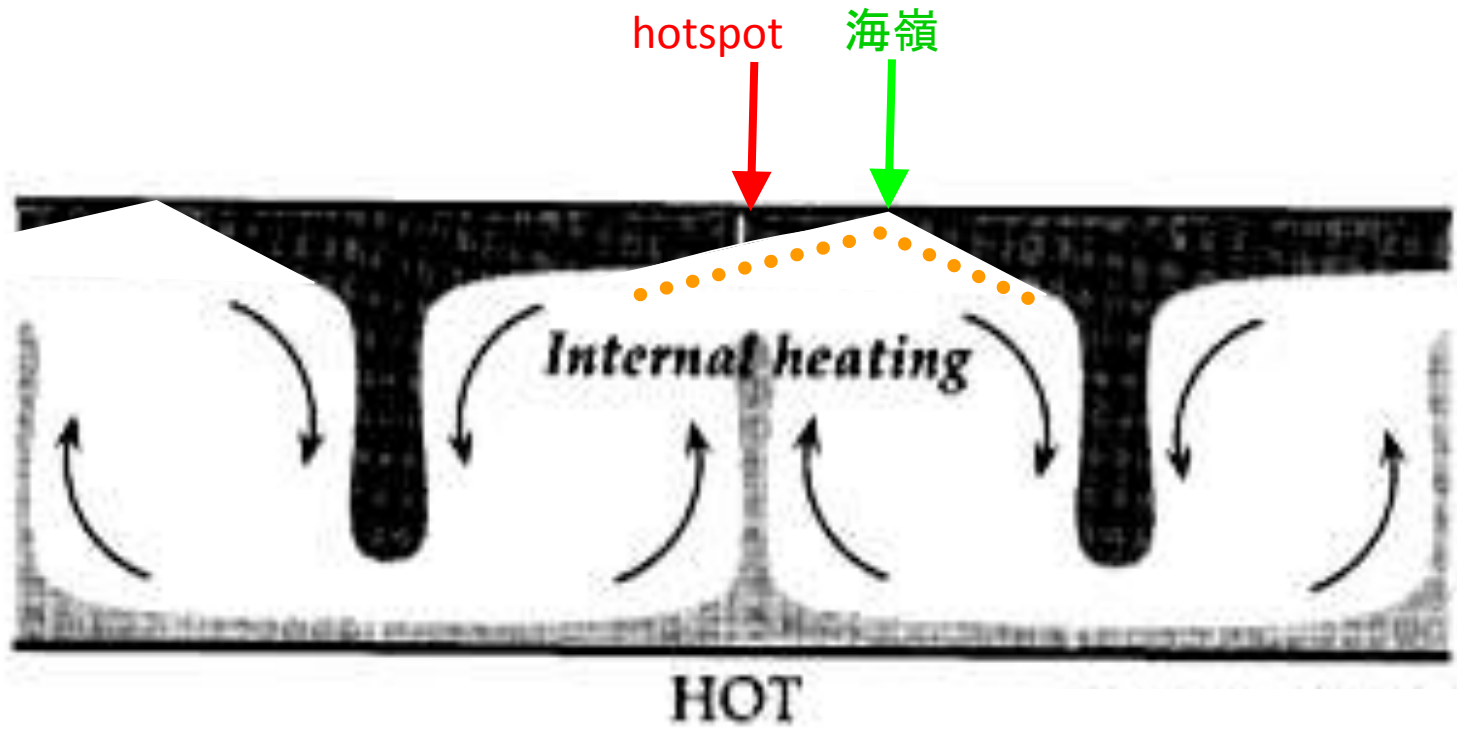
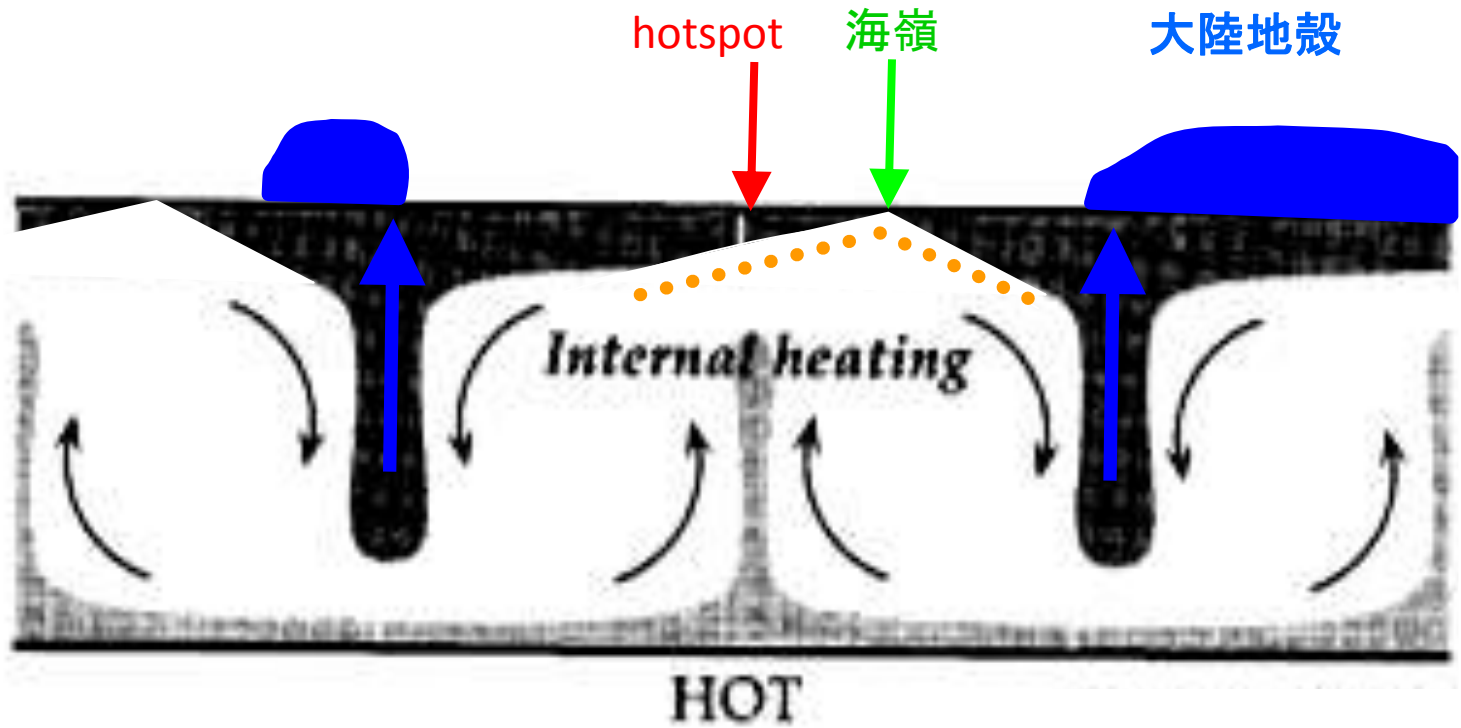


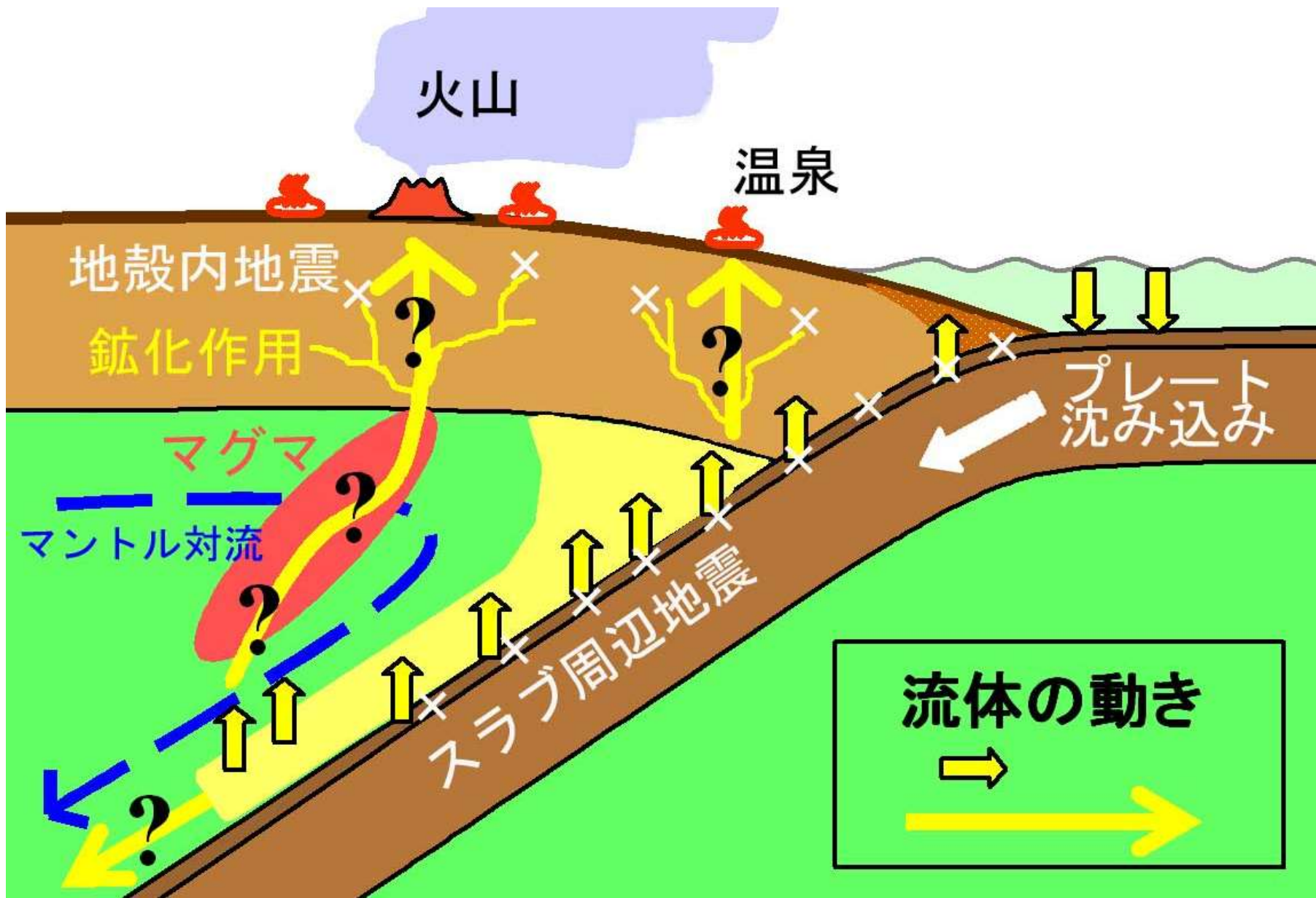
図 7-22 さまざまな火成岩の微量元素濃度のスパイダー図

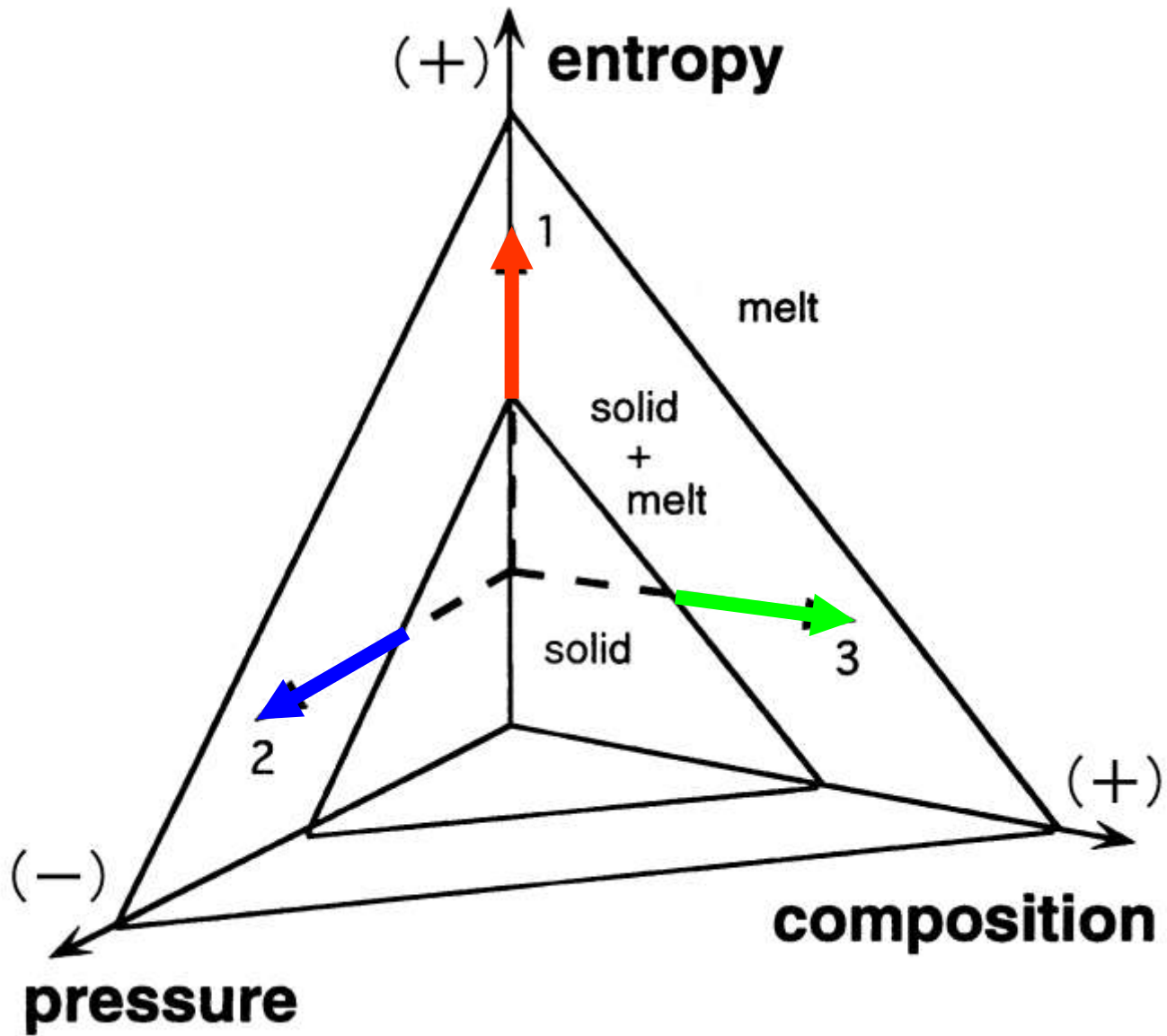
(c)

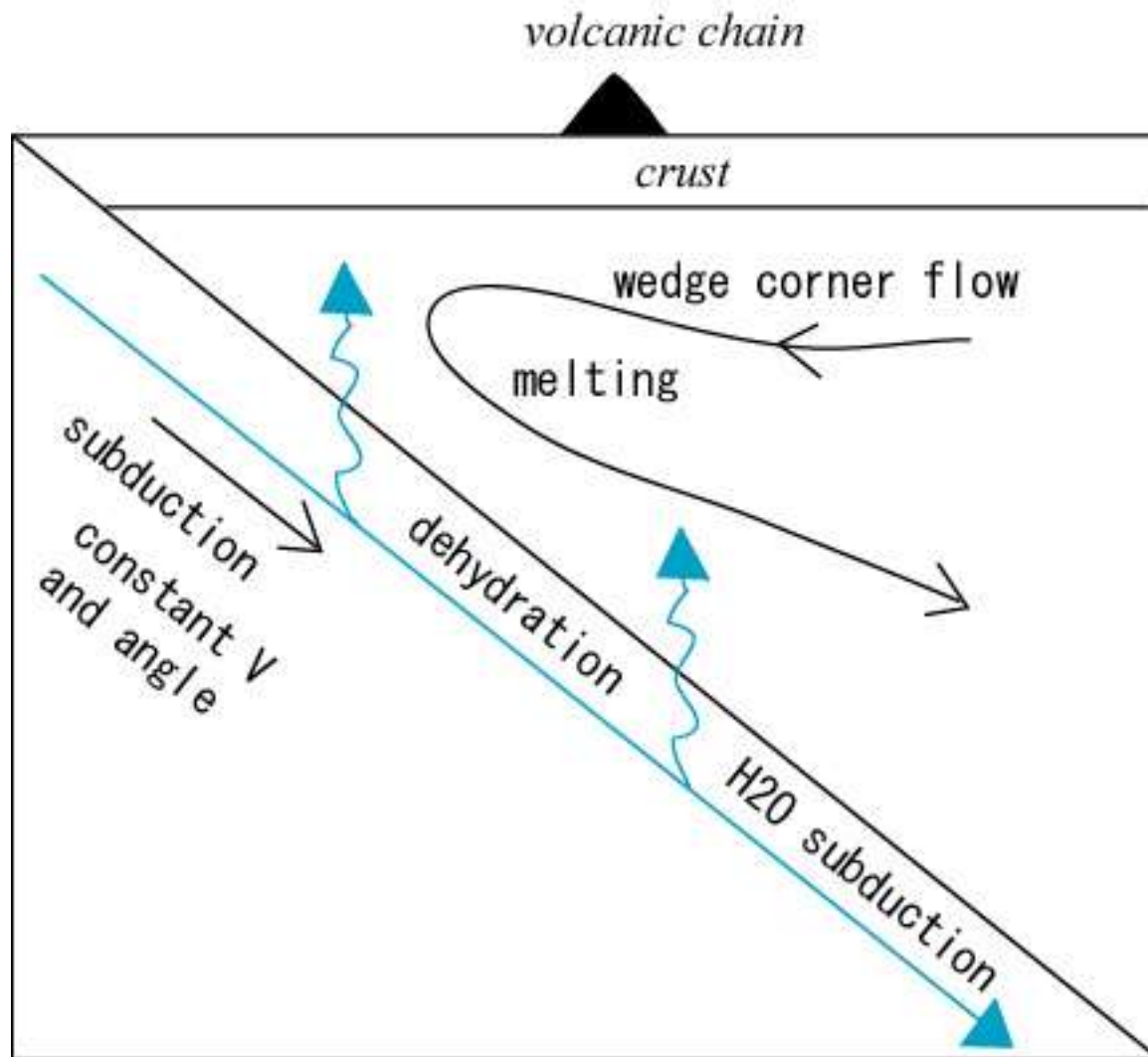


(c)









viscous flow
 mass & energy flux \longleftrightarrow phase equilibria

Mass (+ Chemical Reaction)

$$\frac{\partial(\rho_i \phi_i)}{\partial t} + \nabla \cdot (\rho_i \phi_i \mathbf{V}_i) = \sum_{j \neq i} \Gamma_{j \rightarrow i}$$

and $\sum_i \sum_{j \neq i} \Gamma_{j \rightarrow i} = 0 \quad (i, j = m, s, a)$

$$\frac{\partial(\rho_b C_b^{\text{H}_2\text{O}})}{\partial t} + \sum_i^{m,s,a} \nabla \cdot [\rho_i \phi_i C_i^{\text{H}_2\text{O}} \mathbf{V}_i] = 0$$

Momentum

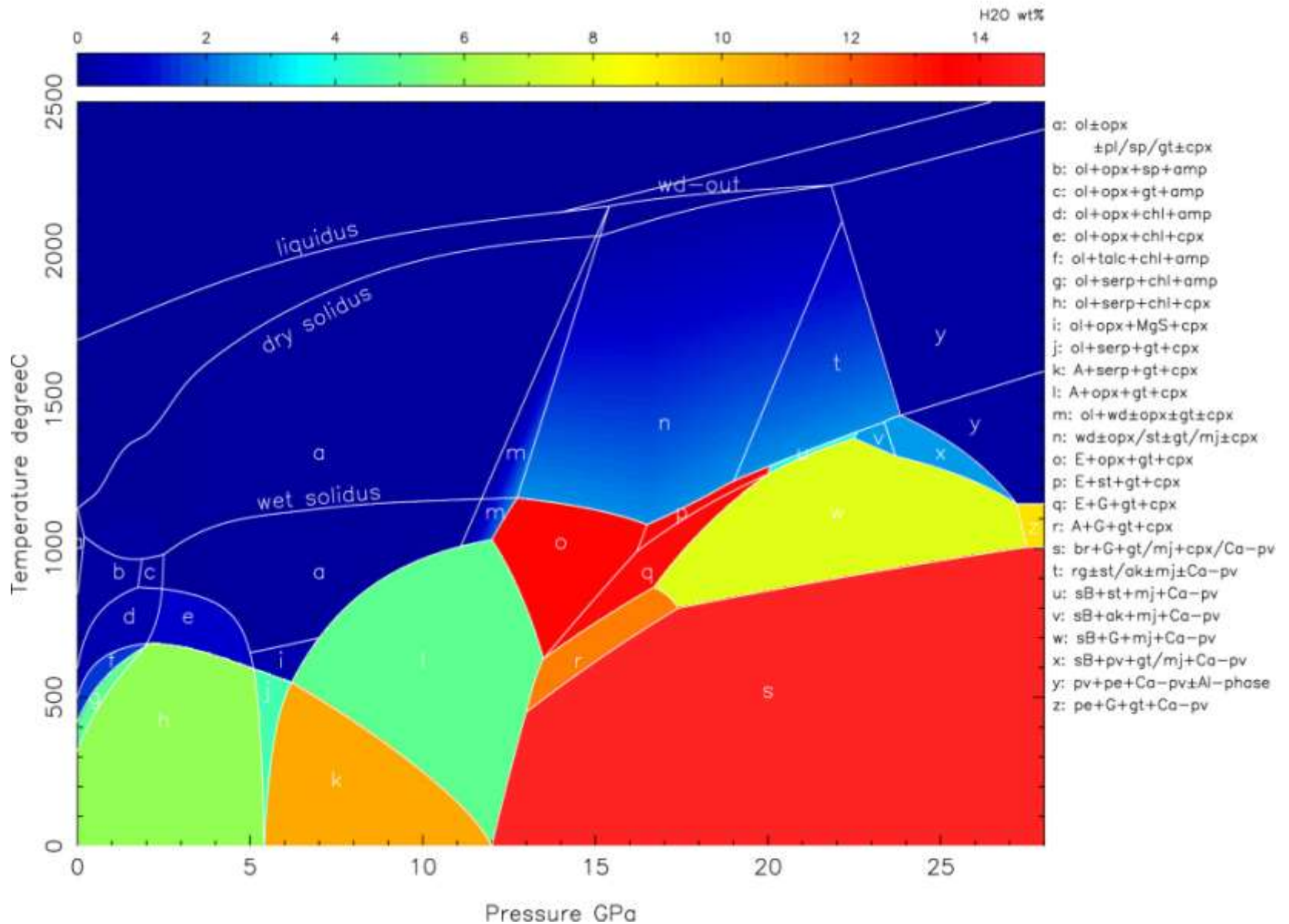
(Modified Darcy's Law)

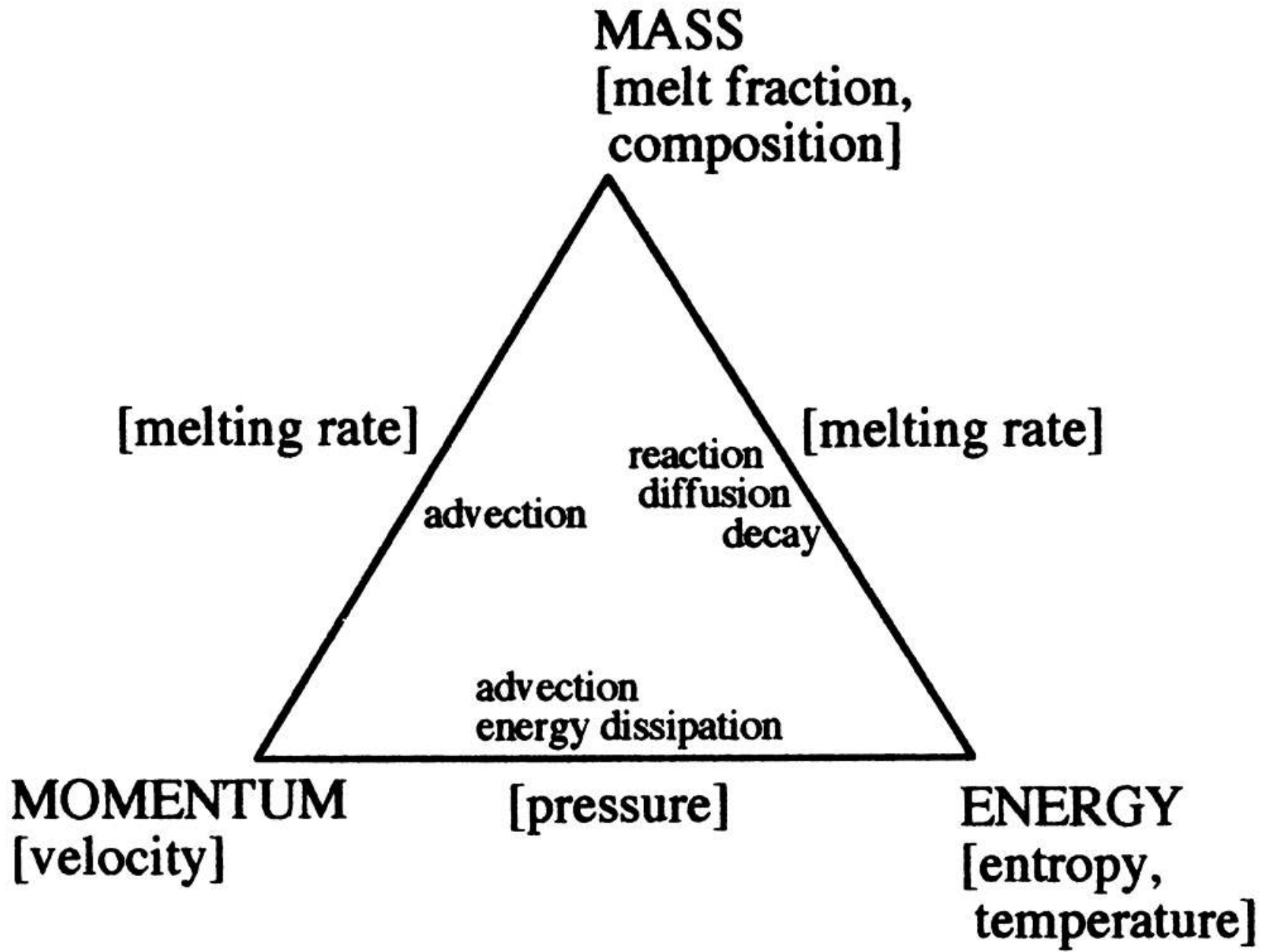
$$\mathbf{V}_a = \mathbf{V}_s - \frac{k_{\phi_a}}{\phi_a \eta_a} [\eta_s \nabla^2 \mathbf{V}_s + (1 - \phi_a) \Delta \rho_a g \mathbf{z}]$$

and $k_{\phi_a} = \frac{R^2 \phi_a^n}{B}$

Energy (+ Phase Diagram)

$$\left[\sum_i^{m,s} (\phi_i \rho_i C_p^i) + T \Delta S \frac{\partial(\phi_m \rho_m)}{\partial T} \right] \frac{\partial T}{\partial t}$$
$$= K \nabla^2 T - \sum_i^{m,s} (\phi_i \rho_i C_p^i \mathbf{V}_i \cdot \nabla T - T \phi_i \alpha_i \mathbf{V}_i \cdot \nabla P)$$
$$- T \Delta S \frac{\partial(\phi_m \rho_m)}{\partial(C_b^{\text{H}_2\text{O}})} \frac{\partial(C_b^{\text{H}_2\text{O}})}{\partial t} - T \Delta S \nabla \cdot (\phi_m \rho_m \mathbf{V}_m)$$





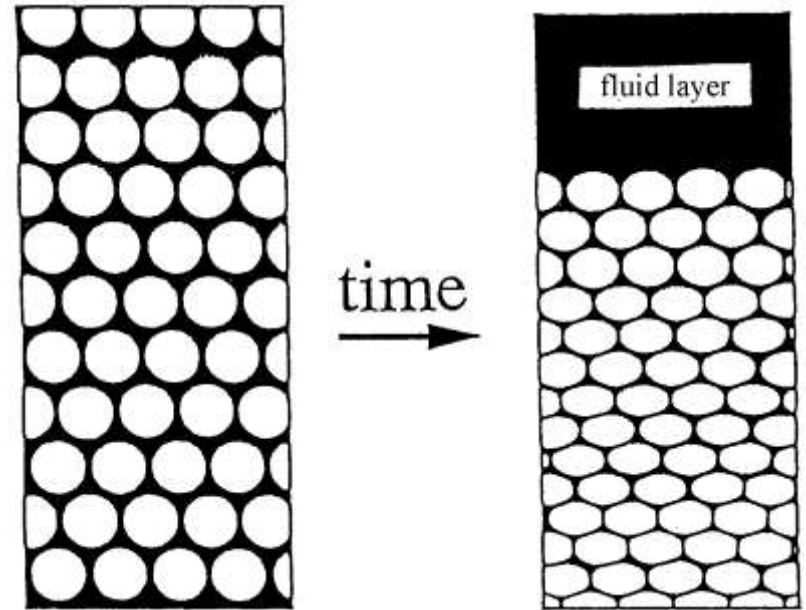
2相流の運動方程式： 圧密項(右辺第一項)の重要性

$$-\nabla \cdot \mathbf{V}_s + \Gamma \left(\frac{1}{\rho_m} - \frac{1}{\rho_s} \right) \\ = -\nabla \cdot \frac{k_\phi}{\mu} \left\{ \nabla \left[\left(\zeta + \frac{4}{3} \eta \right) \nabla \cdot \mathbf{V}_s \right] - \nabla \times (\eta \nabla \times \mathbf{V}_s) - (1 - \phi) \Delta \rho g \hat{z} \right\}$$

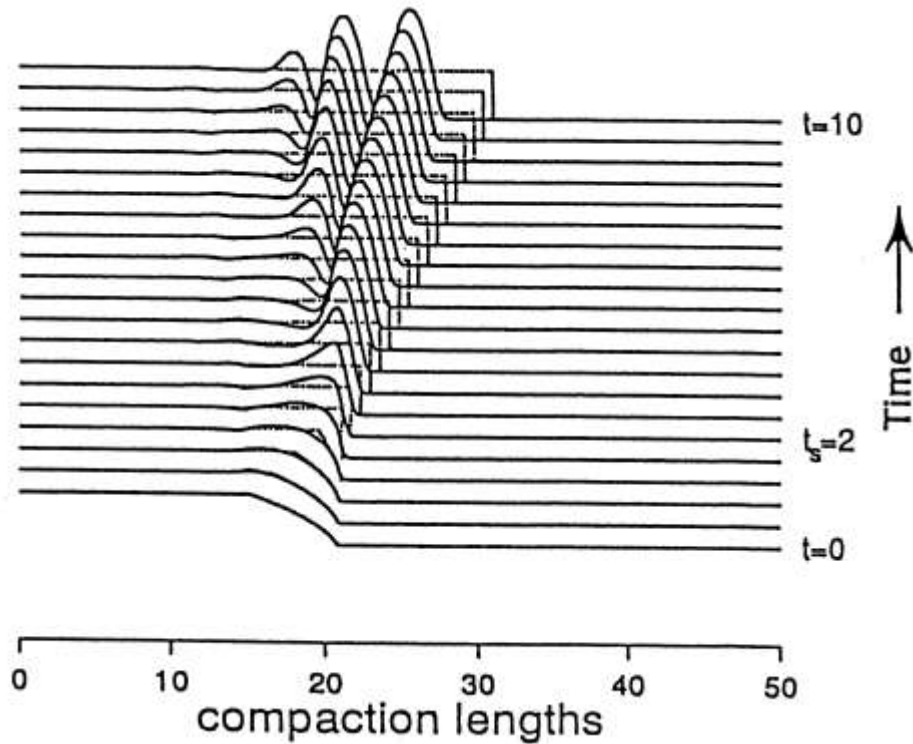
圧密長
(compaction length)

$$\delta_c = \sqrt{\frac{k_\phi^0 \left(\zeta + \frac{4}{3} \eta \right)}{\mu}}$$

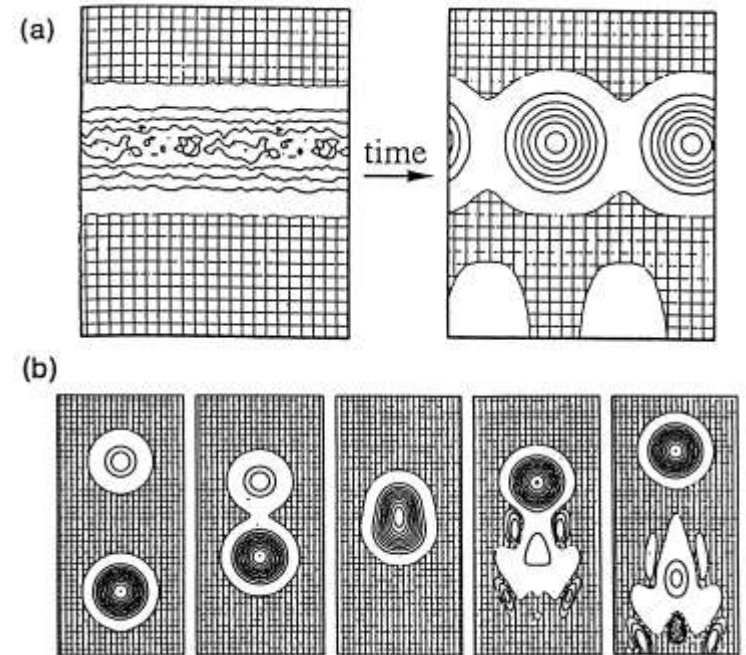
McKenzie (1984)



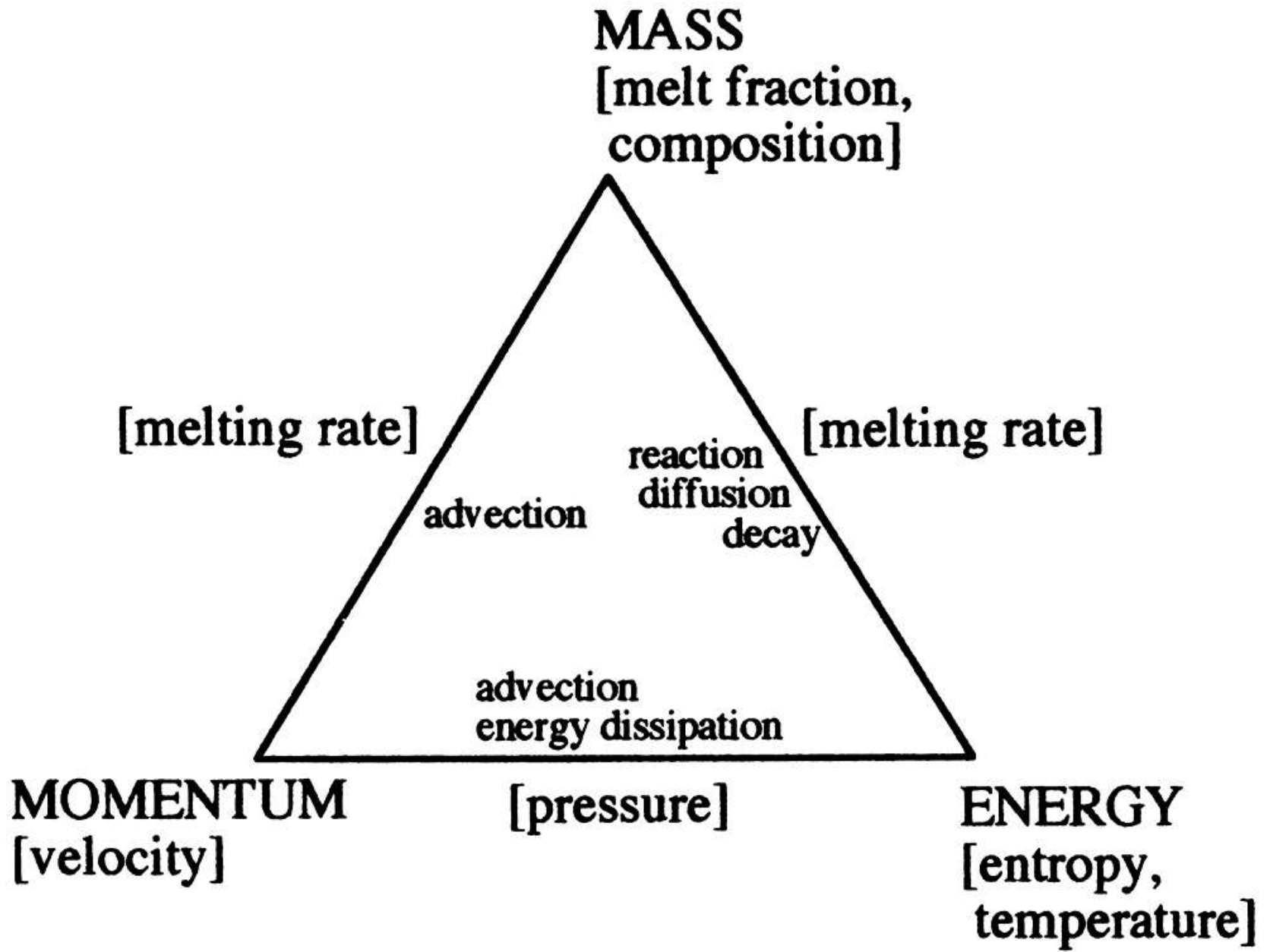
圧密を伴う2相流の数値シミュレーション



Spiegelman (1993)



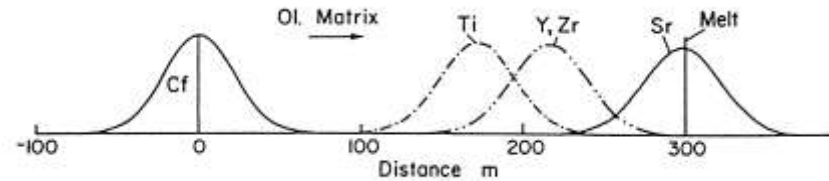
Scott & Stevenson (1986)



化学反応を伴う2相流

Chromatographic effect

$$v_e^j = \frac{V_m}{\frac{\rho_s}{\rho_m} \frac{1-\phi}{\phi} K^j + 1}$$

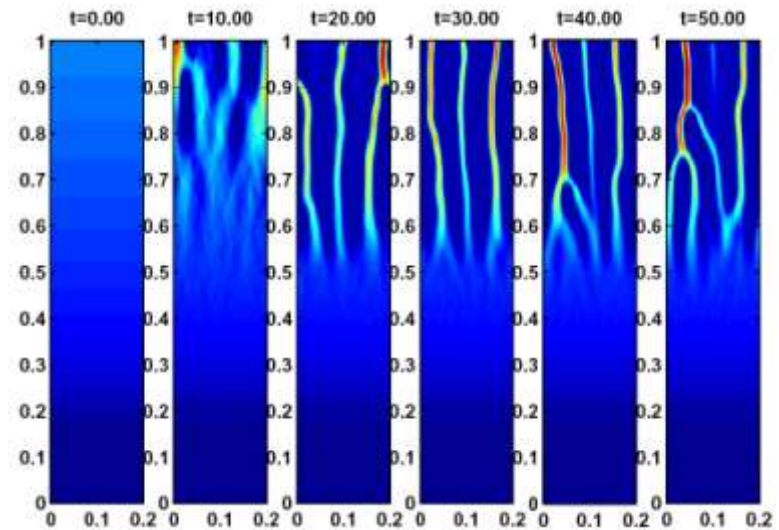


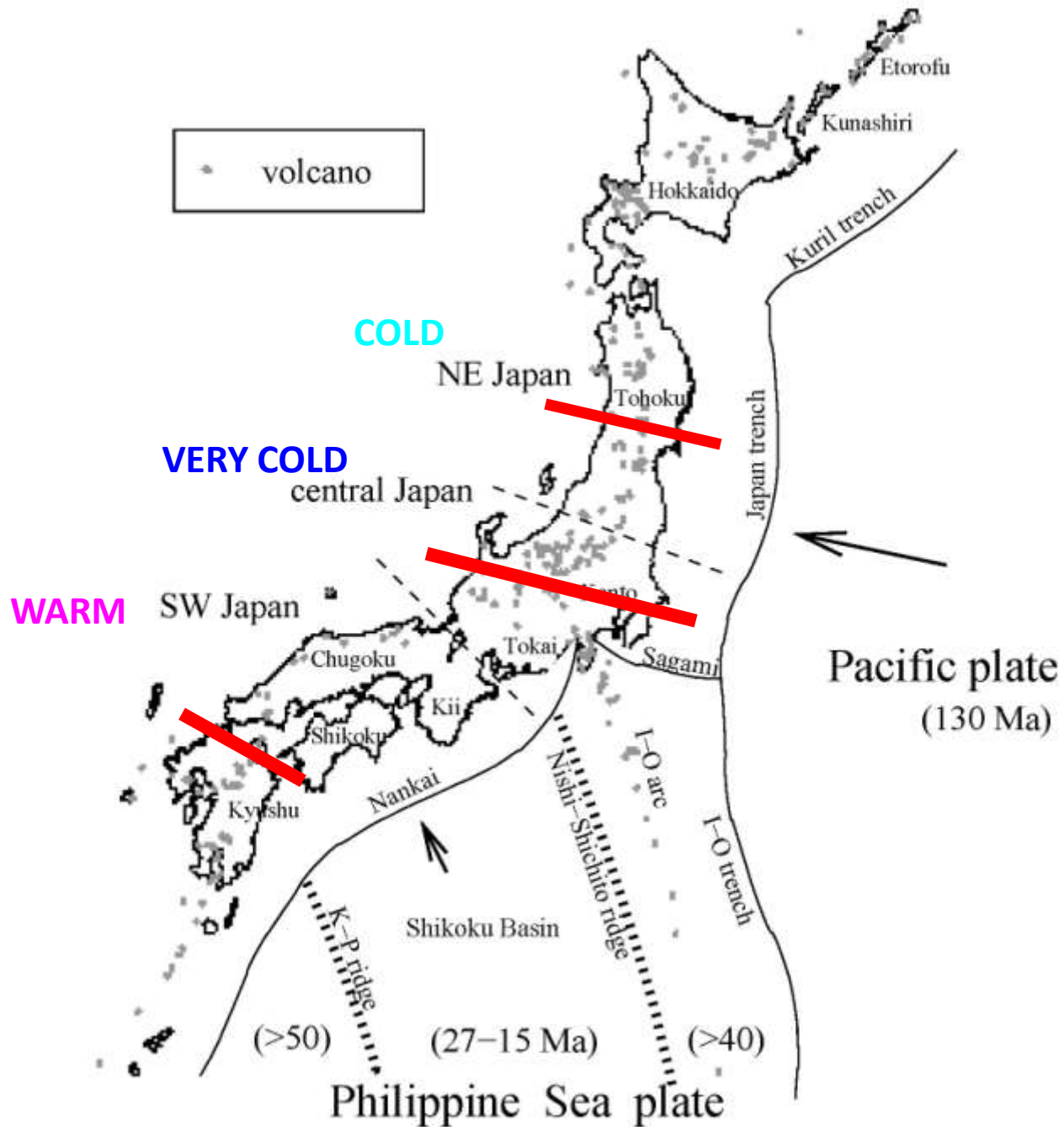
Kinetic effect and Channelling

Damköhler numbers

$$Da = \frac{R_{eff} L}{\phi_0 \omega_0 \rho_f}$$

$$= \frac{\text{reaction rate}}{\text{convective mass transport rate}}$$

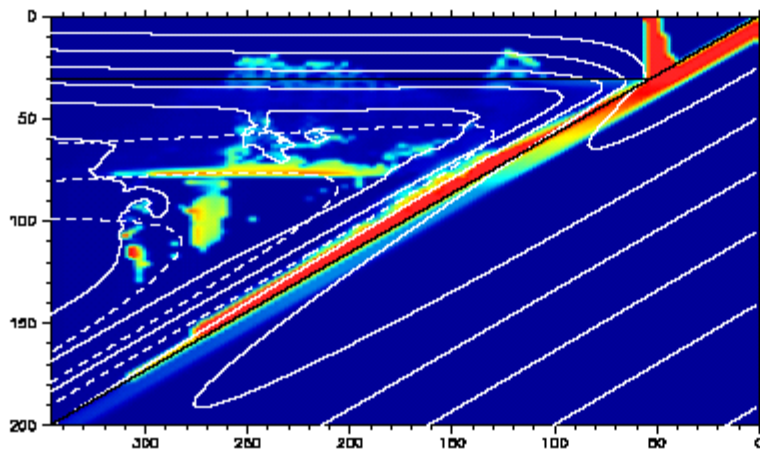




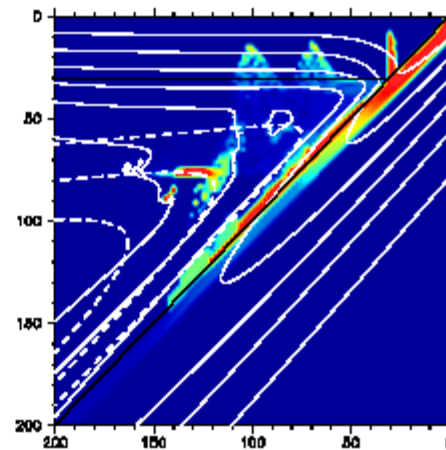
Model results of H₂O distribution beneath Japan

COLD

(a) NE Japan

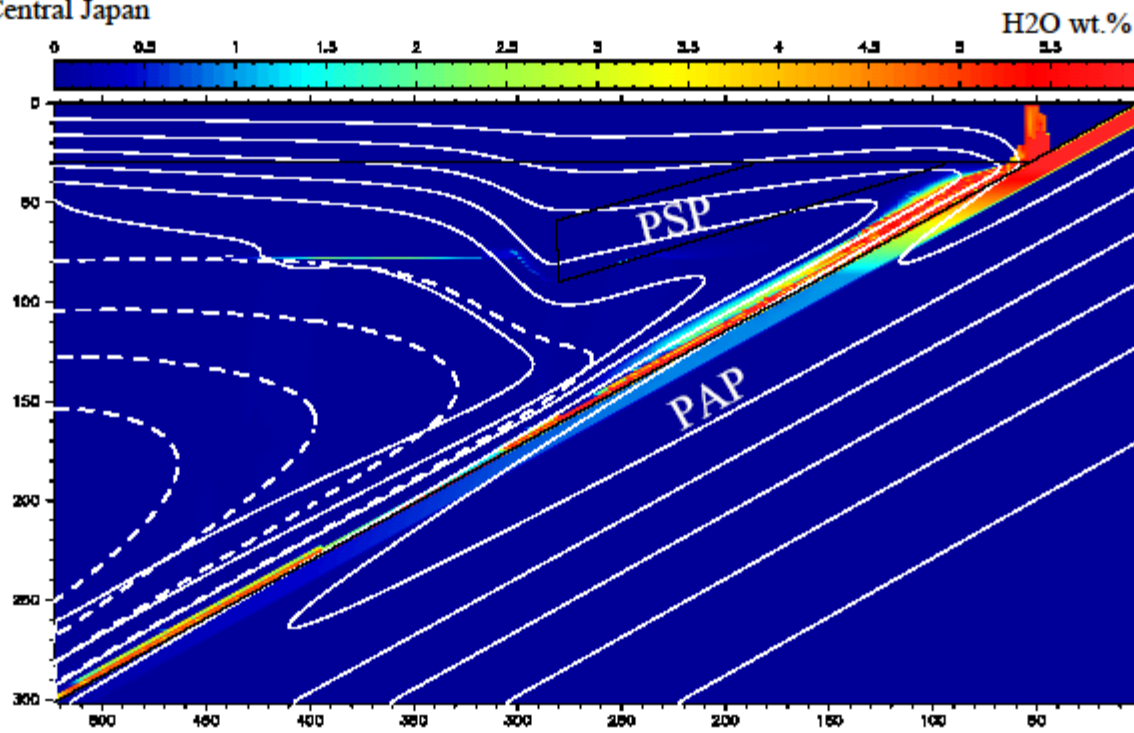


(c) SW Japan (north Kyushu) WARM

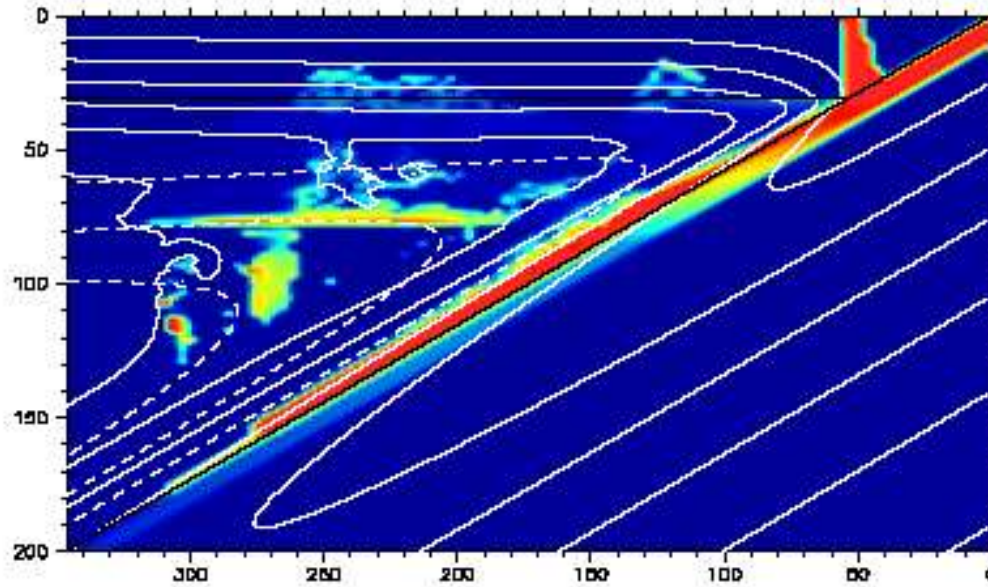


VERY COLD

(b) Central Japan

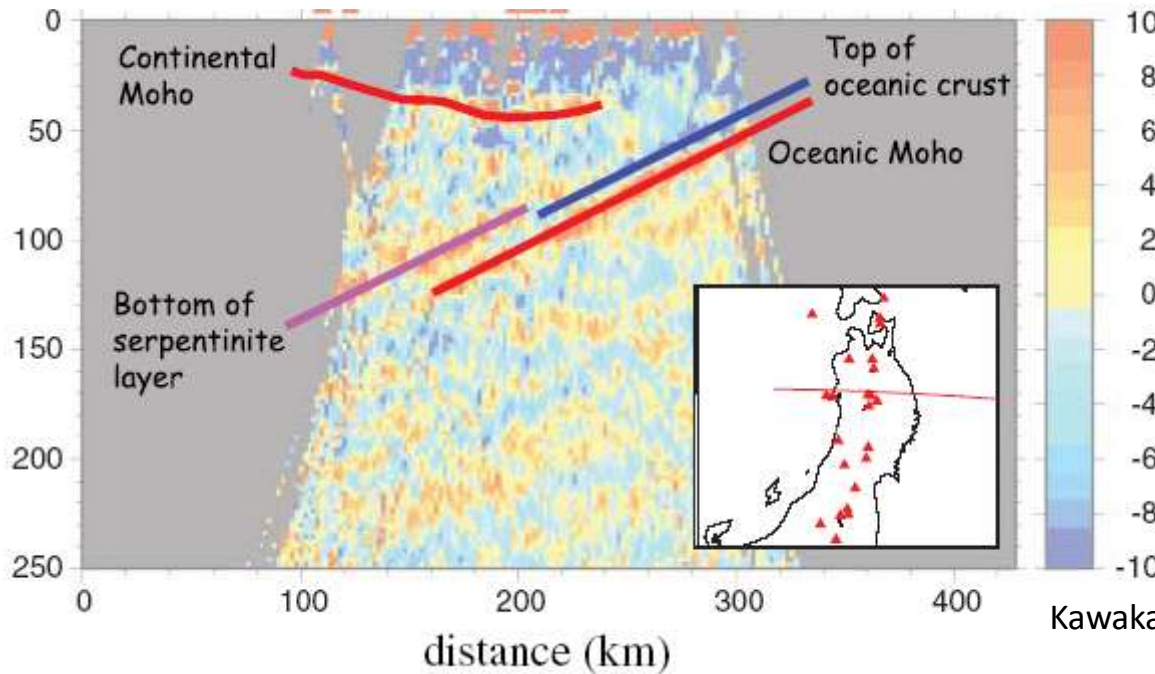


Numerical Simulation



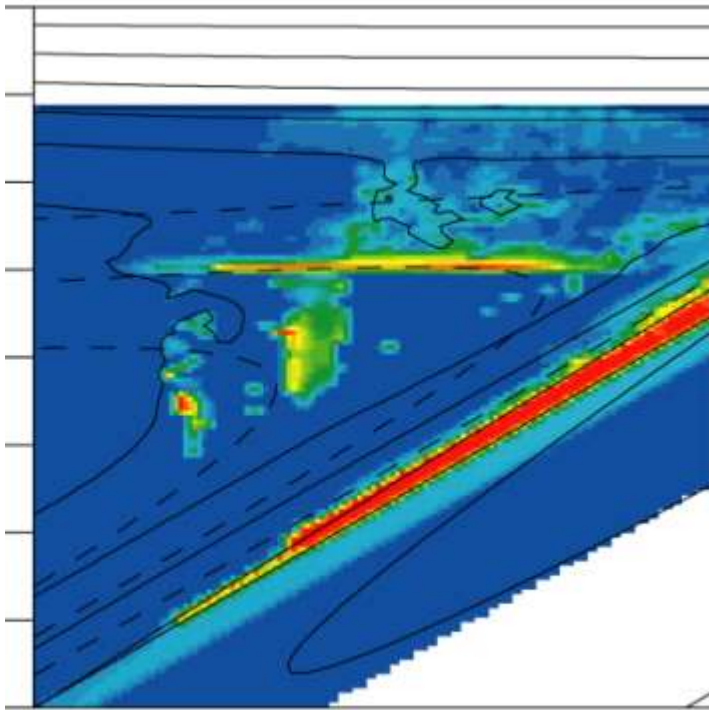
Iwamori (2007)

Seismic Structure

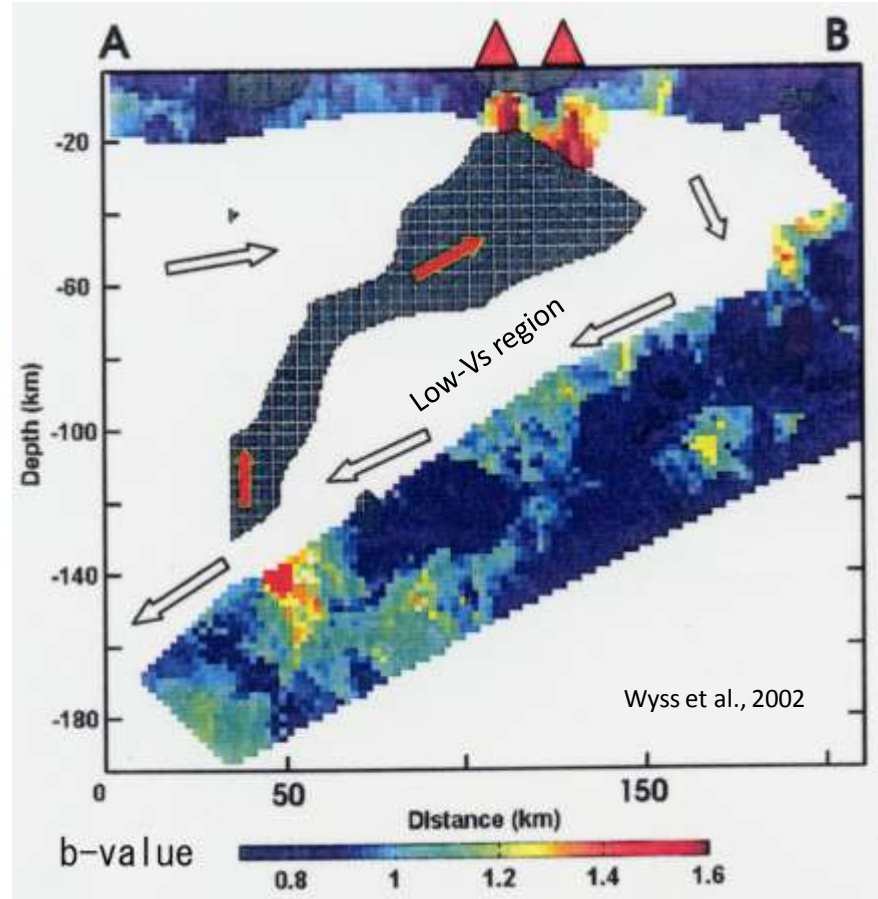


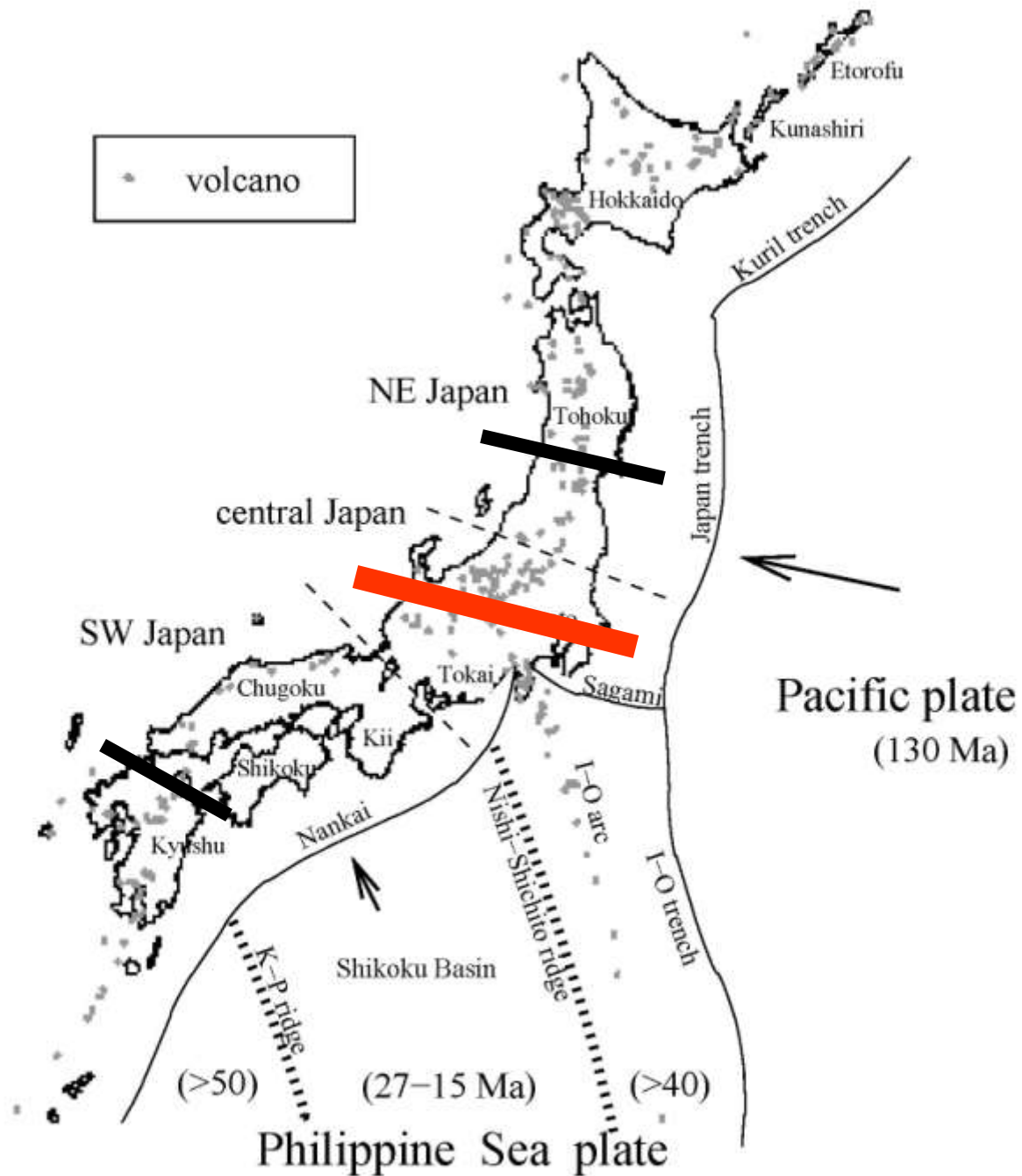
Kawakatsu and Watada (2007)

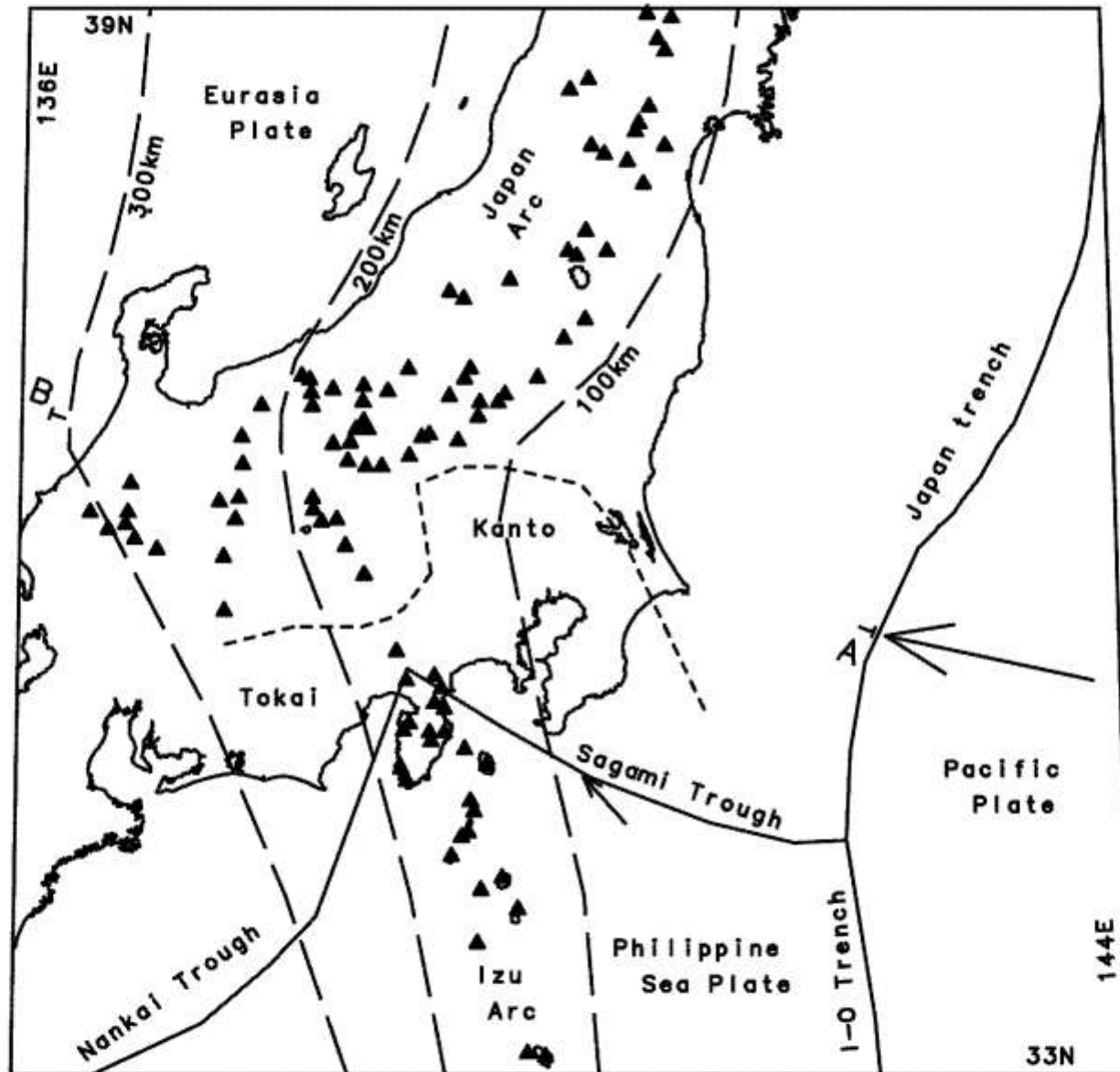
Model result



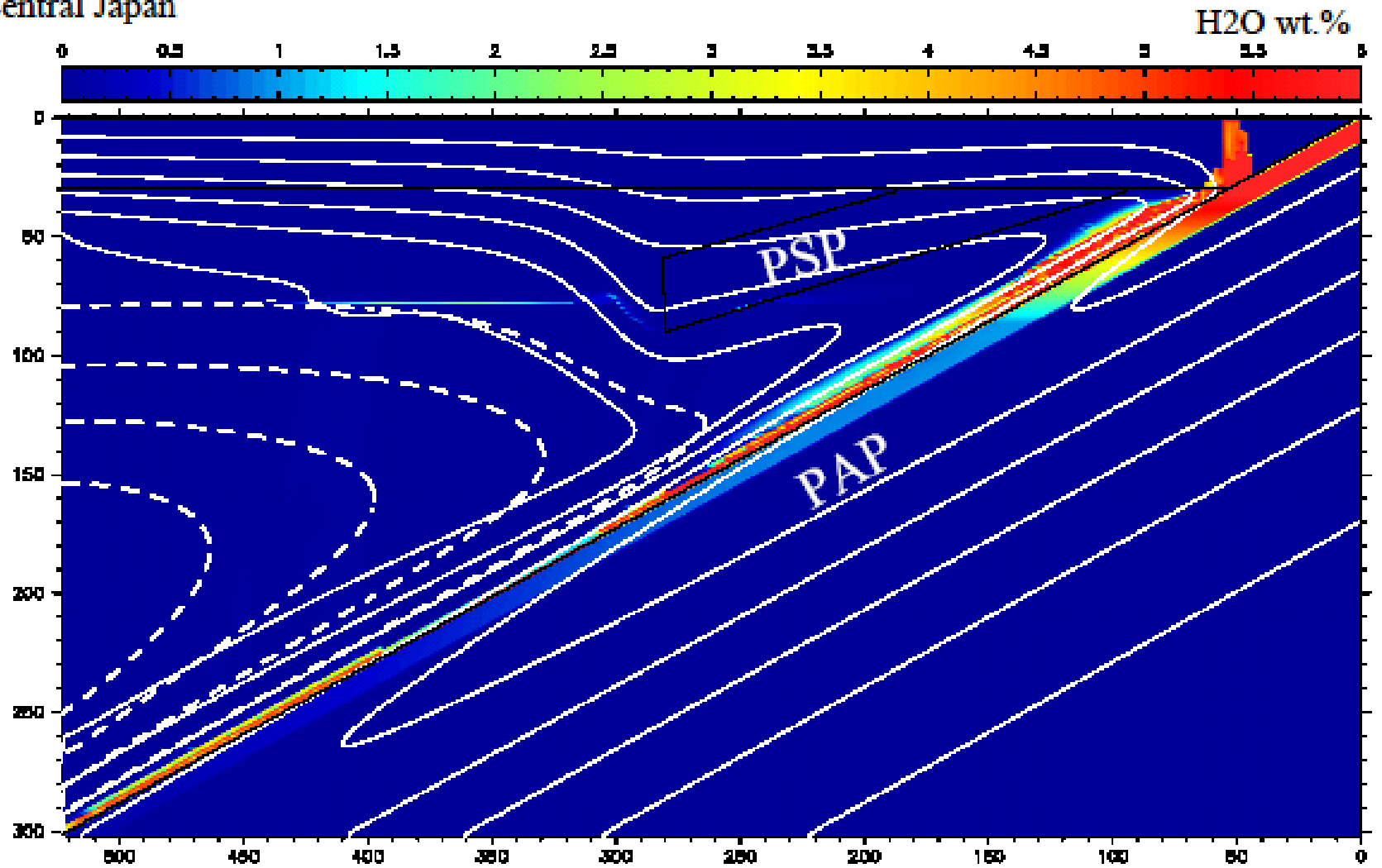
Observation

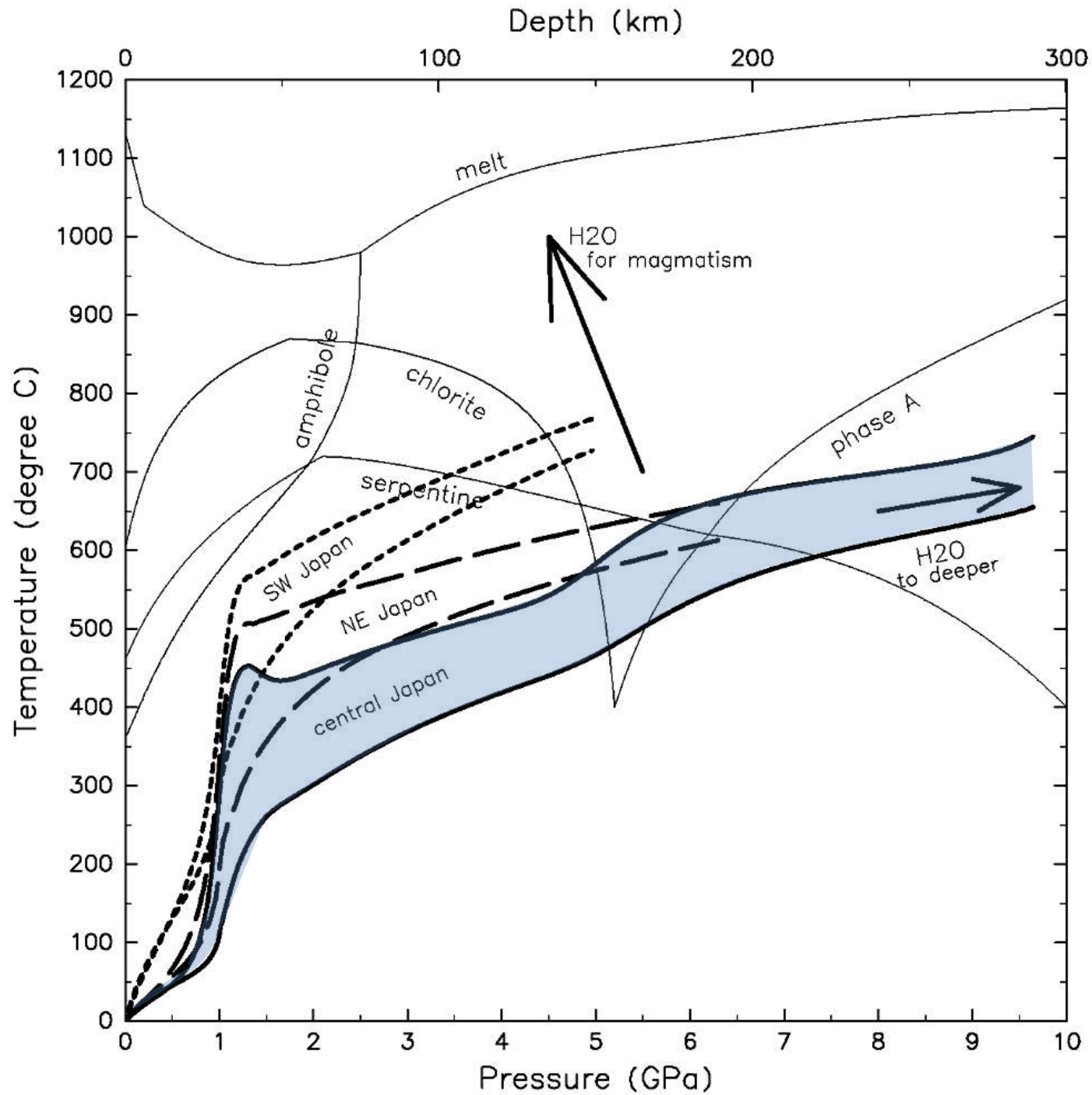




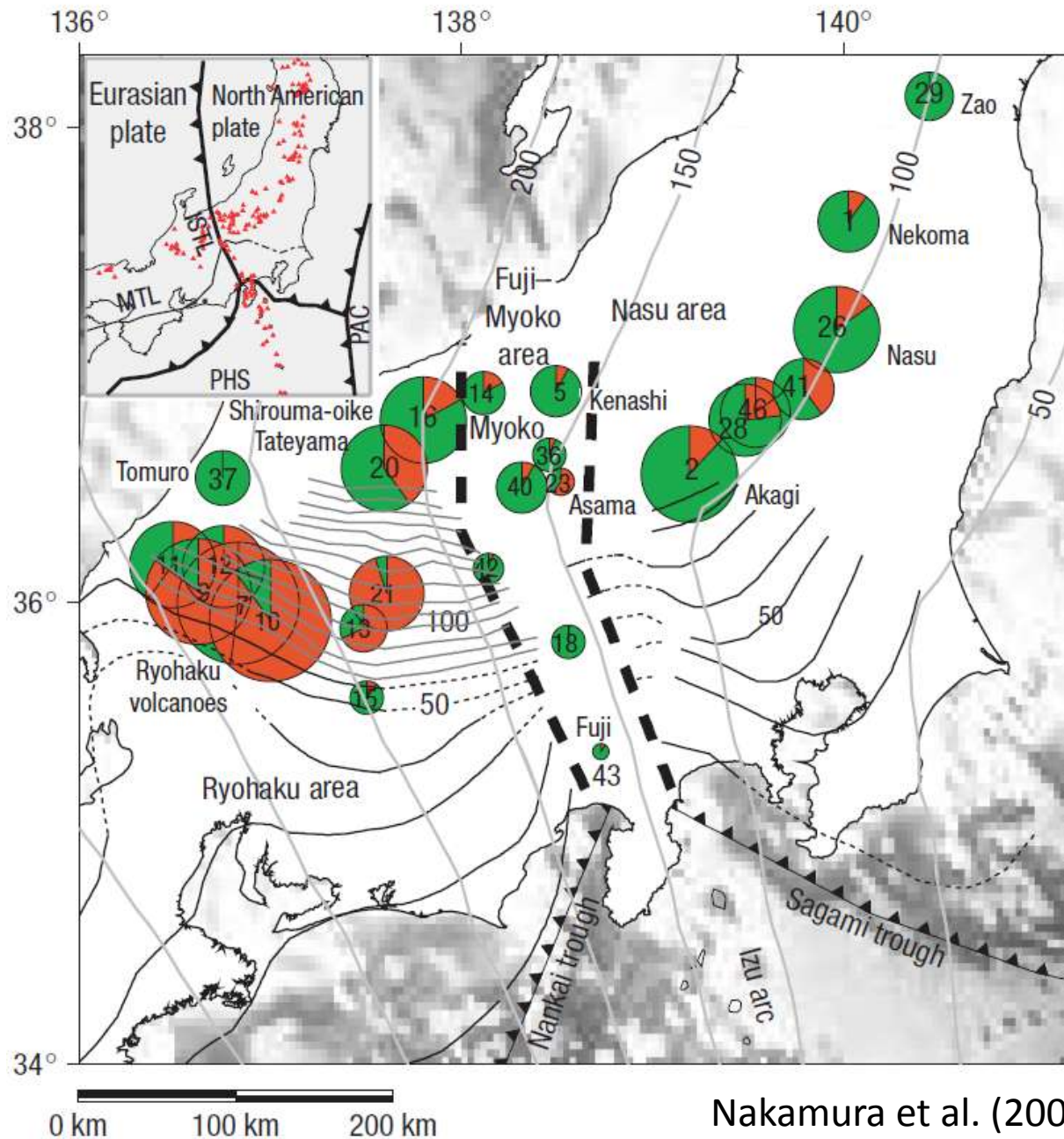
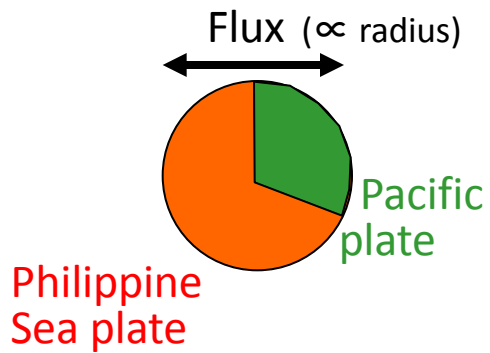


(b) Central Japan

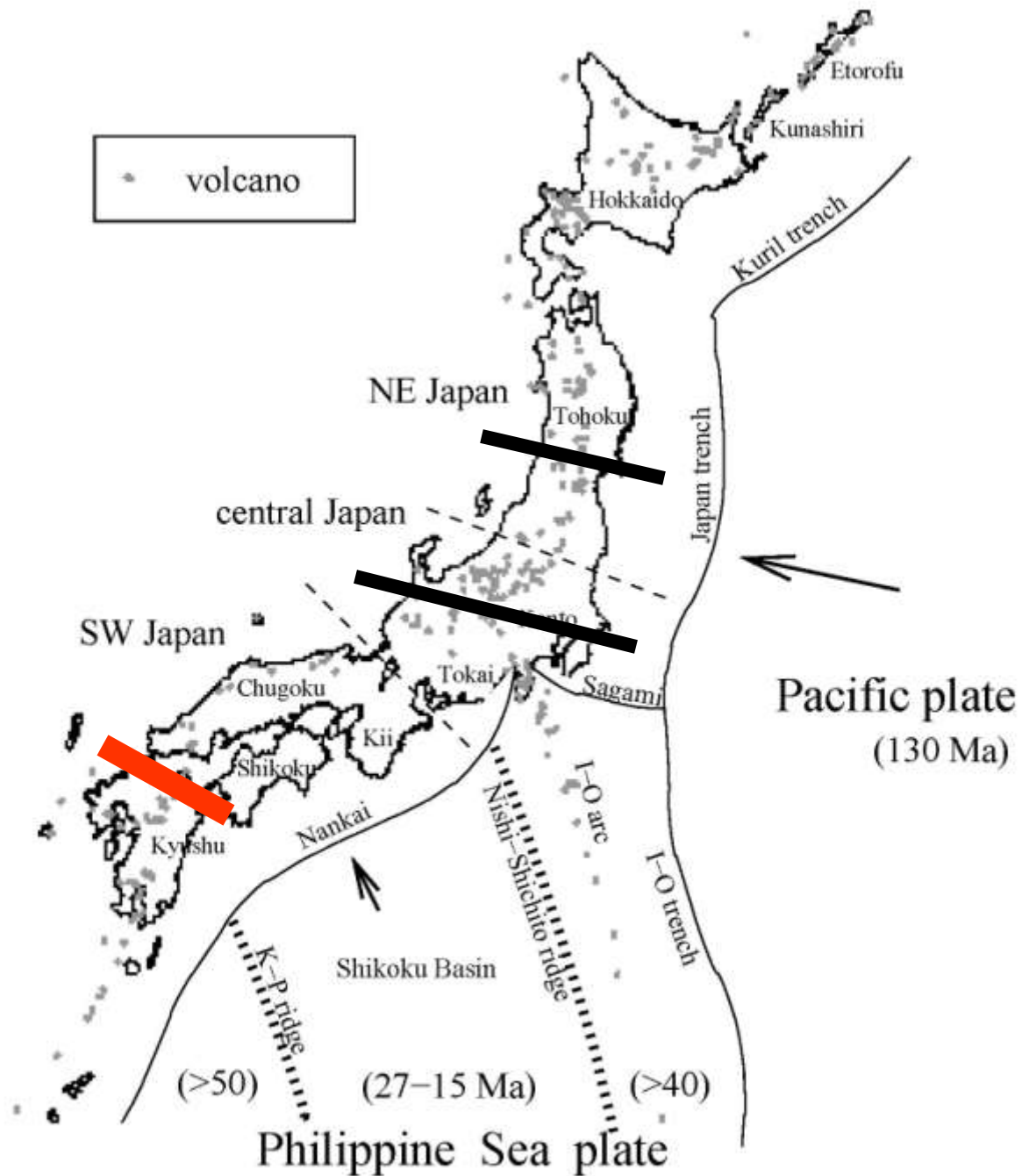




Slab-fluid

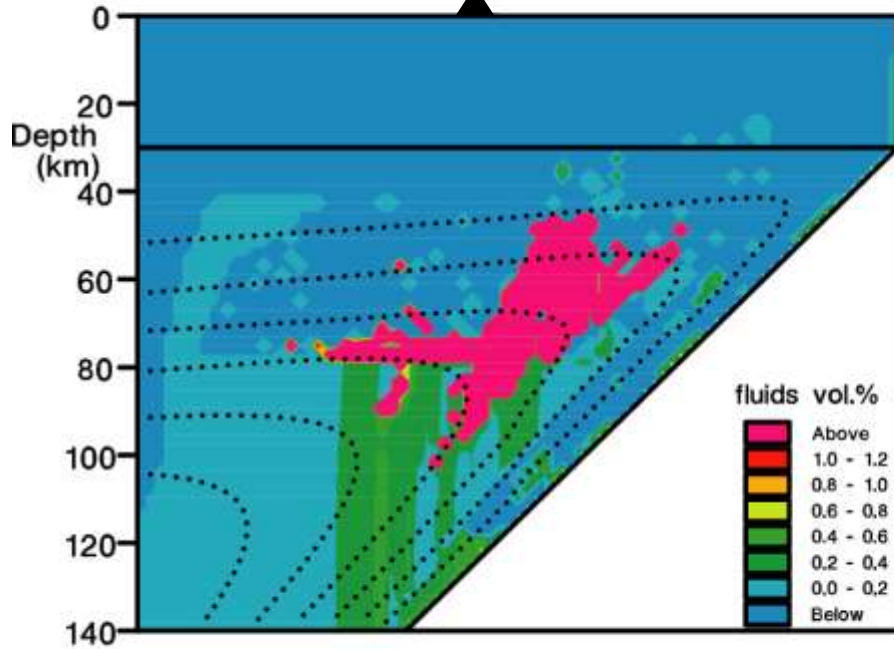


Nakamura et al. (2008)



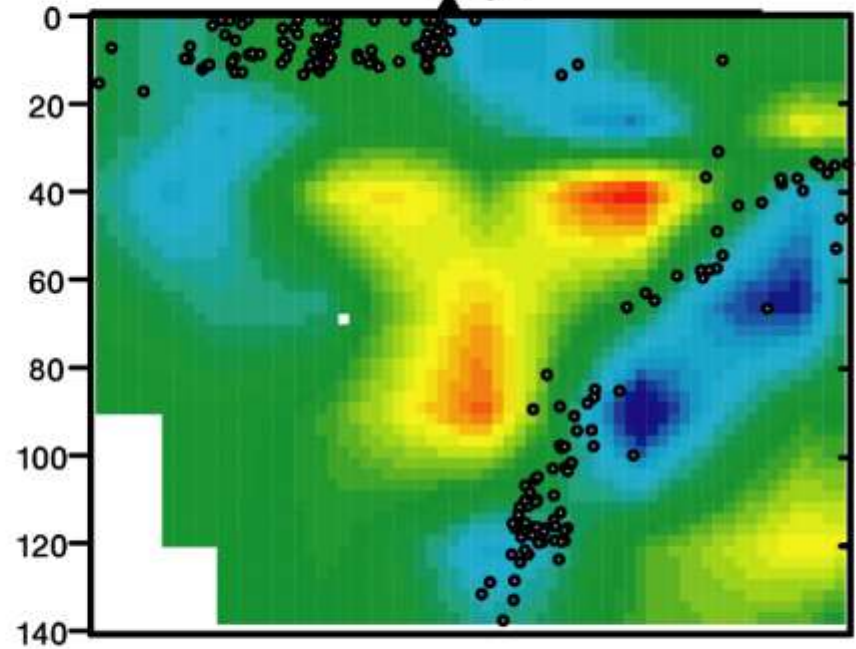
Model

Kuju volcano

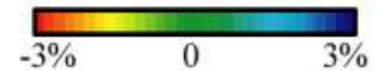


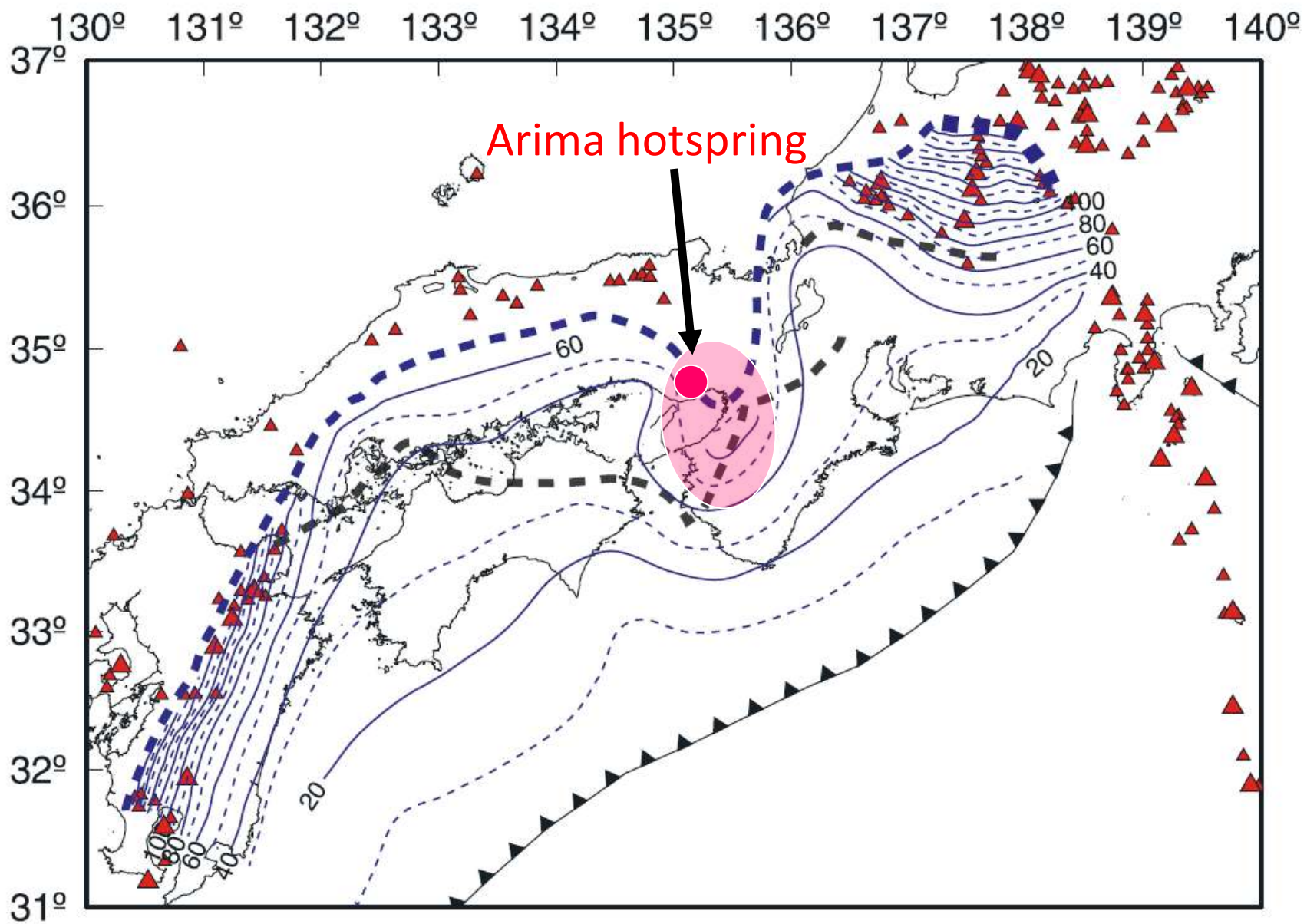
Vp - tomography

Kuju



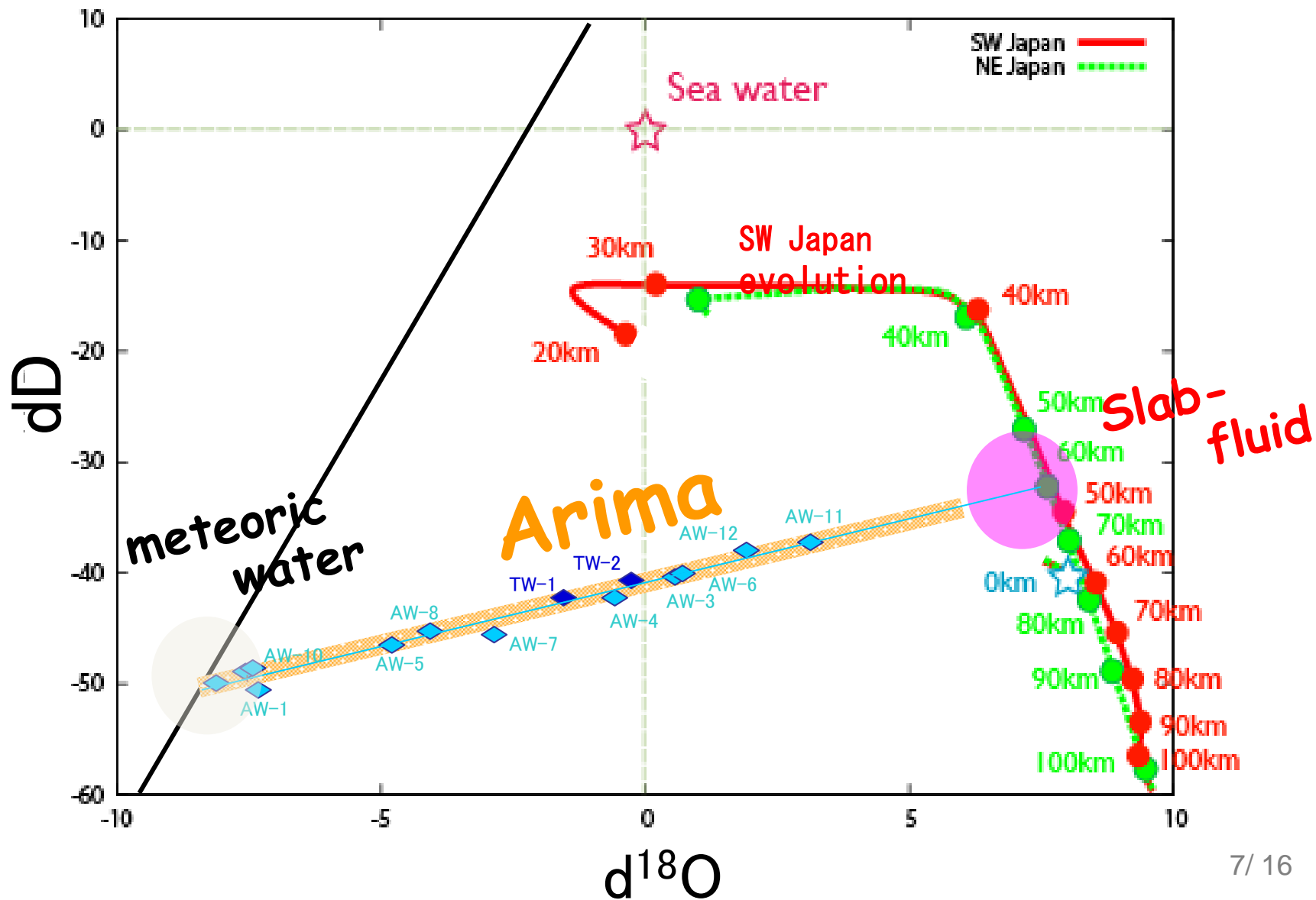
Zhao et al. (2000)

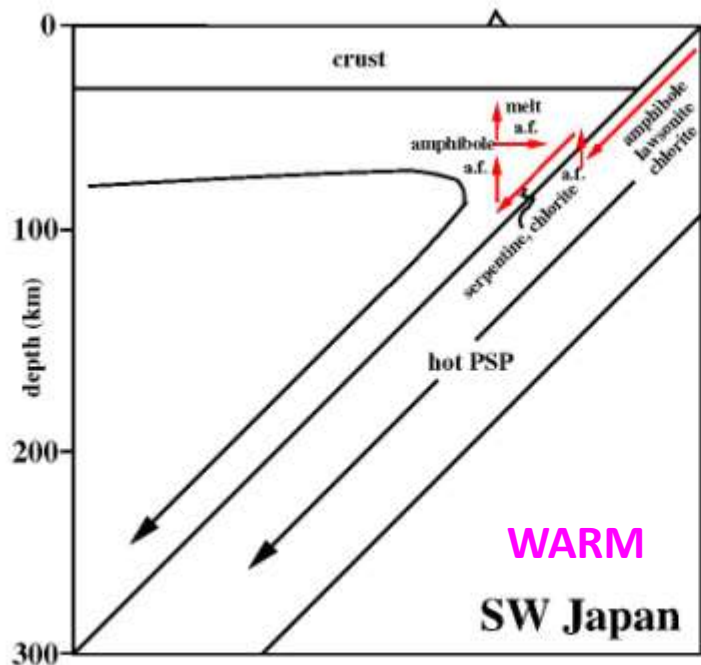
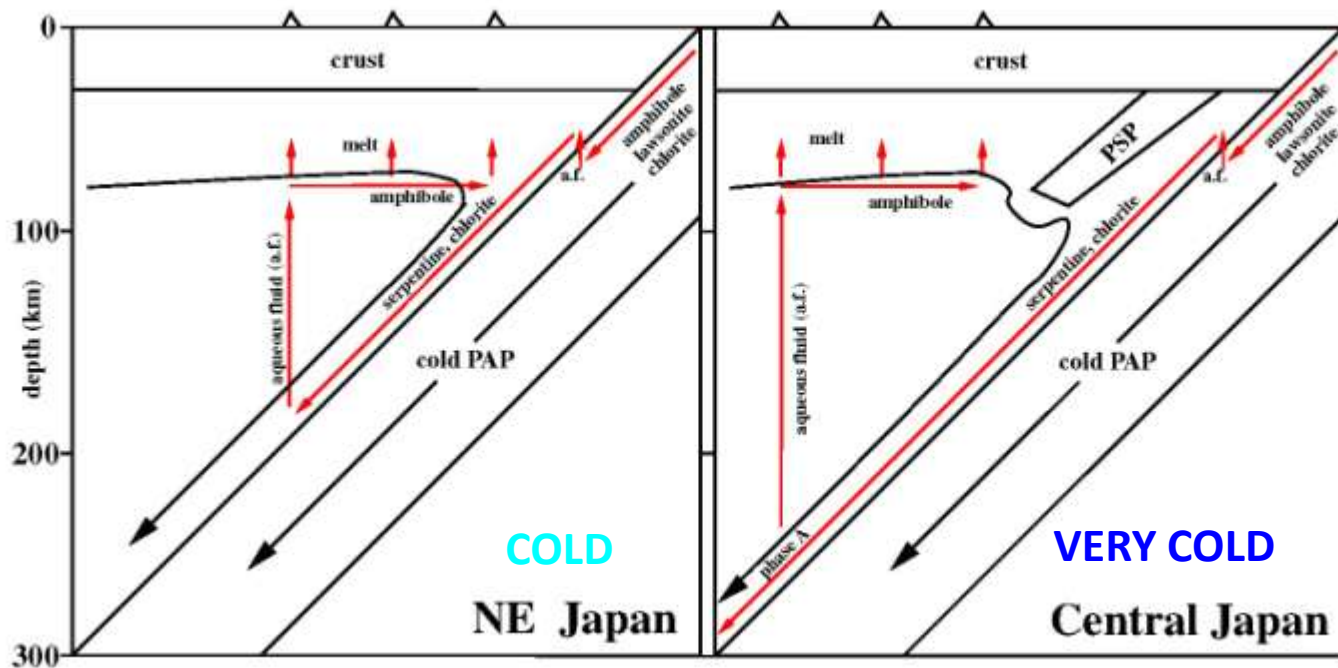




(modified from Nakajima and Hasegawa, 2007)

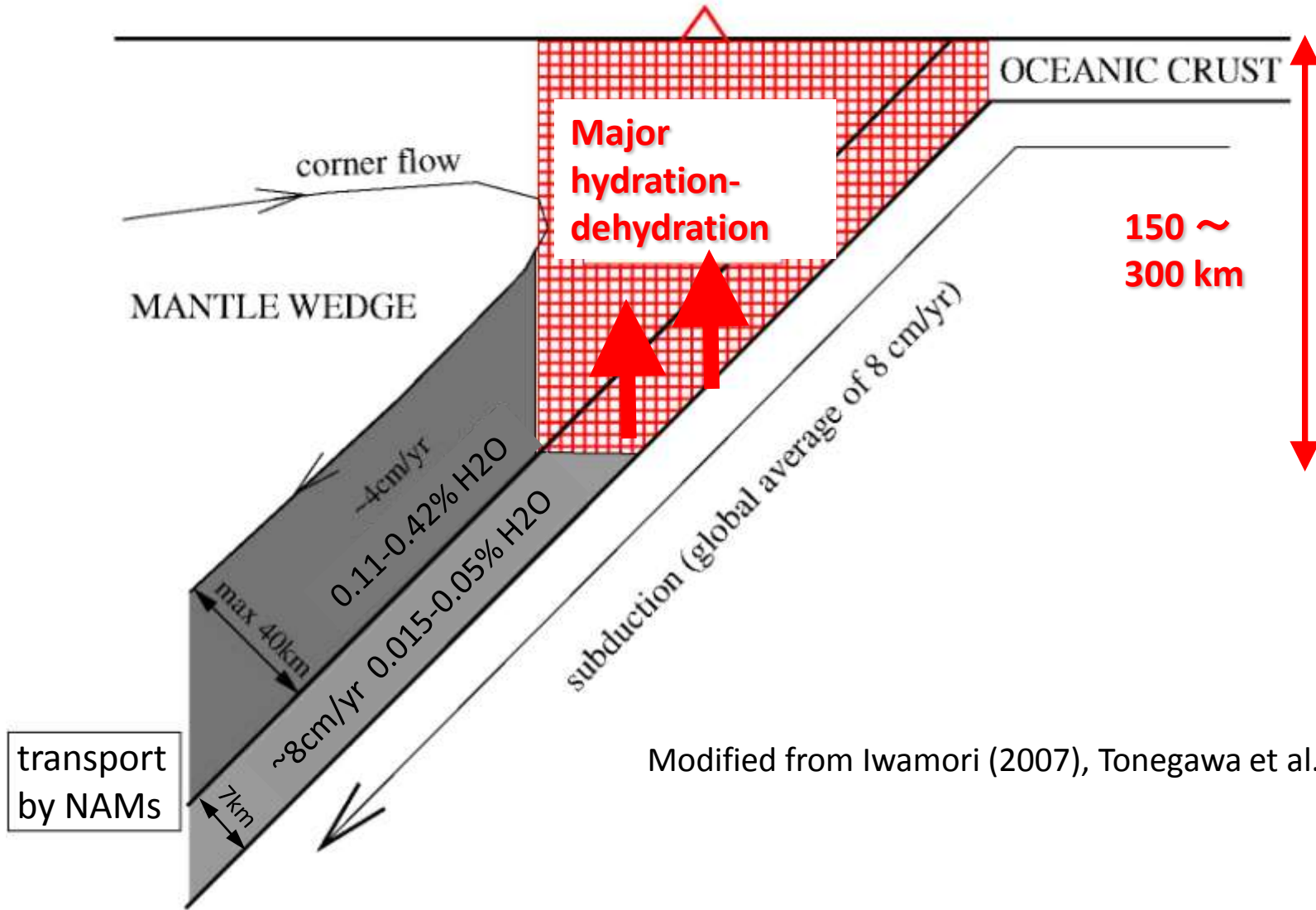
Oxygen & Hydrogen Isotopic Ratios of Slab-derived fluids (Kusuda, 2009)





- (1) Slab thermal state controls water circulation
- (2) Almost all the subducted water returns to surface in most of the subduction zones

Magmatism ↔ Metamorphism



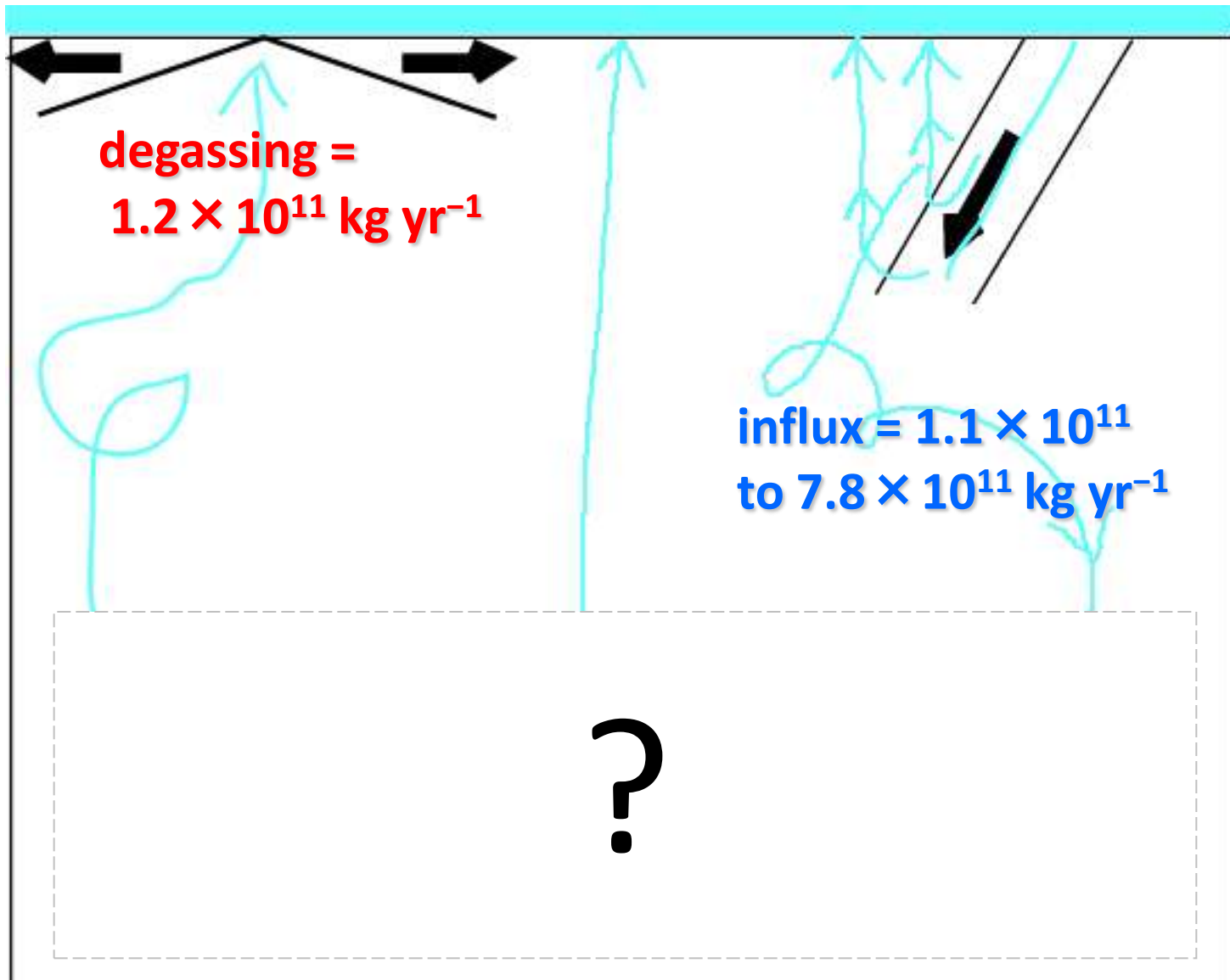
Modified from Iwamori (2007), Tonegawa et al. (2008)

Oceanic Basalts

MORB (ridge)

OIB (hotspot)

Subduction zones



degassing =
 $1.2 \times 10^{11} \text{ kg yr}^{-1}$

influx = 1.1×10^{11}
to $7.8 \times 10^{11} \text{ kg yr}^{-1}$

?

Maximum H₂O in peridotite along standard geotherm

(unit)	Mass (10 ²¹ kg)	Max H ₂ O (10 ²¹ kg)	Max H ₂ O (wt.%)	Max H ₂ O (ocean mass)
Ocean	1.4	1.4	100	1.0
Upper mantle	615	4.2–5.8	0.68–0.95	3.0–4.2
Upper mantle*	615	1.1–2.8	0.18–0.45	0.79–2.0
Transition zone	415	5.4	1.3	3.8
Lower mantle	2955	0.03–6.2	0.001–0.21	0.02–4.4
Whole mantle	3985	9.6–17.5	0.24–0.44	6.9–12.5
Whole mantle*	3985	6.5–14.4	0.16–0.36	4.6–10.3

Iwamori (2007)

中生代—現在までの平均海洋地殻生産率25 km³ per year (Reymer and Schubert, 1984)。

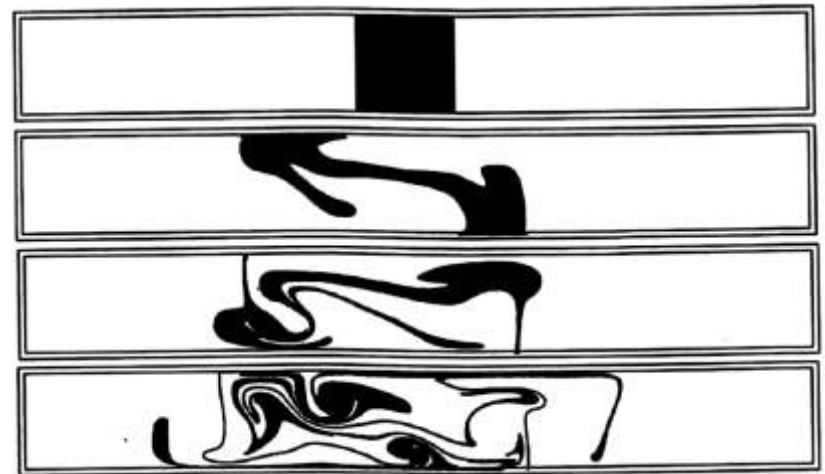
過去にはより対流が激しく、生産率が大きかったはずだが、この率で40億年間継続したとするとマントルの11%が海洋地殻となる(Ohta et al., 2008)。

沈み込んださまざまな成分：

どこかに溜る ? ⇔ 良く stirring を受ける ?



Christensen & Hofmann (1994)

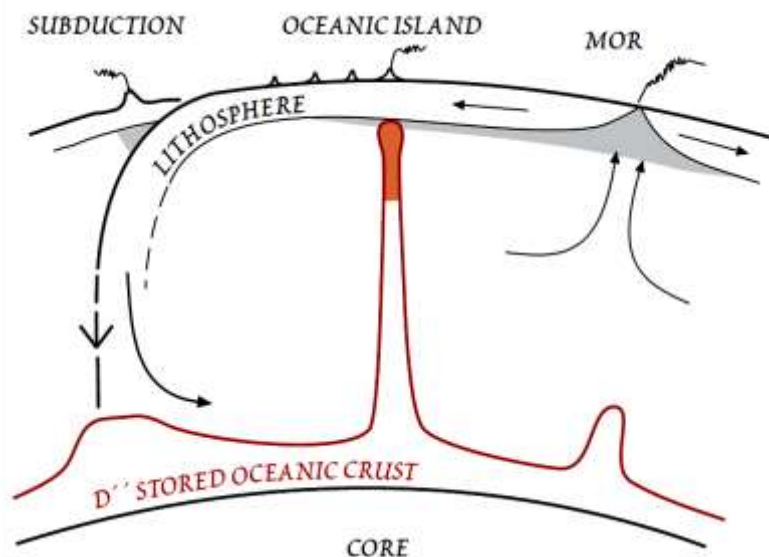


Hoffman & McKenzie (1985)

沈み込んだ地殻物質の沈積

Hofmann and White (1982)

(広義の plum-pudding mantle)



Marble-cake mantle

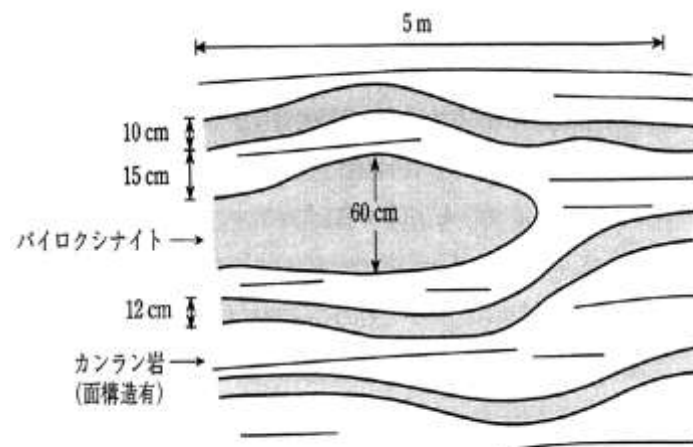


図 7-38 カンラン岩岩体中にみられるパイロクシナイトの薄層⁷⁵⁾

培風館 地球化学講座3

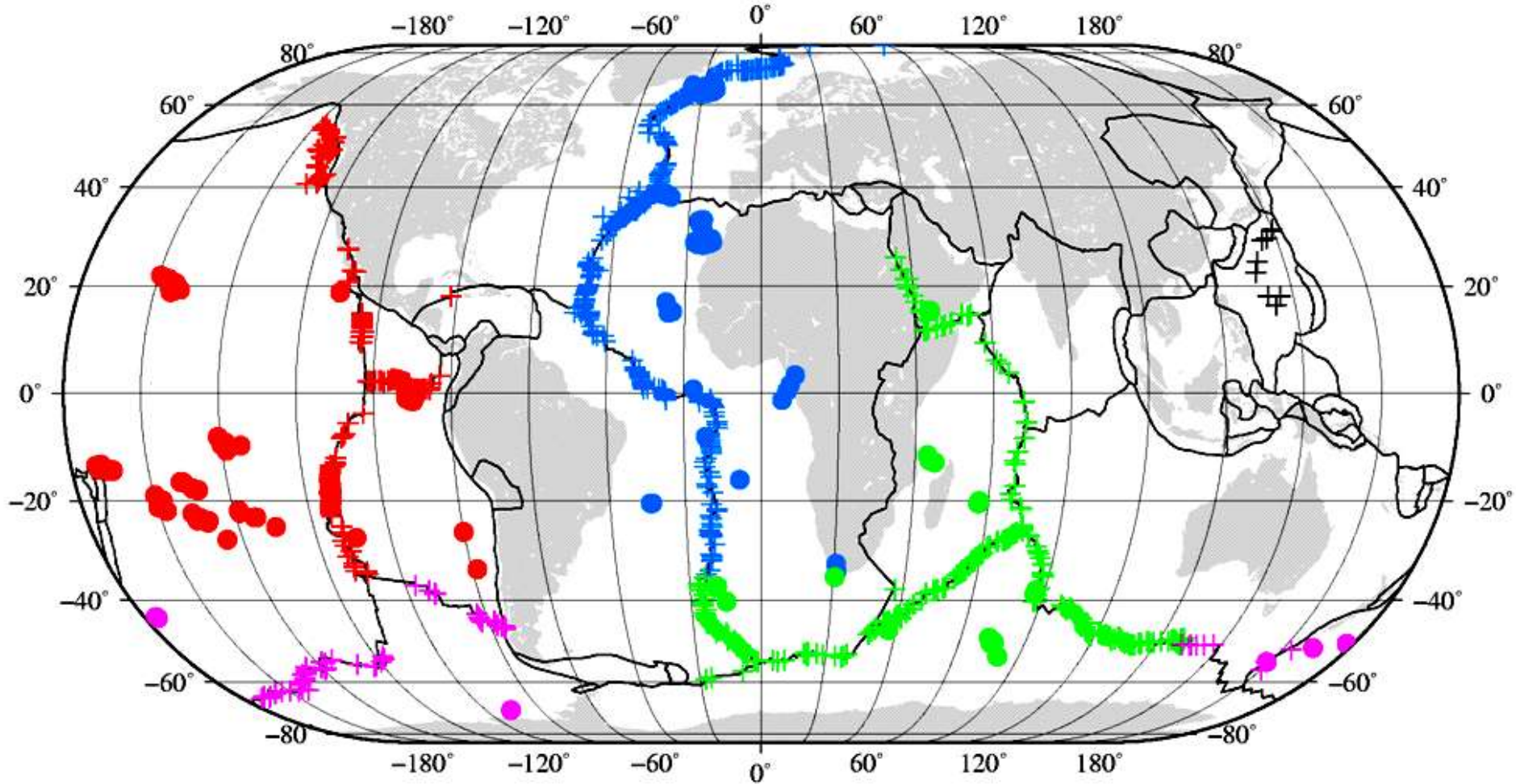
(図の出典はAllegre and Turcotte (1986))

	地球の岩石部分 (始原マントル)		海洋地殻 (MORB)		大陸地殻
SiO ₂ (wt%)	45.0	<	49.93	<	59.1
MgO	37.8	>	7.56	>	4.4
K ₂ O (ppm)	0.029	<<	0.17	<<	1.9
Th	0.0795	<<	0.20	<<	5.6
U	0.0203	<<	0.10	<<	1.42

地殻は全地球の～0.4重量%に過ぎないが、
全地球放射性元素の半分近くを含む。

Oceanic Basalts

2769 MORB & 1514 OIB with 5 isotopic ratios



同位体分別:

- * 軽い、重い

(H, He, Li ... Rb, Sr, Nd, Sm, Pb, Th, U)

- * 安定、放射性

- * 化学的性質(揮発性、親石、親鉄)

同位体分別:

* 軽い、**重い**

(H, He, Li ... **Rb, Sr, Nd, Sm, Pb, Th, U**)

* 安定、**放射性**

* 化学的性質 (揮発性、**親石、親鉄**)

温度・圧力分別を起こし難い

循環のタイムスケール

親娘元素の化学的分別

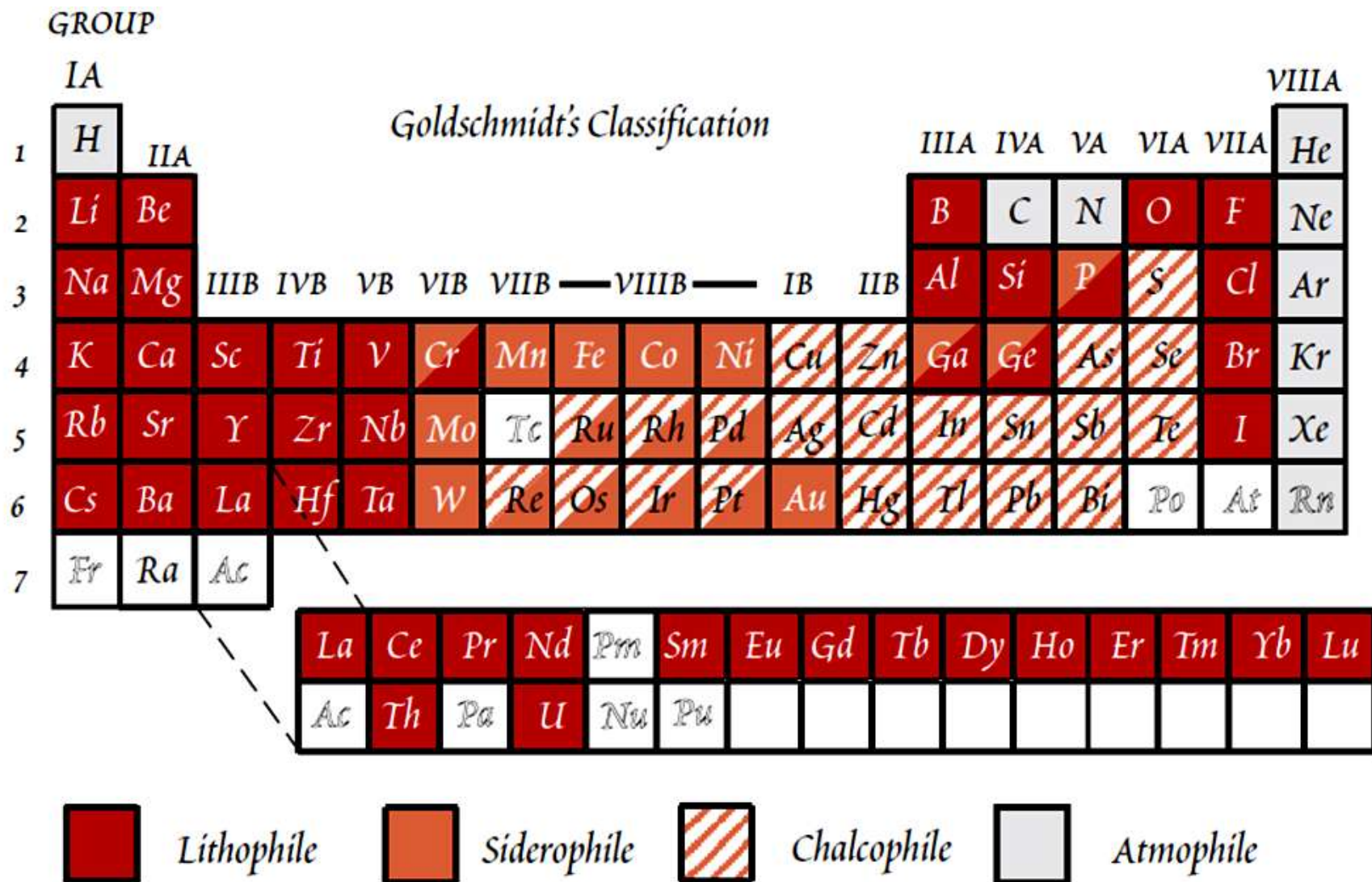


Figure 7.2. Goldschmidt's classification of the elements.

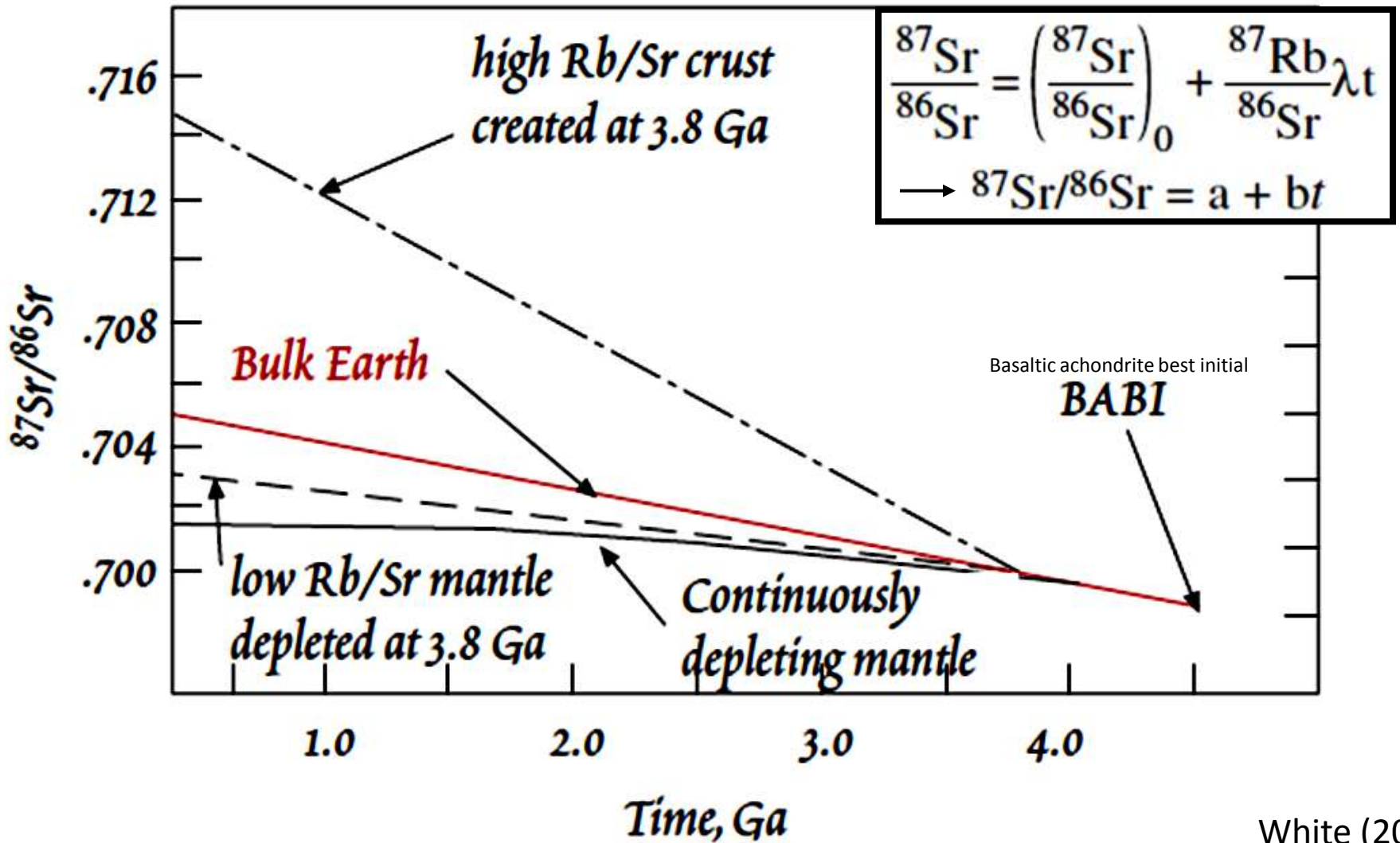
Table 1 Long-lived radioactive decay series used as tracers

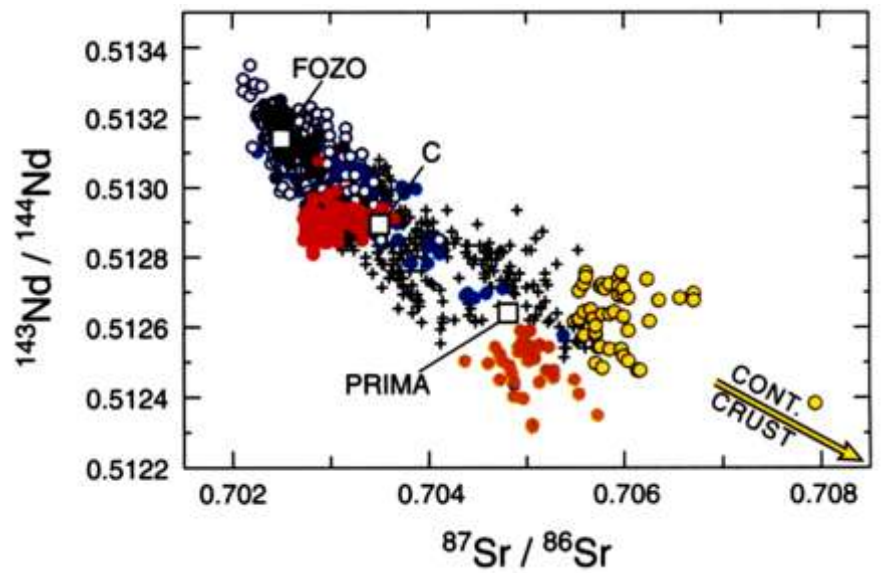
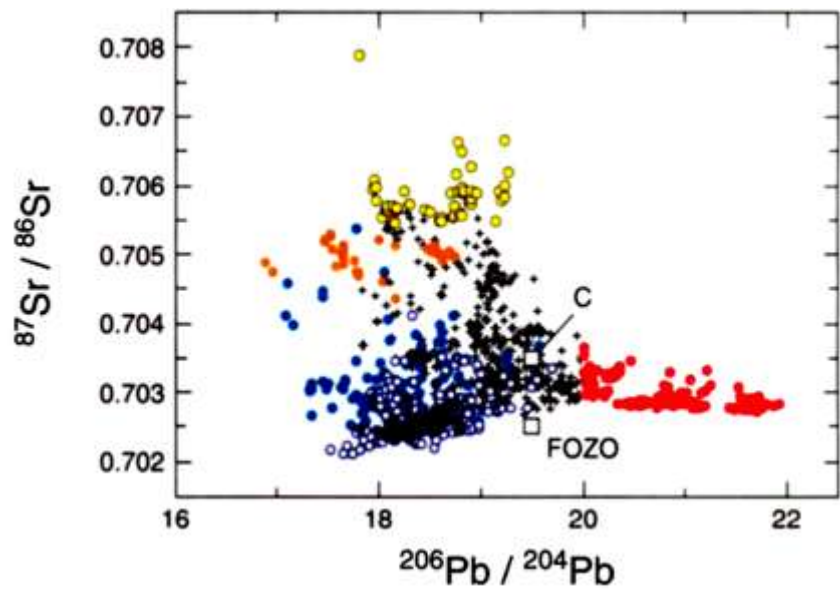
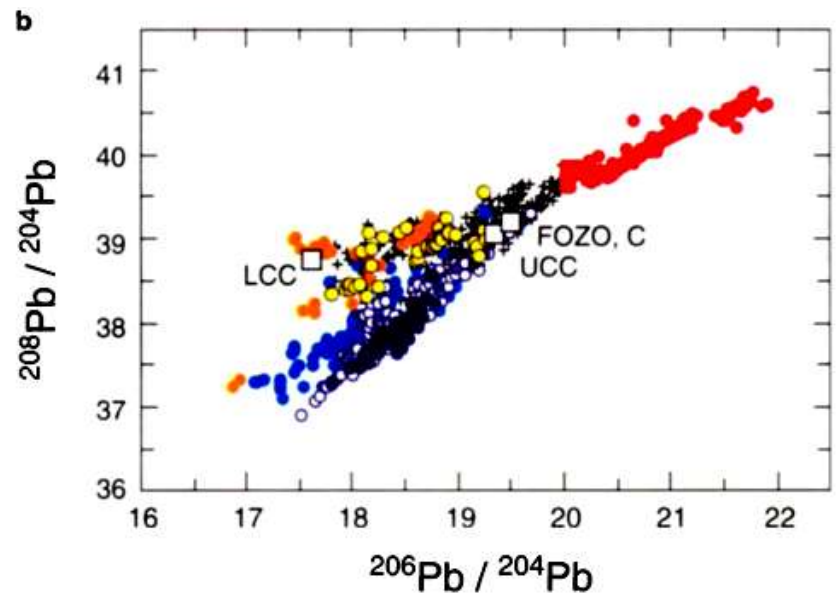
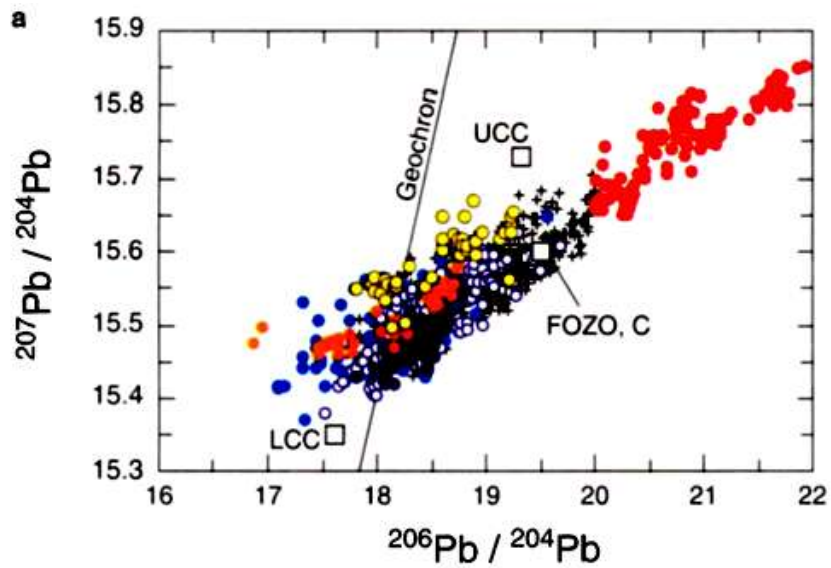
Parent nuclide	Daughter nuclide	Half-life (yr)	Tracer ratio (radiogenic/ nonradiogenic)
^{147}Sm	^{143}Nd	106×10^9	$^{143}\text{Nd}/^{144}\text{Nd}$
^{87}Rb	^{87}Sr	48.8×10^9	$^{87}\text{Sr}/^{86}\text{Sr}$
^{176}Lu	^{176}Hf	35.7×10^9	$^{176}\text{Hf}/^{177}\text{Hf}$
^{187}Re	^{187}Os	45.6×10^9	$^{187}\text{Os}/^{188}\text{Os}$
^{40}K	^{40}Ar	1.25×10^9	$^{40}\text{Ar}/^{36}\text{Ar}$
^{232}Th	^{208}Pb	14.01×10^9	$^{208}\text{Pb}/^{204}\text{Pb}$
^{238}U	^{206}Pb	4.468×10^9	$^{206}\text{Pb}/^{204}\text{Pb}$
^{235}U	^{207}Pb	0.738×10^9	$^{207}\text{Pb}/^{204}\text{Pb}$

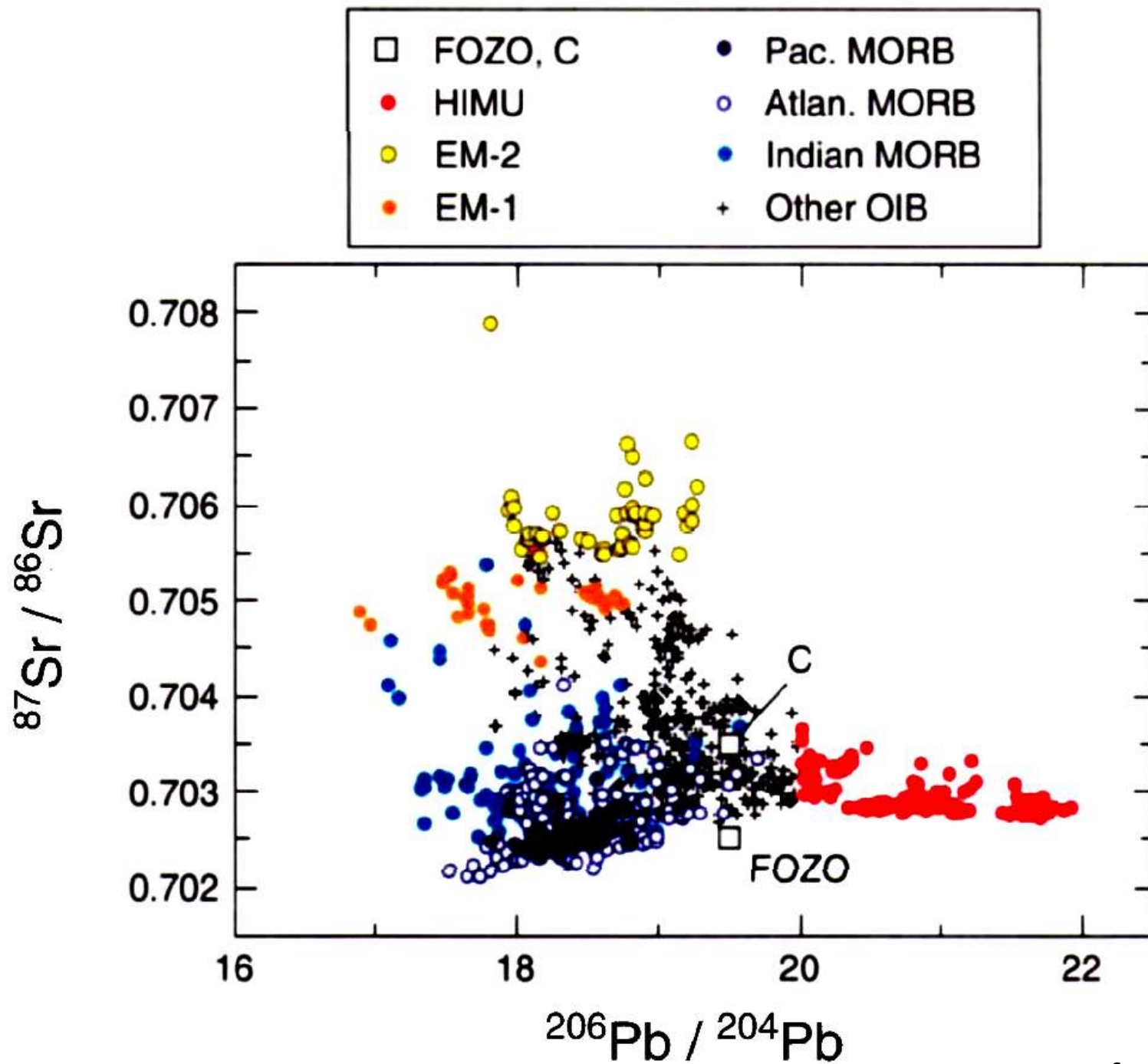
$$\frac{dN}{dt} = -\lambda N$$

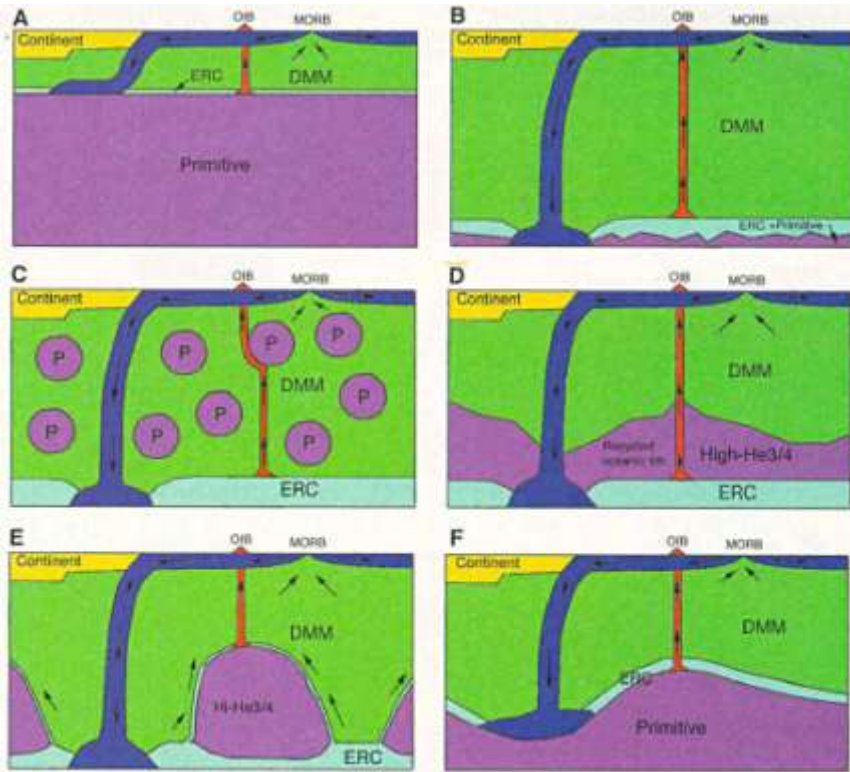


さまざまな元素の同位体比 ⇒ さまざまな親娘核種の分別 (程度[傾き]×時間)
 ⇒ (先験的情報とあわせて)初期物質、分別プロセス・年代が推定可能

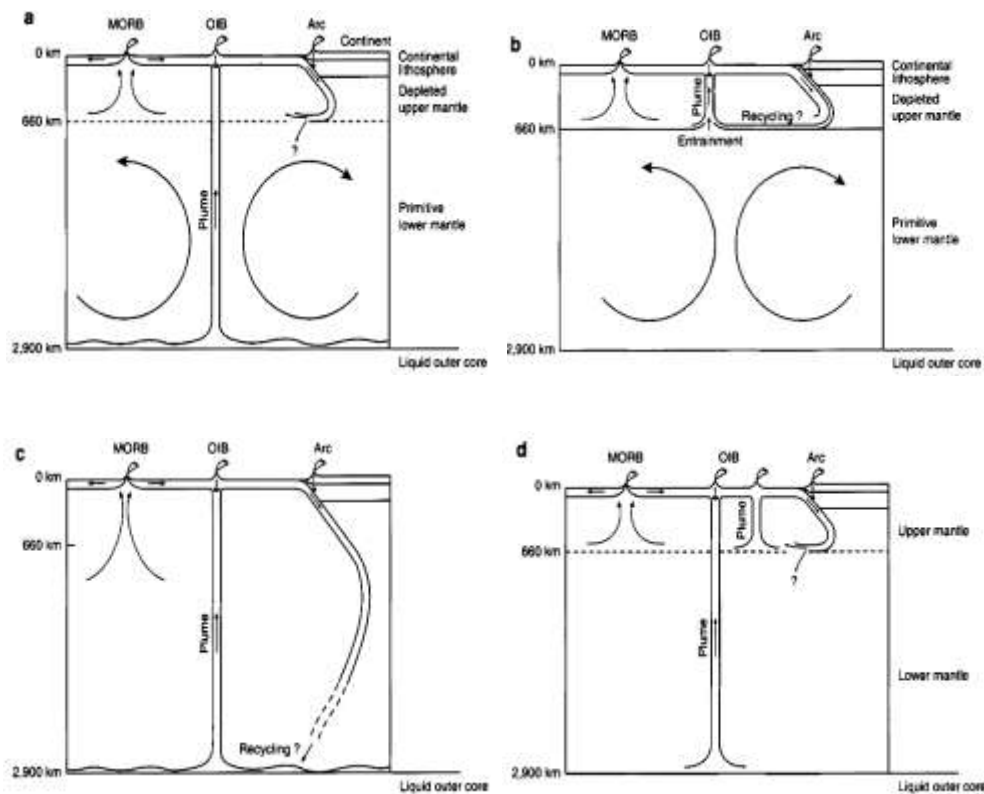








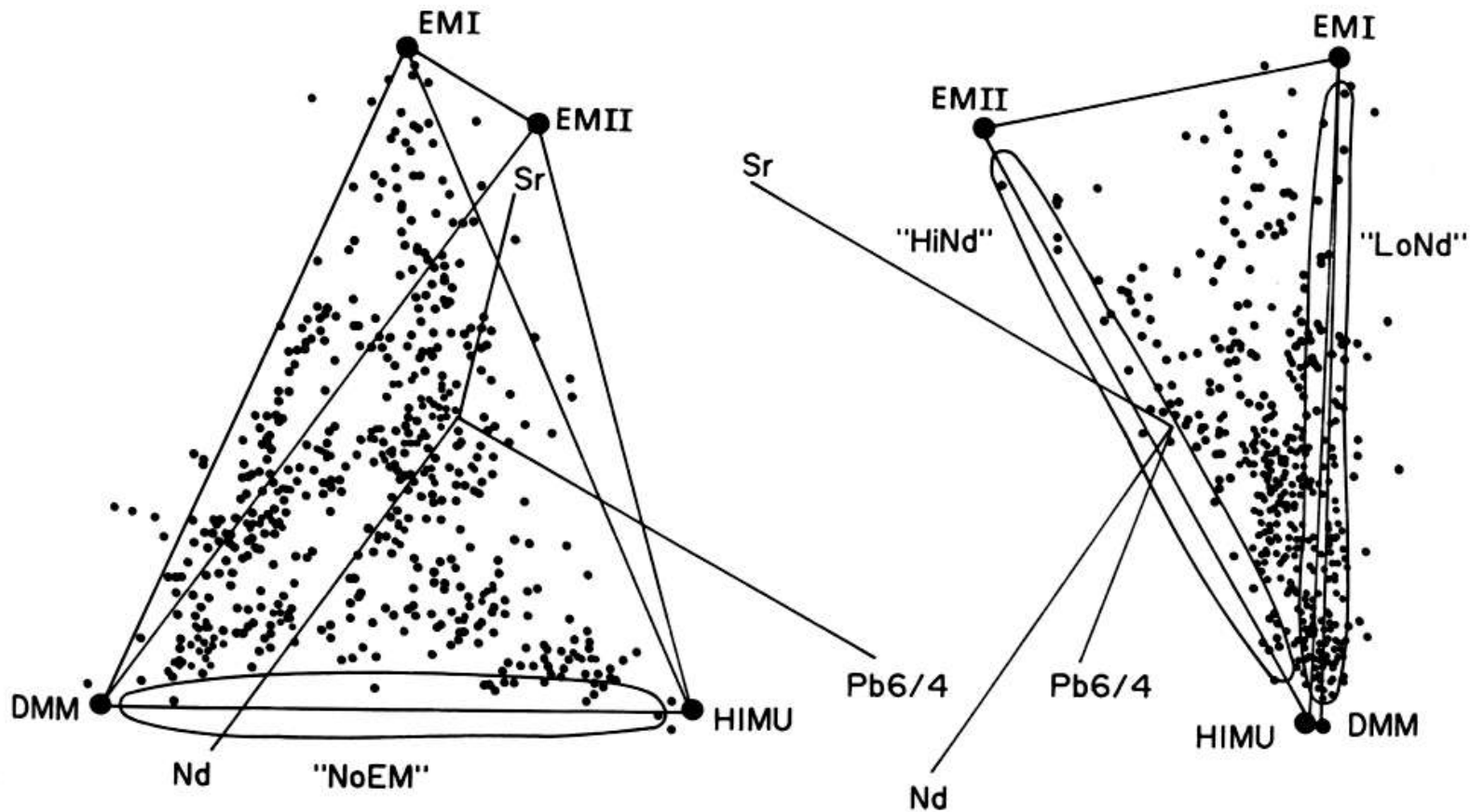
Tackley (2000)



Hofmann (1997)

定説:「地表付近、地球内部でのさまざまな元素分別 ⇒ 多様な同位体不均質:
不均質が対流攪拌によって marble-cakeとなるか、
不均質が大きく残って plum-puddingとなるかは議論が分かれる」

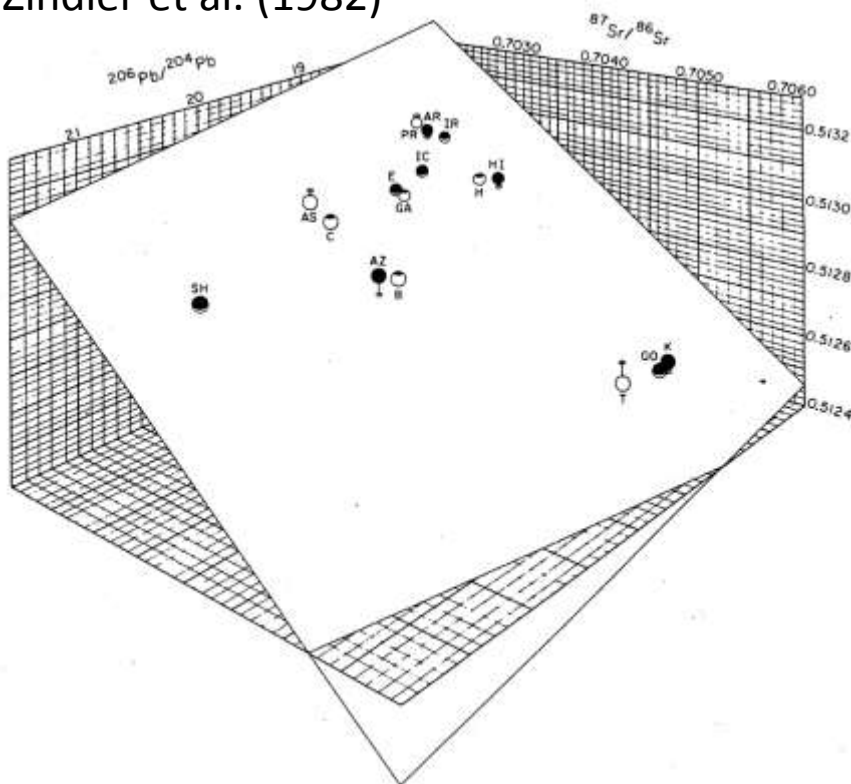
FOZO, HIMU, and the rest of the mantle zoo (Stracke et al., 2005)



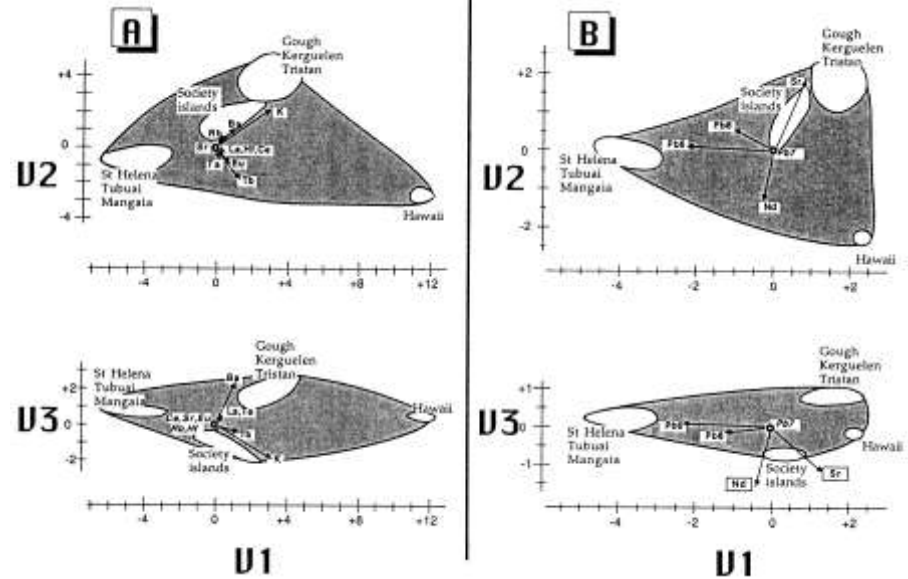
smaller data set. The percentage of variance accounted for by the five eigenvectors is 56.6, 37.2, 3.7, 1.8, and 0.7% (11). Thus, the planar aspect of the data in Fig. 1 is confirmed, because the first two eigenvectors account for 93.8% of the population

Principal Component Analysis for geochemical mantle components

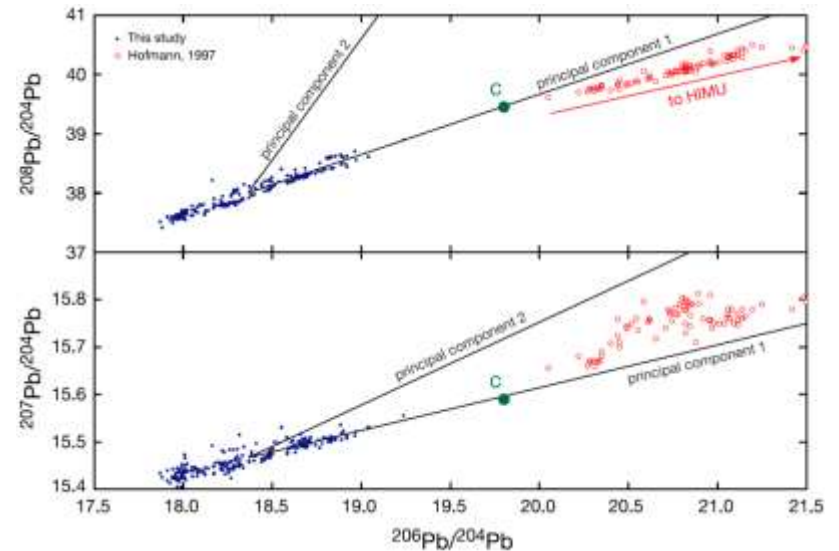
Zindler et al. (1982)

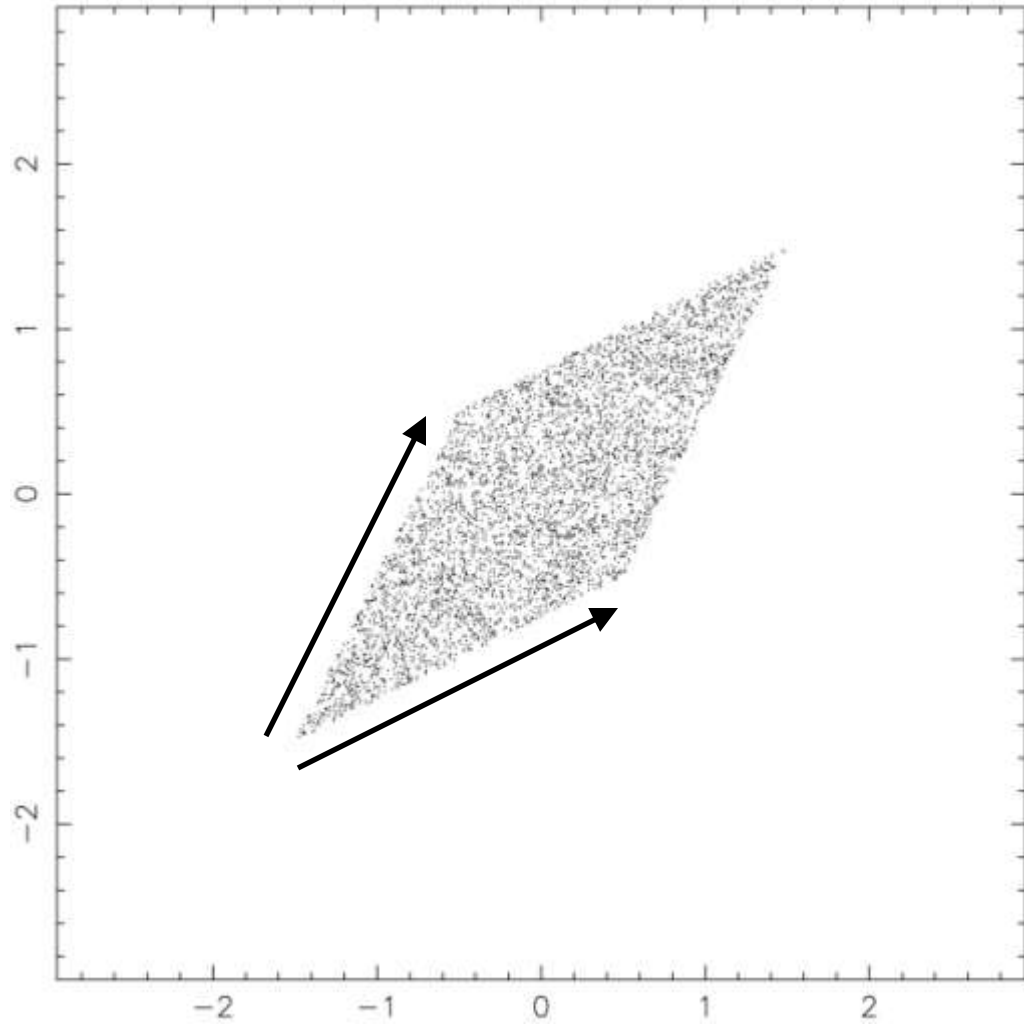


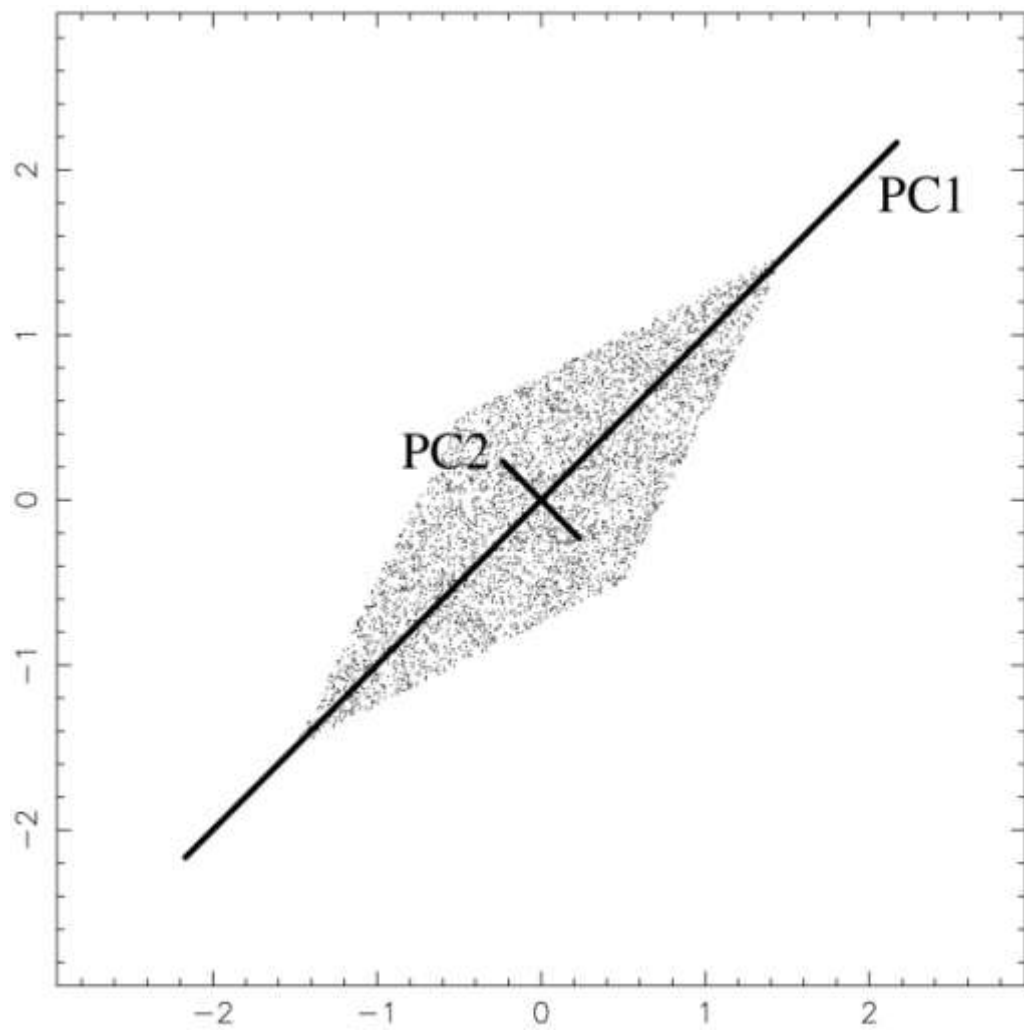
Allegre and Lewin (1995)



Blichert-Toft et al. (2005)

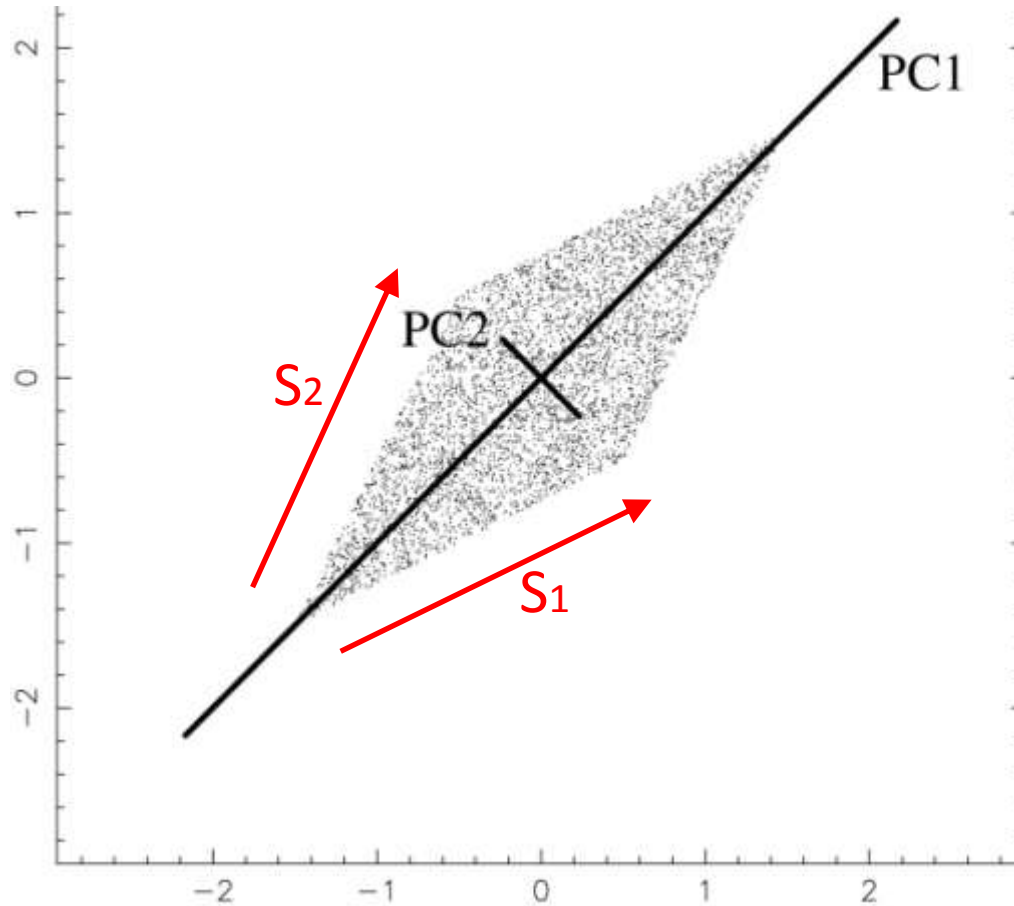




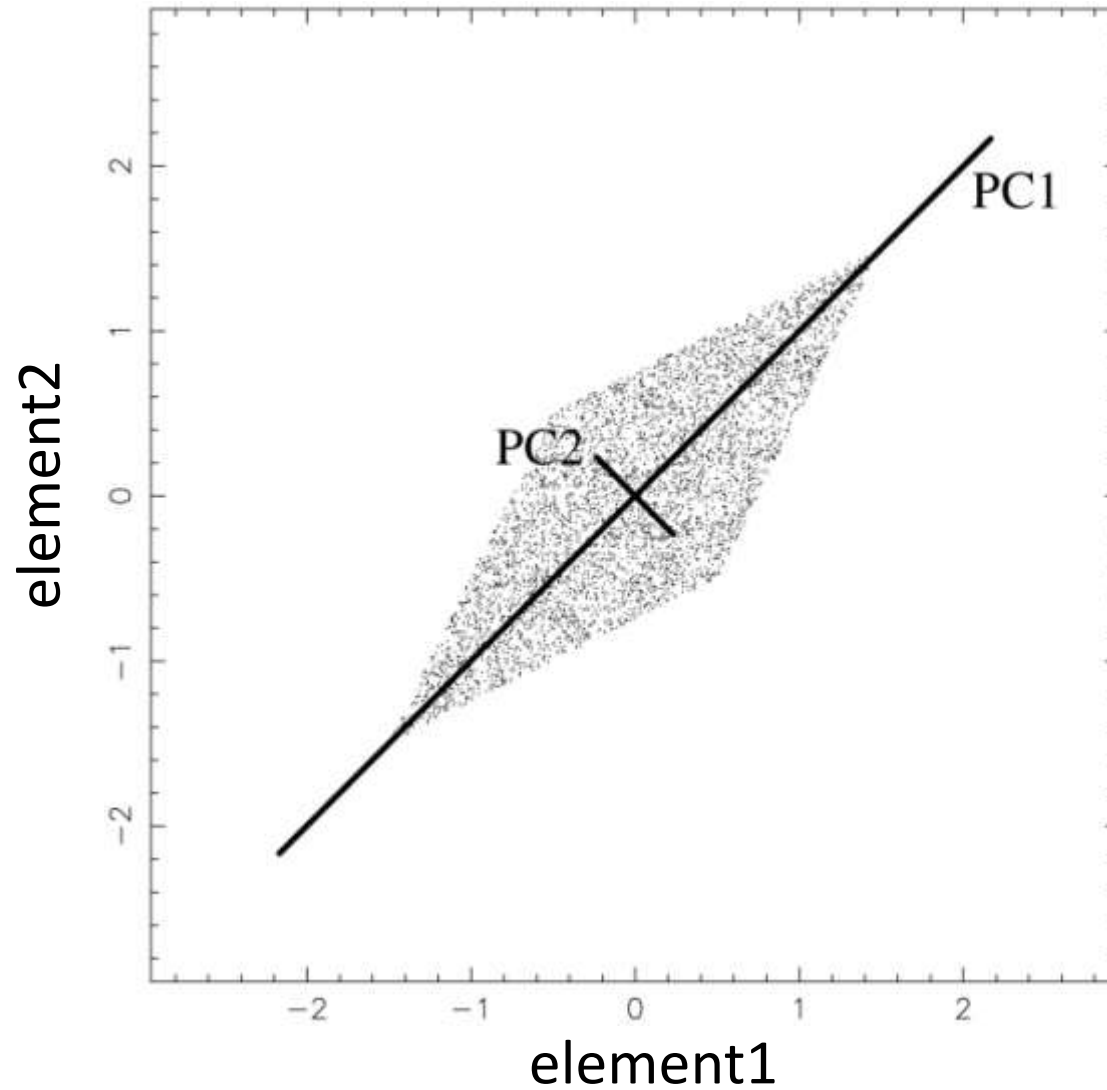


Non-Gaussian distribution

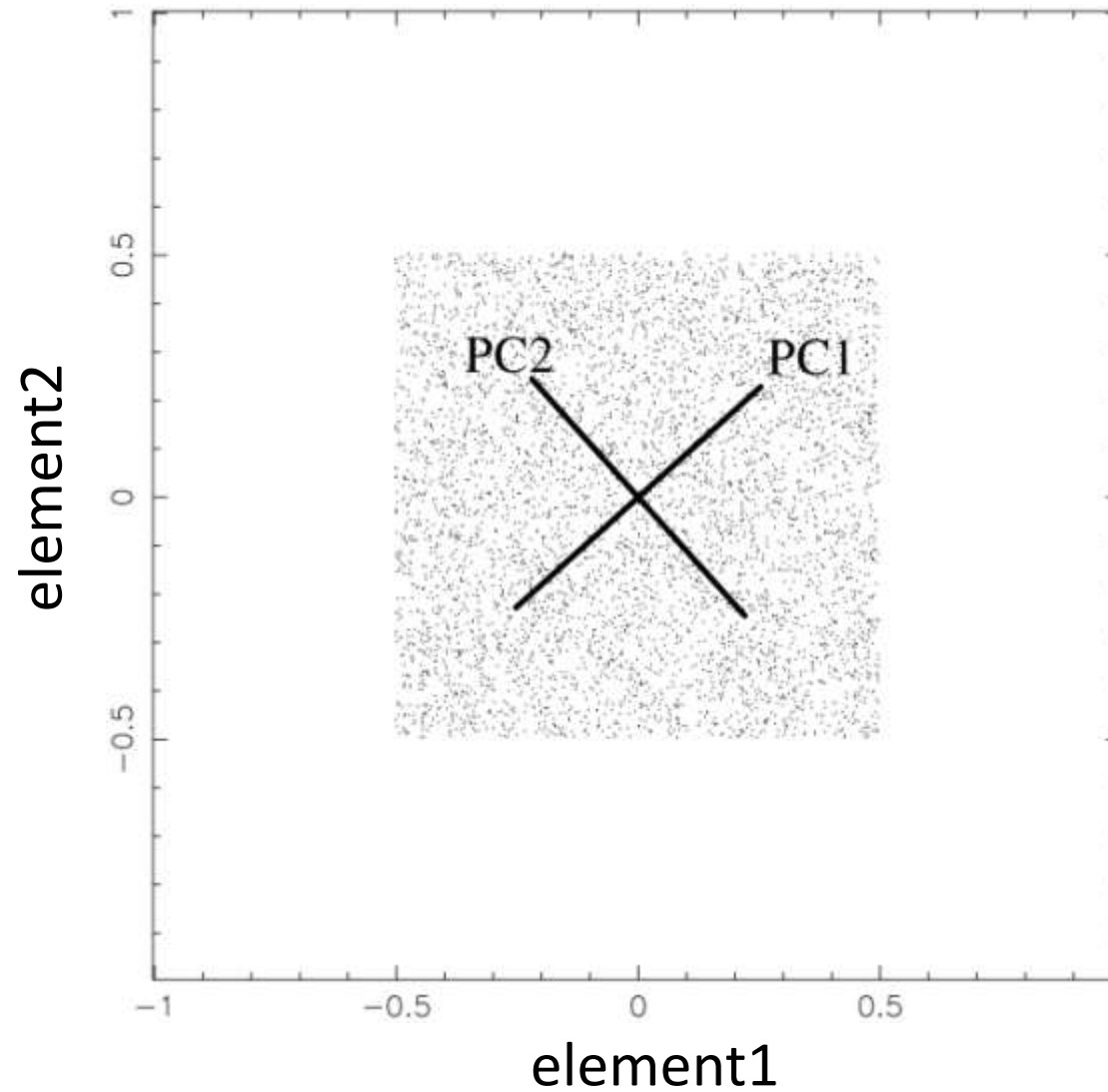
└──→ PCs are uncorrelated
but NOT independent



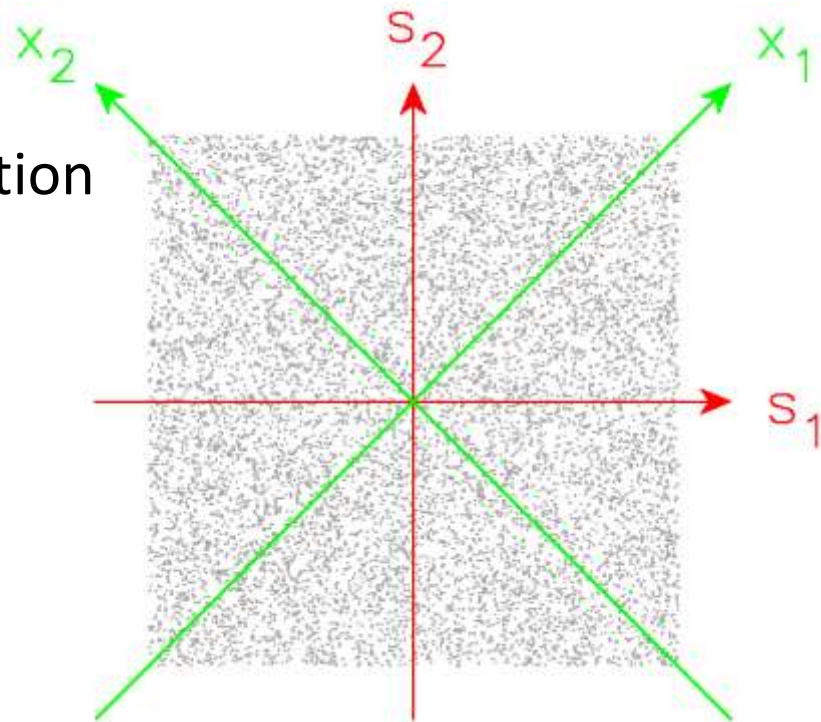
PCA for Geochemical Data



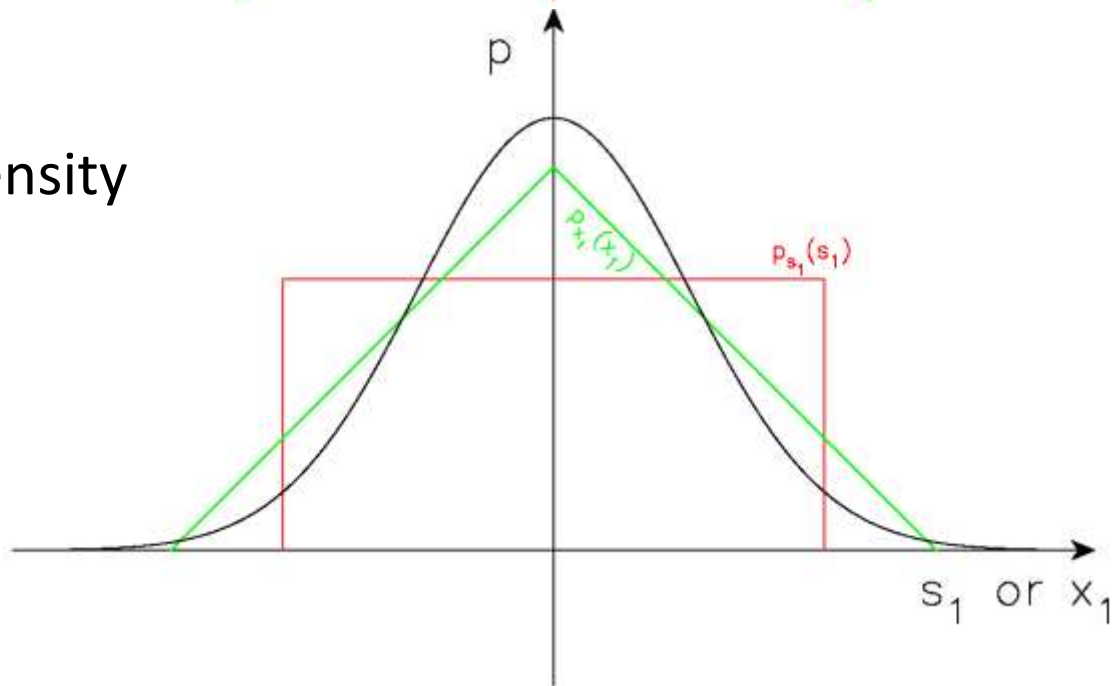
PCA for Geochemical Data



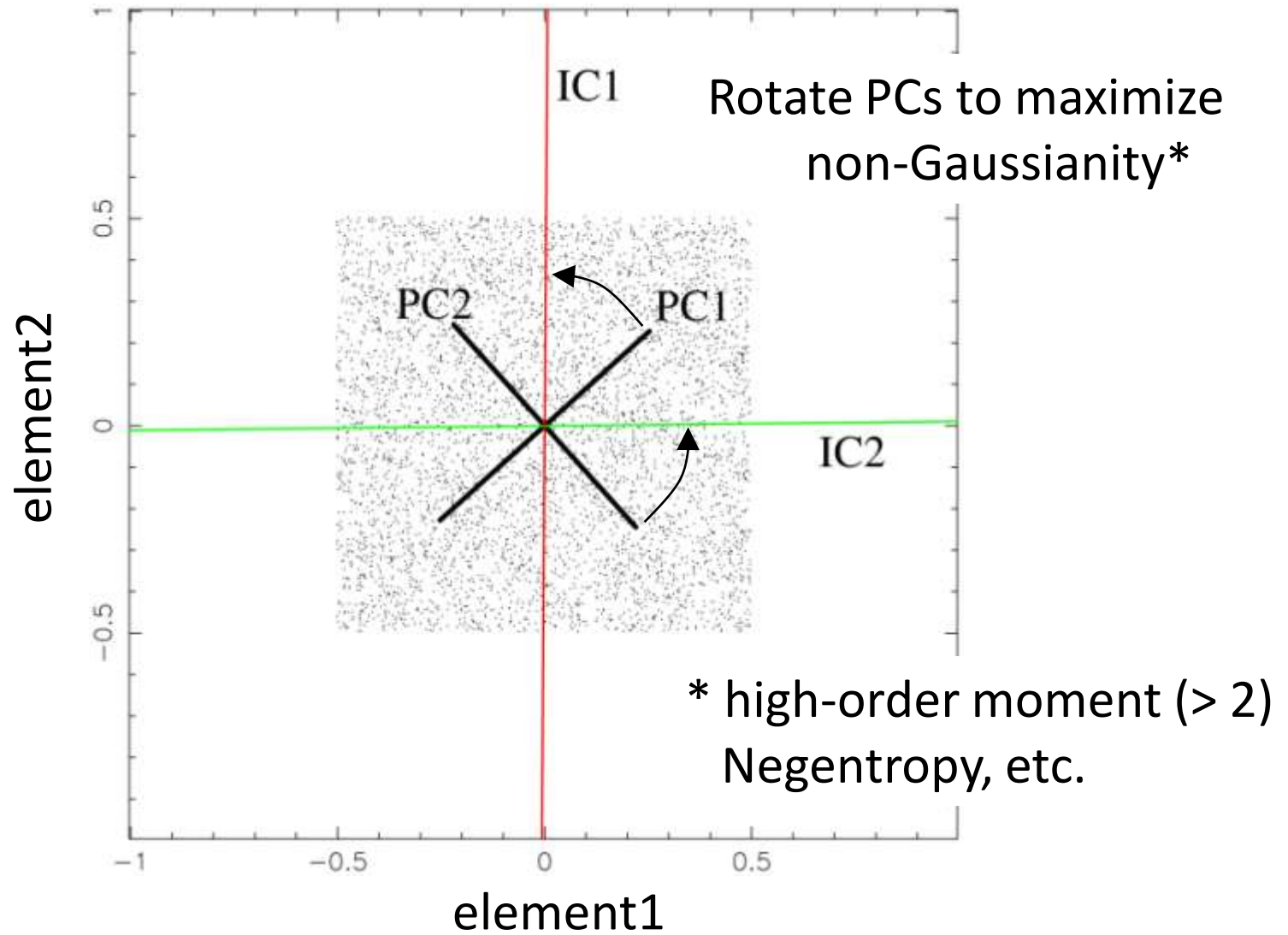
(a) Homogeneous joint distribution of S_1 and S_2



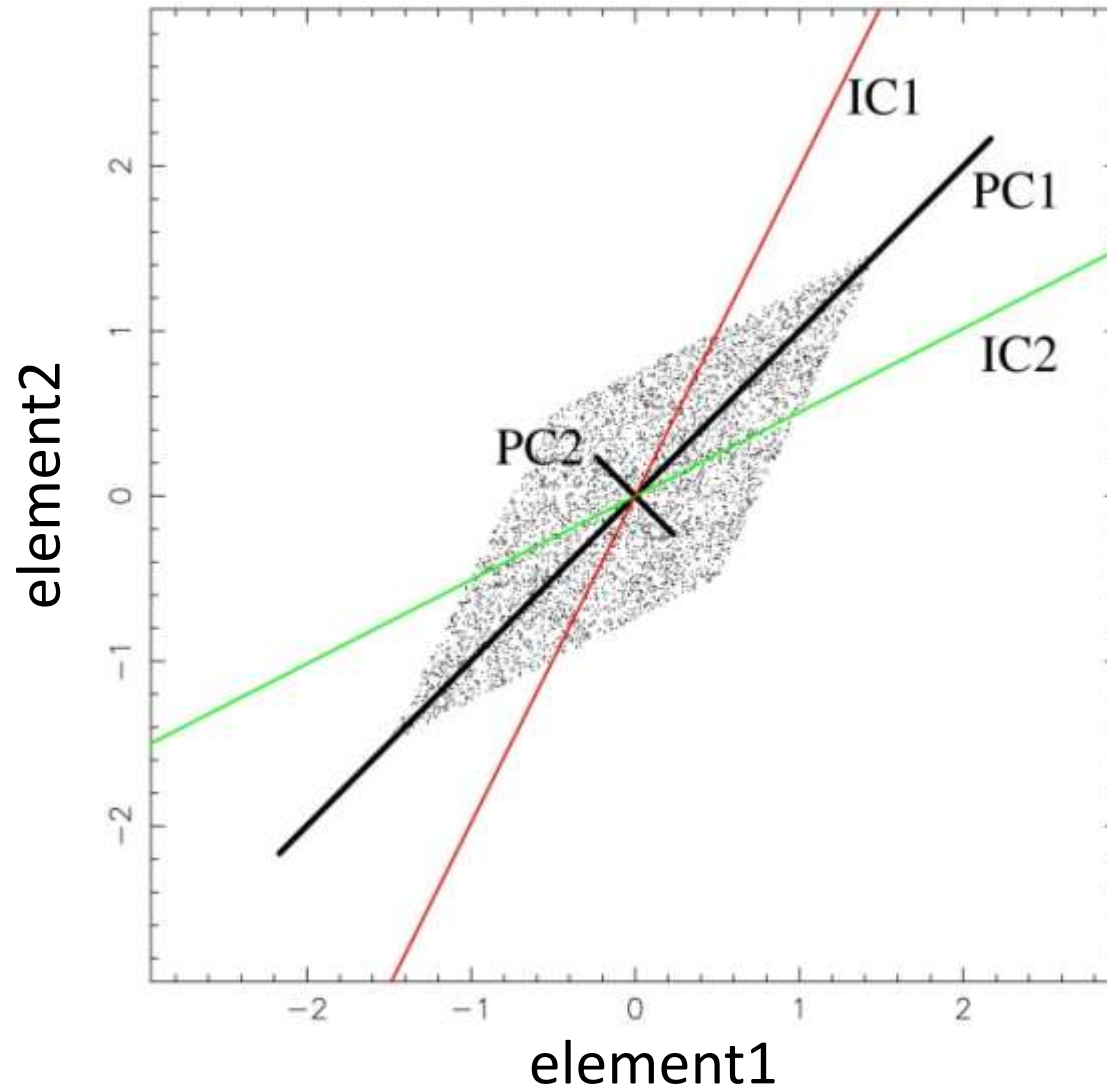
(b) Marginal probability density



ICA for Geochemical Data



ICA for Geochemical Data



Procedure of Independent Component Analysis

[1]: Sphering (Whitening) data matrix (\mathbf{X}) using r -eigen values (\mathbf{S}_r : diagonal matrix that contains square root of the eigen values) and the eigen vectors (\mathbf{V}_r) to obtain the shpered data matrix (\mathbf{U}_r):

$$\mathbf{U}_r = \mathbf{X}\mathbf{V}_r\mathbf{S}_r^{-1} \quad (1)$$

[2]: Searching an axis \mathbf{w}_i to maximize non-Gaussianity J_G :

$$J_G(\mathbf{y}) = [E\{G(\mathbf{y})\} - E\{G(\nu)\}]^2 \quad (2)$$

$$G(a) = -\exp\left(\frac{-a^2}{2}\right) \quad (3)$$

$$\mathbf{y} = \mathbf{U}_r\mathbf{w}_i \quad (4)$$

where E represents expectation, ν returns a standarized Gaussian distribution.

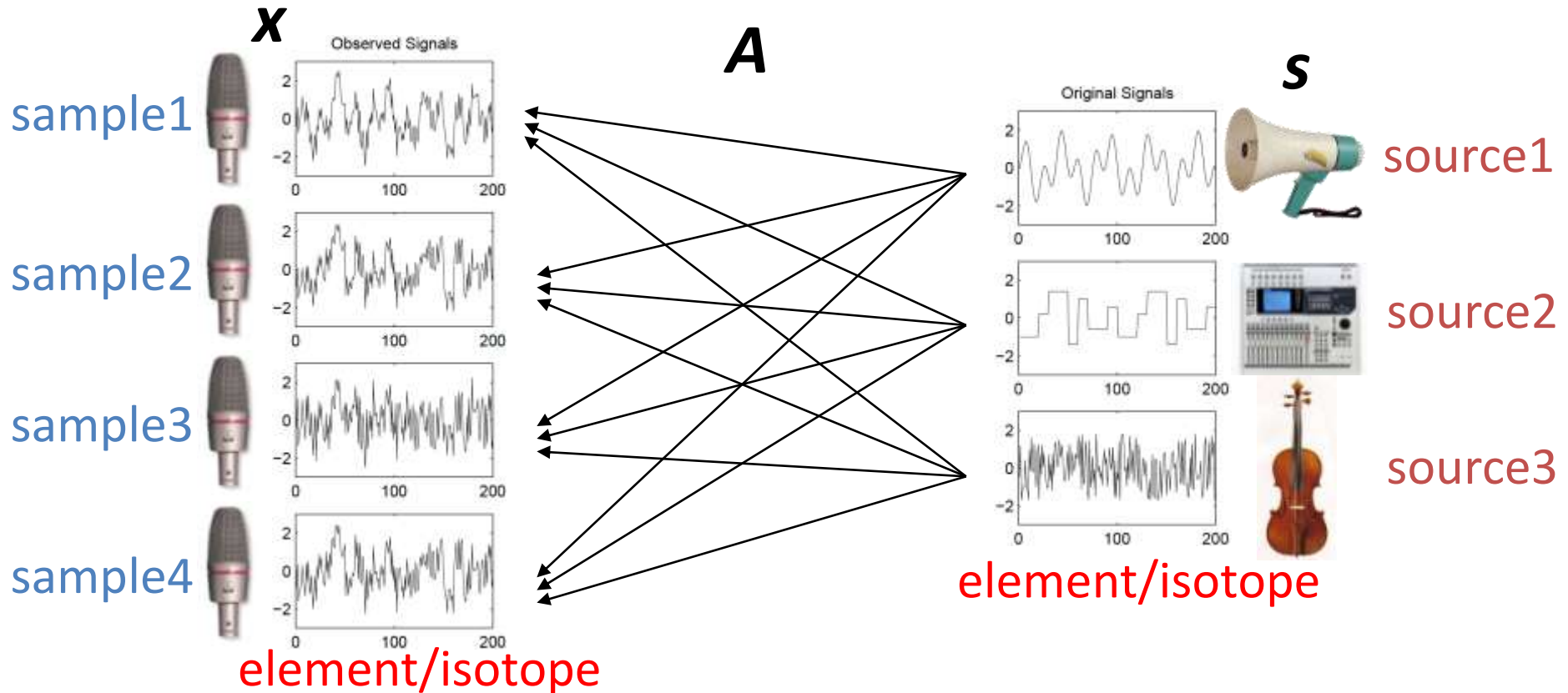
[3]: Finding another \mathbf{w}_{i+1} in the space orthogonal to $\mathbf{w}_{1,2,\dots,i}$.

$$\mathbf{x} = \mathbf{A} \mathbf{s}$$

\mathbf{x} : observed signal vectors

\mathbf{A} : mixing matrix

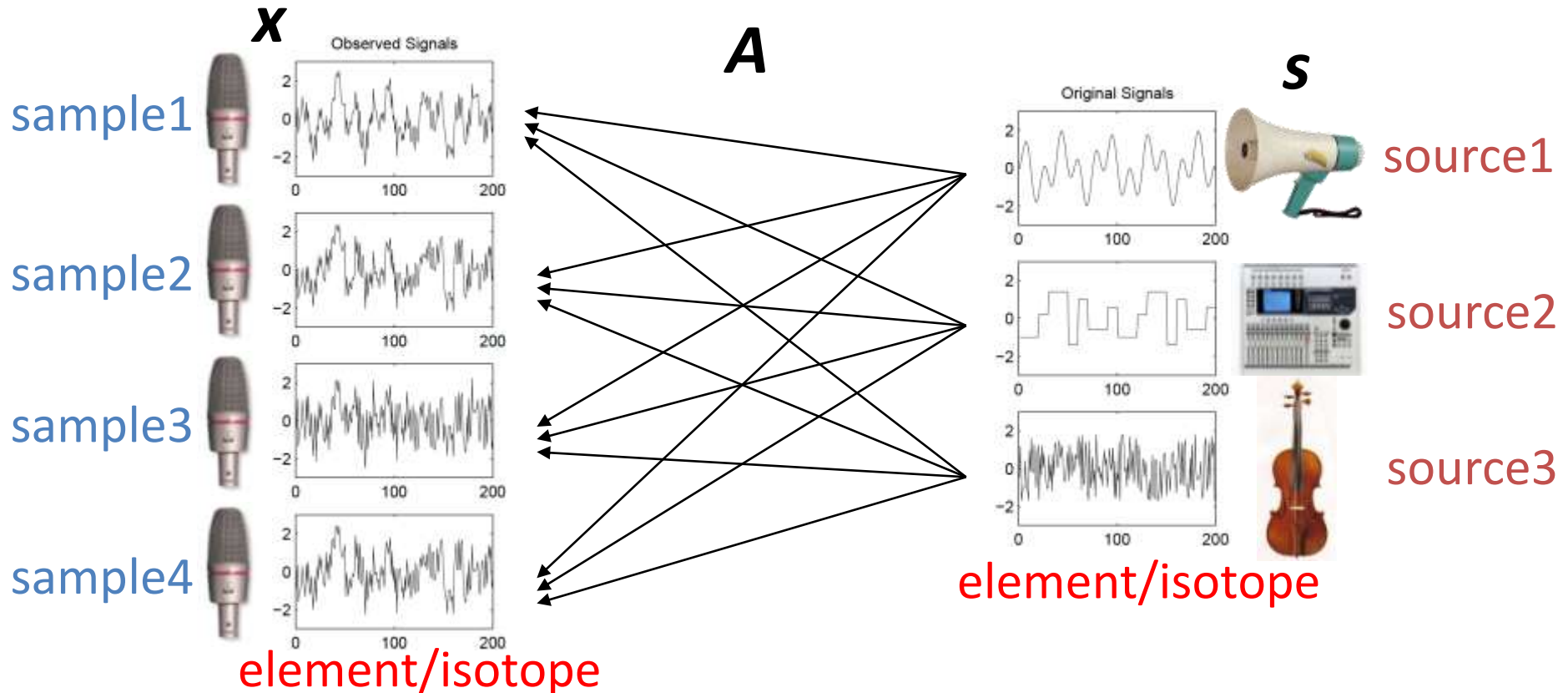
\mathbf{s} : source signal vectors

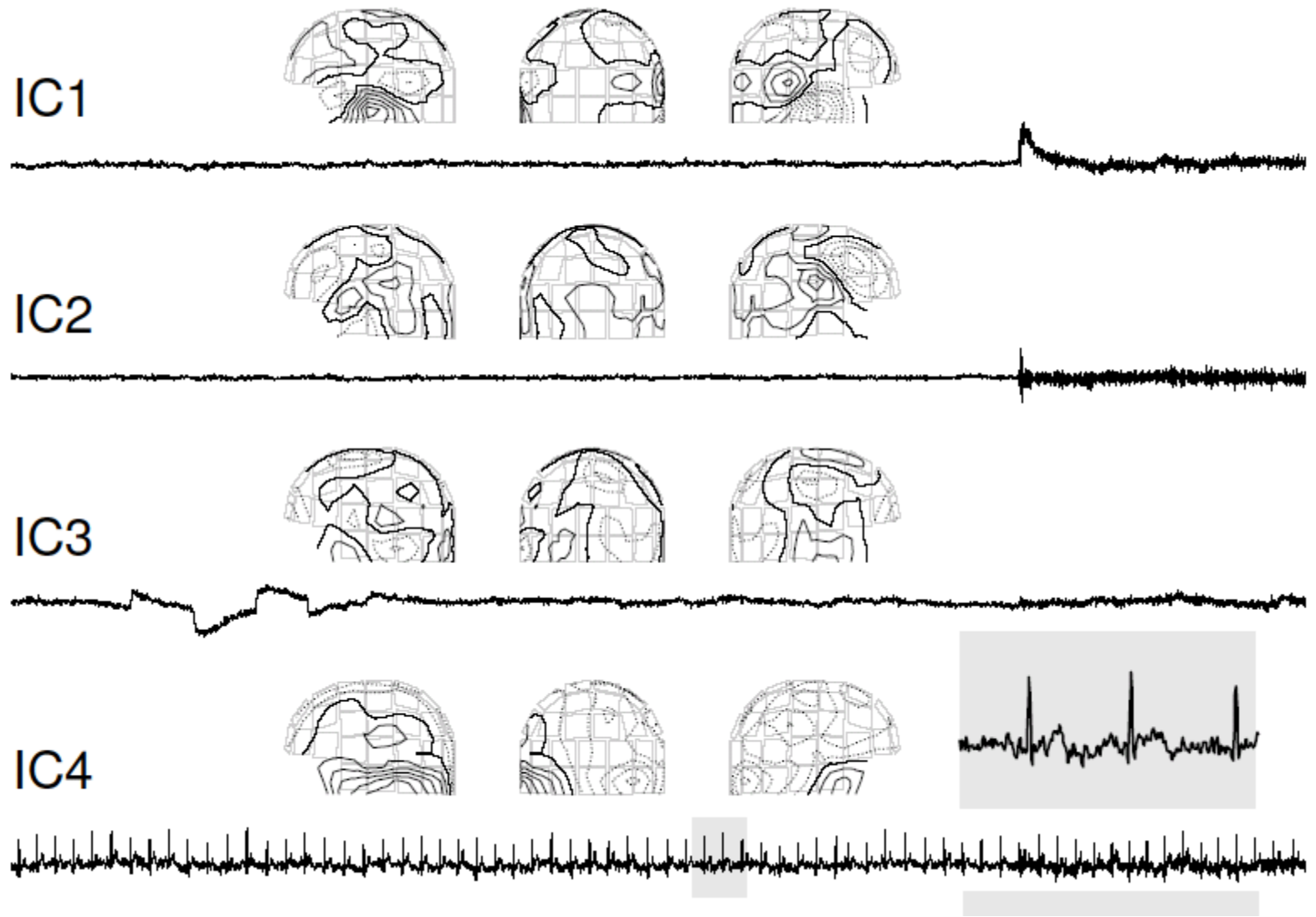


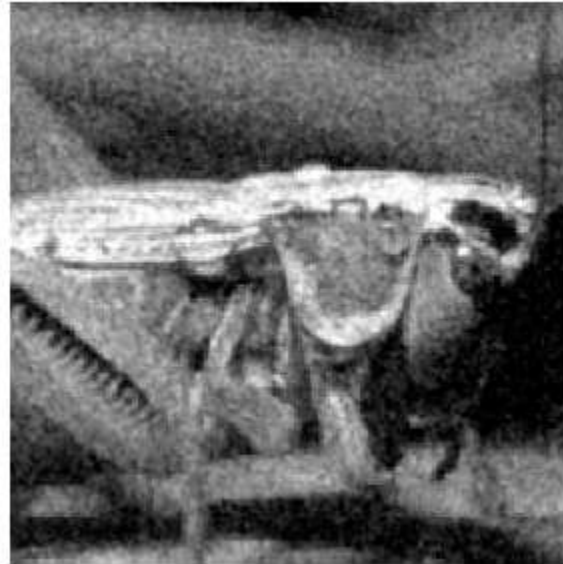
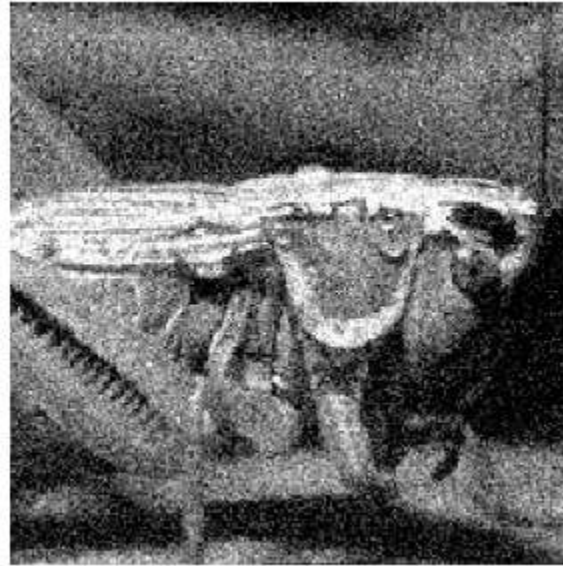
Independent Component Analysis

$x \longrightarrow A$ and s

(blind source separation, cocktail party problem)

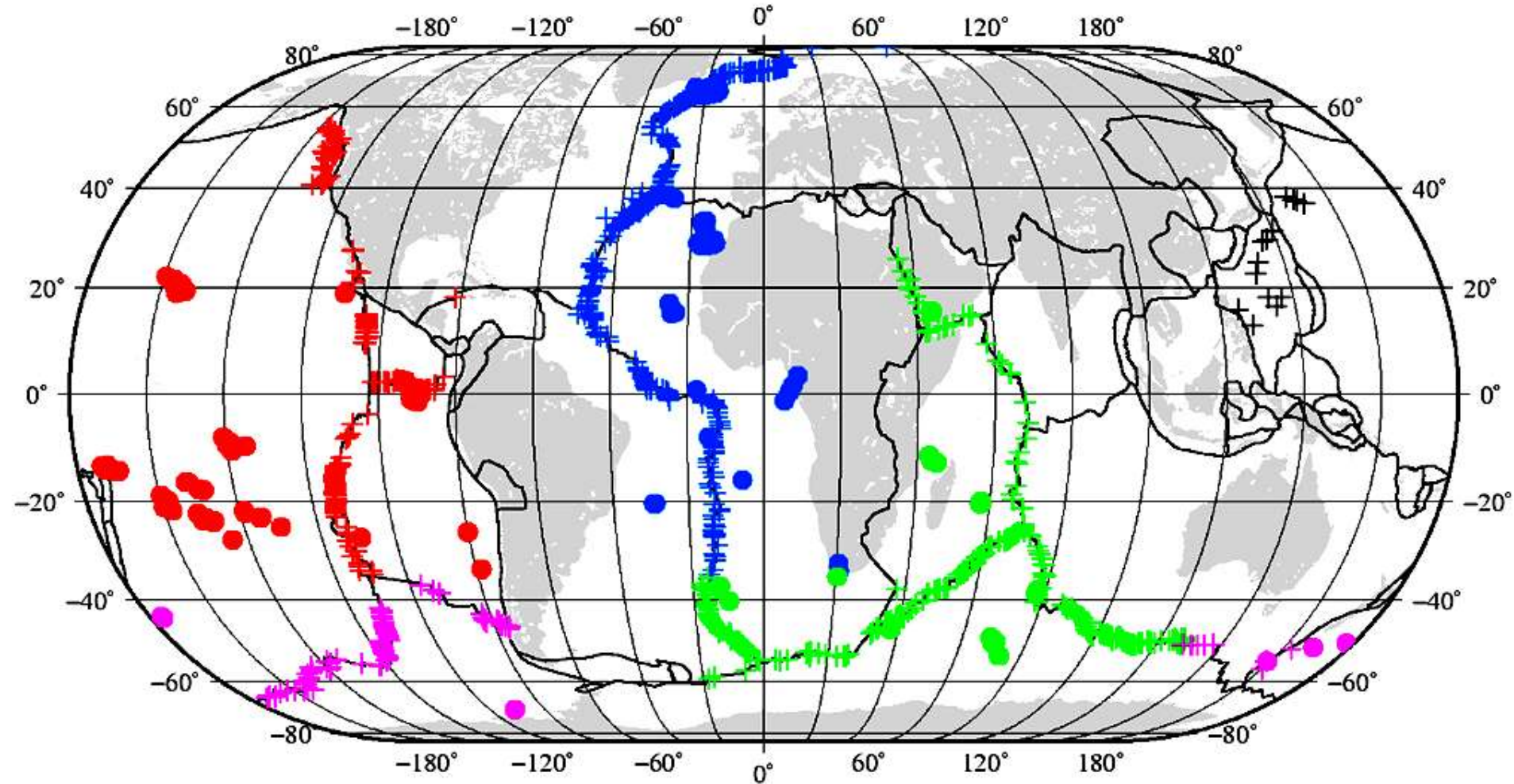






Oceanic Basalts 4308 data

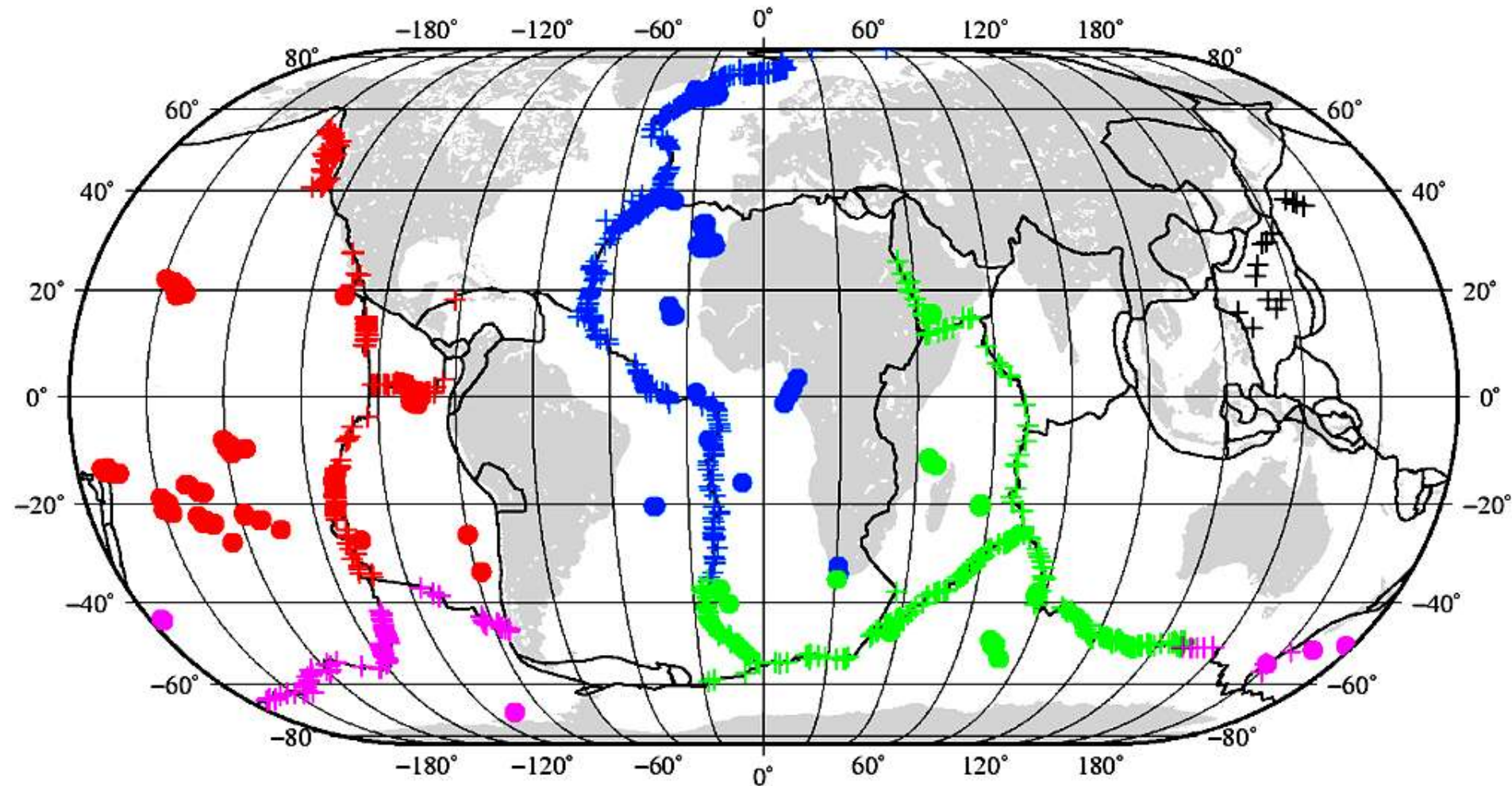
Sr(-Rb), Nd(-Sm), Pb(-U-Th) 5 isotopic ratios

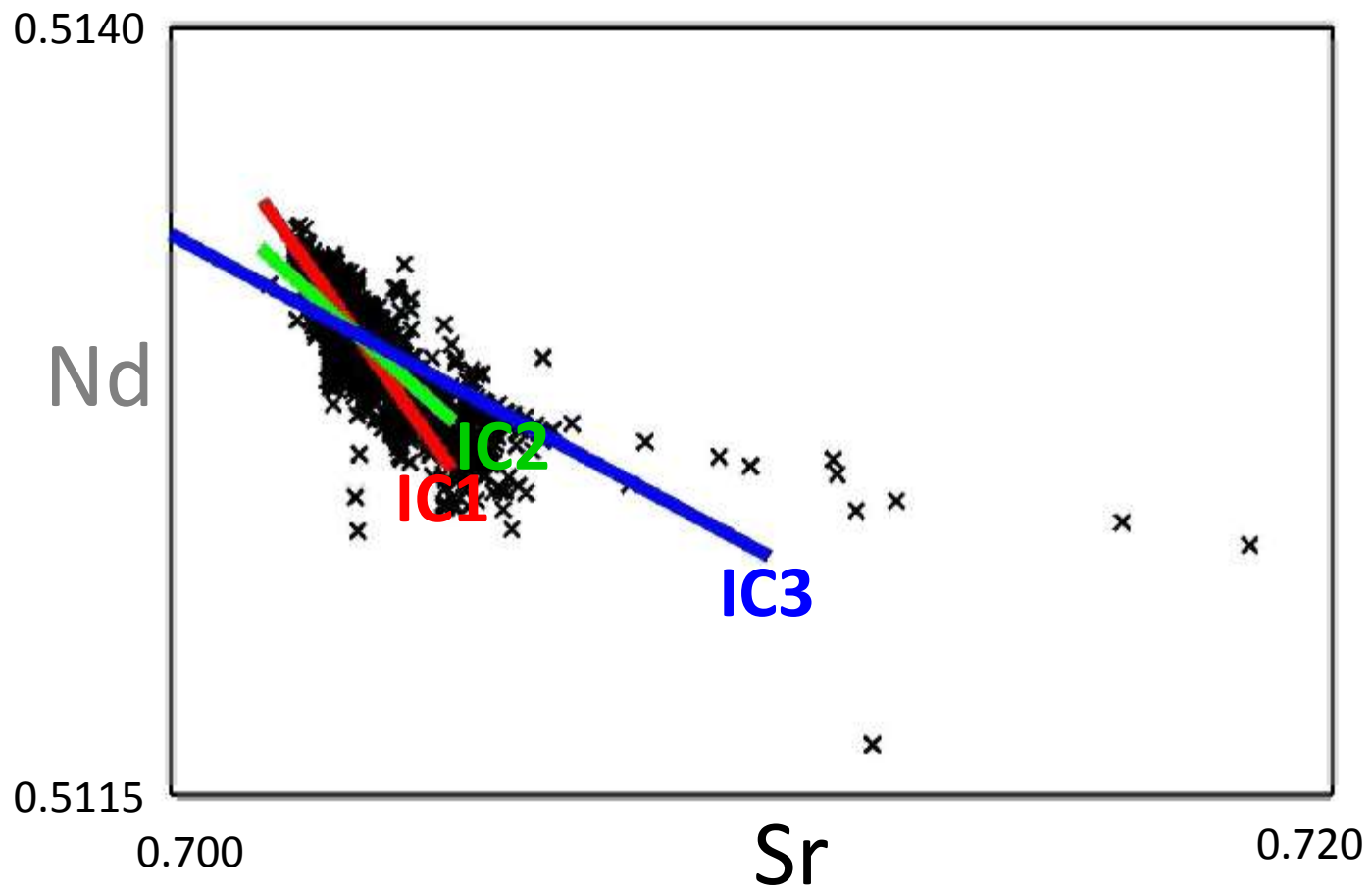


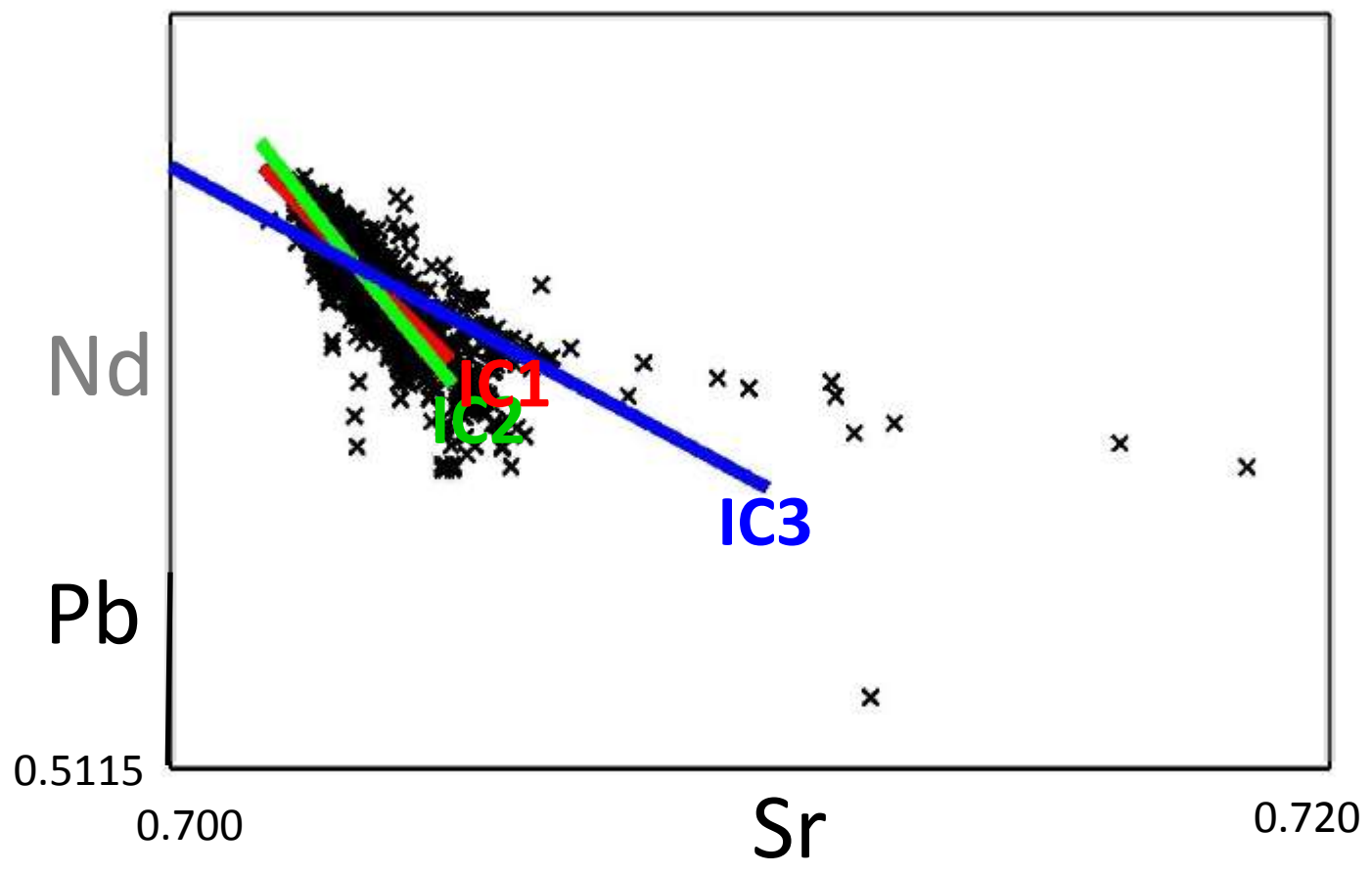
Oceanic Basalts 4308 data

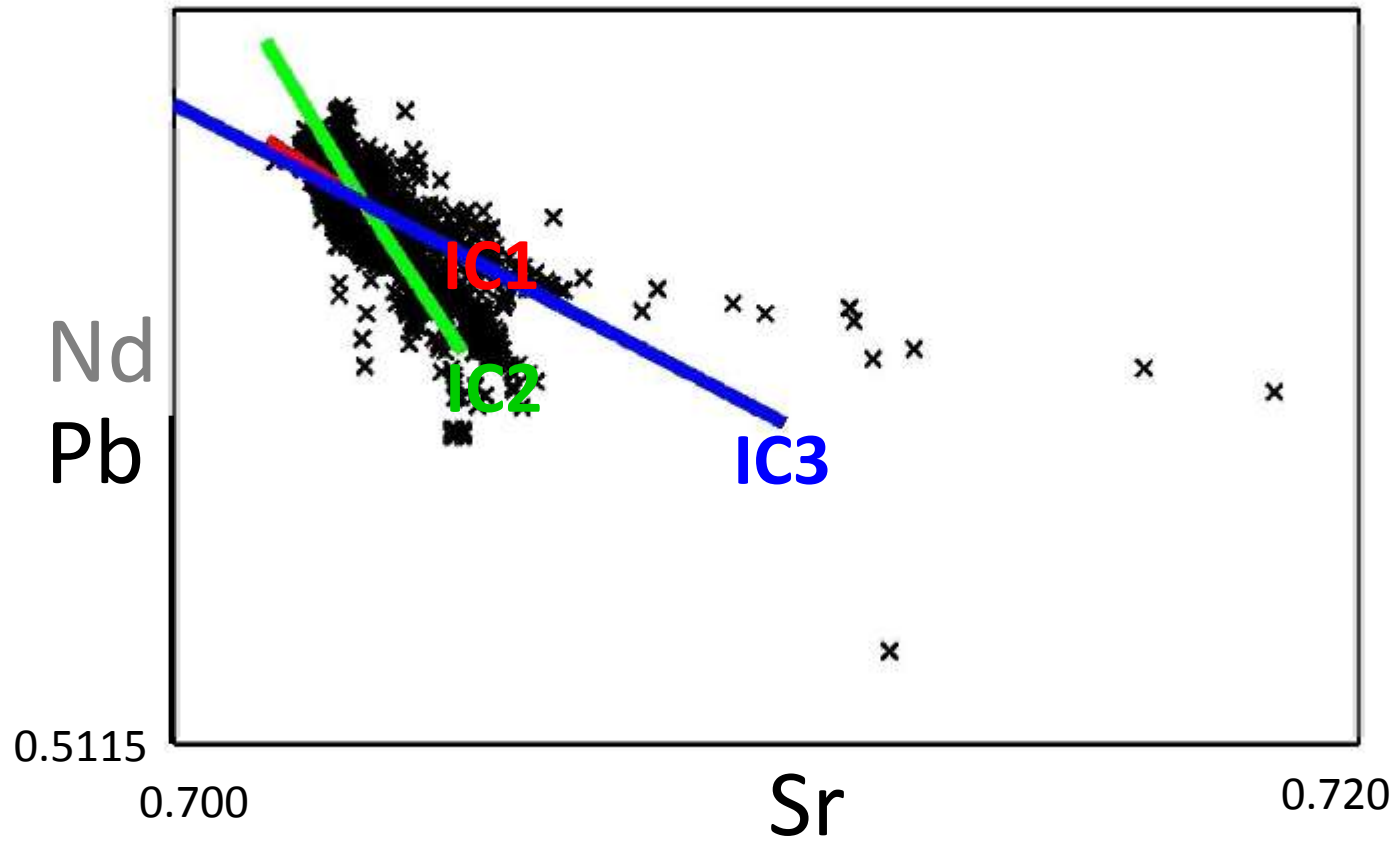
Sr(-Rb), Nd(-Sm), Pb(-U-Th) 5 isotopic ratios

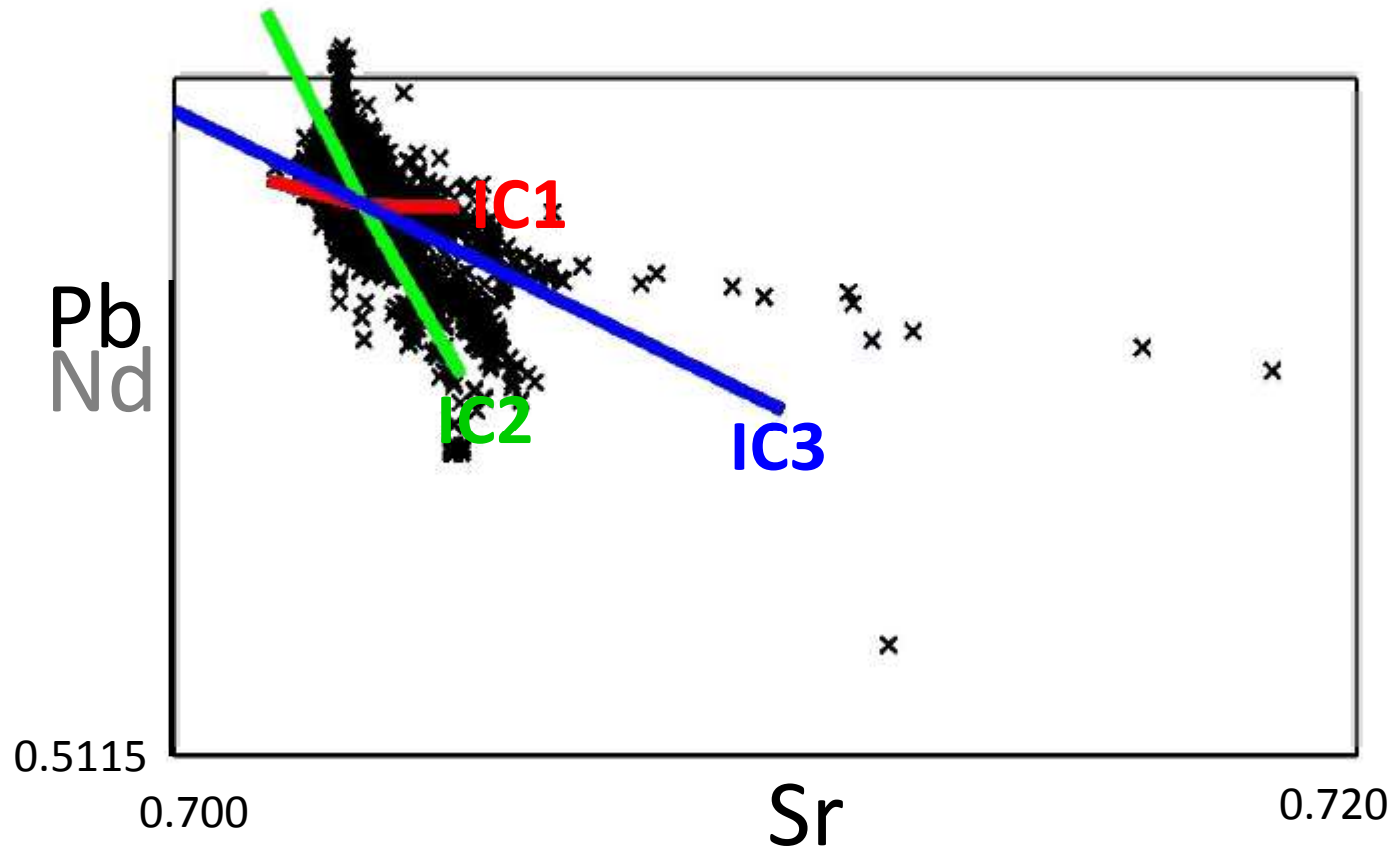
Only 3 (possibly 2) independent components

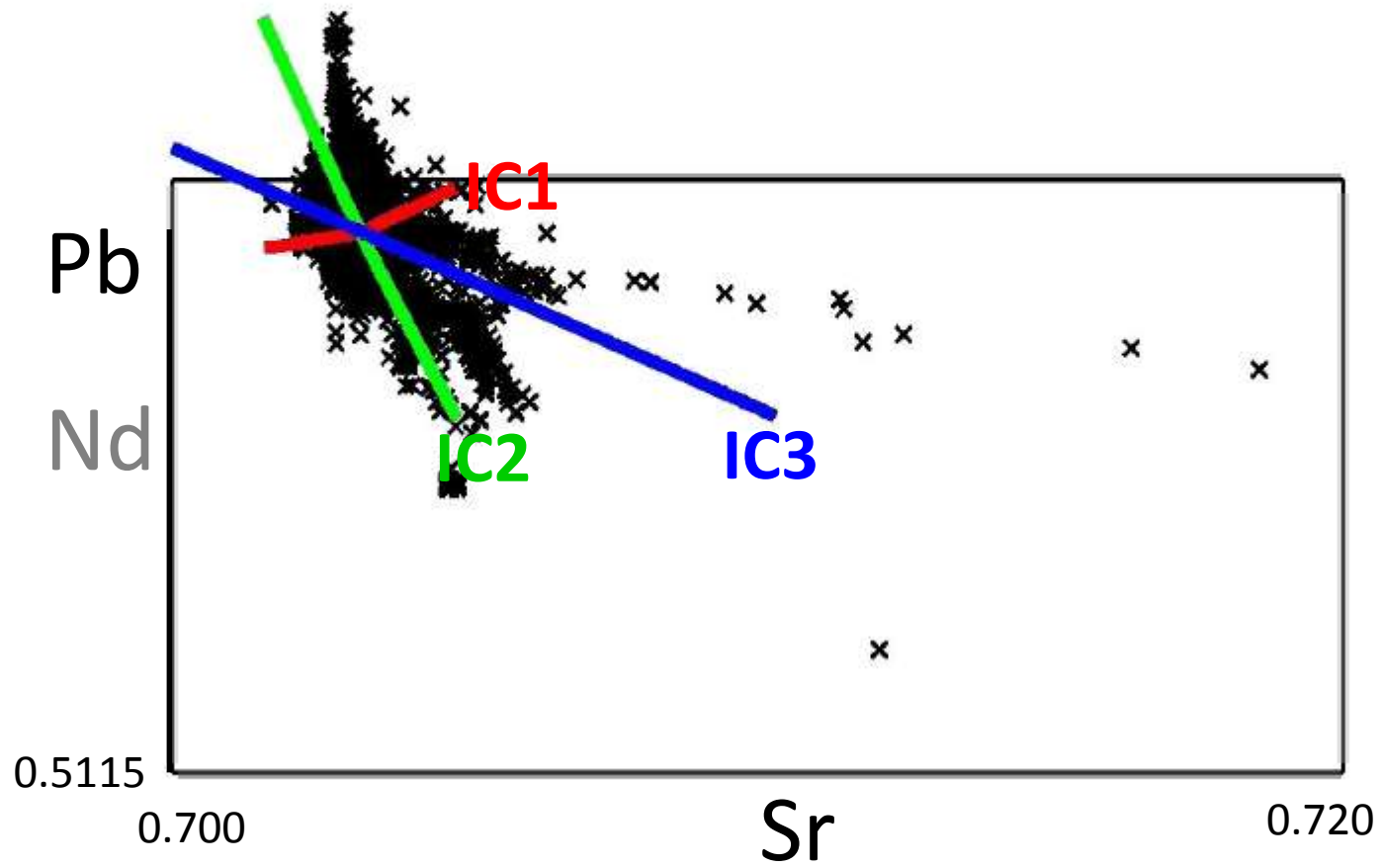


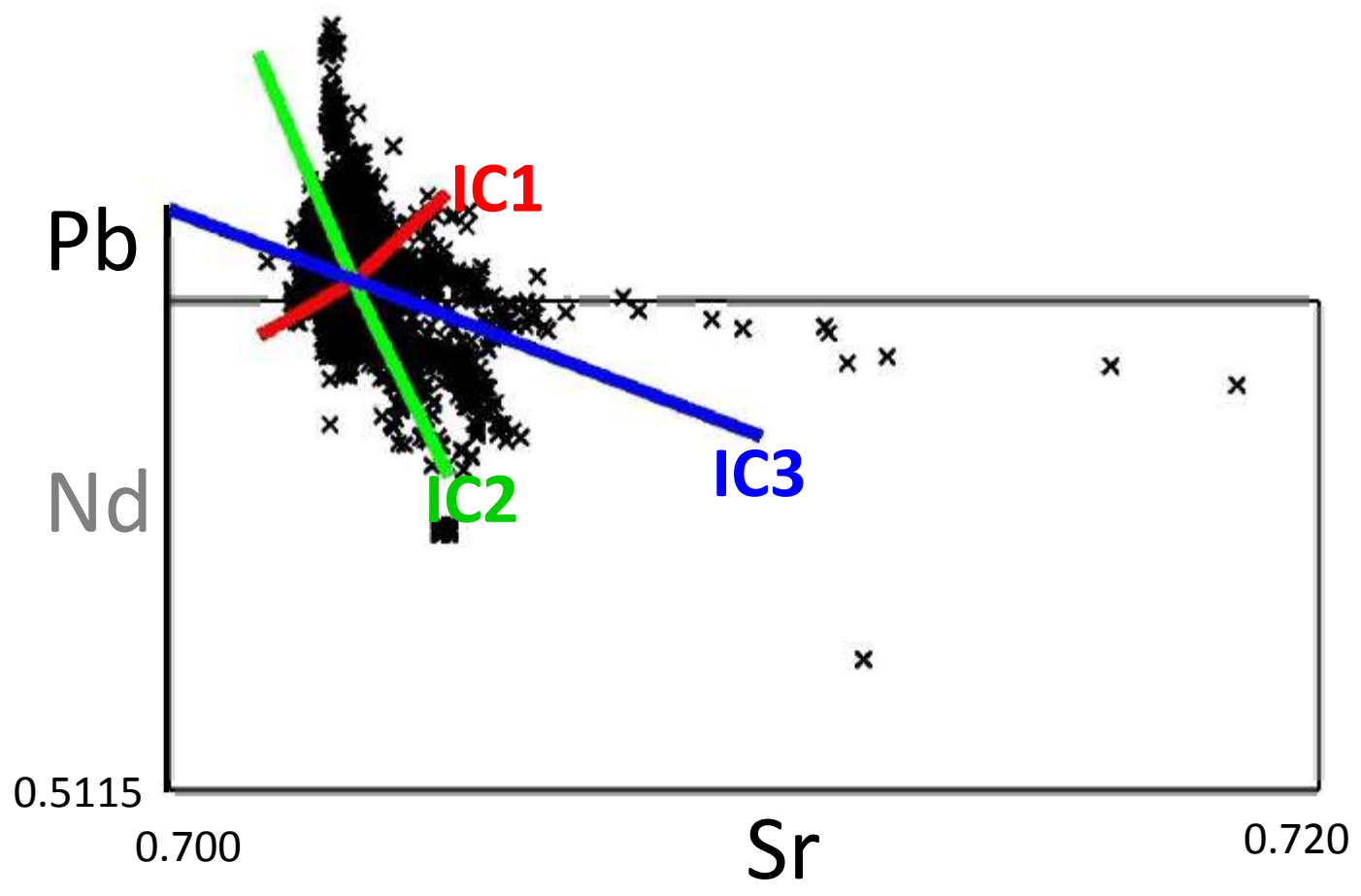


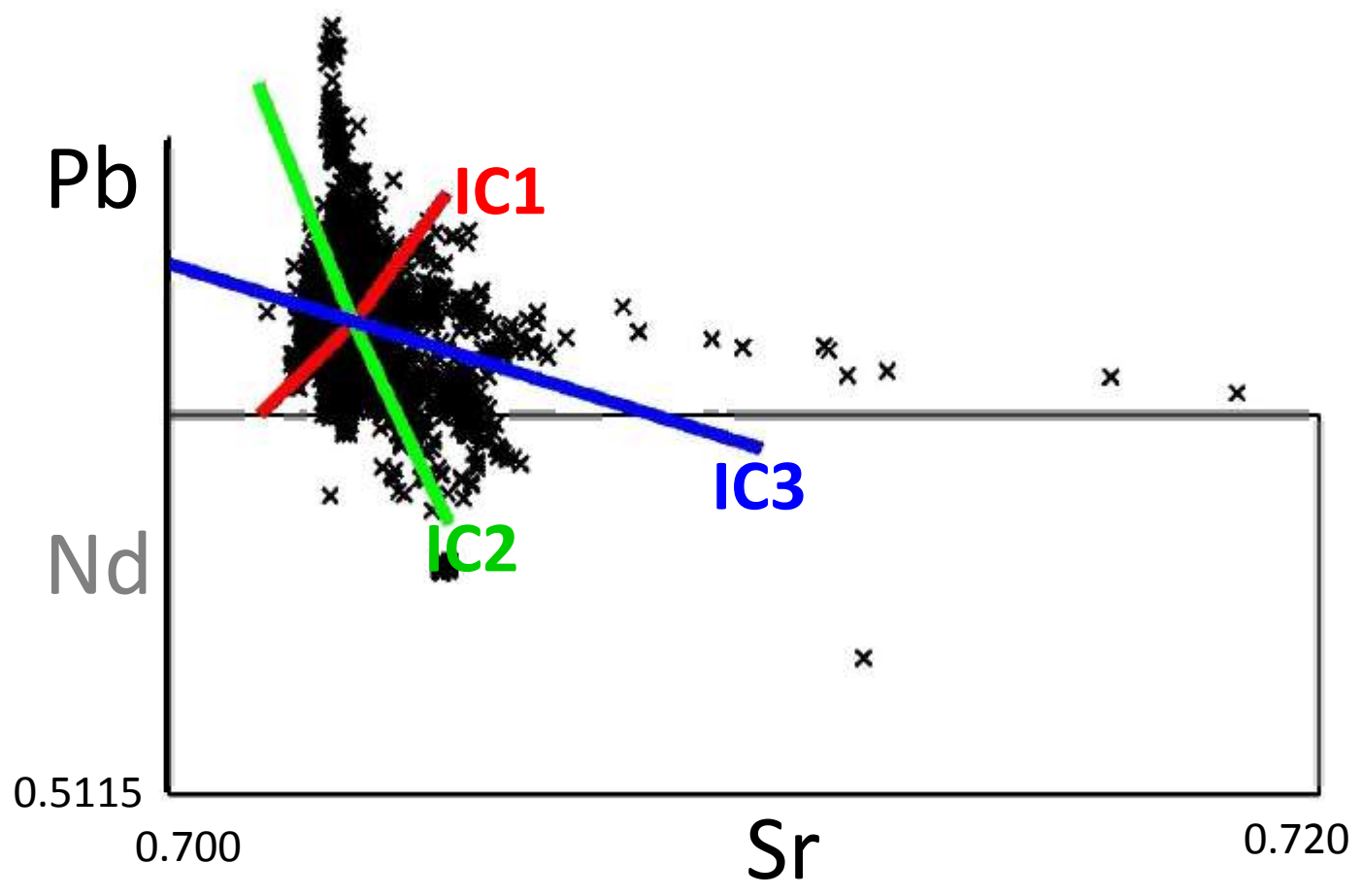


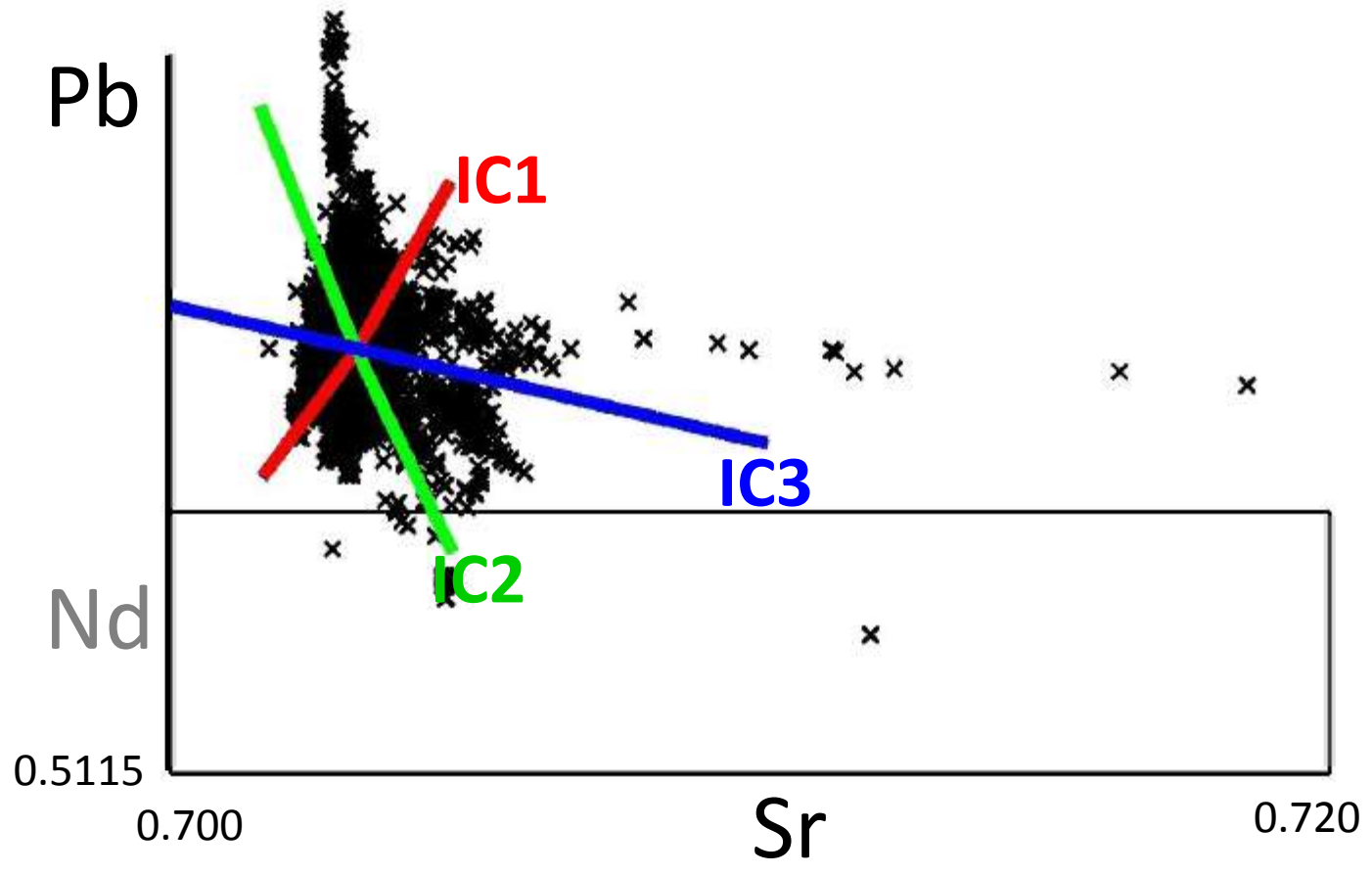


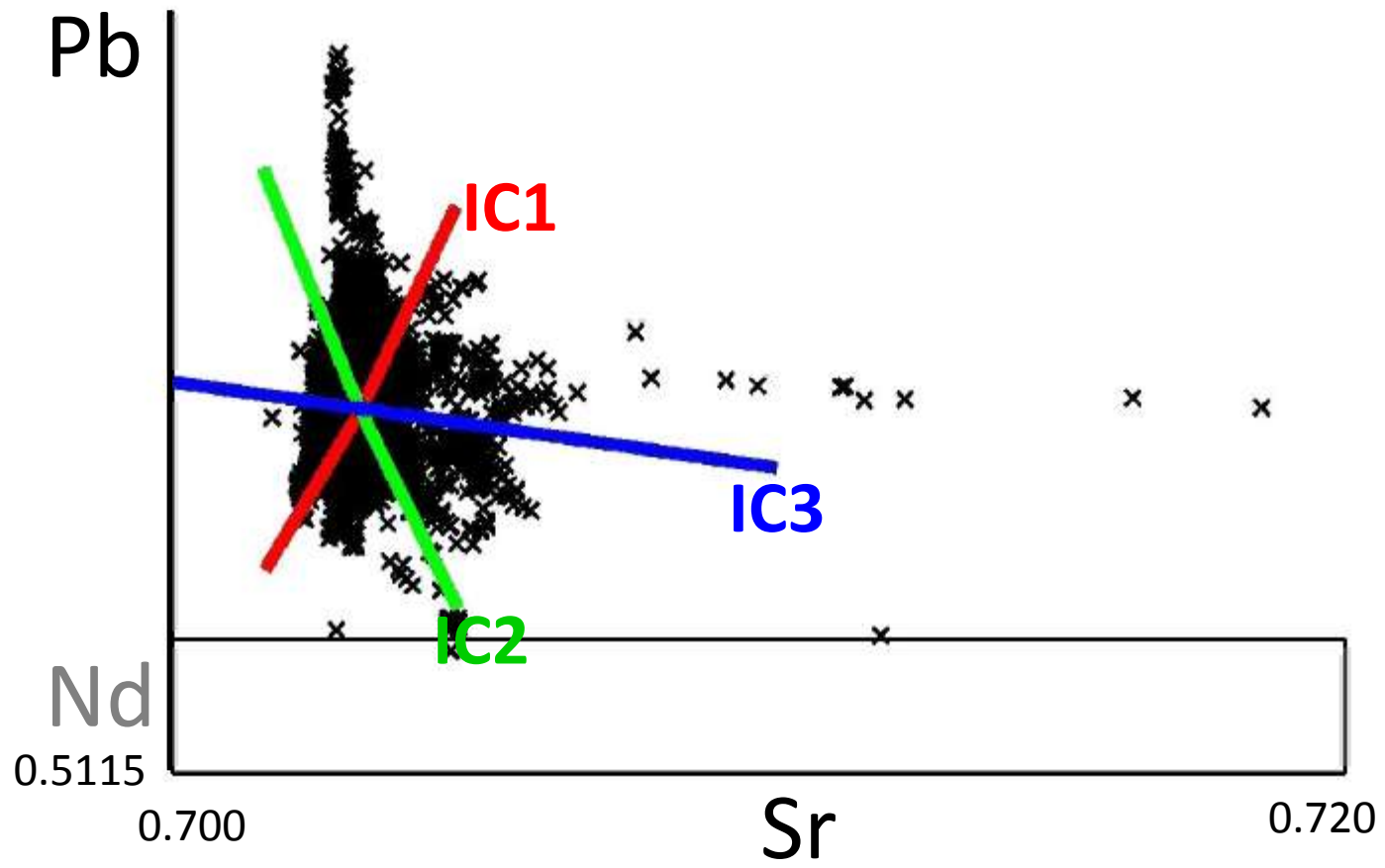


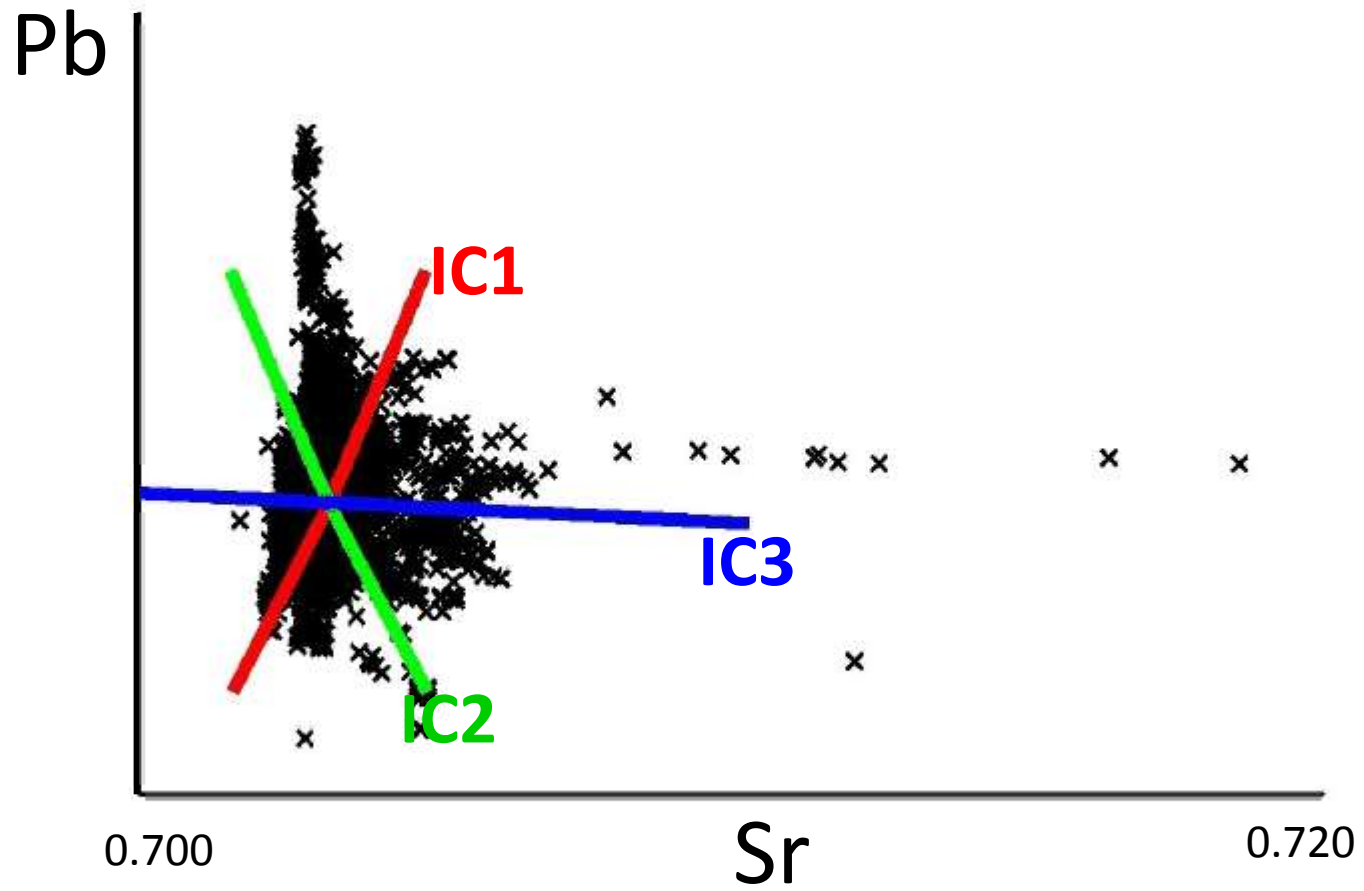


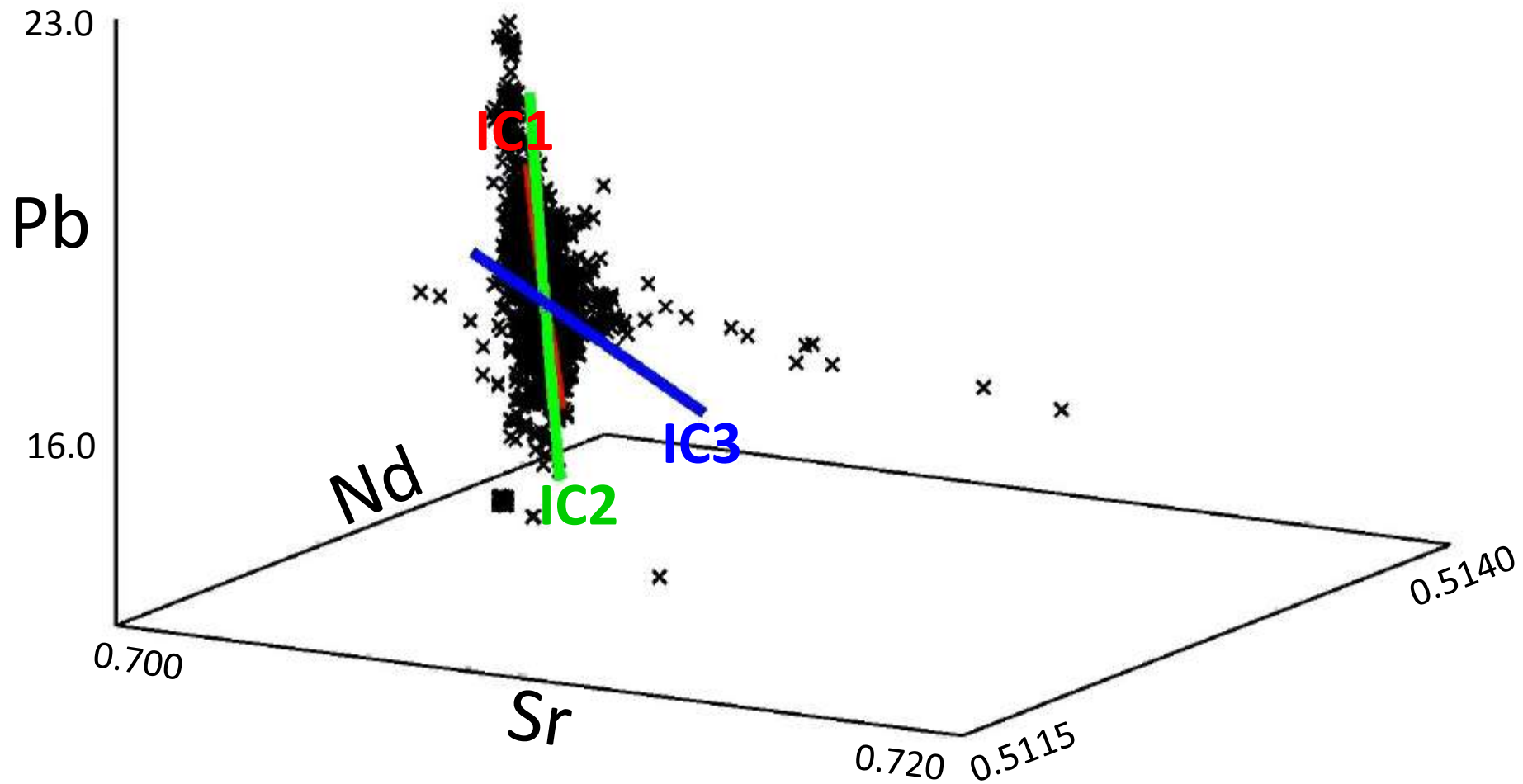


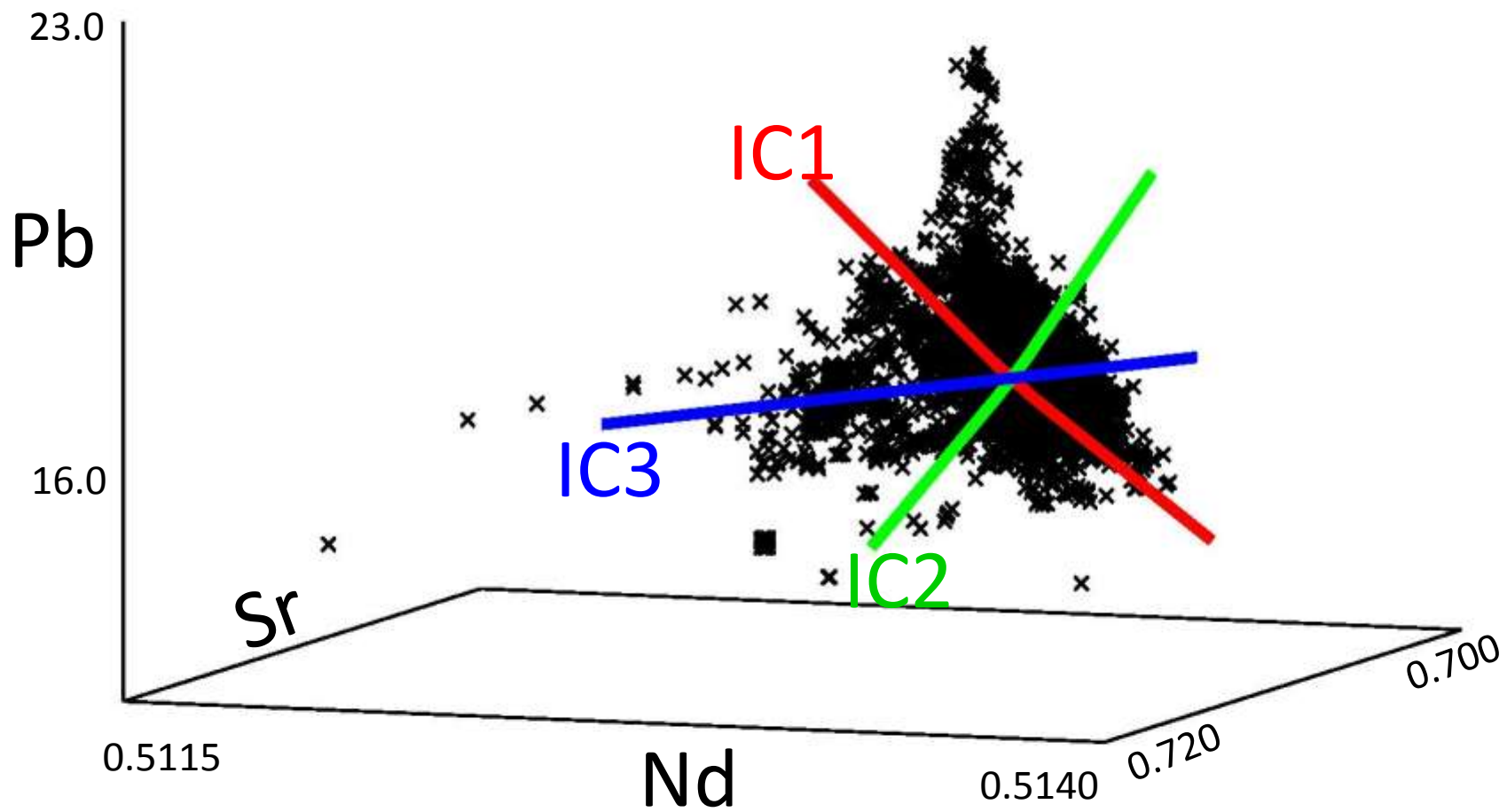


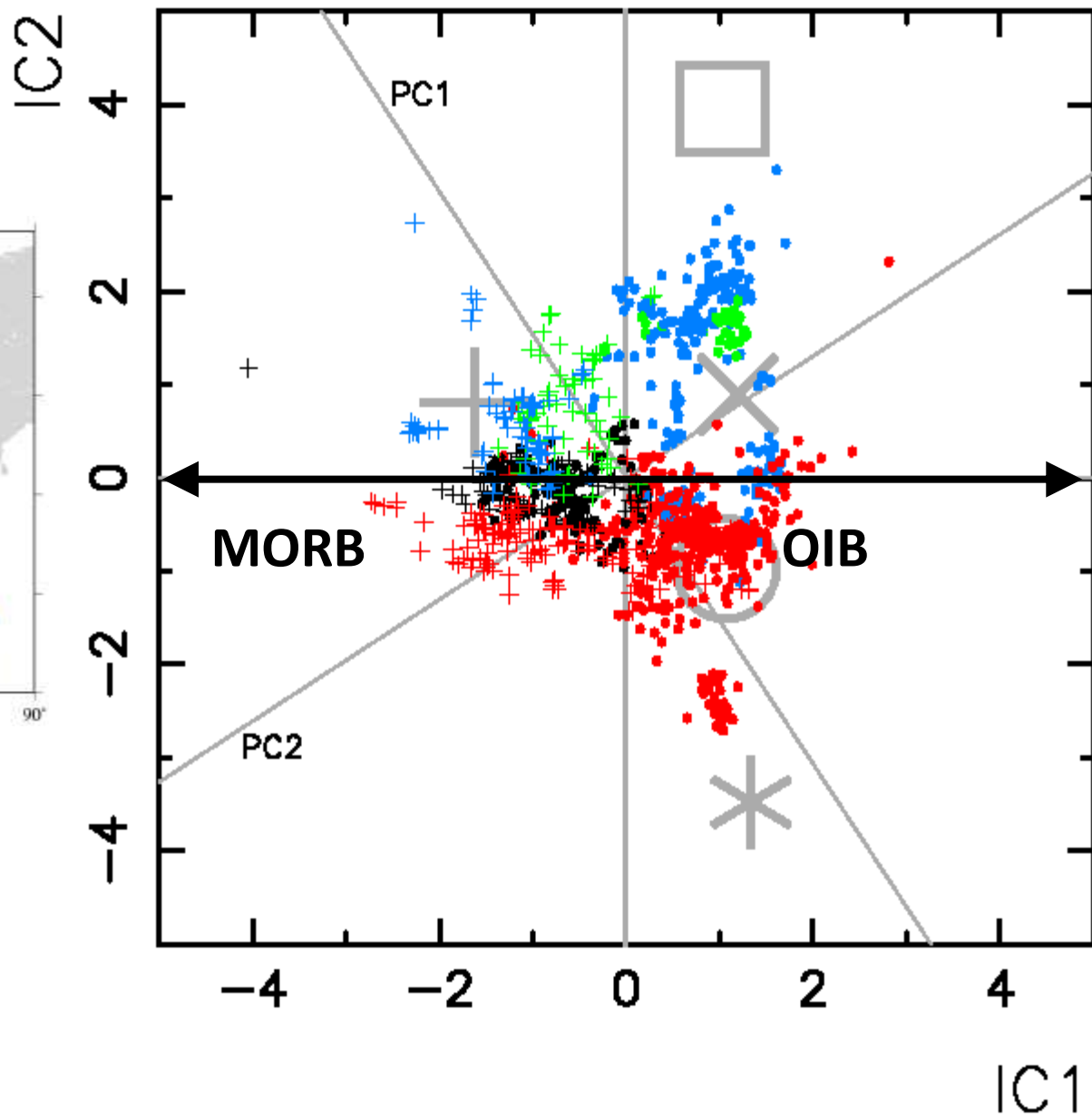
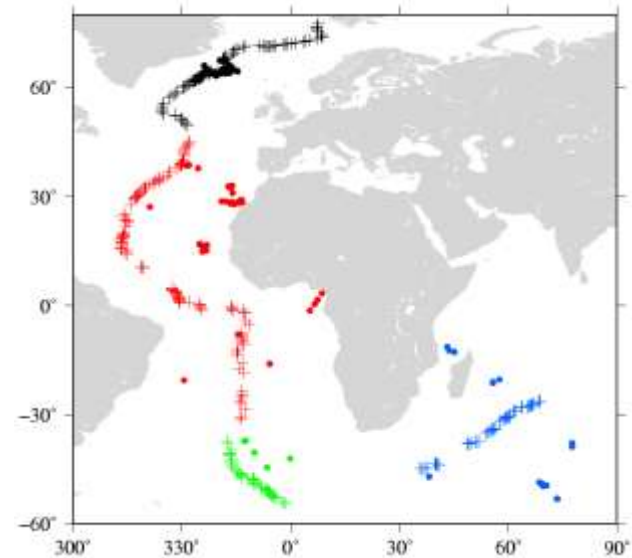


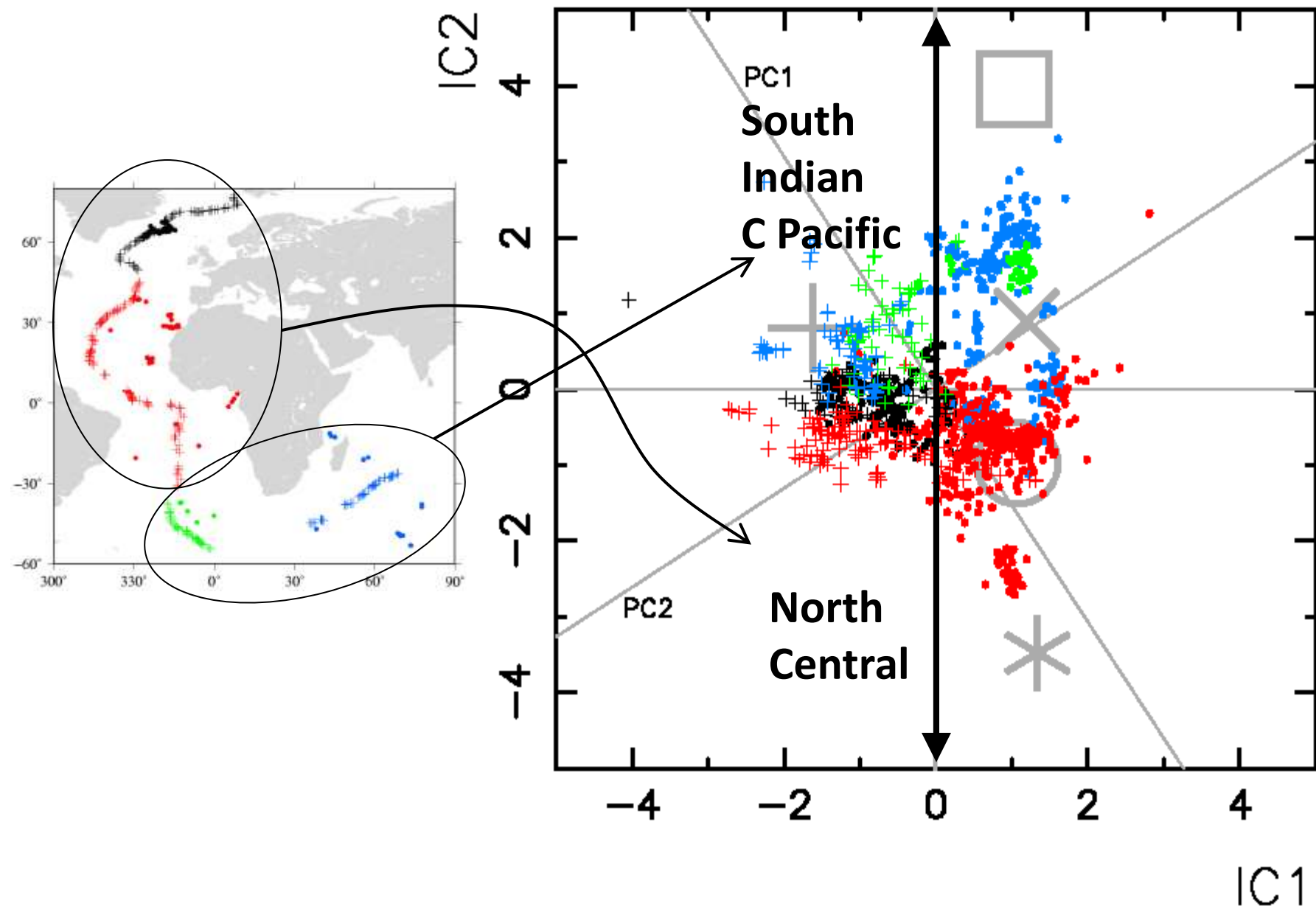


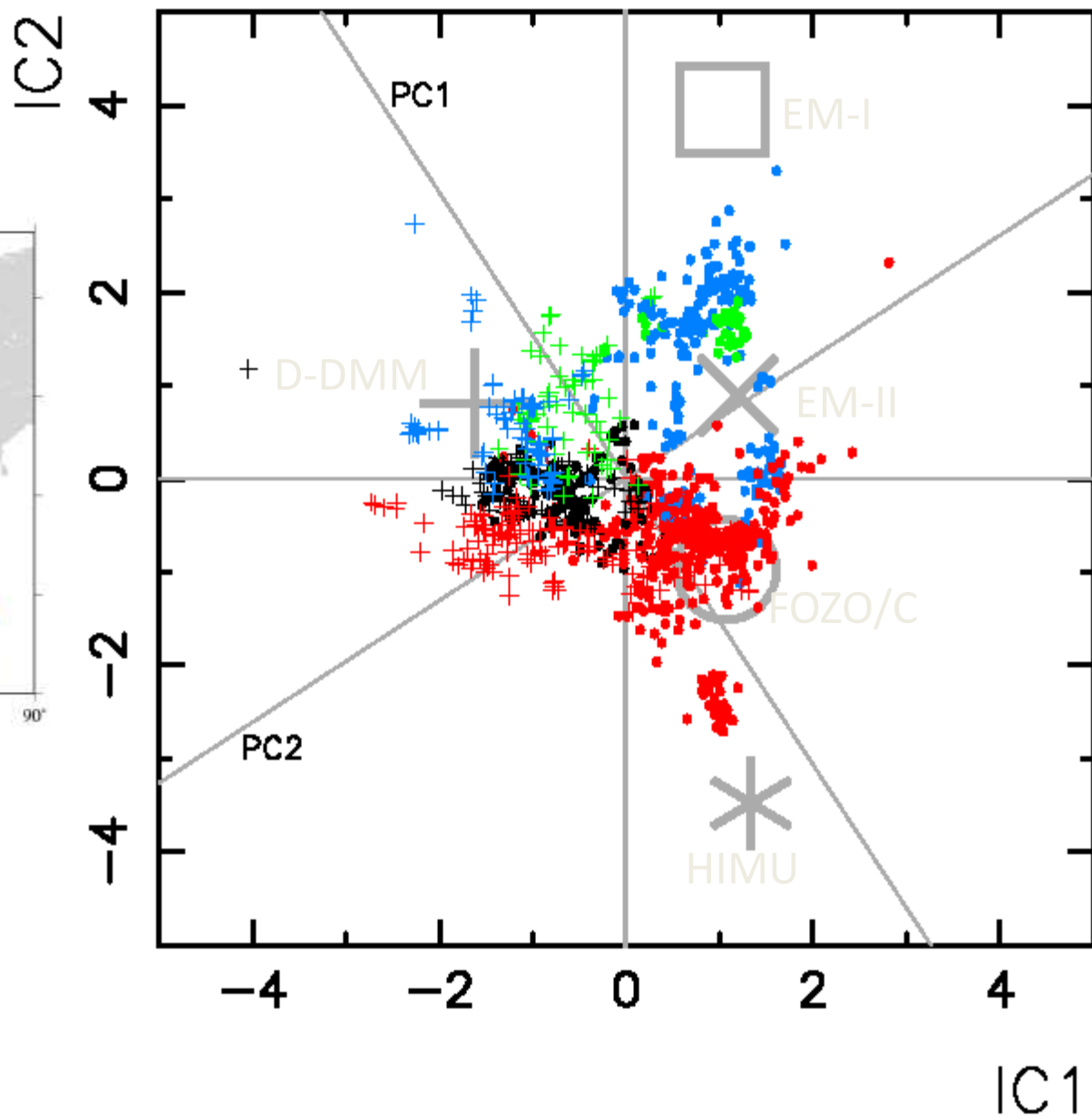
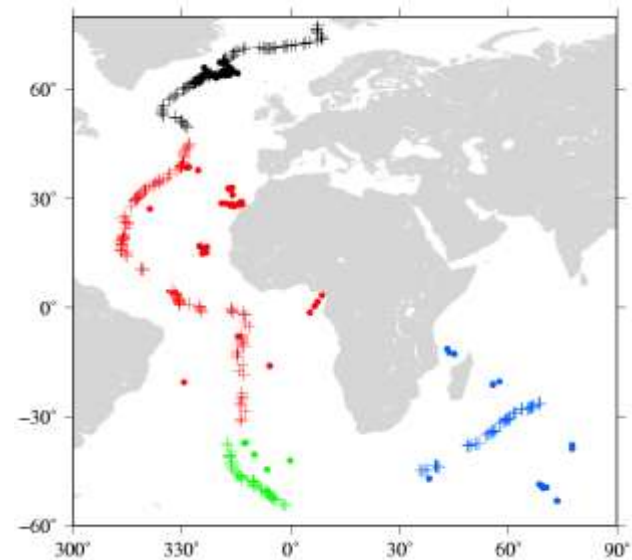


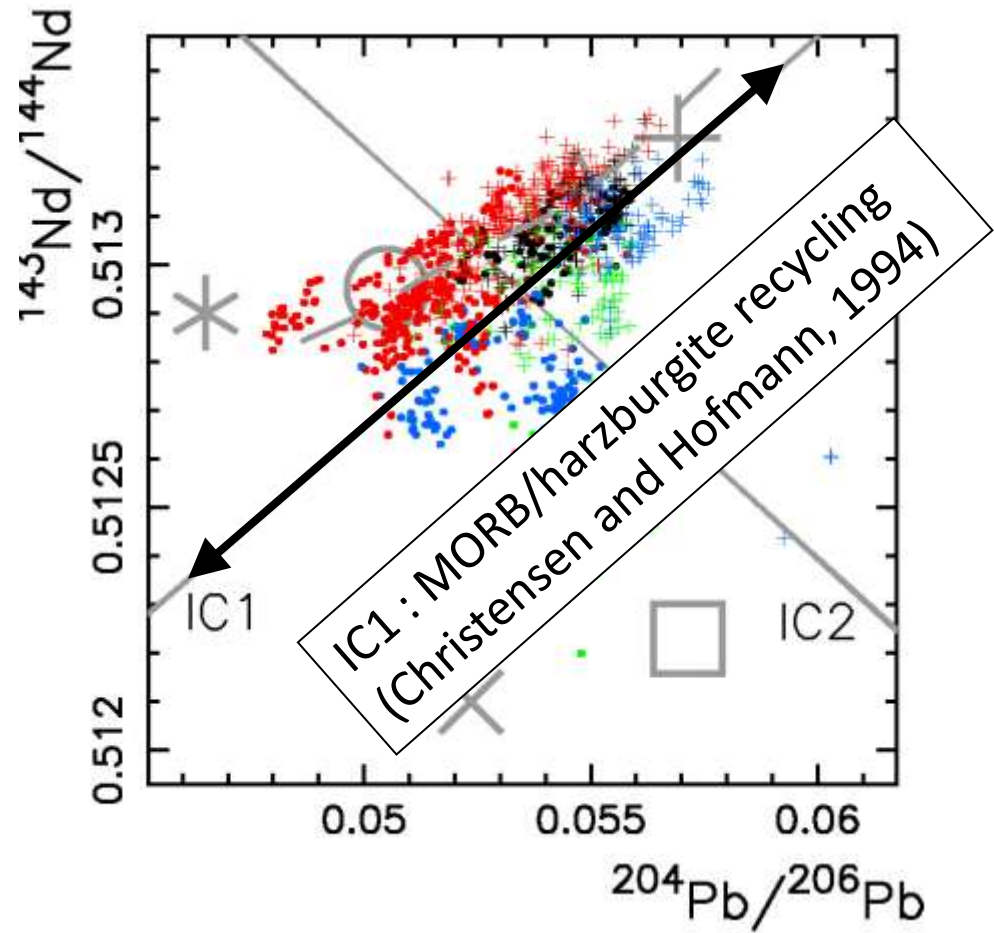
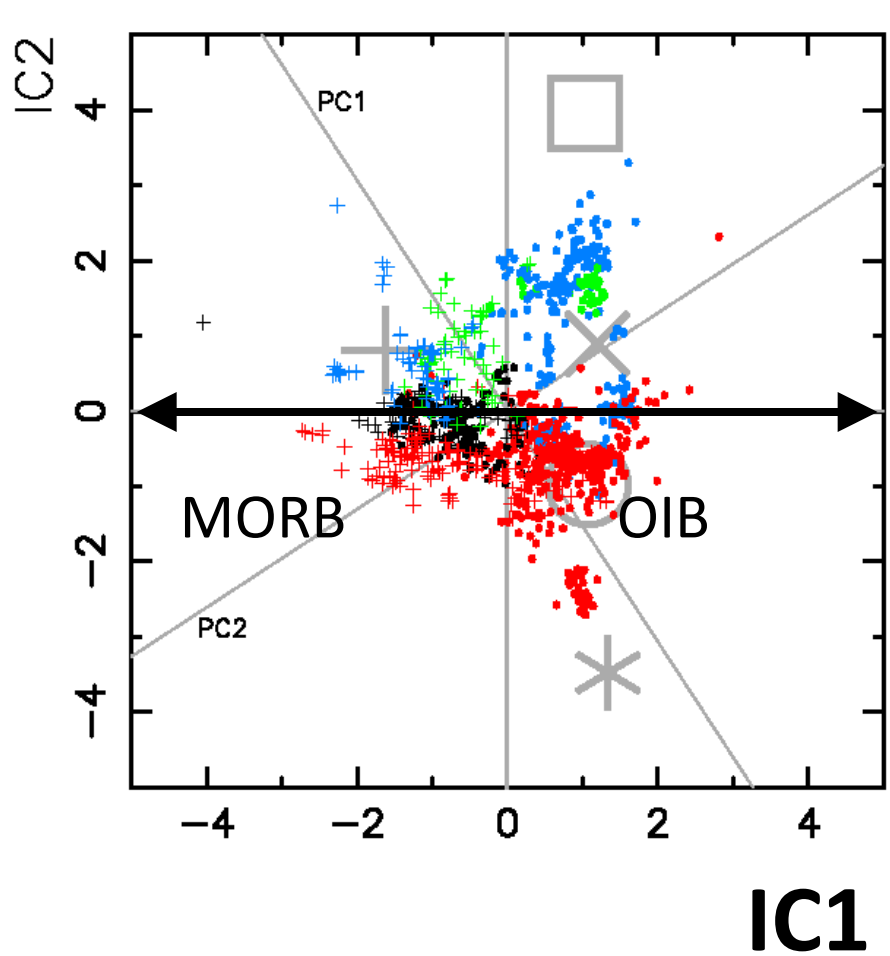


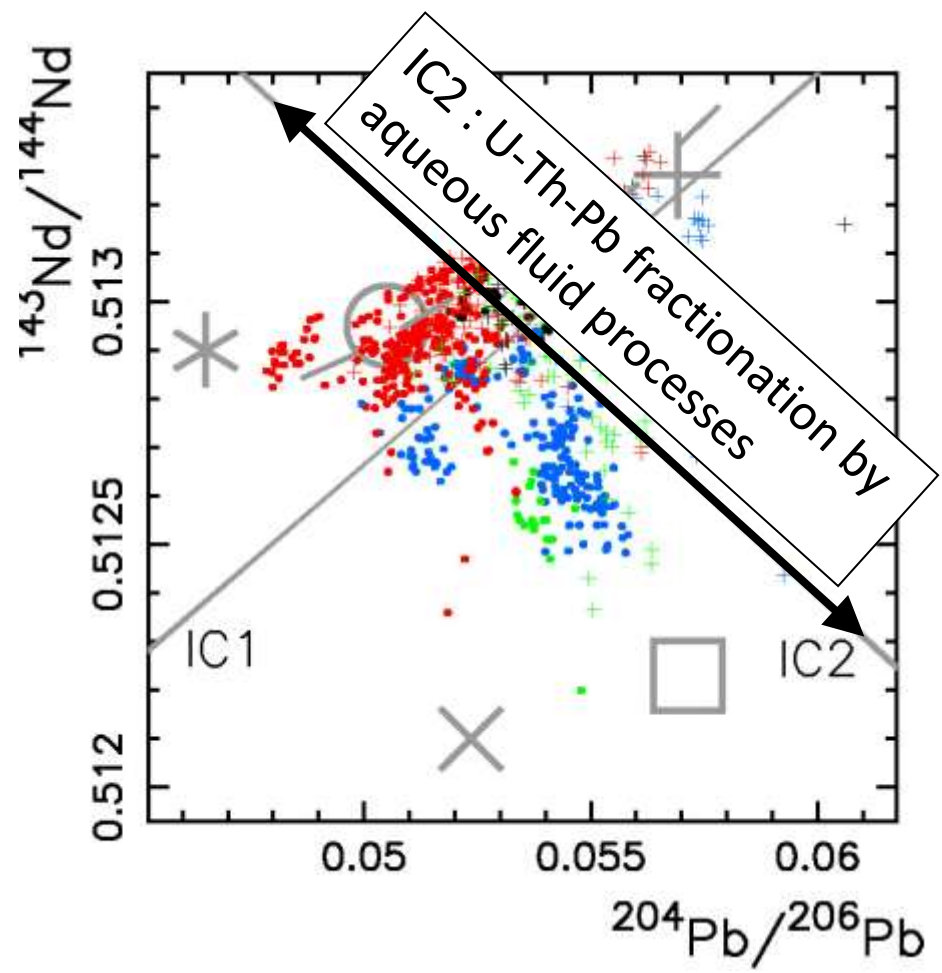
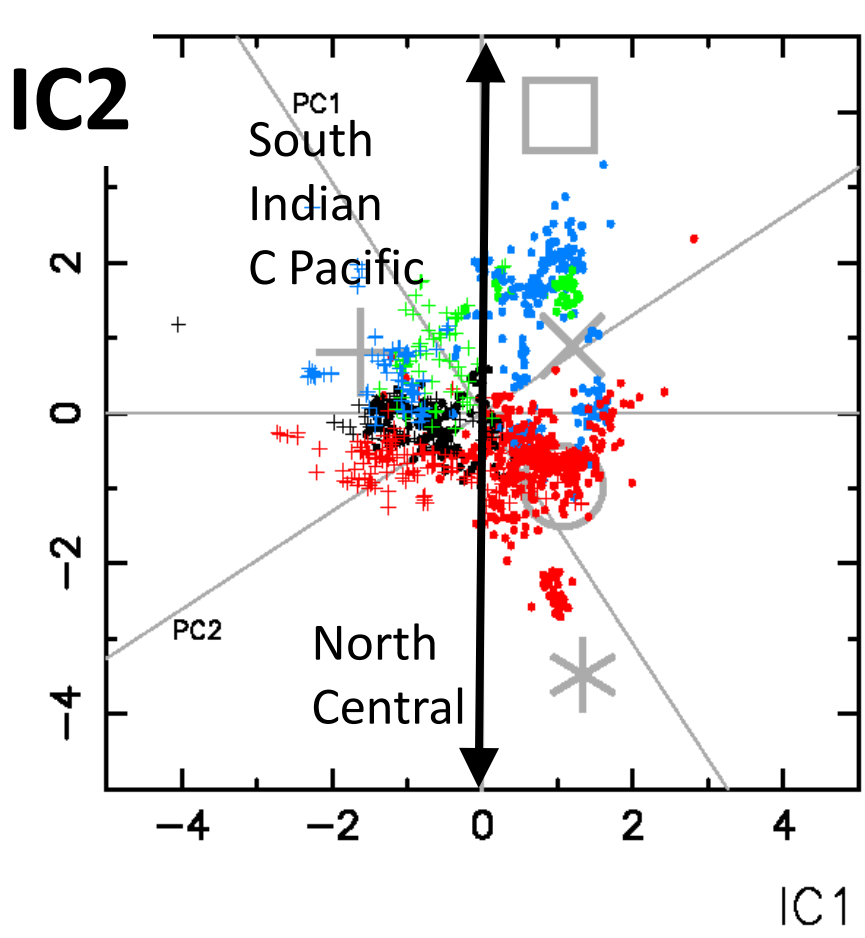










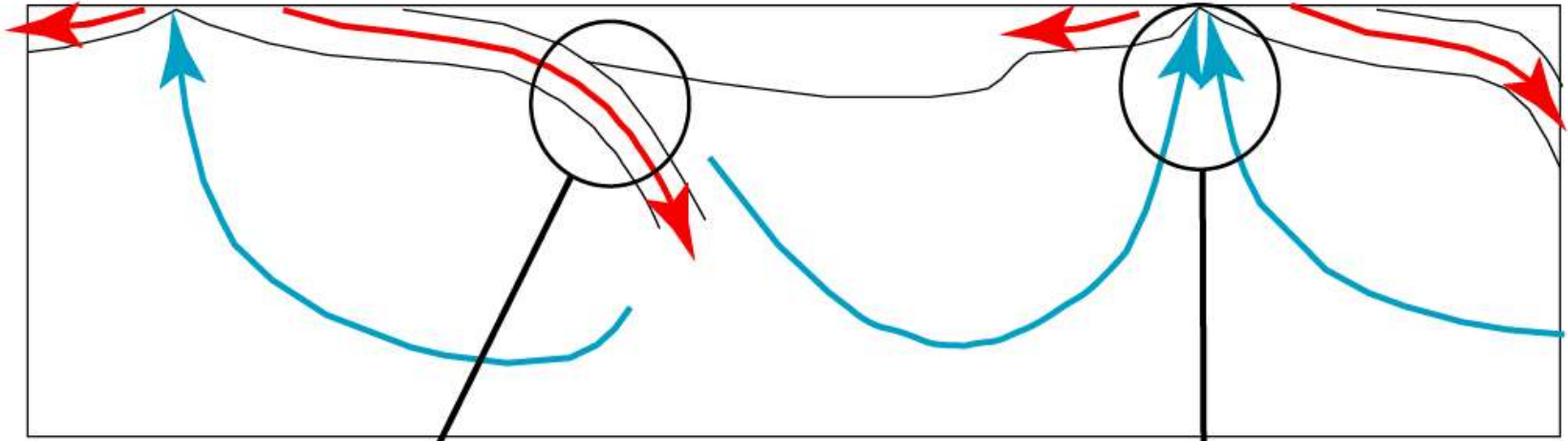


Ridge

Subduction Zone

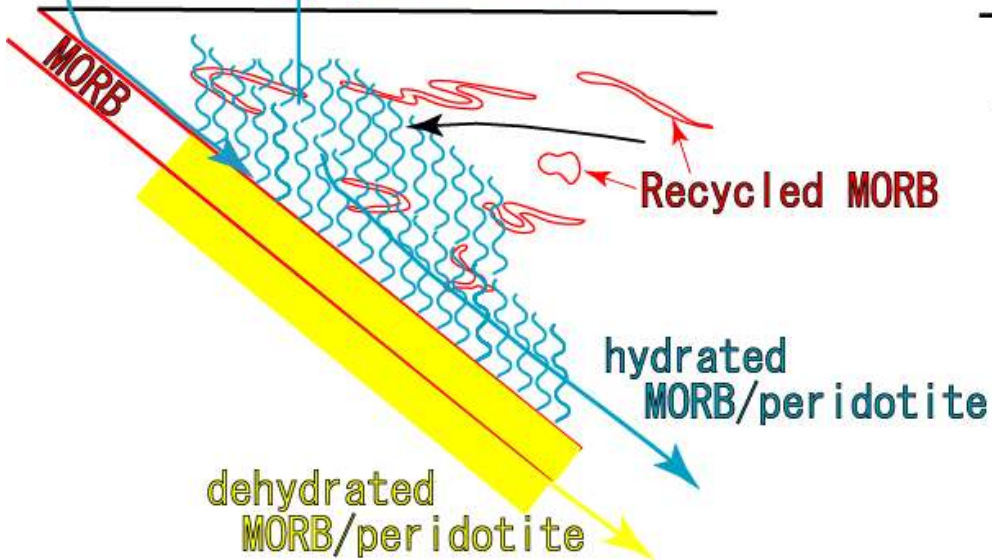
Ridge

Subduction

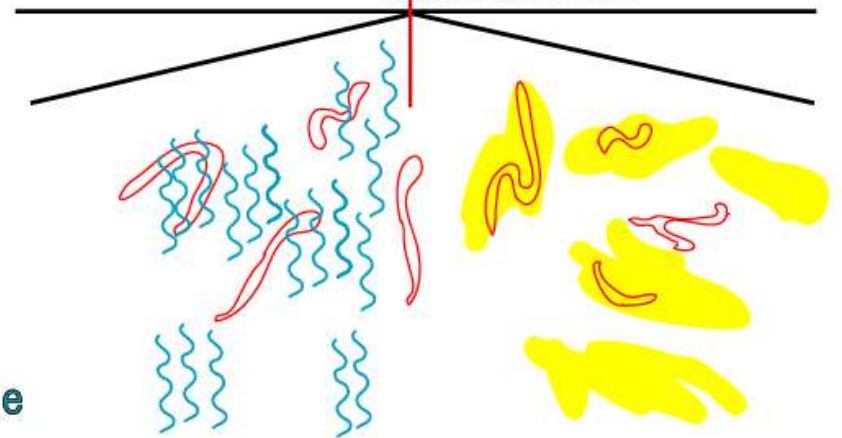


continental crust

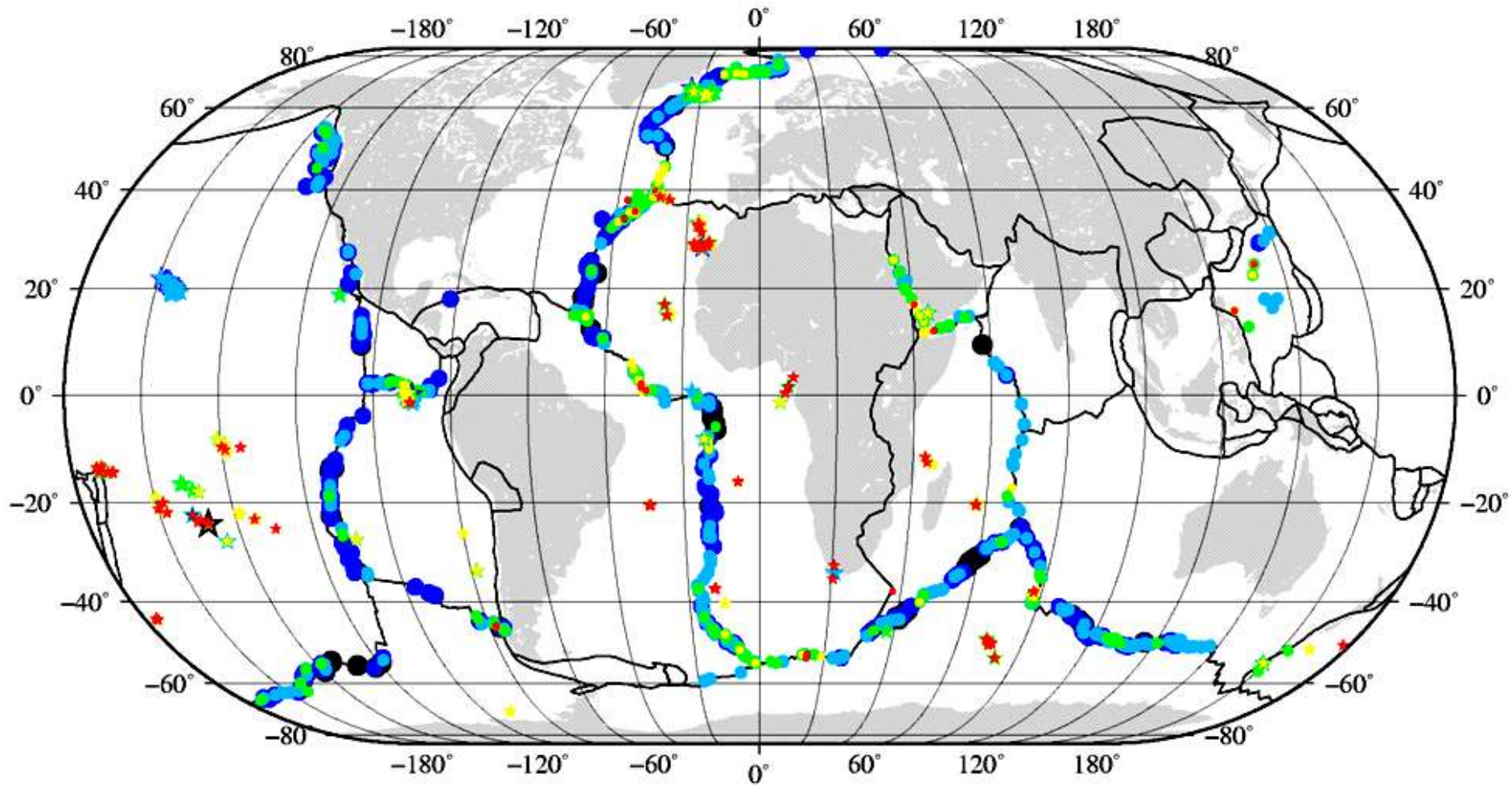
hydrous melt



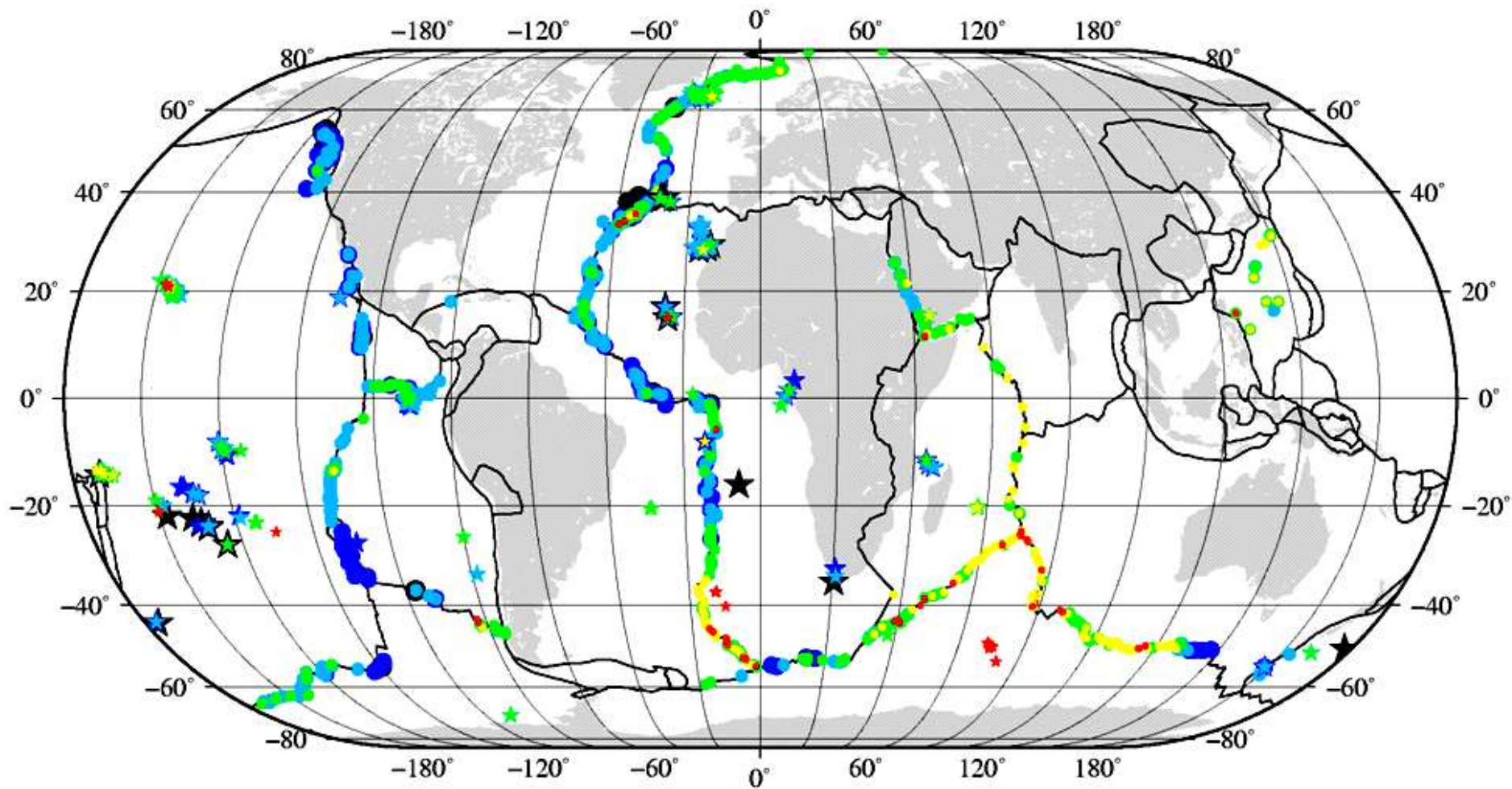
MORB melt



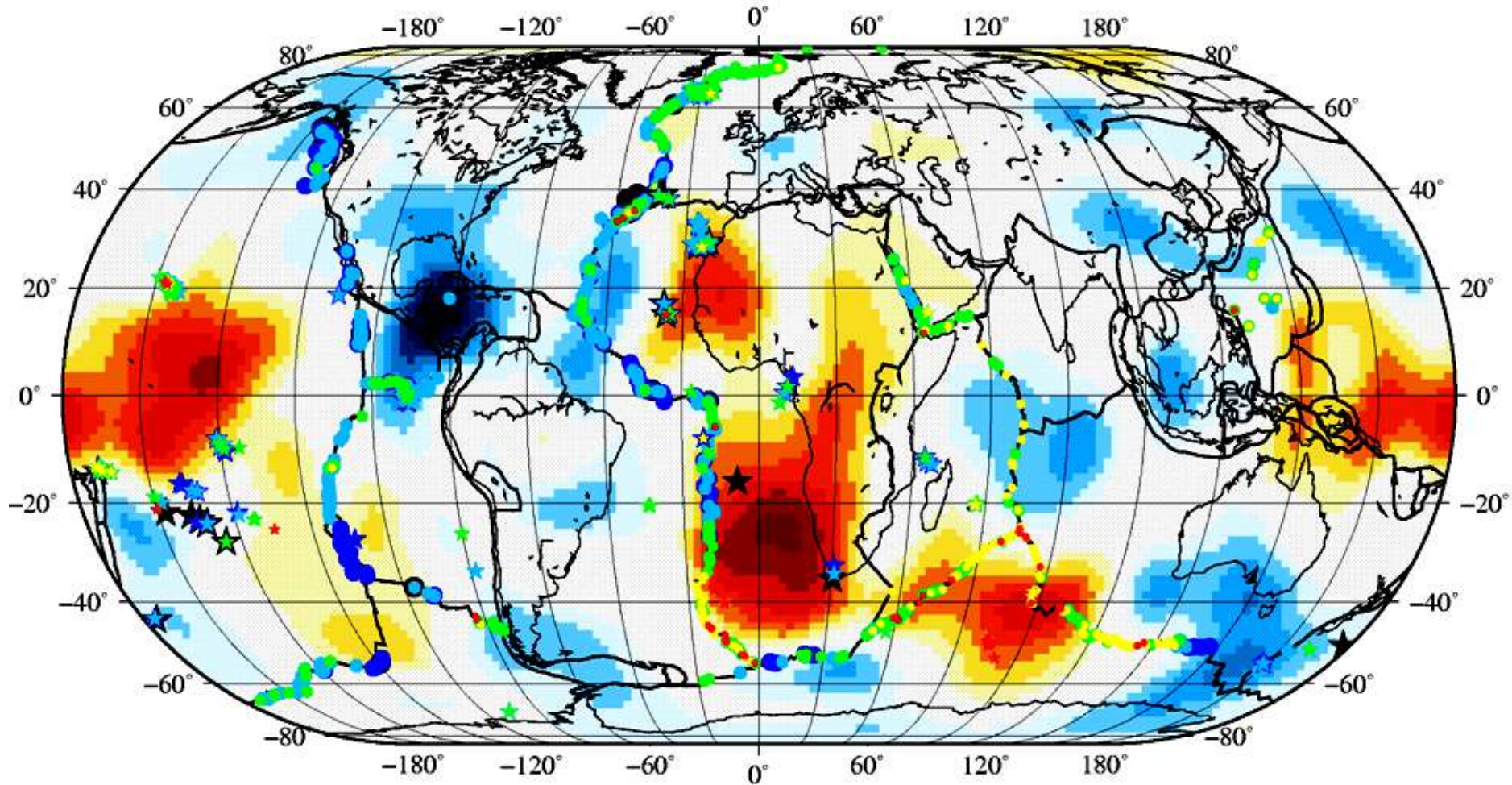
Global IC1 (s5_Si53-35-SrIe0723)



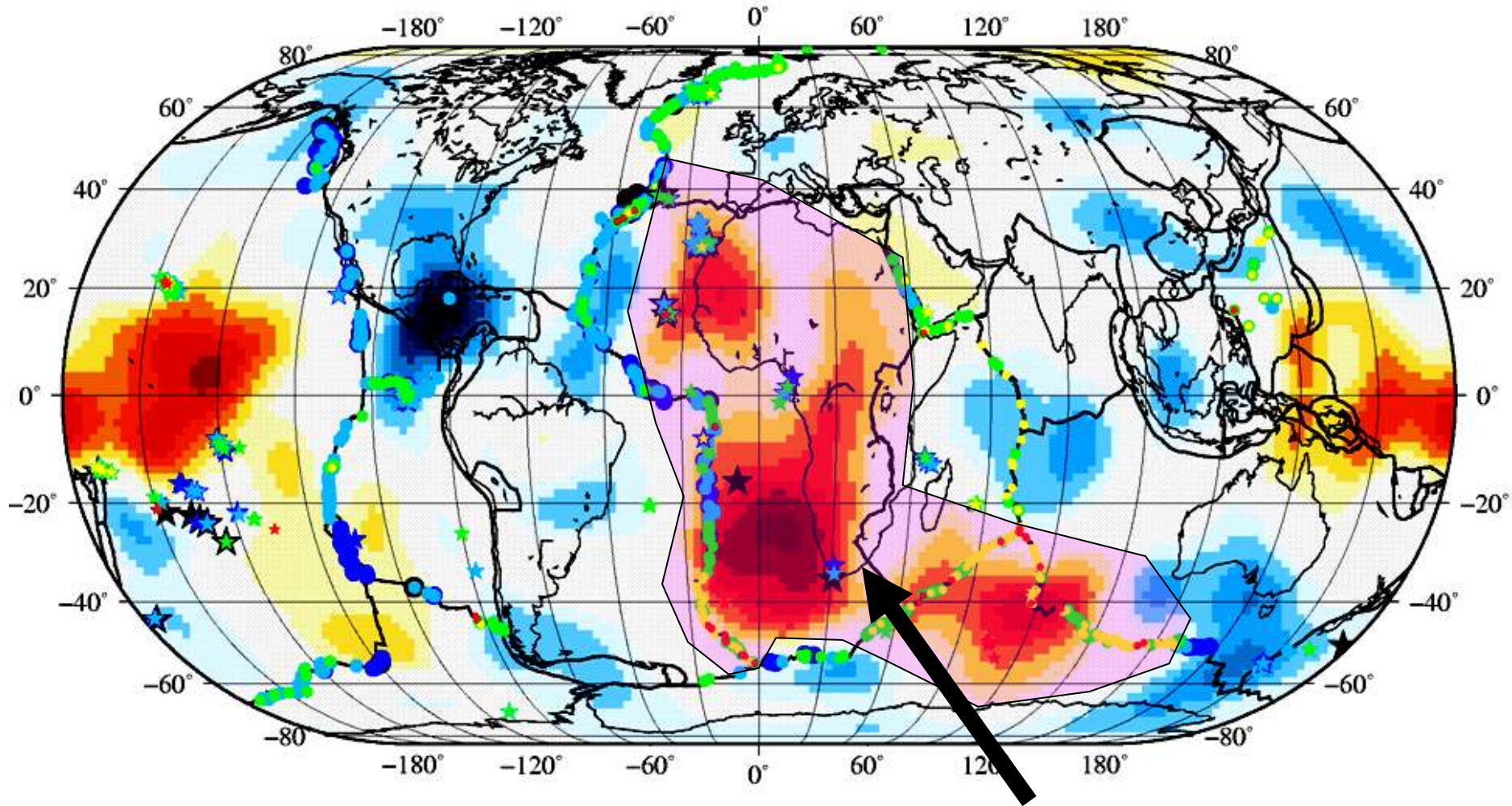
IC2 (s5_Si53-35-SrIe0723)



IC2 + Vs near CMB (Takeuchi, 2007)

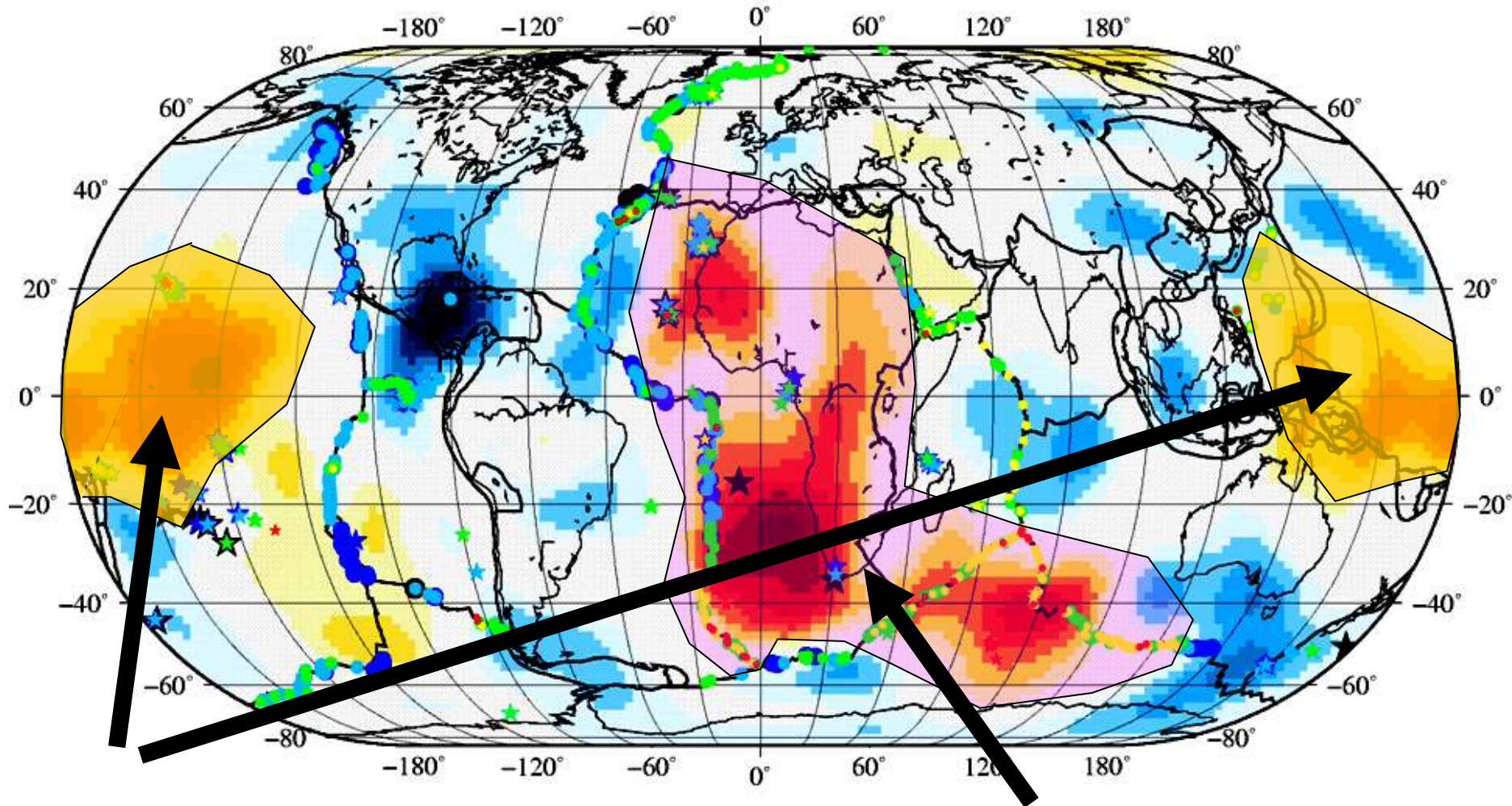


IC2 + Vs near CMB (Takeuchi, 2007)



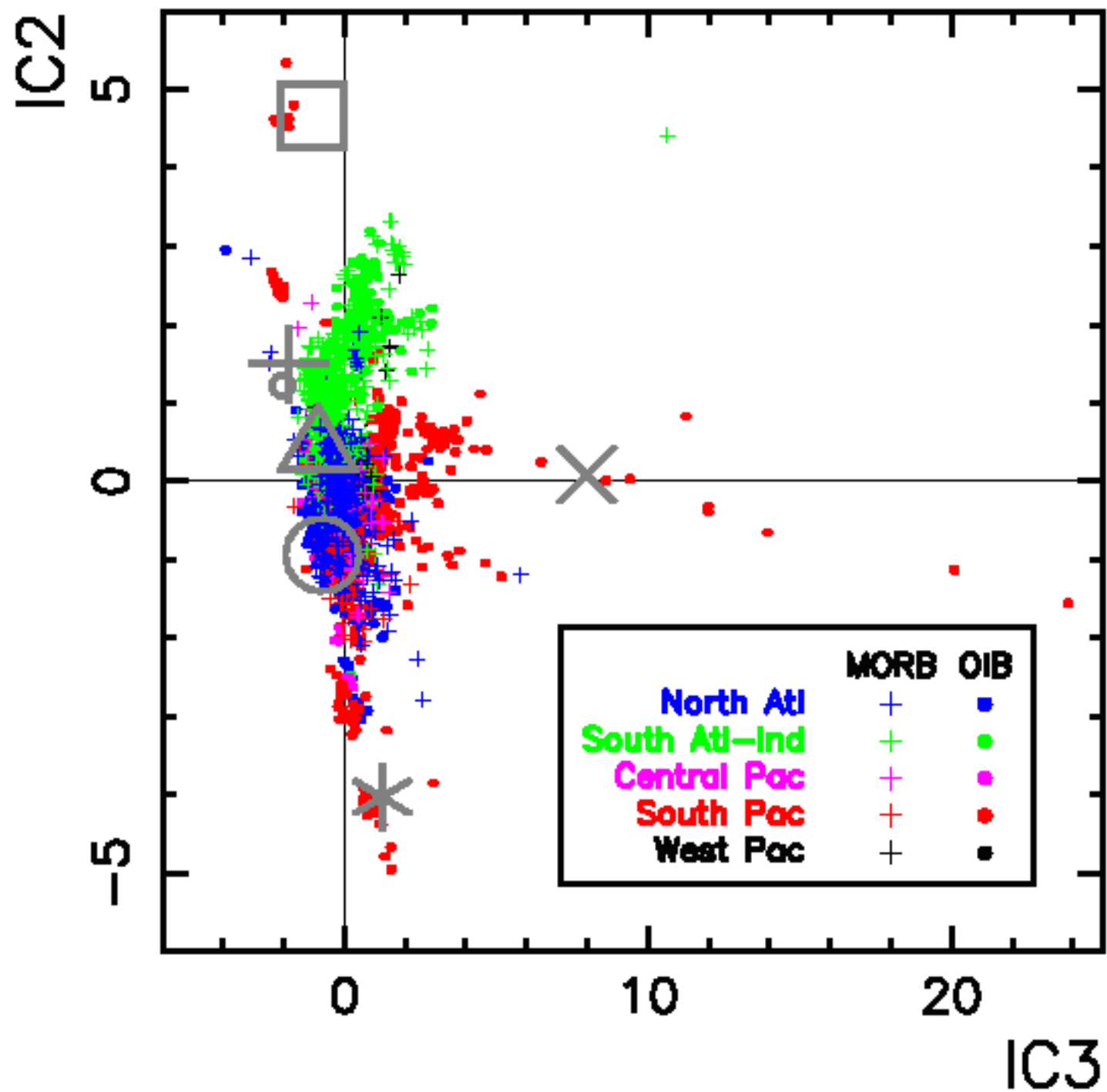
Pangea: 300 Ma

IC2 + Vs near CMB (Takeuchi, 2007)

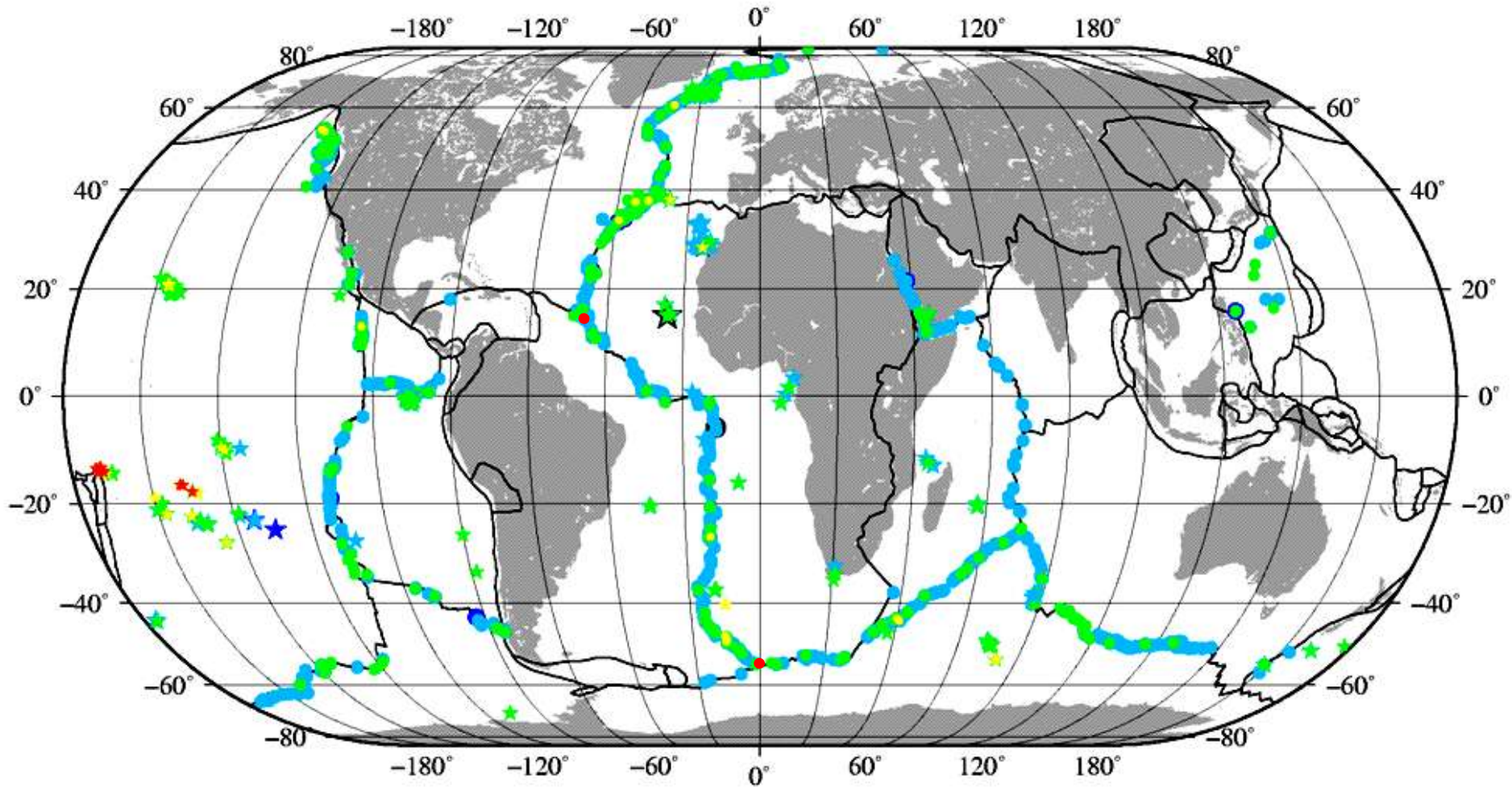


Gondwana: 500Ma ?
Rhodinia : 800 Ma ?

Pangea: 300 Ma

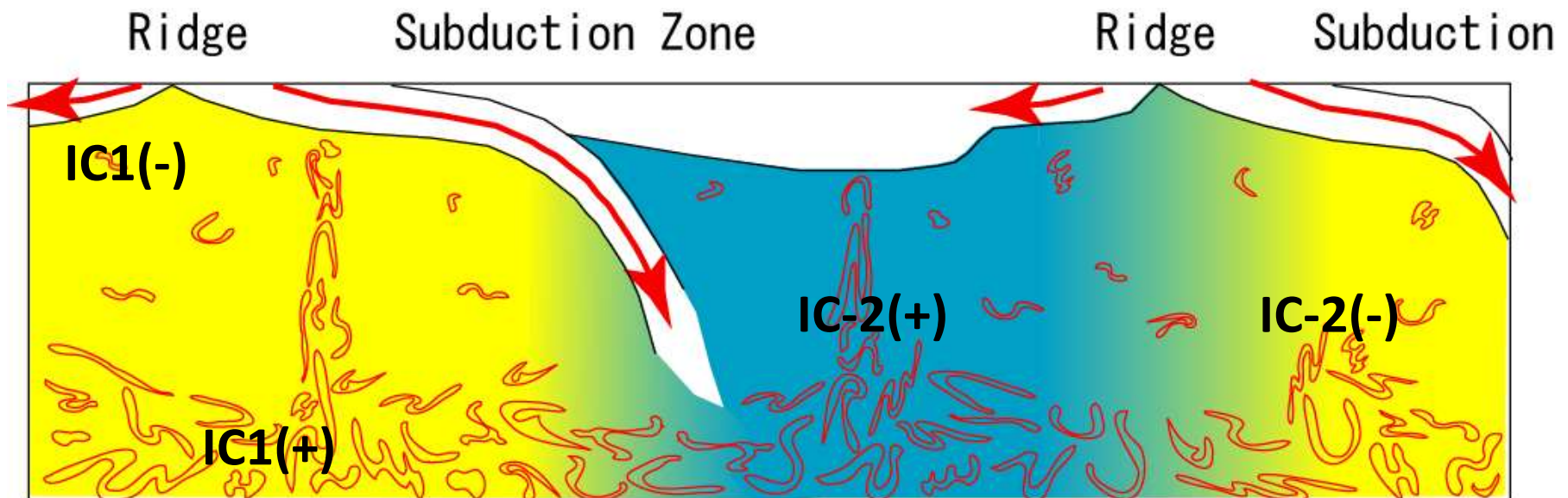


Global IC3 (s5_Si53-35-SrIe0723)

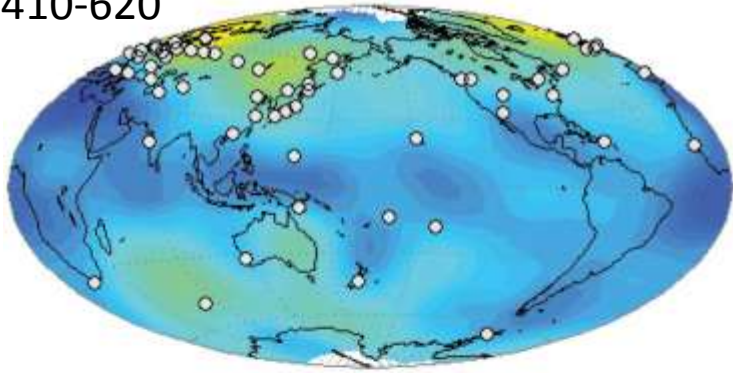


Model and Summary

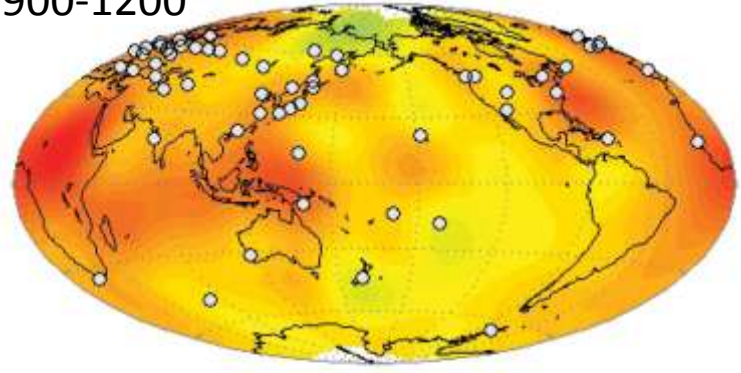
- (1) Two overlapping ICs in oceanic basalt isotopes
= mantle heterogeneity by two differentiation processes
- (2) **IC1** separates OIB from MORB
= differentiation due to **melting, long-recycling 1-2 Ga**
- (3) **IC2** discriminates spatial distribution
= differentiation due to **aqueous fluid, short recycling 0.3-1 Ga**



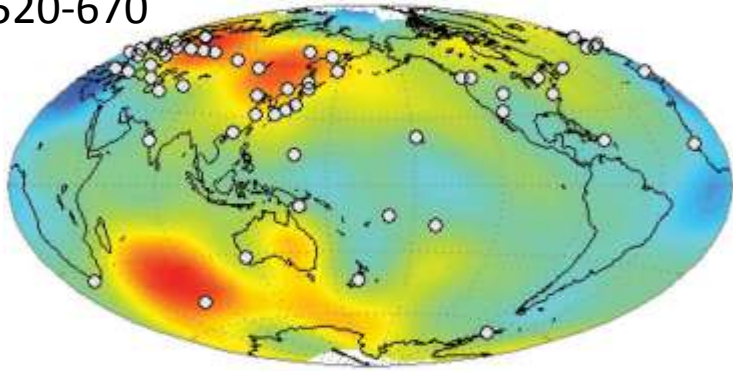
410-620



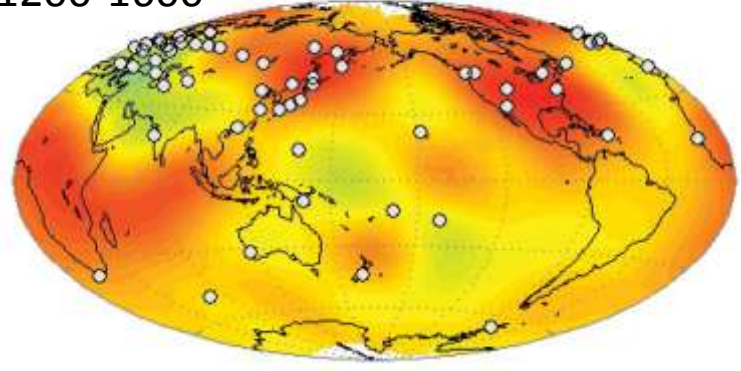
900-1200



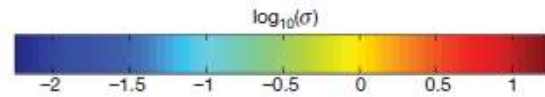
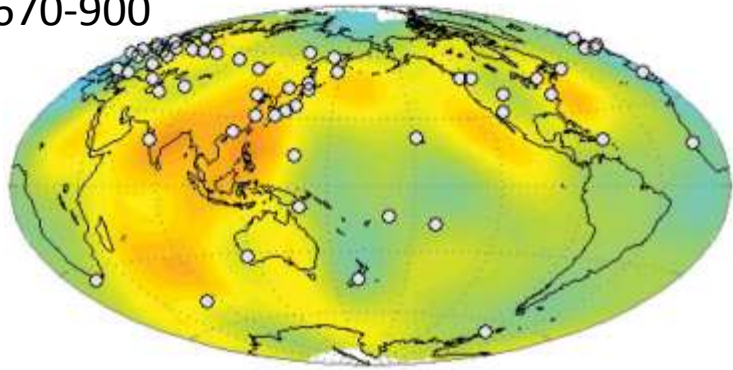
520-670



1200-1600

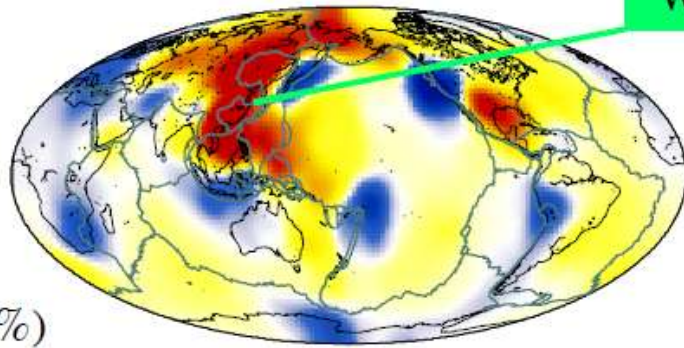


670-900

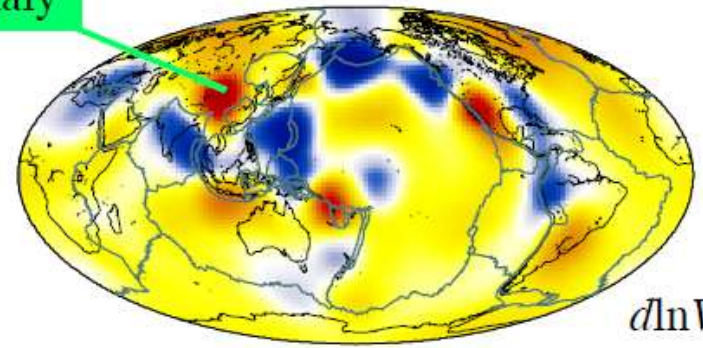


Kelbert et al. (2009)

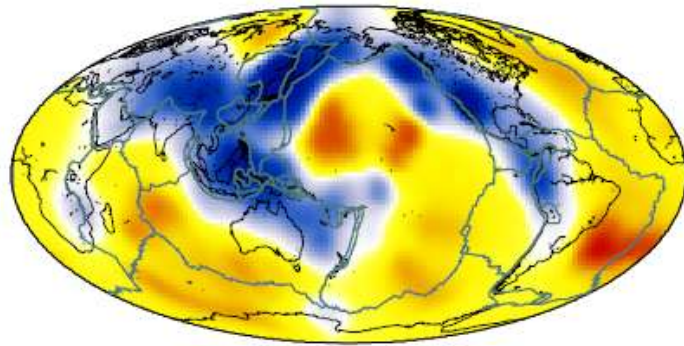
“Water” Anomaly



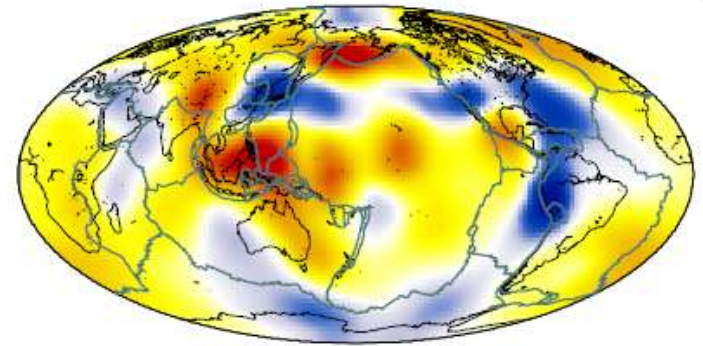
1200 km



$d\ln V_S$ (%)



2000 km



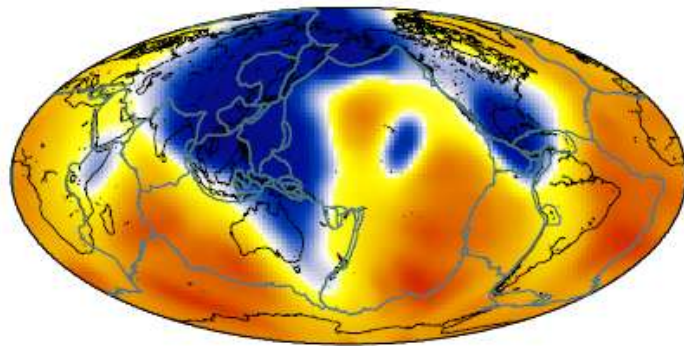
4

2

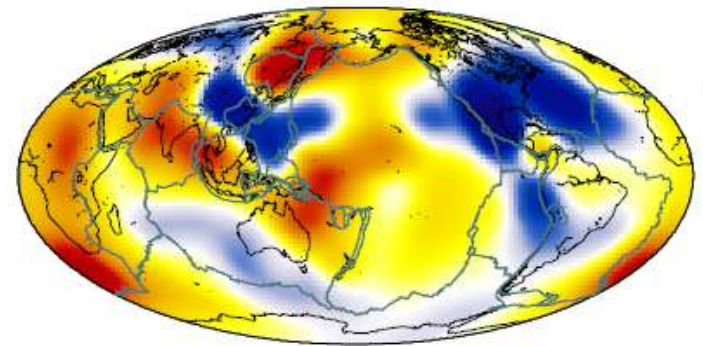
0

-2

-4



2800 km



参考文献 1

- Akaogi, M., Ito, M., and Navrotsky, A., 1989: Olivine-modified spinel-spinel transitions in the system Mg_2SiO_4 - Fe_2SiO_4 calorimetric measurements, thermochemical calculation, and geophysical application, *J. Geophys. Res.*, 94, 15671-1568.
- Allegre, C. J., Turcotte, D. L., 1986: Implications of a two-component marble-cake mantle, *Nature*, 323, 123-127.
- Allegre, C. J., Schiano, P., Lewina, E., 1995: Differences between oceanic basalts by multitrace element ratio topology, *Earth Planet. Sci. Lett.*, 129, 1-12.
- Allegre, C. J., 1997: Limitation on the mass exchange between the upper and lower mantle: the evolving convection regime of the Earth, *Earth Planet. Sci. Lett.*, Volume 150, Issues 1-2, July 1997, Pages 1-6.
- Argus, D.F. and Gordon, R.G., 1991: No-net-rotation model of current plate velocities incorporating plate motion model NUVEL-1, *Geophys. Res. Lett.*, 18, 2039-2042.
- Bilchert-Toft, J., Agranler, A., Andres, M., Kingsley, R., Schilling, J. G., Albarede, F., 2005: Geochemical segmentation of the Mid-Atlantic Ridge north of Iceland and ridge-hot spot interaction in the North Atlantic, *Geochemistry Geophysics Geosystems*, VOL. 6, Q01E19, 27 pp.

参考文献 2

- Christensen, U. R., Hofmann, A. W., 1994: Segregation of subducted oceanic crust in the convecting mantle, *J. Geophys. Res.*, 99, 19867-19884.
- Davies, G. F., 1999: *Dynamic Earth: Plates, Plumes and Mantle Convection*, Cambridge University Press, 470pp.
- Forsyth, U. W., Uyeda, S., 1975: On the Relative Importance of the Driving Forces of Plate Motion, *Geophysical Journal of the Royal Astronomical Society*, 43, 163–20.
- Fukao, Y., Obayashi, M., Nakakuki, T., the Deep slab project group, 2009: Stagnant slab: a review. *Annu. Rev. Earth Planet. Sci.* 37, 19-46.
- Hager, B. H., O'Connell, R. J., 1978: Subduction zone dip angles and flow driven by plate motion, *Tectonophysics* 50, 111-133. *Journal of Petrology*, 29, 625-679.
- Hart, S. R., Hauri, E. H., Oschmann, L. A., Whitehead, J. A., 1992: Mantle Plumes and Entrainment: Isotopic Evidence, *Science*, 256, 517-520.
- Hernlund, J. W., Thomas, C., Tackley, P. J., 2005: A doubling of the post-perovskite phase boundary and structure of the Earth's lowermost mantle, *Nature*, 434, 882-886.
- Hirose, K., 2006: Postperovskite phase transition and its geophysical implications, *Rev. Geophys.* 44.

参考文献 3

- Hoffman, N. R. A., McKenzie, D. P., 1985: The destruction of geochemical heterogeneities by differential fluid motions during mantle convection, *Geophysical Journal of the Royal Astronomical Society*, 82, 163-206.
- Hofmann, A. W., White W. M., 1982: Mantle plumes from ancient oceanic crust, *Earth Planet. Sci. Lett.* 57, 421-436.
- Hofmann A. W., 1997: Mantle geochemistry: the message from oceanic volcanism, *Nature* 385, 219-229.
- Honda, S., 1995: A simple parameterized model of Earth's thermal history with the transition from layered to whole mantle convection, *Earth Planet. Sci. Lett.*, 131, 357-369.
- Hyvarinen, A., 1999: Sparse code shrinkage: Denoising of nongaussian data by maximum likelihood estimation, *Neural Computation*, 11, 1739-1768.
- Iwamori, H., 1998: Transportation of H₂O and melting in subduction zones *Earth Planet. Sci. Lett.*, 160, 65-80.
- Iwamori, H., 1999: Geochemical studies on magma generation and migration with numerical modeling, *Chikyu Kagaku*, 33, 155-175.
- Iwamori, H., 2000: Deep subduction of H₂O and deflection of volcanic chain towards backarc near triple junction due to lower temperature, *Earth Planet. Sci. Lett.*, 181, 41-46.

参考文献 4

- Iwamori, H., 2004: Phase relations of peridotites under H₂O-saturated conditions and ability of subducting plates for transportation of H₂O, *Earth Planet. Sci. Lett.*, 227, 57-71.
- Iwamori, H., 2007: Transportation of H₂O beneath the Japan arcs and its implications for global water circulation, *Chemical Geology*, 239, 182-198.
- Iwamori, H., Albarede, F., 2008: Global Structure of Isotopic Compositional Space of Oceanic Basalts by Independent Component Analysis and its Implications for Mantle Dynamics, American Geophysical Union, Fall Meeting 2008, abstract V41F-04.
- Kelbert, A., Schultz, A., Egbert, G., 2009: Global electromagnetic induction constraints on transition-zone water content variations, *Nature*, 460, 1003-1006.
- Kawakatsu, H., Watada, S., 2007: Seismic Evidence for Deep-Water Transportation in the Mantle, *Science*, 316, 1468-1471.
- Kawakatsu, H., Kumar, P., Takei, Y., Shinohara, M., Kanazawa, T., Araki, E., Suyehiro, K., 2009: Seismic Evidence for Sharp Lithosphere-Asthenosphere Boundaries of Oceanic Plates, *Science*, 324, 499-502.
- Klein, Cornelis; Hurlbut, Cornelius Searle; Dana, James Dwight, 1993: *Manual of mineralogy*, John Wiley and Sons Inc, 704pp.

参考文献 5

- Kusuda, C., Iwamori, H., Kazahaya, K., Morikawa, N., Takahashi, M., Takahashi, H., Ohwada, M., Ishikawa, T., Tanimizu, M., Nagaishi, K., 2009: The involvement of slab-derived fluids in non-volcanogenic hot springs in SW Japan, American Geophysical Union, Fall Meeting 2009, abstract V43B-2243.
- Lawrence, J. F., Wyssession, M. E., 2006: Seismic Evidence for Subduction-Transported Water in the Lower Mantle, Geophysical monograph, 168, 251-261.
- Lay, T., Garnero, E. J., 2007: Reconciling the post-perovskite phase with seismological observations of lowermost mantle structure, Geophysical monograph, 174, 129-153.
- Lay, T., Garnero, E. J., 2004: Core-mantle boundary structures and processes, in The State of the Planet: Frontiers and Challenges in Geophysics, Geophys. Monogr. Ser., vol. 150, edited by Sparks, R. S. J., Hawkesworth, C. J., 25-41, AGU, Washington, D. C.
- McKenzie, D., Bickle, M. J., 1988: The volume and composition of melts generated by extension of the lithosphere, Journal of Petrology, 29, 625-679.
- Nakagawa, T., Tackley, P. J., 2005: The interaction between the post-perovskite phase change and athermo-chemical boundary layer near the core-mantle boundary, Earth Planet. Sci. Lett., 238, 204-216.

参考文献 6

- Nakajima, J., Hasegawa, A., 2007: Subduction of the Philippine Sea plate beneath southwestern Japan: Slab geometry and its relationship to arc magmatism, *J. Geophys. Res.*, 112, B08306(18).
- Nakamura, H., Iwamori, H., Kimura, J. I., 2008: Geochemical evidence for enhanced fluid flux due to overlapping subducting plates, *Nature Geoscience* 1, 380 – 384.
- Ohta, K., Hirose, K., Lay, T., Sata, N., Ohishi, Y., 2008: Phase transitions in pyrolite and MORB at lowermost mantle conditions: Implications for a MORB-rich pile above the core-mantle boundary, *Earth Planet. Sci. Lett.*, 267,107-117.
- Ozawa, H., Hirose, K., Mitome, M., Bando, Y., Sata, N., Ohishi, Y., 2009: Experimental study of reaction between perovskite and molten iron to 146 GPa and implications for chemically distinct buoyant layer at the top of the core, *Phys. Chem. Miner.*, 36, 355-363.
- Press, F., Siever, R., Grotzinger, J., Jordan, T. H., 2003: *Understanding Earth*, 4th Ed. New York: W.H. Freeman. Scott, D. R., Stevenson, D. J., 1986: Magma Ascent by Porous Flow, *J. Geophys. Res.*, 91, 9283-9296.

参考文献 7

- Spiegelman, M., 1993: Physics of melt extraction: theory, implications and applications, *Phil. Trans. R. Soc. Lond. A*, 342, 23-41.
- Spiegelman, M., Kelemen, P. B., Aharonov, E., 2001: Causes and consequences of flow organization during melt transport: The reaction infiltration instability in compactible media, *J. Geophys. Res.*, 106, 2061-2077.
- Steinbach, V., Yuen, D. A., Zhao, W. L., 1993: Instabilities from phase transitions and the timescales of mantle thermal evolution, *Geophys. Res. Lett.* 20, 1119-1122.
- Sugimura, E., Iitaka, T., Hirose, K., Kawamura, K., Sata, N., Ohnishi, Y., 2008: Compression of H₂O ice to 126 GPa and implications for hydrogen-bond symmetrization: Synchrotron x-ray diffraction measurements and density-functional calculations, *Phys. R. B.*, 77 (21), 214103.
- Tackley, P. J., 2000: Mantle Convection and Plate Tectonics: Toward an Integrated Physical and Chemical Theory, *Science*, 288, 2002-2007.
- Takeuchi, N., 2007: Whole mantle SH velocity model constrained by waveform inversion based on three-dimensional Born kernels, *Geophysical Journal International*, 169, 1153-1163.
- Tarduno, J., Bunge, H. P., Sleep, N., Hansen, U., 2009: The Bent Hawaiian-Emperor Hotspot Track: Inheriting the Mantle Wind *Science*, 324, 50-53.

参考文献 8

- Turcotte, D.L., Schubert, G., 1982: Geodynamics: Application of Continuum Physics to Geological Problems, New York, John Wiley and Sons, 450pp.
- Vigario, R., Jousmaki, V., Hamalainen, M., Hari, R., Oja, E., 1998: Independent component analysis for identification of artifacts in magnetoencephalographic recordings, Advances in Neural Information Processing Systems 10 (Proc. NIPS*97), 229 – 235.
- White, W.M., 2007: Geochemistry, John Hopkins University Press, 258-312.
- Zhao, D., Asamori, K., Iwamori, H., 2000: Seismic structure and magmatism of the young Kyushu subduction zone, Geophys. Res. Lett., 27, 2057-2060.
- Zindler, A., Jagoutz, E., Steven, G., 1982: Nd, Sr and Pb isotopic systematics in a three-component mantle: a new perspective, Nature, 298, 519-523.
- 鳥海光弘, 玉木賢策, 谷本俊郎, 本多 了, 高橋栄一, 巽 好幸, 本蔵義守, 1997: 岩波講座10 地球惑星科学, 73-122.
- 久城 育夫, 荒牧 重雄, 1986: 岩波講座 地球科学4 地球の物質化学, 岩波書店, 260pp.
- 野津憲治, 清水洋, 2003: 地球化学講座3 マントル・地殻の地球化学, 培風館, 308pp.